

## 泊発電所3号炉 有効性評価 比較表

赤字：設備、運用又は体制の相違（設計方針の相違）  
 青字：記載箇所又は記載内容の相違（記載方針の相違）  
 緑字：記載表現、設備名称の相違（実質的な相違なし）

付録3 重大事故等対策の有効性評価に係るシビアアクシデント解析コードについて（第3部 MAAP コード）

女川原子力発電所2号炉	泊発電所3号炉	相違理由
<p>より生じる圧力スパイクへの感度は小さいことを確認しており、「原子炉圧力容器外の溶融燃料－冷却材相互作用」の評価指標への影響は小さい。</p> <p>また、MCCI 現象への影響の観点で、エントレインメント係数に関して感度解析を実施し、MCCI によるコンクリート侵食量への感度が小さいことを確認した。</p> <p>5.1.12 格納容器下部床面での溶融炉心の拡がり、溶融炉心と格納容器下部プール水との伝熱、溶融炉心とコンクリートの伝熱、コンクリート分解及び非凝縮性ガス発生【格納容器（炉心損傷後）】</p> <p>MCCI に関する種々の実験や解析から得られた知見等に基づき不確かさの要因の分析を行い、MCCI 現象への影響の観点で感度解析等の検討を行った。</p> <p>格納容器下部床面での溶融炉心の拡がりについては、関連する実験や評価に関する知見に基づくと、落下した溶融炉心は床上全体に均一に拡がると想定される。ただし、堆積形状の不確かさが想定されるため、個別プラントのペデスタルの形状や事前水張りの深さを踏まえて、拡がりを抑制した感度解析等の取扱いを行うことが適切と考えられる。溶融炉心と格納容器下部プール水との伝熱については、感度解析によりコンクリート侵食量に対して上面熱流束の感度が支配的であることが確認された。上面熱流束を想定される下限値とした場合でも、コンクリート侵食量は 22.5cm 程度に収まることが確認された。上記の感度解析は、想定される範囲で厳しい条件を与えて感度を見たものであり、不確かさを考慮しても実機でのコンクリート侵食量は、感度解析よりも厳しくなることはないと考えられる。</p> <p>溶融炉心とコンクリートの伝熱、コンクリート分解及び非凝縮性ガス発生はコンクリート侵食量に影響のある重要現象として抽出されるが、コンクリート侵食モデルは ACE 実験解析や SURC-4 実験解析により妥当性が確認されており、不確かさは限定されているため適用性を有するものと考えられる。また、実験で確認されている侵食面における侵食の不均一性については、MAAP モデルのベンチマーク解析結果から、実験における侵食のばらつきが、MAAP コードの予測侵食量の 20% の範囲内に収まっていることから、上面熱流束の感度に比べて影響が小さいことを確認した。</p> <p>「溶融炉心・コンクリート相互作用」では、上面熱流束を主要因としてコンクリート侵食量の予測に与える不確かさがあり、MAAP で得られた結果に対し、不確かさを考慮することで、格納容器破損防止対策の有効性を確認できる。</p>	<p>イクへの感度は小さいことを確認しており、「原子炉圧力容器外の溶融燃料－冷却材相互作用」の評価指標への影響は小さい。</p> <p>また、MCCI 現象への影響の観点で、「原子炉下部キャビティ水深」及び「Ricou-Spalding のエントレインメント係数」に関して、格納容器破損防止の「溶融炉心・コンクリート相互作用」の事象をベースに感度解析を行い、MCCI によるコンクリート侵食量への感度が小さいことを確認した。</p> <p>5.1.19 原子炉下部キャビティ床面での溶融炉心の拡がり、溶融炉心と原子炉下部キャビティ水の伝熱</p> <p>MCCI に関する種々の実験から得られた知見等に基づき不確かさの要因の分析を行い、MCCI 現象への影響の観点で、格納容器破損防止の「溶融炉心・コンクリート相互作用」の事象をベースに感度解析を行った。その結果、格納容器破損防止の「溶融炉心・コンクリート相互作用」の事象をベースとした感度解析を行った結果、溶融炉心の拡がりが、コンクリート侵食の予測に与える影響が大きいことを確認した。コンクリート侵食に対して厳しい条件を組み合わせた場合の感度解析結果より得られたコンクリート侵食量を不確かさとして取り扱う。</p> <p>「溶融炉心・コンクリート相互作用」については、MAAP コードで得られた結果に対し、上述の溶融炉心の拡がり面積を主要因としてコンクリート侵食の予測に与える不確かさを考慮することで、格納容器破損防止対策の有効性を確認できる。</p> <p>「水素燃焼」については、上記のコンクリート侵食の予測に与える不確かさを考慮することで、原子炉格納容器内の水素濃度が上昇する傾向となる。なお、コンクリート侵食に伴う水素は、すべてジルコニウムに起因するものである。</p>	

## 泊発電所3号炉 有効性評価 比較表

赤字：設備、運用又は体制の相違（設計方針の相違）  
 青字：記載箇所又は記載内容の相違（記載方針の相違）  
 緑字：記載表現、設備名称の相違（実質的な相違なし）

付録3 重大事故等対策の有効性評価に係るシビアアクシデント解析コードについて（第3部 MAAP コード）

女川原子力発電所2号炉	泊発電所3号炉	相違理由
<p>【参考のため掲載順を入れ替えた】</p> <p>5.1.9 原子炉圧力容器内 FP 挙動 [原子炉圧力容器（炉心損傷後）], 原子炉格納容器内 FP 挙動 [原子炉格納容器（炉心損傷後）]</p> <p>PHEBUS-FP 実験解析において、ギャップ放出のタイミングについては適切に評価されることを確認している。その後の実験解析における燃料破損後の FP 放出開始のタイミング及び放出挙動については、被覆管酸化反応熱を大きく、燃料棒被覆管温度が高めに推移することにより早めに評価する傾向があったが、実験における小規模な炉心体系の模擬に起因していると考えられ。実機体系では、局所的な挙動による影響は相対的に小さくなるため、この種の不確かさは小さくなると考えられる。なお、最終的な FP 放出割合は実験と同程度となっている。</p> <p>ABCOVE 実験解析により、格納容器へ放出されたエアロゾルの沈着挙動について、ほぼ適正に評価できることを確認しており、各事故シーケンスの評価への影響は小さい。</p>	<p>5.1.20 FP 挙動 (1次冷却系内、原子炉格納容器内)</p> <p>PHEBUS-FP 実験解析において、ギャップ放出のタイミングについては適切に評価されることを確認している。その後の燃料破損後の FP 放出開始のタイミング及び放出挙動については、燃料被覆管酸化反応熱を大きく、燃料被覆管温度が高めに推移することにより早めに評価傾向があったが、小規模な炉心体系の模擬性に起因していると考えられ、実機スケールでは、ノード分割数が多く、この種の不確かさは小さくなると考えられる。なお、最終的な FP 放出割合は実験と同程度となっている。</p> <p>ABCOVE 実験解析により、原子炉格納容器へ放出されたエアロゾルの沈着挙動について、ほぼ適正に評価できることを確認しており、各重要事故シーケンスの評価への影響は小さい。</p> <p>また、FP が加圧器逃がしタンクを経由して原子炉格納容器に放出される「全交流動力電源喪失 + 補助給水失敗」を対象として、FP 放出速度を変えた場合の感度解析の影響を確認した。燃料からの FP 放出モデルの不確かさを考慮し、FP 放出率に係る係数を 1 割低減させた感度解析ケースでは、ベースケースと同様、原子炉格納容器上部区画の希ガス量は、燃料被覆管破損時点から増加し始め、炉心が本格的に溶融するにしたがって急激に増加し、最終的にはほぼ同じ量になった。これより、FP 放出速度が 1 割低減しても、炉心損傷検知判断への影響はほとんどないといえる。</p> <p>これらより MAAP コードの FP 挙動モデルの炉心損傷検知判断に関する不確かさは小さく、有効性評価に適用できるものと判断される。</p>	

## 泊発電所3号炉 有効性評価 比較表

赤字：設備、運用又は体制の相違（設計方針の相違）  
 青字：記載箇所又は記載内容の相違（記載方針の相違）  
 緑字：記載表現、設備名称の相違（実質的な相違なし）

付録3 重大事故等対策の有効性評価に係るシビアアクシデント解析コードについて（第3部 MAAP コード）

女川原子力発電所2号炉	泊発電所3号炉	相違理由
<p>5.2 不確かさの取り扱いについて（運転操作の観点）</p> <p>有効性評価において、MAAPを適用する事象で仮定する運転操作は、</p> <ul style="list-style-type: none"> <li>①逃がし安全弁による原子炉の減圧</li> <li>②低圧代替注水系による原子炉への注水</li> <li>③格納容器代替スプレイ系による格納容器スプレイ</li> <li>④格納容器圧力逃がし装置による格納容器除熱</li> <li>⑤残留熱除去系による格納容器除熱</li> <li>⑥サプレッション・プール水位制限値到達による格納容器スプレイ停止</li> <li>⑦高圧代替注水系による原子炉への注水</li> <li>⑧格納容器下部注水系による格納容器下部注水</li> <li>⑨外部水源からの総注水量制限到達による格納容器スプレイ停止</li> </ul> <p>である。以下、各運転操作に対するMAAPコードでモデル化されている重要現象の不確かさの影響を整理する。</p>	<p>5.2 不確かさの取り扱いについて（運転員等操作の観点）</p> <p>有効性評価において、MAAPコードを適用する事象で仮定する運転員等操作は、</p> <ul style="list-style-type: none"> <li>①格納容器再循環ユニットによる格納容器内自然対流冷却</li> <li>②原子炉格納容器スプレイ設備を利用した代替再循環</li> <li>③加圧器逃がし弁開放による1次冷却系強制減圧</li> <li>④代替設備による格納容器スプレイを用いた格納容器内注水</li> </ul> <p>である。以下、各運転員等操作に対するMAAPコードの不確かさの影響を整理する。</p> <p>5.2.1 格納容器再循環ユニットによる格納容器内自然対流冷却</p> <p>「原子炉格納容器の除熱機能喪失」及び各格納容器破損モードでは、原子炉格納容器圧力が最高使用圧力に到達した時点で格納容器再循環ユニットの冷却コイルへの注水を行い、格納容器再循環ユニットによる格納容器内自然対流冷却を開始し、原子炉格納容器内の冷却を行う。ここで、操作時間としては30分を想定する。</p> <p>はじめに、運転員等操作の起因となる原子炉格納容器圧力に影響のある重要現象の不確かさについて、有効性評価への影響を以下に述べる。</p> <p>長期的に原子炉格納容器圧力に影響する重要な現象としては、崩壊熱、原子炉格納容器熱水力応答及び原子炉下部キャビティ内溶融炉心の冷却性が挙げられる。</p> <p>崩壊熱については、崩壊熱の不確かさ及び実機運用による変動を考慮した大きめの崩壊熱曲線を使用しており、圧力上昇を早める方向に作用する。また、原子炉格納容器熱水力応答としては、原子炉格納容器圧力を10%程度高く評価する不確かさがあり、圧力上昇が早くなる傾向となる。原子炉下部キャビティ内溶融炉心の冷却性については、クラストが破損し、上面水プールから溶融炉心の冷却が促進され、水蒸気が多く発生する想定をしているが、実機スケールではクラストが破損することが報告されており、この想定は妥当といえる。</p> <p>したがって、MAAPコードの評価では、崩壊熱の不確かさと実機運用による変動、及び原子炉格納容器圧力の不確かさによって圧力上昇がわずかに早くなることから、有効性評価における運転員等操作の開始時期は、実現象よりもわずかに早くなるが、原子炉格納容器圧力上昇は緩慢な現象であるため、この影響は小さい。</p> <p>次に、最高使用圧力に到達した時点から、格納容器再循環ユニットによる格納容器内自然対流冷却を開始するまでに、操作時間として30分間を想定しているが、この間の現象の推移に関する影響は、以下のとおりである。</p>	

泊発電所 3号炉 有効性評価 比較表

付録3 重大事故等対策の有効性評価に係るシビアアクシデント解析コードについて（第3部 MAAP コード）

女川原子力発電所 2号炉	泊発電所 3号炉	相違理由
<p>5.2.2 低圧代替注水系による原子炉への注水</p> <p>各事故シーケンスに対して、炉心を冷却するために、時間・原子炉水位等のパラメータに応じて低圧代替注水系による注水を適宜実施する。</p> <p>MAAP コードでモデル化されている重要現象の不確かさが本運転操作に与える影響として、「崩壊熱」「沸騰・ボイド率変化、気液分離（水位変化）・対向流」「冷却材放出（臨界流・差圧流）」「炉心ヒートアップ（燃料棒内温度変化、燃料棒表面熱伝達、燃料被覆管酸化、燃料被覆管変形）」等の不確かさに起因する原子炉水位挙動等の違いが挙げられるが、4章に示した各重要現象に対する感度解析・実験解析の結果から、本運転操作に対して、上記重要現象の不確かさが与える影響は小さいと考えられる。</p> <p style="border: 1px solid blue; padding: 2px;">【参考のため記載順を入替】</p> <p>5.2.7 高圧代替注水系による原子炉への注水</p> <p>「高圧・低圧注水機能喪失」「崩壊熱除去機能喪失」「LOCA時注水機能喪失」に対して、高圧代替注水系による原子炉への注水を適宜実施する。</p> <p>本運転操作は水位・温度・圧力等の物理パラメータを検知して実施するものではないため、MAAP コードでモデル化されている重要現象の不確かさが本運転操作に与える影響はない。</p>	<p>原子炉格納容器圧力及び温度については、緩やかな変化ではあるものの、前述のとおり、高めに評価される傾向となると考えられる。このため原子炉格納容器の最高使用圧力の2倍までの余裕が若干減ることとなる。崩壊熱については、崩壊熱の不確かさ及び実機運用による変動を考慮した大きめの崩壊熱曲線を使用しており、冷却材の蒸散を促進するため、原子炉格納容器の圧力上昇を早める方向に作用し、最高使用圧力の2倍までの余裕が減ることとなる。ただし、格納容器内自然対流冷却開始時の原子炉格納容器圧力は、MAAP コードの評価上は実現象よりも高くなるが、格納容器内自然対流冷却の除熱量は温度の上昇分に応じて除熱が大きくなることから、格納容器内自然対流冷却開始後には、解析結果と実機で原子炉格納容器圧力及び温度の相違は小さくなる。</p> <p>以上、MAAP コードによる解析結果は、実機の挙動よりも、原子炉格納容器の圧力上昇を高めに評価することから、有効性評価では、実現象に比べて格納容器再循環ユニットによる格納容器内自然対流冷却の開始時期が早くなり、運転員等操作期間の事象進展としても、同様な傾向で、原子炉格納容器圧力の上昇は、実際よりも早めと考えられる。</p> <p>5.2.2 原子炉格納容器スプレイ設備を利用した代替再循環</p> <p>「ECCS 再循環機能喪失」では、炉心損傷防止策として、原子炉格納容器スプレイ設備を利用した代替再循環の運転員等操作を実施するが、ECCS 再循環の失敗を検知してから代替再循環開始までを30分と想定している。</p> <p>運転員等操作開始は ECCS 再循環の失敗を検知することから事象進展による影響はないが、MAAP コードでは高温側配管の保有水量を多めに見積もる傾向があり、これにより炉心水位を高めに評価し、再循環失敗後の炉心露出に至るまで時間を遅めに見積もる傾向となる。したがって、代替再循環の有効性を確認するためには、MAAP コードによる解析結果に対し、この不確かさを考慮する必要がある。</p> <p>なお、「実用発電原子炉に係る炉心損傷防止対策及び格納容器破損防止対策の有効性評価に関する審査ガイド」では炉心損傷に係る基準として「燃料被覆管の最高温度が1,200°C以下であること。」が適用されるが、有効性評価では炉心露出の防止を基準とした評価を実施している。したがって、炉心露出から炉心損傷までに裕度がある。</p>	

## 泊発電所3号炉 有効性評価 比較表

赤字：設備、運用又は体制の相違（設計方針の相違）  
 青字：記載箇所又は記載内容の相違（記載方針の相違）  
 緑字：記載表現、設備名称の相違（実質的な相違なし）

付録3 重大事故等対策の有効性評価に係るシビアアクシデント解析コードについて（第3部 MAAP コード）

女川原子力発電所2号炉	泊発電所3号炉	相違理由
<p>【参考のため記載順を入替】</p> <p>5.2.1 逃がし安全弁の開弁による原子炉の減圧 各事故シーケンスに対して、原子炉を減圧するために、時間・原子炉水位・サプレッション・プール水温等のパラメータに応じて逃がし安全弁の手動開弁操作を適宜実施する。MAAP コードでモデル化されている重要現象の不確かさが本運転操作に与える影響として、「崩壊熱」「沸騰・ボイド率変化、気液分離（水位変化）・対向流」「冷却材放出（臨界流・差圧流）」「炉心ヒートアップ（燃料棒内温度変化、燃料棒表面熱伝達、燃料被覆管酸化、燃料被覆管変形）」等の不確かさに起因する原子炉水位挙動・サプレッション・プール水温挙動の違いが挙げられるが、4章に示した各重要現象に対する感度解析・実験解析の結果から、本運転操作に対して、上記重要現象の不確かさが与える影響は小さいと考えられる。</p> <p>5.2.4 格納容器圧力逃がし装置による格納容器除熱 各事故シーケンスに対して、格納容器から除熱するために、格納容器圧力が限界圧力等の設定値に到達した時点で格納容器圧力逃がし装置によるペントを適宜実施する。 MAAP コードでモデル化されている重要現象の不確かさが本運転操作に与える影響として、「崩壊熱」「構造材との熱伝達及び内部熱伝導」等の不確かさに起因する格納容器圧力の設定値到達時間の違いが挙げられるが、4章に示した各重要現象に対する感度解析・実験解析の結果から、本運転操作に対して、上記重要現象の不確かさが与える影響は小さいと考えられる。</p>	<p>5.2.3 加圧器逃がし弁開放による1次冷却系強制減圧 加圧器逃がし弁開放による1次冷却系強制減圧は、炉心損傷検知後、1次冷却材圧力が2.0MPa[gage]以上の場合に実施し、操作時間としては10分を想定する。 はじめに、運転員等操作の起因となる1次冷却材圧力及び炉心溶融に影響のある重要現象の不確かさについて、有効性評価への影響を以下に述べる。 1次冷却材圧力の条件（2.0MPa[gage]以上）については、1次冷却系の破断を伴わない場合、炉心溶融時点では、大幅に高い圧力が維持された状態となることから、1次冷却材圧力挙動に多少の不確かさが生じる場合においても、有効性評価結果に影響はない。 炉心損傷の検知については、炉心損傷は、炉心出口温度350°Cかつ原子炉格納容器内高レンジエリアモニタ100Sv/hによって判定する。 炉心出口温度については、炉心が露出してヒートアップする状態では、炉心出口温度は既に350°Cを超過していると考えられ、解析結果と実機とで条件が大きく異なることはないと考えられる。 原子炉格納容器内高レンジエリアモニタ100Sv/hについては、想定する重要事故シーケンスにより、成立する時刻が異なる。 1次冷却系の破断を伴う場合（LOCAの場合）、燃料から放出された希ガスFPは、沈着することなく水蒸気とともに輸送され、1次冷却系の破断口から直接原子炉格納容器内に放出され、原子炉格納容器上部区画（高レンジエリアモニタ位置）には早期に到達することから、FPの移動に伴う炉心溶融の判断の遅れはない。なお、MAAP コードの解析において希ガスは炉内保有水量のほぼ全量が原子炉格納容器内に放出されるが、参考1に示すように、NUREG-1465におけるソースターム評価結果と同等なことが確認されている。したがって、事象進展に応じて放出される希ガス放出量には妥当性があると考えられる。 一方、1次冷却系開口部の小さい重要事故シーケンス（全交流動力電源喪失+補助給水失敗）でも希ガスは沈着することなく水蒸気とともに輸送され、加圧器逃がしタンクを経由して原子炉格納容器内に放出される。炉心溶融開始時点での加圧器逃がしタンクのラブチャディスクは破損しているため、輸送時間としてはLOCAの場合と同様に早期に上部区画での線量率が急速に増大する。したがって、1次冷却系開口部の小さい重要事故シーケンスにおいても、FPの移動に伴う炉心溶融の判断の遅れは小さい。 MAAP コードの解析では、炉心溶融開始時期は炉心最高温度が2,500Kに到達した時点として評価している。炉心最高温度が2,500Kを超えている状況では、実現象においても炉心出口温度は350°Cを超えていると想定される。一方、炉心最高温度が2,500Kを超えた後は、ペレット内部の希ガスは高温の領域から段階的に放出されることになるため、実現象においてエリアモニタ指示が100Sv/hに達する時期には不確かさはあるものの、エリアモニタ指示の急速な上昇とあいまって、炉心溶融の兆候は遅滞なく検知可能と考えられる。FP挙動モデルの妥当性確認においても、実験と同様にジルコニアム-水反応の開始近傍でFPが原子炉格納容器に放出され</p>	

付録3 重大事故等対策の有効性評価に係るシビアアクシデント解析コードについて（第3部 MAAP コード）

赤字：設備、運用又は体制の相違（設計方針の相違）  
 青字：記載箇所又は記載内容の相違（記載方針の相違）  
 緑字：記載表現、設備名称の相違（実質的な相違なし）

女川原子力発電所2号炉	泊発電所3号炉	相違理由
<p>5.2.3 格納容器代替スプレイ系による格納容器スプレイ</p> <p>各事故シーケンスに対して、格納容器雰囲気を冷却するために、格納容器圧力あるいは格納容器温度が設定値に到達した時点で格納容器代替スプレイ系による格納容器スプレイを適宜実施する。MAAPコードでモデル化されている重要現象の不確かさが本運転操作に与える影響として、「崩壊熱」「冷却材放出（臨界流・差圧流）」「構造材との熱伝達及び内部熱伝導」「炉心ヒートアップ（燃料棒内温度変化、燃料棒表面熱伝達、燃料被覆管酸化、燃料被覆管変形）」「リロケーション」等の不確かさに起因する格納容器圧力あるいは格納容器温度の設定値到達時間の違いが挙げられるが、4章に示した各重要現象に対する感度解析・実験解析の結果から、本運転操作に対して、上記重要現象の不確かさが与える影響は小さいと考えられる。</p>	<p>ことが評価できている。また、FPが加圧器逃がしタンクを経由するケースにおいてFP放出速度を低減させた場合の感度解析結果でも炉心損傷検知の遅れは考えにくいと判断される。</p> <p>以上から、炉心損傷の検知に関しては、MAAPコード解析により実現象に見合った概ね妥当な結果が得られると言える。</p> <p>次に、炉心損傷を検知した時点から、1次冷却系強制減圧を開始するまでに、操作時間として10分間を想定しているが、この間の事象の推移に関する影響は、以下のとおりである。</p> <p>1次冷却材圧力については、加圧器安全弁による蒸気放出が継続しており、実機においても同様の状態である。また、大きめの崩壊熱を設定していることで、炉心溶融及びリロケーションの進展が早くなるが、その状態で1次冷却系が高圧条件での原子炉容器破損を防止することが確認できれば、その結果は実機にも適用できると考える。</p>	
<p>5.2.4 代替設備による格納容器スプレイを用いた格納容器内注水</p> <p>代替設備による格納容器スプレイを用いた格納容器内注水は、炉心損傷の検知を起因とし、操作時間として30分を想定する。</p> <p>炉心損傷の検知への不確かさによる影響は、5.2.3と同様であり、操作時間中の事象の進展への不確かさの影響としては、原子炉格納容器内注水を開始するまでの30分間で炉心出口温度は引き続き350°Cを超過し、炉心から原子炉格納容器へ放出される希ガスは増大すると評価され、実現象でも同様の状態となることから、運転員等操作への影響はない。</p> <p>以上から、炉心損傷の検知に関しては、MAAPコード解析により実現象に見合った概ね妥当な結果が得られると言える。</p> <p>次に、炉心損傷を検知した時点から、原子炉格納容器内注水を開始するまでに、操作時間として30分間を想定しているが、この間の事象の推移に関する影響は、以下のとおりである。</p> <p>炉心溶融進展としては、MAAPコードのモデルは、TMI事故やその後の実験等による知見を基に開発され、TMI事故の再現性を有していることから一定の妥当性を有しており、実機解析でもそれに準じた炉心溶融進展挙動が得られるものと判断する。ただし、大きめの崩壊熱を設定していることで、炉心溶融進展は、解析の方がやや早くなる傾向がある。</p>		
<p>5.2.5 残留熱除去系による格納容器除熱</p> <p>「高圧注水・減圧機能喪失」「崩壊熱除去機能喪失（取水機能が喪失した場合）」シーケンスに対して、時間・原子炉水位等のパラメータに応じて残留熱除去系等による格納容器除熱を実施する。</p> <p>MAAPコードでモデル化されている重要現象の不確かさが本運転操作に与える影響として、「崩壊熱」「沸騰・ボイド率変化、気液分離（水位変化）・対向流」「炉心ヒートアップ（燃料棒内温度変化、燃料棒表面熱伝達、燃料被覆管酸化、燃料被覆管変形）」等の不確かさに起因する原子炉水位挙動の違いが挙げられるが、4章に示した各重要現象に対する感度解析・実験解析の結果から、本運転操作に対して、上記重要現象の不確かさが与える影響は小さいと考えられる。</p>		

## 泊発電所3号炉 有効性評価 比較表

付録3 重大事故等対策の有効性評価に係るシビアアクシデント解析コードについて（第3部 MAAPコード）

赤字：設備、運用又は体制の相違（設計方針の相違）  
 青字：記載箇所又は記載内容の相違（記載方針の相違）  
 緑字：記載表現、設備名称の相違（実質的な相違なし）

女川原子力発電所2号炉	泊発電所3号炉	相違理由
<p>5.2.6 サプレッション・プール水位制限値到達による格納容器スプレイ停止</p> <p>各事故シーケンスに対して、サプレッション・プール水位が制限値まで到達した場合に格納容器スプレイを停止させる。</p> <p>MAAPコードでモデル化されている重要現象の不確かさが本運転操作に与える影響として、「崩壊熱」「冷却材放出（臨界流・差圧流）」「構造材との熱伝達及び内部熱伝導」「炉心ヒートアップ（燃料棒内温度変化、燃料棒表面熱伝達、燃料被覆管酸化、燃料被覆管変形）」「リロケーション」等の不確かさに起因するサプレッション・プール水位の設定値到達時間の違いが挙げられるが、4章に示した各重要現象に対する感度解析・実験解析の結果から、本運転操作に対して、上記重要現象の不確かさが与える影響は小さいと考えられる。</p>		
<p>5.2.8 格納容器下部注水系による格納容器下部注水</p> <p>溶融炉心・コンクリート相互作用を緩和するために、溶融炉心の下部プレナムへのリロケーション後、原子炉圧力容器下鏡温度が設定値に到達した場合に格納容器下部注水系による格納容器下部注水を実施する。</p> <p>MAAPコードでモデル化されている重要現象の不確かさが本運転操作に与える影響として、「炉心ヒートアップ（燃料棒内温度変化、燃料棒表面熱伝達、燃料被覆管酸化、燃料被覆管変形）」「リロケーション」「下部プレナムでの溶融炉心の熱伝達」等の不確かさに起因する原子炉圧力容器下鏡温度の設定値到達時間の違いが挙げられるが、4章に示した各重要現象に対する感度解析・実験解析の結果から、本運転操作に対して、上記重要現象の不確かさが与える影響は小さいと考えられる。</p>		
<p>5.2.9 外部水源からの総注水量制限到達による格納容器スプレイ停止</p> <p>「格納容器過圧・過温破損」では、外部水源からの総注水量制限到達により格納容器スプレイを停止させる。格納容器スプレイ停止後には、格納容器圧力が限界圧力等の設定値に達した時点で格納容器圧力逃がし装置によるペントを実施する。</p> <p>MAAPコードでモデル化されている重要現象の不確かさが本運転操作に与える影響として、「崩壊熱」「冷却材放出（臨界流・差圧流）」「構造材との熱伝達及び内部熱伝導」「炉心ヒートアップ（燃料棒内温度変化、燃料棒表面熱伝達、燃料被覆管酸化、燃料被覆管変形）」「リロケーション」等の不確かさに起因する外部水源からの注水開始時間・総注水量制限到達時間の違いが挙げられる。総注水制限に到達する時間が早ければ（遅ければ）、格納容器スプレイの停止が早く（遅く）なると考えられるが、格納容器除熱に寄与する注水量の総量に変化はなく、長期的な格納容器圧力挙動の観点では影響が小さいと考えられる。したがって、本運転操作に対して、上記重要現象の不確かさが与える影響は小さいと考えられる。</p>		

付録3 重大事故等対策の有効性評価に係るシビアアクシデント解析コードについて（第3部 MAAP コード）

分類	重要現象	解析モデル	不確かさ	有効性評価解析への影響	
炉心（核）	崩壊熱 及び崩壊熱 (3.3.2(2))	炉心モデル(炉心熱力モデル) (3.3.2(3)) 溶融炉心の挙動モデル (炉心ヒートアップ) (3.3.6(1))	○TMI事故解析における炉心ヒートアップ時の水素ガス発生、炉心領域での溶融崩壊熱について、TMI事故分析結果と良く一致することを確認した。 ○CORA実験解析における、燃料被覆管、制御棒及びチャンネルボックスタと良く一度変化にすることを確認した。 ○炉心ヒートアップ速度の増加(被覆管水反応速度の倍数を2倍とした)度により影響を確認した。(BRR5 Mark-1 改良型格納容器プラン対象)、TQUN、大破断LOCAシーケンスとともに、炉心溶融の開始時刻への影響は非常に小さい。 ・下部ブレナムへのリロケーション開始時刻は、ほぼ変化しない。	○TMI事故の再現性を確認しており、炉心ヒートアップに係る基本的なモデルについては妥当性があると判断でき、各事故シーケンスの評価に適用できる。 ○開始時刻等の事象池周への影響は小さい。 ○「格納容器過圧・過温破損」及び「炉心ヒートアップ」の評価指標に与える影響は小さい。 ○「高圧溶融物放出／格納容器緊固気直達加熱」については、原子炉圧力容器破損時原子炉圧力が2,0MParage)を上回ることはなく、格納容器壁抵抗に対する影響はないと判断する。原子炉圧力容器破損時間への影響が小さく、コンクリート侵食量への影響は小さいと考えられる。 ○「水素燃焼」については、能率ガスの発生量について前燃熱を用いた評価を行っており、評価指標に与える影響はない。	○有効性評価では、崩壊熱の不確かさ及び実機運用による変動を考慮した大きめの崩壊熱曲線を使用することから、いずれの現象においても厳しい結果を与えるものの、重大事故等対策の有効性の判断には影響しない。
炉心（燃料）	燃料棒内温度変化 燃料棒接面熱伝達 燃料被覆管酸化 燃料被覆管変形	炉心モデル(炉心熱力モデル) (3.3.2(2)) 溶融炉心の挙動モデル (炉心ヒートアップ) (3.3.6(1))	・	○TMI事故解析における炉心ヒートアップ時の水素ガス発生、炉心領域での溶融崩壊熱について、TMI事故分析結果と一致することを確認した。 ○炉心ヒートアップ速度(燃料被覆管化が促進される場合)が早いことを想定し、反応的燃焼が起きる場合は、炉心ヒートアップ速度は350°Cを超越し、炉心損傷度解析では炉心溶融の程度は小さく、炉心ヒートアップする運転員等操作への影響は小さい。 ○TMI事故の再現性については、炉心ヒートアップによる基準シーケンスの評価に適用できる。 ○溶融炉心での溶融崩壊熱が促進されるとともに、運転員等操作の起点となる炉心溶融の開始時刻には影響は小さい。 ・下部ブレナムへのリロケーションの開始時刻は、SBOシーケンスでは約14分早く、LOCAシーケンスでは約30秒早くある。	○有効性評価では、崩壊熱の不確かさ及び実機運用による変動を考慮した大きめの崩壊熱曲線を使用することから、いずれの現象においても厳しい結果を与えるものの、重大事故等対策の有効性の判断には影響しない。
				○LOCAシーケンスに対しては程度が小さく、「格納容器過圧破損」及び「原子炉圧力容器外の溶融燃料-冷却材相互作用」について、1. 次治剤添加有り量が減少し余熱が発化することからヒートアップの程度は小さく、原子炉容器破損時間への影響も小さい。コンクリート相互作用に対する影響は小さい。1.溶融炉心、コンクリート侵食量への影響は小さい。原子炉容器破損時間への影響が小さく、原子炉下部キャビティへの注水量の影響も小さいため、コンクリート侵食量への影響は小さい。「水素燃焼」についても、燃料被覆管酸化反応熱の増加を想定して仮想的にシールドコニームー水素反応装置の発度を大きくしておいて、実機の燃料被覆管反応表面積は形状によりあまり、有効性評価では、MAAPコードで得られた水素発生量の変化を全炉内の2zの75%が反映するよう補正して評価していることから、有効性評価の結果に与える影響はない。	相違理由

表 5.1-1 重要現象の不確かさの有効性評価解析への影響の整理 (1/9)

分類	重要現象	解析モデル	不確かさ	有効性評価解析への影響	
炉心（核）	崩壊熱 及び崩壊熱 (3.3.2(2))	炉心モデル(炉心熱力モデル) (3.3.2(3)) 溶融炉心の挙動モデル (炉心ヒートアップ) (3.3.6(1))	○TMI事故解析における炉心ヒートアップ時の水素ガス発生、炉心領域での溶融崩壊熱について、TMI事故分析結果と良く一致することを確認した。 ○CORA実験解析における、燃料被覆管、制御棒及びチャンネルボックスタと良く一度変化にすることを確認した。 ○炉心ヒートアップ速度の増加(被覆管水反応速度の倍数を2倍とした)度により影響を確認した。(BRR5 Mark-1 改良型格納容器プラン対象)、TQUN、大破断LOCAシーケンスとともに、炉心溶融の開始時刻への影響は非常に小さい。 ・下部ブレナムへのリロケーション開始時刻は、ほぼ変化しない。	○TMI事故の再現性を確認しており、炉心ヒートアップに係る基本的なモデルについては妥当性があると判断でき、各事故シーケンスの評価に適用できる。 ○開始時刻等の事象池周への影響は小さい。 ○「格納容器過圧・過温破損」及び「炉心ヒートアップ」の評価指標に与える影響は小さい。 ○「高圧溶融物放出／格納容器緊固気直達加熱」については、原子炉圧力容器破損時原子炉圧力が2,0MParage)を上回ることはなく、格納容器壁抵抗に対する影響はないと判断する。原子炉圧力容器破損時間への影響が小さく、コンクリート侵食量への影響は小さいと考えられる。 ○「水素燃焼」については、能率ガスの発生量について前燃熱を用いた評価を行っており、評価指標に与える影響はない。	
炉心（燃料）	燃料棒内温度変化 燃料棒接面熱伝達 燃料被覆管酸化 燃料被覆管変形	炉心モデル(炉心熱力モデル) (3.3.2(2)) 溶融炉心の挙動モデル (炉心ヒートアップ) (3.3.6(1))	・	○TMI事故解析における炉心ヒートアップ時の水素ガス発生、炉心領域での溶融崩壊熱について、TMI事故分析結果と一致することを確認した。 ○炉心ヒートアップ速度(燃料被覆管化が促進される場合)が早いことを想定し、反応的燃焼が起きる場合は、炉心ヒートアップ速度は350°Cを超越し、炉心損傷度解析では炉心溶融の程度は小さく、炉心ヒートアップする運転員等操作への影響は小さい。 ○TMI事故の再現性については、炉心ヒートアップによる基準シーケンスの評価に適用できる。 ○溶融炉心での溶融崩壊熱が促進されるとともに、運転員等操作の起点となる炉心溶融の開始時刻には影響は小さい。 ・下部ブレナムへのリロケーションの開始時刻は、SBOシーケンスでは約14分早く、LOCAシーケンスでは約30秒早くある。	○有効性評価では、崩壊熱の不確かさ及び実機運用による変動を考慮した大きめの崩壊熱曲線を使用することから、いずれの現象においても厳しい結果を与えるものの、重大事故等対策の有効性の判断には影響しない。

表 5.2-1 重要現象の不確かさの有効性評価解析への影響の整理 (1/7)

分類	重要現象	解析モデル	不確かさ	有効性評価解析への影響
	崩壊熱	炉心モデル(原子炉出力及び崩壊熱) (3.3.2(2))	○TMI事故解析における炉心ヒートアップ時の水素ガス発生、炉心領域での溶融崩壊熱について、TMI事故分析結果と一致することを確認した。 ○炉心ヒートアップ速度(燃料被覆管化が促進される場合)が早いことを想定し、反応的燃焼が起きる場合は、炉心ヒートアップ速度は350°Cを超越し、炉心損傷度解析では炉心溶融の程度は小さく、炉心ヒートアップする運転員等操作への影響は小さい。	○有効性評価では、崩壊熱の不確かさ及び実機運用による変動を考慮した大きめの崩壊熱曲線を使用することから、いずれの現象においても厳しい結果を与えるものの、重大事故等対策の有効性の判断には影響しない。
	燃料棒内温度変化	炉心モデル(炉心熱力モデル) (3.3.2(3)) 溶融炉心の挙動モデル (炉心ヒートアップ) (3.3.6(1))	・	○TMI事故解析における炉心ヒートアップ時の水素ガス発生、炉心領域での溶融崩壊熱について、TMI事故分析結果と一致することを確認した。 ○炉心ヒートアップ速度(燃料被覆管化が促進される場合)が早いことを想定し、反応的燃焼が起きる場合は、炉心ヒートアップ速度は350°Cを超越し、炉心損傷度解析では炉心溶融の程度は小さく、炉心ヒートアップする運転員等操作への影響は小さい。
	燃料棒接面熱伝達	炉心モデル(炉心熱力モデル) (3.3.2(3)) 溶融炉心の挙動モデル (炉心ヒートアップ) (3.3.6(1))	・	○TMI事故解析における炉心ヒートアップ時の水素ガス発生、炉心領域での溶融崩壊熱について、TMI事故分析結果と一致することを確認した。 ○炉心ヒートアップ速度(燃料被覆管化が促進される場合)が早いことを想定し、反応的燃焼が起きる場合は、炉心ヒートアップ速度は350°Cを超越し、炉心損傷度解析では炉心溶融の程度は小さく、炉心ヒートアップする運転員等操作への影響は小さい。
	燃料被覆管酸化	炉心モデル(炉心熱力モデル) (3.3.2(3)) 溶融炉心の挙動モデル (炉心ヒートアップ) (3.3.6(1))	・	○TMI事故解析における炉心ヒートアップ時の水素ガス発生、炉心領域での溶融崩壊熱について、TMI事故分析結果と一致することを確認した。 ○炉心ヒートアップ速度(燃料被覆管化が促進される場合)が早いことを想定し、反応的燃焼が起きる場合は、炉心ヒートアップ速度は350°Cを超越し、炉心損傷度解析では炉心溶融の程度は小さく、炉心ヒートアップする運転員等操作への影響は小さい。
	燃料被覆管変形	炉心モデル(炉心熱力モデル) (3.3.2(3)) 溶融炉心の挙動モデル (炉心ヒートアップ) (3.3.6(1))	・	○TMI事故解析における炉心ヒートアップ時の水素ガス発生、炉心領域での溶融崩壊熱について、TMI事故分析結果と一致することを確認した。 ○炉心ヒートアップ速度(燃料被覆管化が促進される場合)が早いことを想定し、反応的燃焼が起きる場合は、炉心ヒートアップ速度は350°Cを超越し、炉心損傷度解析では炉心溶融の程度は小さく、炉心ヒートアップする運転員等操作への影響は小さい。

## 自発電所 3 号炉 有効性評価 比較表

### 付録3 重大事故等対策の有効性評価に係るシビアアクシデント解析コードについて(第3部 MAAP コード)

**赤字**：設備、運用又は体制の相違（設計方針の相違）  
**青字**：記載箇所又は記載内容の相違（記載方針の相違）  
**緑字**：記載表現、設備名称の相違（実質的な相違なし）

表 5-1 重要現象の不確かさの有効性評価解析への影響の整理 (2/9)

分類	重要現象	解析モデル	有効性評価解析への影響
炉心 熱流動	沸騰・ポイド率変化 気液分離(水位変化)・ 対向流	恒心モデル(恒心水位計算モデル) (3.3.2(4))	<p>○原子炉水位に關し、原子炉圧力容器内挙動をより精緻に評価可能な SAFER コードとの比較において、その挙動の差異は小さく、MAAP コードでは原子炉圧力容器内挙動を含めた全体挙動を適正に評価していると判断できる。</p> <ul style="list-style-type: none"> <li>• MAAP コードでは SAFER コードで考慮している CCFI を取り扱っていないこと等から水位変化に差異が生じたものの水位低下幅は MAAP コードの方が保守的であり、その後の注水操作による有効燃料棒頂部までの水位回復時間は両コードで同等である。</li> </ul>
ECCS 注水・ 給水系	冷却材放出(臨界流・ 差圧流)	原子炉圧力容器モデル (破断流モデル) (3.3.3(3))	<p>○逃がし安全弁からの流量は、設計値に基づいて計算される。</p> <p>○設計値に基づき流量が適正に計算されており、有効性評価への適用性に問題はなく、重大事故等対策の有効性の判断には影響しない。</p>

不確かさ

項目	内容	解説
沸騰・ボイド下限変化	①ECOS再沸騰機能喪失：(炉心水位計算モデル)(3.3.2(4)) LAP 5コードの比数から、以下により炉心露出までの時間を長く評価する傾向があることを確認した。 (①)及び(上部ブレナム管)のボイラード管について上部ブレナム管(その他の炉心水道)をやや過温するものの、両コードでほぼ同等である。 ②沸騰側計量領域：(水平部から蒸気発生器伝熱管の始直部まで)の保有水量を多めに評価する。 ③蒸気発生器伝熱管への液相流れが少なく、2次側からの伝熱により発生した蒸気による1次側の圧力損失の増加(高溫制御管「スチームバイインディング蒸気流」)が小さくなる。 領域の液相分布に影響するが、②③に含まれる。 ○また、1次冷却系の保有水量を多めに評価する影響で、原子弹熱管(炉心水位計算モデル)(3.3.3(2))の計算結果から得られる放出エネルギーの一差から見掛けられる原子弹熱管算定圧力の差はわざわざある。	①「ECOS再沸騰機能喪失」では、炉心露出までの時間を長く評価する不確実性があり、この時間を使え操作時間に考慮することでECOS再沸騰機能喪失による炉心損傷防止効率的有效性を確認できる。 ②「原子炉内給水装置機能喪失」では、BOCSは生入セード及び再循環モードとともに成功し、LOCA後の原水以降ではない炉心は元水であります。一方、炉心冷却塔の開き方から影響は大きいと考えられる。一方、原子弹熱管算定圧力及び温度について、ビーグ温に到達する時間が長く、事故後8時間以上、放水エネルギー保有量が大きいため、第一次冷却系保有水量が多めに評価される影響は軽微である。 ③「格納容器過圧破壊」、「原子弹圧力容器外の溶解燃料料-冷却剂相互作用」、「水素燃焼」及び「容器破壊」、シングルト拍相互作用」では、高周回度及び緊急供給装置を想定し、上部炉内管、高溫側管及び緊急供給装置1次側の冷却材は放出されて、水位が形成されないところから、炉心水位計算に係る不確実性が生じた。 ○「格納容器過圧破壊」及び「高圧溶融物質放出／格納容器旁開気直通装置」では、炉心損傷前は加圧器旁支管からの冷却材流出が支配的となり、早期に上部炉内管、高溫側管に係る不確実性は影響しない。
炉心 気密分離・対向流	1次冷却系の熱水力モデル(1) ○また、1次冷却系の保有水量を低めに評価する傾向を、不確実性による放出エネルギーの一差から見掛けられる原子弹熱管算定圧力の差はわざわざある。	○は數的に用いたMARELLA P5コードについては、MARELLA P5コードの計算結果を標準条件に用いることが解析結果に与える影響は軽微であること、ECOS再沸騰機能喪失後の炉心露出予測についても、非保守的な傾向とはならぬことと確認されている。 ○しかし、MARELLA P5コードが高溫側配管の保有水量を多めに評価することにより、MARELLA P5コードが炉心露出までの時間で最も評価する傾向を、不確実性による放り出しがラントンと呼ばれる現象によっては、いずれかがさは小さいと判断される。
構造材との熱伝達	1次冷却系モデル(1) ○熱伝達及びクリーブ破損についで、いずれかがさは小さく使用されるモデルであり、不確実性による評価誤差を確認した。	○有効性評価の結果に影響しない。
EOCS強制注入	EOCS強制注入 ○注入能力に含まれる。	○強制注入系統性は、解析では評価目的に応じた作動圧力や流量を入力する。
EOCS注入	安全系モデル(1) ○燃素解析によつて評価される。	○注入系統性は、解析では評価目的に応じた作動圧力や流量を入力する。
冷却材放出	1次冷却系モデル(1) ○CTMI事事故解析より、Henry Fauskeモデルを用いた加圧器逃がし弁からの放出量を適正に評価することを確認した。	○加圧器逃がし弁によつて評価される。

相違理由

泊発電所 3 号炉 有効性評価 比較表

付録 3 重大事故等対策の有効性評価に係るシビアアクシデント解析コードについて（第3部 MAAP コード）

分類	重要現象	解析モデル	有効性評価解釈への影響
原子炉格納容器	格納容器各領域間の流動	格納容器モデル（格納容器の熱水力モデル） (3.3.4(2))	不確かさ ○ HDR 実験解析では、格納容器圧力及び温度に亘り、温度成層化を含めて頗る良好な再現性を有する。しかし、原子炉格納容器圧力及び温度の上昇度が実機体系においてはこの種の不確かさは小さくなると想定され、各事故シーケンスの評価指標への影響は小さい。
構造材との熱伝達及び内部熱伝達	気液界面の熱伝達	—	—
スプレイ冷却	安全系モデル（格納容器スプレイ） (3.3.5(2)) 安全系モードル（代替注入水設備） (3.3.5(4))	○ 入力値に含まれる。 ○ スプレイの水蒸気温度は短時間で界面気温と平衡に至ることから伝熱モデルの不確かさはない。	○ 設計値に基づいて注入特性を与えることで、冷却に対する保守的な条件となるよう設定されており、いずれの事象についても厳しい結果を与えるものの、重大事故等対策の有効性の判断には影響しない。

分類	重要現象	解析モデル	有効性評価解釈への影響
原子炉格納容器	1 次側・2 次側の熱伝達	蒸気発生器モデル <sup>1</sup> (3.3.4)	不確かさ ○ OMB-2 実験解析により、1 次冷却系から 2 次冷却系への熱伝達への傾向を確認した。ただし、2 次冷却系からの液相放出が生じたため、2 次冷却系への熱伝達を適正に評価する。
蒸気発生器	冷却材放出（臨界流・蓋圧流）	—	○ OMB-2 実験解析により、蒸気放出の場合、放出質量流量を適正に評価することを確認した。液相放出の場合、過量評価する傾向を確認した。
2 次側水位変化・ドライアウト	区画間の流動（蒸気、非凝縮性ガス）	原子炉格納容器モデル（原子炉構造物との熱伝達及び内部熱伝導水力モデル） (3.3.5(2))	○ HDR 実験解析及び CSTF 実験解析の結果より以下を確認した。 ・原子炉格納容器内温度：十数°C程度ために評価 ・原子炉格納容器圧力：1 帕程度ために評価 ・非凝縮性ガス濃度：適正に評価 ○ なお、HDR 実験は、液状格納容器と高位置での水蒸気注入による噴出があり、国内 PWR の場合、上部の不確かさは小さな方向と判断される。
原子炉格納容器	区画間の流動（液体）	安全系モデル（格納容器スプレイモデル） (3.3.6(3))	○ 原子炉格納容器の形状（流路高低差や壁高さ）に基づく静水頭による流動が主であり、不確かさは小さいと判断される。 ○ 入力方面に含まれる。
原子炉格納容器	水蒸気密度変化	原子炉格納容器モデル（水蒸気発生） (3.3.5(4))	○ TMI 実験解析における水蒸気発生期間と水蒸気生成量について、TMI 実験分析結果と一致することを確認した。

表 5-1 重要現象の不確かさの有効性評価解釈への影響の整理（3.9）

表 5-2-1 重要現象の不確かさの有効性評価解釈への影響の整理（3.7）

分類	重要現象	解析モデル	有効性評価解釈への影響
1 次側・2 次側の熱伝達	蒸気発生器モデル <sup>1</sup> (3.3.4)	不確かさ ○ OMB-2 実験解析により、1 次冷却系から 2 次冷却系への熱伝達への傾向を確認した。ただし、2 次冷却系からの液相放出が生じたため、2 次冷却系への熱伝達を適正に評価する。	
蒸気発生器	冷却材放出（臨界流・蓋圧流）	—	○ 有効性評価においては、2 次冷却系からの液相放出が生じたため、液相放出より、2 次冷却系への熱伝達を適正に評価する。
2 次側水位変化・ドライアウト	区画間の流動（蒸気、非凝縮性ガス）	原子炉格納容器モデル（原子炉構造物との熱伝達及び内部熱伝導水力モデル） (3.3.5(2))	○ 有効性評価においては、長期的な原子炉格納容器圧力及び温度の運動において「原子炉格納容器の除熱機能喪失」、「燃料棒断熱材-冷却材相互作用」及び「燃料格納容器過正燃焼」並びに圧力・温度の格納容器圧力による解析結果は、原子炉格納容器圧力及び温度の運動による解析結果よりも大きめに評価する影響がある。したがって、解析結果に比べて、実際の原子炉格納容器圧力及び温度の上昇は小さくなり、最適使用圧力の 2 倍及び 200°Cに対する余裕は大きくなる。 ○ また、格納容器再沸騰ユニットによる格納容器内自然対流冷却の操作手順を早めに見直す傾向があるが、原子炉格納容器圧力上昇は緩慢であるため、影響は小さいと考えられる。
原子炉格納容器	区画間の流動（液体）	安全系モデル（格納容器スプレイモデル） (3.3.6(3))	○ 有効性評価の結果に影響しない。
原子炉格納容器	水蒸気密度変化	原子炉格納容器モデル（水蒸気発生） (3.3.5(4))	○ TMI 実験解析における水蒸気発生期間と水蒸気生成量について、TMI 実験分析結果と一致することを確認した。

泊発電所 3号炉 有効性評価 比較表

**赤字**：設備、運用又は体制の相違（設計方針の相違）  
**青字**：記載箇所又は記載内容の相違（記載方針の相違）  
**緑字**：記載表現、設備名称の相違（実質的な相違なし）

### 付録3 重大事故等対策の有効性評価に係るシビアアクシデント解析コードについて（第3部 MAAP コード）

表 5-1 重要現象の不確かさの有効性評価解析への影響の整理 (4/9)

分類	重要現象	有効性評価解析への影響	
		解説モデル	不確かさ
原子炉格納容器	放射線水分解による水素ガス・酸素ガス発生	○窒素置換による格納容器空隙気の不活性化が行われており、酸素ガス発生は水の放射線分解に起因する。	○窒素置換は水の放射線分解に基づいたG値を用いている。 ○酸素濃度の判断基準として水蒸気濃度を除くドライ条件において確認することにより保守性をえてい る。 ○「水素燃焼」に対する有効性評価では、これらの保守的な設定により、不確かさが与える影響はない。
	格納容器ベント	格納容器モデル(原子炉格納容器の熱水力モデル) (3.3.4(2))	○格納容器の熱水力モデルについて、適用性に問題はなく、重大事故対策の有効性の判断には影響しない。 ○設計値に基づいて冷却特性を与えることで、冷却に対する保守的な条件となるよう設定されており、いずれの事象についても厳しい結果を与えるものの、重大事故等対策の有効性の判断には影響しない。
原子炉格納容器	サブレーション・ブル冷却	安全系モデル(非常用炉心冷却系) (3.3.5(1))	○入力値に含まれる。 ○MAPコードでは格納容器ベントについて、設計量に基づいて流路面積を入力値として与え、格納容器各領域間の流動と同様の計算方法が用いられている。
	サブレーション・ブリーフ	安全系モデル(非常用炉心冷却系) (3.3.5(1))	○設計値に基づいて冷却特性を与えることで、冷却に対する保守的な条件となるよう設定されており、いずれの事象についても厳しい結果を与えるものの、重大事故等対策の有効性の判断には影響しない。

表 5-2-1 重要現象の不確かさの有効性評価解析への影響の整理 (4/7)

分類	重要現象	有効性評価解析への影響	
		解説モデル	不確かさ
原子炉格納容器	格納容器再循環ユニット	○格納容器再循環ユニットの除熱性能に関する不確かさは入力値に含まれる。 ○水素が存在する場合、最大限水素が発生した状態(ドライ条件)で約13vol%では、除熱量で約7%、流速で約10%の性能低下が見込まれる。感度解析による感度評価の結果、原子炉格納容器圧力を0.016MPa、温度を2°C程度高めに設定することを確認した。水素による性能低下の影響は、原子炉格納容器の最高使用圧力の2倍及び原子炉格納器内温度200°Cにに対する余裕で比べて1分析程度小さい。 ○上記結果は代表3ループプラントの場合であり、格納容器再循環ユニットによる格納容器内自然対流冷却の冷却性能等の条件はプラントによって異なることから、水素による性能低下の幅及びその影響程度はプラント毎に評価を要する。	○「原子炉格納容器の除熱機能喪失」では、水素発生がないことから影響しない。 ○「格納容器過圧破壊」及び「格納容器過温破壊」では、水素の発生があり、格納容器再循環ユニットでの除熱量は水素発生量に応じて低下するため、実際の原子炉格納容器圧力及び温度は解析結果よりも高めに推移する傾向となる。
	自然対流冷却	(3.3.6(6))	
原子炉格納容器	リロケーションモード	分析結果と一貫する温度を下げる場合の感度解析により影響を確認した。(代表3ループプラントを例とした) ・下部ブリームへのリロケーション後の原子炉容器の被損時間は、SBO シーケンスの場合約 26 分、LOCA シーケンスの場合約 3 分、それぞれ早まる。ただし、伝想的な厳しい条件を設定した場合の結果である。	○TMI事故の再現性を確認し、「格納容器過圧破壊」及び「原子炉格納容器外の溶融燃料-冷却材相互作用」については、1次冷却系保有水量が減少し除熱が悪化し、早期にヒートアップするため、リロケーションの感度評価も小さくなるため、原子炉格納容器圧力への影響は小さい。「水素燃焼」について、原心崩壊前の水素発生量には影響はないが、その後はリロケーションに応じて変化し得るが、有効性評価では、MAAPコードで得られた水素発生量の変化を全炉心内のZRの75%が反応するように補正して評価がなされる。原心崩壊後には、原子炉容積が水素発生量の増加とともに増加するが、有効性評価では、MAAPコードで得られた水素発生量の増加とともに増加するが、有効性評価の結果に与える影響はない。 ○「溶融戻心・コンクリート相互作用」については、原子炉容器破損時間への影響が小さく、原子炉下部キャビティへの注水量の影響も小さいため、コンクリート侵食量に対する影響は小さい。
	リロケーション	(3.3.7(2))	
原子炉格納容器	原子炉容器	(原心損傷後)	

相違理由

表5-1 重要現象の不確かさの有効性評価解析への影響の整理 (4/9)

表 5.2-1 重要現象の不確かさの有効性評価解析への影響の整理 (47)

泊発電所3号炉 有効性評価 比較表

付録3 重大事故等対策の有効性評価に係るシビアアクシデント解析コードについて（第3部 MAAPコード）

分類	重要現象	解析モデル	有効性評価解説への影響	相違理由
リロケーション (3.3.6(2))	溶融炉心の挙動モデル (リロケーション) 構造材との熱伝達	溶融炉心の挙動モデル (リロケーション) FCI(溶融炉心細胞化)	<p>○「TMI事故解説における炉心領域での溶融進展状況について、事故分析結果と良く一致することを確認した。          ○リロケーションの進展への影響が小さく、想定し、炉心ノード崩壊のハラメータを低下させた感度解析により影響を確認した。          ○TMI、大破断LOCAシーケンスとともに、炉心溶融時刻、原子炉圧力容器の破損時刻への影響が小さいことを確認した。</p>	<p>○「TMI事故解説における受容性が確認されしており、有効性評価への適用性に問題はない。          ○開始時刻等の事象進展への影響が小さく、格納容器破裂・過温破裂及び「原子炉圧力容器外の溶融炉心－冷却材相互作用」の評価指標に与える影響はない。          ○「高圧溶融物放出／格納容器緊急直接加熱」については、原子炉圧力容器がFCIによる原子炉圧力変化が影響する点で、原子炉圧力容器がFCIにて「冷却却材相互作用」によることとされる。止対策の有効性に与える影響はない。          ○「原子炉圧力容器破損時間への影響が小さく、コンクリート侵食量への影響は小さい」と考えられる。          ○「原子炉圧力容器破損時間での原子炉圧力に対する感度は小さく、2.0MPa(gage)を上回ることがない、重大事故等対策の有効性の判断に影響しない。</p>
原子炉圧力容器 FCI(溶融炉心細胞化) 原子炉圧力容器 FCI(デブリ粒子熱伝達)	溶融炉心の挙動モデル (下部ブレナムでの溶融炉心の挙動) (3.3.6(3))	溶融炉心の挙動モデル (下部ブレナムでの溶融炉心の挙動) (3.3.7(3))	<p>○原子炉圧力容器内FCIに影響する項目として、溶融ジェット径、エンジメント係数及びデブリ粒子径をパラメータとして感度解析を行い、いずれについても、原子炉圧力容器破損時点での原子炉圧力に対する感度が小さいことを確認した。</p>	<p>○「高圧溶融物放出／格納容器緊急直接加熱」では、高圧溶融物放出を防止する観点で、原子炉圧力容器破損の時期とあいまって、原子炉圧力容器がFCIによる原子炉圧力変化が影響する点で、原子炉圧力容器破損時刻での1次冷却材圧力に対する感度は小さく、2.0MPa(gage)を上回ることはない。</p>
溶融炉心の挙動モデル (溶融炉心細胞化、デブリ粒子熱伝達)	溶融炉心の挙動モデル (下部ブレナムでの溶融炉心の挙動) (3.3.7(3))	溶融炉心の挙動モデル (下部ブレナムでの溶融炉心の挙動) (3.3.7(3))	<p>○TMI事故解説における下部ヘッドの温度挙動について「デブリジエント径、Spaldingのエントレインメント係数」及び「デブリ粒子の径」をパラメータとして感度解析を行い、いずれについても、1次冷却材圧力の過渡的な変化に対する影響はあるものの、原子炉容器破損時点での1次冷却材圧力に対する感度は小さいことを確認した。</p>	<p>○「高圧溶融物放出／格納容器緊急直接加熱」では、高圧溶融物排出を防ぐ観点で、原子炉容器破損の時期とあいまって、原子炉容器内FCIによる1次冷却却材圧力変化が影響する点で、原子炉圧力容器破損時刻での1次冷却材圧力に対する感度は小さく、2.0MPa(gage)を上回ることはない。</p>
原子炉容器 溶融	溶融炉心の挙動モデル (原子炉容器破損モデル) 原子炉容器 (炉心粗化後)	溶融炉心の挙動モデル (原子炉容器破損モデル) 原子炉容器 (炉心粗化後)	<p>○TMI事故解説における下部ヘッドの温度挙動について「デブリジエント径、Spaldingのエントレインメント係数」及び「デブリ粒子の径」として感度解析を行った結果、「溶融炉心と上面水バールとの熱伝達」をパラメータとして感度解析を行い、原子炉容器破損時刻及びひび割れ時刻に対して感度が小さいことを確認した。また、「溶融炉心と原子炉容器間の熱伝達」をパラメータとして感度解析を行い、1次冷却材圧力及び原子炉容器破損時刻に対して感度が小さいことを確認した。</p>	<p>○TMI事故の再現性を確認しており、下部ブレナムでの溶融炉心の溶伝導による基本的なモデルの妥当性を有する限りでは、各重要事故シーケンスの評価は可能である。          ○感度解説では、各重要事故シーケンスの事象進展への影響は小さく、各重要事故シーケンスの評価指標への影響は小さい。</p>

表 5.2-1 重要現象の不確かさの有効性評価解説への影響 (5/7)

分類	重要現象	解析モデル	有効性評価解説への影響
原子炉容器内FCI (溶融炉心細胞化、デブリ粒子熱伝達)	溶融炉心の挙動モデル (下部ブレナムでの溶融炉心の挙動) (3.3.7(3))	溶融炉心の挙動モデル (下部ブレナムでの溶融炉心の挙動) (3.3.7(3))	<p>○原子炉容器内FCIに影響する項目として「デブリジエント径、Spaldingのエントレインメント係数」及び「デブリ粒子の径」をパラメータとして感度解析を行う項目として感度解析を行った結果、「溶融炉心と上面水バールとの熱伝達」をパラメータとして感度解析を行い、原子炉容器破損時刻及びひび割れ時刻に対して感度が小さいことを確認した。また、「溶融炉心と原子炉容器間の熱伝達」をパラメータとして感度解析を行い、1次冷却材圧力及び原子炉容器破損時刻に対して感度が小さいことを確認した。</p>
下部ブレナムでの溶融炉心の挙動モデル (溶融炉心の熱伝達)	溶融炉心の挙動モデル (下部ブレナムでの溶融炉心の挙動) (3.3.7(3))	溶融炉心の挙動モデル (下部ブレナムでの溶融炉心の挙動) (3.3.7(3))	<p>○TMI事故解説における下部ヘッドの温度挙動について「デブリジエント径、Spaldingのエントレインメント係数」及び「デブリ粒子の径」として感度解析を行った結果、「溶融炉心と上面水バールとの熱伝達」をパラメータとして感度解析を行い、原子炉容器破損時刻及びひび割れ時刻に対して感度が小さいことを確認した。また、「溶融炉心と原子炉容器間の熱伝達」をパラメータとして感度解析を行い、1次冷却材圧力及び原子炉容器破損時刻に対して感度が小さいことを確認した。</p>
原子炉容器破損、溶融	溶融炉心の挙動モデル (原子炉容器破損モデル) 原子炉容器 (炉心粗化後)	溶融炉心の挙動モデル (原子炉容器破損モデル) 原子炉容器 (炉心粗化後)	<p>○原子炉容器破損時に影響する項目として「転倒用梁内管溶融失失を起因とする「格納容器過温破損」及び「高圧溶融物放出／格納容器緊急直接加熱」」を対象とした原子炉容器破損モードに関する感度解説により、原子炉容器破損時刻に大きな感度ではなく、各重要事故シーケンスの評価結果への影響は小さい。</p>

## 自発電所 3 号炉 有効性評価 比較表

赤字	設備、運用又は体制の相違（設計方針の相違）
青字	記載箇所又は記載内容の相違（記載方針の相違）
緑字	記載表現、設備名称の相違（実質的な相違なし）

### 付録3 重大事故等対策の有効性評価に係るシビアアクシデント解析コードについて（第3部 MAAP コード）

表 5-1 重要現象の不確かさの有効性評価解析への影響の整理 (6/9)

次 3.2.1 里美先輩の不唯か・ノ有効工叶皿解り、ハシビ音の正性 (61)

泊発電所3号炉 有効性評価 比較表

付録3 重大事故等対策の有効性評価に係るシビアアクシデント解析コードについて（第3部 MAAP コード）

分類	重要現象	解析モデル	解説	有効性評価解析への影響	泊発電所3号炉	相違理由
原子炉圧力容器内 FP 挙動	原子炉圧力容器内 FP 挙動 (遅延がし安全弁含む) (炉心損傷後)	核分裂生成物 (FP) 挙動 モデル (3.3.7)	○ PHEBUS-FP 実験 解析により、FP 放出の開始時間に 間を良く再現 できるもの、燃料被覆 管温度を高め に評価するこ とににより、急激 な FP 放出を示 す結果となっ た。ただし、こ の原因は実験 における小規 模な炉心体系 の模擬であり、実 機の大規模な 体系において この種の不確 かさは小さく なると考えら れる。	○ FP 放出の開始時間に は実験体系により妥当性が確認されている。燃料被 覆管放出挙動は小規模体系の複雑性が原因除去され、実機規模の体系の適用性に問題はな く、重大事故等対策の有効性の判断には影響しない。 ○ 格納容器内エアロソル沈着挙動は適正に評価され、 有効性評価への適用性に問題はなく、重大事故等対策 の有効性の判断には影響しない。		
原子炉格納容器内 FP 挙動	原子炉格納容器内 FP 挙動 (炉心損傷後)		○ ABOVE 実験解析 により、格納容 器内のエアロソ ル沈着挙動を適 正に評価できることを確認し た。			
分類	重要現象	解析モデル	解説	有効性評価解析への影響	泊発電所3号炉	相違理由
原子炉格納容器内 FP 挙動	溶融炉心とコンクリートの伝熱、 炉心損傷時に燃料被覆管温度を高めに評価し、燃 料破損後の FP 放出開始のタイミングも早く評価する結果となっ たが、実機の小規模な炉心体系によるものであり、実機の 大規模な炉心体系においてこの種の不確かさは小さくなると考えら れる。	○ PHEBUS-FP 実験解析により、溶融炉心挙動モデル (原子炉下部キャビティでの溶融炉心挙 動) (3.3.7(5))	○ PHEBUS-FP 実験解析で、ギャップ放出のタイミングにつ いては遅延に評価されるが、燃料被覆管温度を高めに評価し、燃 料破損後の FP 放出開始のタイミングも早く評価する結果となっ たが、実機の小規模な炉心体系によるものであり、実機の 大規模な炉心体系においてこの種の不確かさは小さくなると考えら れる。	○ ABOVE 実験解析により、原子炉格納容器内のエアロソル沈着 挙動を正確に評価できることを確認した。 ○ 炉心損傷後に燃料被覆管温度を高めに評価する項目として「炉心から の FP 放出速度」を低減させた場合の感度解析を行ったが、原子炉格納容器上部区画の 炉心損傷後への影響は小さいことを確認した。		
原子炉格納容器内 FP 挙動 (炉心損傷後)	1 次系内 FP 挙動 発生	FP 挙動 モデル (3.3.8)	○ PHEBUS-FP 実験解析により、溶融炉心挙動モデル (原子炉下部キャビティでの溶融炉心挙 動) (3.3.7(5))	○ FP 放出率に係る係数を 1 倍低減させた感度解析ケ ースでは、原子炉格納容器上部区画の希ガス量はペ ースケースとほぼ同様の挙動を示した。したがつ て、FP 放出速度が 1 倍低減しても、炉心損傷後 単断への影響はほとんどない。		
原子炉格納容器内 FP 挙動 (炉心損傷後)			○ ABOVE 実験解析により、原子炉格納容器内のエアロソル沈着 挙動を正確に評価できることを確認した。			

表 5-1 重要現象の不確かさの有効性評価解析への影響の整理 (7/9)

分類	重要現象	解析モデル	解説	有効性評価解析への影響
原子炉圧力容器内 FP 挙動	原子炉圧力容器内 FP 挙動 (遅延がし安全弁含む) (炉心損傷後)	核分裂生成物 (FP) 挙動 モデル (3.3.7)	○ PHEBUS-FP 実験 解析により、FP 放出の開始時間に 間を良く再現 できるもの、燃料被 覆管温度を高め に評価するこ とににより、急激 な FP 放出を示 す結果となっ た。ただし、こ の原因は実験 における小規 模な炉心体系 の模擬であり、実 機の大規模な 体系において この種の不確 かさは小さく なると考えら れる。	○ FP 放出の開始時間に は実験体系により妥当性が確認されている。燃料被 覆管放出挙動は小規模体系の複雑性が原因除去され、実機規模の体系の適用性に問題はな く、重大事故等対策の有効性の判断には影響しない。 ○ 格納容器内エアロソル沈着挙動は適正に評価され、 有効性評価への適用性に問題はなく、重大事故等対策 の有効性の判断には影響しない。
原子炉格納容器内 FP 挙動	原子炉格納容器内 FP 挙動 (炉心損傷後)		○ ABOVE 実験解析 により、格納容 器内のエアロソ ル沈着挙動を適 正に評価できることを確認し た。	

表 5-2-1 重要現象の不確かさの有効性評価解析への影響の整理 (7/7)

分類	重要現象	解析モデル	解説	有効性評価解析への影響
原子炉格納容器内 FP 挙動	溶融炉心とコンクリートの伝熱、 炉心損傷時に燃料被覆管温度を高めに評価し、燃 料破損後の FP 放出開始のタイミングも早く評価する結果となっ たが、実機の小規模な炉心体系によるものであり、実機の 大規模な炉心体系においてこの種の不確かさは小さくなると考えら れる。	○ PHEBUS-FP 実験解析により、溶融炉心挙動モデル (原子炉下部キャビティでの溶融炉心挙 動) (3.3.7(5))	○ PHEBUS-FP 実験解析で、ギャップ放出のタイミングにつ いては遅延に評価されるが、燃料被覆管温度を高めに評価し、燃 料破損後の FP 放出開始のタイミングも早く評価する結果となっ たが、実機の小規模な炉心体系によるものであり、実機の 大規模な炉心体系においてこの種の不確かさは小さくなると考えら れる。	○ FP 放出率に係る係数を 1 倍低減させた感度解析ケ ースでは、原子炉格納容器上部区画の希ガス量はペ ースケースとほぼ同様の挙動を示した。したがつ て、FP 放出速度が 1 倍低減しても、炉心損傷後 単断への影響はほとんどない。
原子炉格納容器内 FP 挙動 (炉心損傷後)	FP 挙動		○ ABOVE 実験解析により、原子炉格納容器内のエアロソル沈着 挙動を正確に評価できることを確認した。	

赤字：設備、運用又は体制の相違（設計方針の相違）  
 青字：記載箇所又は記載内容の相違（記載方針の相違）  
 緑字：記載表現、設備名称の相違（実質的な相違なし）

### 泊発電所 3号炉 有効性評価 比較表

付録3 重大事故等対策の有効性評価に係るシビアアクシデント解析コードについて（第3部 MAAP コード）

分類	重要現象	解析モデル	不確かさ	有効性評価解析への影響	泊発電所 3号炉	相違理由
原子炉圧力容器外 FCI(溶融炉心細胞化)	原子炉心の挙動モデル (格納容器下部での溶 融炉心の挙動) (3.3.6(5))	○原子炉圧力容器外 FCI に影響する項 目として、エントレインメント係数及 びデブリ粒子径をパラメータとして 感度解析を行い、原子炉圧力容器外 FCIによって生じる圧力スパイクへの 感度が小さいことを確認した。	○原子炉圧力容器外 FCI における水蒸気爆発に関する は、実機において大規模な水蒸気爆発に至る可能性 は極めて小さく、有効性評価においては、水蒸気爆発 挙動及びその後の格納容器の動的挙動に対する評価 は必須ではなく、各事報シーケンスの評価指標に対 して影響するものではない。 ○感度解析の結果、原子炉圧力容器外 FCI によって生 じる圧力スパイクへの感度が小さいことから、「原子 炉圧力容器外の溶融燃料-冷却材相互作用」の評価 指標への影響は小さい。			

表 5-1 重要現象の不確かさの有効性評価解析への影響の整理 (8/9)

原子炉圧力容器外 FCI(溶融炉心細胞化)	原子炉心の挙動モデル (格納容器下部での溶 融炉心の挙動) (3.3.6(5))	○原子炉圧力容器外 FCI に影響する項 目として、エントレインメント係数及 びデブリ粒子径をパラメータとして 感度解析を行い、原子炉圧力容器外 FCIによって生じる圧力スパイクへの 感度が小さいことを確認した。	○原子炉圧力容器外 FCI における水蒸気爆発に関する は、実機において大規模な水蒸気爆発に至る可能性 は極めて小さく、有効性評価においては、水蒸気爆発 挙動及びその後の格納容器の動的挙動に対する評価 は必須ではなく、各事報シーケンスの評価指標に対 して影響するものではない。 ○感度解析の結果、原子炉圧力容器外 FCI によって生 じる圧力スパイクへの感度が小さいことから、「原子 炉圧力容器外の溶融燃料-冷却材相互作用」の評価 指標への影響は小さい。
原子炉格納容器 FCI(デブリ粒子熱伝 達)	原子炉圧力容器外 FCI(デブリ粒子熱伝 達)		

泊発電所3号炉 有効性評価 比較表

付録3 重大事故等対策の有効性評価に係るシビアアクシデント解析コードについて（第3部 MAAP コード）

分類	重要現象	解析モデル	不確かさ	有効性評価解析への影響	泊発電所3号炉	相違理由
	<p>格納容器下部床面で 溶融炉心の吐がり (格納容器下部での溶 融炉心の挙動) (3.3.6(5))</p> <p>溶融炉心と格納容器 下部ブール水との伝 熱</p> <p>原子炉格納容器（炉心 損傷後）</p>	<p>溶融炉心の挙動モデル</p> <p>溶融炉心とコンクリートの伝 熱</p>	<p>不確かさ</p>	<p>○「溶融炉心・コンクリート侵食量の予測における不確かさ」では、上面熱流束を主要因としているが、MAAP で得られた結果に対して、不確かさを考慮することで、格納容器液相防止对策の有効性を確認できる。</p> <p>○MCCI 現象への影響の観点で、エンターレインメント保証、上面熱流束及び溶融ブールからクラストへの熱伝達係数をバラメータとした感度解析を行った。評価の結果、コンクリート侵食量に対して上面熱流束の感度が支配的であることを確認した。また、上面熱流束を下限値とした場合でも、コンクリート侵食量が 22.5cm 程度であることを確認した。</p> <p>○上記の感度解析は、想定される範囲で厳しい条件を考えて感度をえたものであり、不確かさを考慮しても実機でのコンクリート侵食量は、感度解析よりも縮小となることはないと考えられる。</p> <p>○MAE 実験解析及び SURE-1 実験解析により、炉心デブリ堆積状態が既知である場合の炉心デブリとコンクリート侵食挙動及びそれに伴うコンクリート侵食挙動について妥当に評価できることを確認した。</p> <p>○実験で確認されている侵食の不均一性についてでは、実験における侵食のばらつきが MAAP コードの予測侵食量の 20% の範囲内にまとまっていることから、上面熱流束の感度に比べて影響が小さいことを確認した。</p>	<p>泊発電所3号炉</p>	

表 5-1 重要現象の不確かさの有効性評価解析への影響の整理 (9/9)

## 泊発電所3号炉 有効性評価 比較表

付録3 重大事故等対策の有効性評価に係るシビアアクシデント解析コードについて（第3部 MAAP コード）

赤字：設備、運用又は体制の相違（設計方針の相違）  
 青字：記載箇所又は記載内容の相違（記載方針の相違）  
 緑字：記載表現、設備名称の相違（実質的な相違なし）

女川原子力発電所2号炉	泊発電所3号炉	相違理由
<p>6. 参考文献</p> <p>[1] American Nuclear Society Standard, ANSI/ANS-5.1-1979, American National Standard for Decay Heat Power in Light Water Reactors, ANSI/ANS-5.1-1979, August 1979.</p> <p>[2] R. E. Henry and H. K. Fauske, "The Two-Phase Critical Flow of One-Component Mixtures in Nozzles, Orifices and Short Tubes", J. Heat Transfer, Trans. ASME, 1971.</p> <p>[3] "Critical Flow Data Review and Analysis", EPRI NP-2192, 1982.</p> <p>[4] "The Marviken Full Scale Critical Flow Tests, Third Series, Description of the Test Facility", MXC-101, December 1979.</p> <p>[5] "The Marviken Full Scale Critical Flow Tests, Description of the Test Facility", MXC-102, December 1979.</p> <p>[6] Kwang-hahn(KAERI) et al., "A State-of-Art Review of the Reactor Lower Head Models Employed in Three Representative U.S. Severe Accident Codes", Progress in Nuclear Energy, Vol. 42, No. 3, p361-382, 2003.</p> <p>[7] D. Magallon et al., "European Expert Network for the Reduction of Uncertainties in Severe Accident Safety Issues (EURSAFE)", Nuclear Engineering and Design 235 (2005) 309-346.</p> <p>[8] 中島 他,「SAMPSON コードによる ABWR 格納容器ベデスタル上の炉心デブリの 3 次元拡がり評価」, 日本原子力学会「2013年秋の大会」, H12, 2013年9月</p> <p>[9] A. T. Wessel, J. L. Farr, and M. S. Hoseyni, "SUPRA: A Code for Simulating Removal of Radionuclides by Water Pools Under Severe Accident Conditions", EPRI/NP-3886-CCMP, February 1985.</p>	<p>6. 参考文献</p> <p>[1] 三菱 PWR 炉心損傷及び格納容器破損に係る重要事故シーケンスへのMAAP コードの適用性について、MHI-NES-1056、三菱重工業、平成 25 年</p> <p>[2] "Proceedings: MAAP Thermal-Hydraulic Qualifications and Guidelines for Plant Application Workshop", EPRI NP-7515, 1991.</p> <p>[3] "MAAP PWR Application Guidelines for Westinghouse and Combustion Engineering Plants", EPRI TR-100743, 1992.</p> <p>[4] R. E. Henry and H. K. Fauske, "The Two-Phase Critical Flow of One-Component Mixtures in Nozzles, Orifices and Short Tubes", J. Heat Transfer, Trans. ASME, 1971.</p> <p>[5] "Critical Flow Data Review and Analysis", EPRI NP-2192, 1982.</p> <p>[6] Kwang-hahn(KAERI) et al., "A State-of-art review of the reactor lower head models employed in three representative U.S. Severe Accident Codes", Progress in Nuclear Energy, Vol. 42, No. 3, p361-382, 2003.</p> <p>[7] D. Magallon et al., "European expert network for the reduction of uncertainties in severe accident safety issues (EURSAFE)", Nuclear Engineering and Design 235 (2005) 309-346.</p> <p>[8] "Accident Source Terms for Light-Water Nuclear Power Plants", NUREG-1465, 1995</p> <p>[9] "Methods and Assumptions for Evaluating Radiological Consequences of Design Basis Accidents at Light-Water Nuclear Power Reactors", NRC Regulatory Guide 1.195.</p> <p>[10] PWR の安全解析用崩壊熱について、MHI-NES-1010 改 4、三菱重工業、平成 25 年</p>	

## 泊発電所3号炉 有効性評価 比較表

付録3 重大事故等対策の有効性評価に係るシビアアクシデント解析コードについて（第3部 MAAP コード）

赤字：設備、運用又は体制の相違（設計方針の相違）  
 青字：記載箇所又は記載内容の相違（記載方針の相違）  
 緑字：記載表現、設備名称の相違（実質的な相違なし）

女川原子力発電所2号炉	泊発電所3号炉	相違理由
[10] "TMI-2 Analysis Exercise Final Report", NEA/CSNI/R(91)8, 1992.	[11] "TMI-2 Analysis Exercise Final Report", NEA/CSNI/R(91)8, 1992.	
[11] "TMI-2 Vessel Inspection Project Integration Report", NUREG/CR-6197.	[12] "TMI-2 Vessel Investigation Project Integration Report", NUREG/CR-6197, 1994.	
[12] "A Scenario of the Three Mile Island Unit 2 Accident", Nuclear Technology, Vol.87, 1989.	[13] "A Scenario of the Three Mile Island Unit 2 Accident", Nuclear Technology Vol.87, 1989.	
[13] Peter Hofmann, Siegfried J. L. Hagen, Volker Noack, Gerhard Schanz, Leo K. Sepold, "Chemical-Physical Behavior of Light Water Reactor Core Components Tested Under Severe Reactor Accident Conditions in the CORA Facility", Nucl. Technol., 118, 200 (1997).		
[14] "International Standard Problem 29: Distribution of Hydrogen within the HDRContainment under Severe Accident Conditions: Final Comparison Report", NEA/CSNI/R(93)4, 1993.	[14] "International standard problem 29: distribution of hydrogen within the HDR containment under severe accident conditions: final comparison report", NEA/CSNI/R(93)4, 1993.	
[15] S. J. Lee, C. Y. Paik, R. E. Henry, M. E. Epstein, and M. G. Plys, "Benchmark of the Heiss Dampf Reaktor E11.2 Containment Hydrogen-Mixing Experiment Using the MAAP4 Code", Nucl. Technol., 125, 182 (1999).	[15] S. J. Lee, C. Y. Paik, R. E. Henry, M. E. Epstein, and M. G. Plys, "Benchmark of the Heiss Dampf Reaktor E11.2 Containment hydrogen-Mixing Experiment using the MAAP4 Code", Nucl. Technol., 125, 182 (1999).	
[16] G. R. Bloom, et al., "Hydrogen Mixing and Distribution in Containment Atmospheres", EPRI Report NP-2669, 1983.	[16] G. R. Bloom, et al., "Hydrogen mixing and distribution in containment atmospheres", EPRI Report NP-2669, 1983.	
[17] OECD/NEA "Second OECD (NEA) CSNI Specialist Meeting on Molten Core Debris-Concrete Interactions", NEA/CSNI/R(92)10.	[17] OECD/NEA, "Second OECD (NEA) CSNI Specialist Meeting on Molten Core Debris-Concrete Interactions", NEA/CSNI/R(92)10.	
[18] "International Standard Problem No 24: ISP-24: SURC-4 Experiment on Core-Concrete Interactions", NEA/CSNI-155, 1988.	[18] "International standard problem No 24: ISP-24: SURC-4 experiment on core-concrete interactions", NEA/CSNI-155, 1988.	
[19] Clement and Haste (IRSN, Cadarache), "Thematic Network for a PHEBUS FPT-1 International Standard Problem", OECD/NEA, July 2003.		
[20] D. Jacquemain, et al., "FPT1 Final Report Final Version", December 2000.		
[21] 社団法人 日本原子力学会, 「シビアアクシデント時の格納容器内の現実的ソースターム評価」, 平成22年4月	[19] Mendler, O. J. et al., "Loss of Feed Flow, Steam Generator Tube Rupture, and Steam Line Break Thermohydraulic Experiments", NUREG/CR-4751, EPRI NP-4786, WCAP-11206 (1986).  [20] C. Y. Paik et al., "Benchmarking of MAAP4 Steam Generator Model against Westinghouse MB-2 Experiments", The 11th International Topical Meeting on Nuclear Reactor Thermal-Hydraulics (NURETH-11) (2005).  [21] 社団法人 日本原子力学会「シビアアクシデント時の格納容器内の現実的ソースターム評価」(平成22年4月)	
	[22] Clement and Haste (IRSN, Cadarache), "Thematic Network for a PHEBUS FPT-1 International Standard Problem", OECD/NEA, July 2003.	

泊発電所 3号炉 有効性評価 比較表

付録3 重大事故等対策の有効性評価に係るシビアアクシデント解析コードについて（第3部 MAAP コード）

女川原子力発電所2号炉	泊発電所3号炉	相違理由
<p>[22] R.K. Hilliard et al. "Aerosol Behavior Code Validation and Evaluation (ABCOVE) Preliminary Results of Test AB5", HEDL-SA-2854FP, Feb. 1983.</p> <p>[23] Francisco J. Souto, F. Eric Haskin, Lubomyra N. Kmetyk, "MELCOR 1.8.2Assessment: Aerosol Experiments ABCOVE AB5, AB6, AB7, and LACE LA2", SAND-94-2166.</p> <p>[24] K. Kang, et, al. "Experimental Investigations on In-Vessel Corium Retentionthrough Inherent Gap Cooling Mechanisms", Journal of Nuclear Science andTechnology, 2006.</p> <p>[25] K. Moriyama, et al, Steam Explosion Simulation Code JASMINE v.3 User's Guide, JAEA-Data/Code 2008-014, 2008.</p> <p>[26] 片山, 高速衝突と爆発問題を中心とした諸分野における衝撃解析, 「第7回衝撃工学フォーラム(中級者のための衝撃工学入門)」, 日本材料学会, 平成20年11月</p> <p>[27] Livermore Software Technology Corporation, LS-DYNA KEYWORD USER' S MANUALVOLUME I, 2007.</p> <p>[28] Lipinski, "A Model for Boiling and Dryout in Particle Bed", NUREG/CR-2646, SAND82-0765 (1982).</p> <p>[29] (財)原子力安全研究協会,「シビアアクシデント対策評価のための格納容器イベントツリーに関する検討」, 平成13年7月</p> <p>[30] 「事故時放射線分解に関する研究」, BWR 電力共通研究, 昭和63年3月</p>	<p>[23] D. Jacquemain, et al., "FPT1 Final Report Final Version", December 2000.</p> <p>[24] R.K. Hilliard et al., "Aerosol Behavior Code Validation and Evaluation (ABCOVE) Preliminary Results of Test AB5", HEDL-SA-2854FP, Feb. 1983.</p> <p>[25] 三菱PWR 炉心損傷に係る重要事故シーケンスへのM-R E L A P 5 コードの適用性について, MHI-NES-1054、三菱重工業、平成25年</p> <p>[26] K. Kang, et, al., "Experimental Investigations on In-Vessel Corium Retention through Inherent Gap Cooling Mechanisms", Journal of Nuclear Science and Technology, 2006.</p> <p>[27] JAEA-Research 2007-072 「軽水炉シビアアクシデント時の炉外水蒸気爆発による格納容器破損確率の評価」 2007年8月</p>	

## 泊発電所3号炉 有効性評価 比較表

付録3 重大事故等対策の有効性評価に係るシビアアクシデント解析コードについて（第3部 MAAPコード）

赤字：設備、運用又は体制の相違（設計方針の相違）  
 青字：記載箇所又は記載内容の相違（記載方針の相違）  
 緑字：記載表現、設備名称の相違（実質的な相違なし）

女川原子力発電所2号炉	泊発電所3号炉	相違理由
<p>参考1 MAAPとNUREG-1465のソースタームについて</p> <p>1. まえがき</p> <p>MAAPでは、炉心溶融に伴う燃料からの核分裂生成物（FP）の放出及びFPの状態変化・輸送モデル等がモデル化されており、炉心溶融時の原子炉格納容器内へのFPの放出及び原子炉格納容器内のFPの移行挙動を事象進展に応じて評価することができる。</p> <p>一方で、炉心溶融を考慮した場合の原子炉格納容器内へのFPの放出及びFPの状態変化・輸送モデルとしては、米国NRCで整備されたNUREG-1465<sup>(k-1)</sup>のソースタームがあり、海外での規制等に活用されている。</p> <p>本参考資料は、MAAPのソースタームとNUREG-1465のソースタームの比較検討を行うことで、MAAPによる原子炉格納容器内ソースターム評価の特徴について考察したものである。</p>	<p>参考1</p> <p>MAAPコードとNUREG-1465のソースタームの比較について</p> <p>1. まえがき</p> <p>MAAPコードでは炉心溶融に伴う燃料からの核分裂生成物（FP）の放出及びFPの状態変化及び輸送モデル等がモデル化されており、炉心溶融時の原子炉格納容器内へのFPの放出及び原子炉格納容器内のFPの移行挙動を事象進展に応じて評価することができる。</p> <p>一方で炉心溶融を考慮した場合の原子炉格納容器内へのFPの放出及びFPの状態変化及び輸送モデルとしては、米国NRCで整備されたNUREG-1465のソースタームがあり、海外での規制等に活用されており、有効性評価における被ばく評価に使用している。</p> <p>本参考資料は、MAAPコードのソースタームと被ばく評価に用いているNUREG-1465のソースタームの比較検討を行うことで、MAAPコードによる原子炉格納容器内ソースターム評価の特徴について考察したものである。</p>	<p>※BWRはMAAPのソースタームを使用するのに対し、PWRではNUREG-1465を使用する</p>

## 泊発電所3号炉 有効性評価 比較表

赤字：設備、運用又は体制の相違（設計方針の相違）  
 青字：記載箇所又は記載内容の相違（記載方針の相違）  
 緑字：記載表現、設備名称の相違（実質的な相違なし）

付録3 重大事故等対策の有効性評価に係るシビアアクシデント解析コードについて（第3部 MAAP コード）

女川原子力発電所2号炉	泊発電所3号炉	相違理由
<p>2. NUREG-1465 の代替ソースターム</p> <p>NUREG-1465 では、格納容器への放出過程を以下の四つのフェーズごとに分けて評価している。これらの放出フェーズには継続時間が設定され、各放出フェーズにおける放出率は一定としている。</p> <p><u>ギャップ放出（燃料被覆管破損から 0.5 時間）</u> 燃料被覆管の破損が生じ、燃料ペレットと燃料被覆管との間のギャップに存在するFPが放出される。</p> <p><u>早期原子炉圧力容器内放出（炉心損傷から 1.5 時間）</u> 炉心損傷開始から、溶融炉心が原子炉圧力容器底部へ落下して原子炉圧力容器底部が破損するまでの期間に燃料からFPが放出される。</p> <p><u>原子炉圧力容器外放出（原子炉圧力容器破損から 3.0 時間）</u> 原子炉圧力容器底部の破損後、格納容器下部区画に落下した溶融炉心がコンクリートと反応し、FPが放出される。この放出は溶融炉心が十分冷却されたときに終了する。</p> <p><u>後期原子炉圧力容器内放出（原子炉圧力容器破損から 10 時間）</u> 早期原子炉圧力容器内放出期間に原子炉圧力容器内に沈着していた揮発性核種（ハロゲン、アルカリ金属、テルルグループ）が再蒸発し、原子炉格納容器へ放出される。</p> <p>FP組成については、物理・化学的挙動の類似性や放射線学的影響の重要度等に基づき、各核種の放射能量を求める用途に用いることから、以下の八つの元素ごとのグループに分類している。一方、MAAPでは化学的形態を考慮して、FPを12のグループに分類し、炉心からの放出速度と原子炉圧力容器内及び原子炉格納容器内での移行挙動を評価している。NUREG-1465におけるFPグループの分類は、WASH-1400<sup>[4-2]</sup>におけるFPグループ分けをもとに、その後の検討を反映したものであり、炉心温度に対する放出速度の相違に基づいたMAAPコードの分類と直接的な関連はない。しかしながら、MAAPコードで分類されている放射性物質のうち、放出に寄与するものはNUREG-1465のソースタームにおいても網羅されている。このため、MAAPコードによる原子炉格納容器内ソースタームの評価を行うにあたり必要な核種が取り扱われていると考えられる。</p>	<p>2. NUREG-1465 の更新ソースタームについて</p> <p>MAAPコードではFPを12のグループに分類し、炉心からの放出速度と1次冷却系内及び原子炉格納容器内での移行挙動を計算している。</p> <p>一方、原子炉格納容器内のソースタームについては、NUREG-1465<sup>[4-1]</sup>では、8つのFPグループに対して、4つの放出フェーズ毎の原子炉格納容器内のソースタームを評価している。MAAPコードのソースタームとNUREG-1465のソースタームの相違について、参考文献[A-2]において検討がなされており、以下にまとめる。</p> <p>NUREG-1465の更新ソースタームでは、原子炉格納容器へのFP放出過程を以下の4つのフェーズに分類している。これらの放出フェーズには継続時間が設定され、各放出フェーズにおける放出率は一定としている。</p> <p><u>ギャップ放出（燃料被覆管破損から 0.5 時間）</u> 燃料被覆管の破損が生じ、燃料ペレットと燃料被覆管との間のギャップに存在するFPが放出される。</p> <p><u>早期原子炉容器内放出（炉心損傷から 1.3 時間）</u> 炉心損傷開始から、溶融炉心が原子炉容器底部へ落下して原子炉容器底部が破損するまでの期間に燃料からFPが放出される。</p> <p><u>原子炉容器外放出（原子炉容器破損から 2.0 時間）</u> 原子炉容器底部の破損後、原子炉下部キャビティに落下した溶融炉心がコンクリートと反応し、FPが放出される。この放出は溶融炉心が十分冷却されたときに終了する。</p> <p><u>後期原子炉容器内放出（原子炉容器破損から 10 時間）</u> 早期原子炉容器内放出期間に1次冷却系内に沈着していた揮発性核種（ハロゲン、アルカリ金属、テルルグループ）が再蒸発し、原子炉格納容器へ放出される。</p> <p>FP組成については、物理・化学的挙動の類似性や放射線学的影響の重要度等に基づき、各核種の放射能量を求める用途に用いることから、以下の8つの元素ごとのグループに分類している。NUREG-1465におけるFPグループの分類は、WASH-1400<sup>[4-3]</sup>におけるFPグループ分けを祖とし、その後の検討を反映したものであり、炉心温度に対する放出速度の相違に基づいたMAAPコードの分類と直接的な関連はない。しかしながら、MAAPコードで分類されている放射性物質のうち、放出に寄与するものはNUREG-1465のソースタームにおいても網羅されている。このため、MAAPコードによる原子炉格納容器内ソースタームの評価を行うにあたり必要な核種が取り扱われていると考えられる。</p>	

## 泊発電所3号炉 有効性評価 比較表

赤字：設備、運用又は体制の相違（設計方針の相違）  
 青字：記載箇所又は記載内容の相違（記載方針の相違）  
 緑字：記載表現、設備名称の相違（実質的な相違なし）

付録3 重大事故等対策の有効性評価に係るシビアアクシデント解析コードについて（第3部 MAAPコード）

女川原子力発電所2号炉		泊発電所3号炉		相違理由																																																																																							
<p style="text-align: center;">〔FPの核種グループ〕</p> <p>(NUREG-1465)</p> <table border="1"> <thead> <tr> <th>グループ</th> <th>核種</th> </tr> </thead> <tbody> <tr><td>1</td><td>希ガス/Xe, Kr</td></tr> <tr><td>2</td><td>ハロゲン/I, Br</td></tr> <tr><td>3</td><td>アルカリ金属/Cs, Rb</td></tr> <tr><td>4</td><td>テルルグループ/ Te, Sb, Se</td></tr> <tr><td>5</td><td>バリウム・ストロンチウム/ Ba, Sr</td></tr> <tr><td>6</td><td>貴金属/ Ru, Rh, Pd, Mo, Tc, Co</td></tr> <tr><td>7</td><td>ランタノイド/ La, Zr, Nd, Eu, Nb, Pm, Pr, Sm, Y, Cm, Am</td></tr> <tr><td>8</td><td>セリウムグループ/ Ce, Pu, Np</td></tr> </tbody> </table> <p style="text-align: center;">(MAAP)</p> <table border="1"> <thead> <tr> <th>グループ</th> <th>核種</th> </tr> </thead> <tbody> <tr><td>1</td><td>希ガス</td></tr> <tr><td>2</td><td>CsI</td></tr> <tr><td>3</td><td>TeO<sub>2</sub></td></tr> <tr><td>4</td><td>SrO</td></tr> <tr><td>5</td><td>MoO<sub>2</sub></td></tr> <tr><td>6</td><td>CsOH</td></tr> <tr><td>7</td><td>BaO</td></tr> <tr><td>8</td><td>La<sub>2</sub>O<sub>3</sub></td></tr> <tr><td>9</td><td>CeO<sub>2</sub></td></tr> <tr><td>10</td><td>Sb</td></tr> <tr><td>11</td><td>Te<sub>2</sub></td></tr> <tr><td>12</td><td>UO<sub>2</sub></td></tr> </tbody> </table>		グループ	核種	1	希ガス/Xe, Kr	2	ハロゲン/I, Br	3	アルカリ金属/Cs, Rb	4	テルルグループ/ Te, Sb, Se	5	バリウム・ストロンチウム/ Ba, Sr	6	貴金属/ Ru, Rh, Pd, Mo, Tc, Co	7	ランタノイド/ La, Zr, Nd, Eu, Nb, Pm, Pr, Sm, Y, Cm, Am	8	セリウムグループ/ Ce, Pu, Np	グループ	核種	1	希ガス	2	CsI	3	TeO <sub>2</sub>	4	SrO	5	MoO <sub>2</sub>	6	CsOH	7	BaO	8	La <sub>2</sub> O <sub>3</sub>	9	CeO <sub>2</sub>	10	Sb	11	Te <sub>2</sub>	12	UO <sub>2</sub>	<p style="text-align: center;">〔FPの核種グループ〕</p> <p>(NUREG-1465)</p> <table border="1"> <thead> <tr> <th>グループ</th> <th>核種</th> </tr> </thead> <tbody> <tr><td>1</td><td>希ガス/Xe, Kr</td></tr> <tr><td>2</td><td>ハロゲン/I, Br</td></tr> <tr><td>3</td><td>アルカリ金属/Cs, Rb</td></tr> <tr><td>4</td><td>テルルグループ/ Te, Sb, Se</td></tr> <tr><td>5</td><td>バリウム・ストロンチウム/ Ba, Sr</td></tr> <tr><td>6</td><td>貴金属/ Ru, Rh, Pd, Mo, Tc, Co</td></tr> <tr><td>7</td><td>ランタノイド/ La, Zr, Nd, Eu, Nb, Pm, Pr, Sm, Y, Cm, Am</td></tr> <tr><td>8</td><td>セリウムグループ/ Ce, Pu, Np</td></tr> </tbody> </table> <p style="text-align: center;">(MAAPコード)</p> <table border="1"> <thead> <tr> <th>グループ</th> <th>代表核種</th> </tr> </thead> <tbody> <tr><td>1</td><td>希ガス</td></tr> <tr><td>2</td><td>CsI</td></tr> <tr><td>3</td><td>TeO<sub>2</sub></td></tr> <tr><td>4</td><td>SrO</td></tr> <tr><td>5</td><td>MoO<sub>2</sub></td></tr> <tr><td>6</td><td>CsOH</td></tr> <tr><td>7</td><td>BaO</td></tr> <tr><td>8</td><td>La<sub>2</sub>O<sub>3</sub></td></tr> <tr><td>9</td><td>CeO<sub>2</sub></td></tr> <tr><td>10</td><td>Sb</td></tr> <tr><td>11</td><td>Te<sub>2</sub></td></tr> <tr><td>12</td><td>UO<sub>2</sub></td></tr> </tbody> </table>		グループ	核種	1	希ガス/Xe, Kr	2	ハロゲン/I, Br	3	アルカリ金属/Cs, Rb	4	テルルグループ/ Te, Sb, Se	5	バリウム・ストロンチウム/ Ba, Sr	6	貴金属/ Ru, Rh, Pd, Mo, Tc, Co	7	ランタノイド/ La, Zr, Nd, Eu, Nb, Pm, Pr, Sm, Y, Cm, Am	8	セリウムグループ/ Ce, Pu, Np	グループ	代表核種	1	希ガス	2	CsI	3	TeO <sub>2</sub>	4	SrO	5	MoO <sub>2</sub>	6	CsOH	7	BaO	8	La <sub>2</sub> O <sub>3</sub>	9	CeO <sub>2</sub>	10	Sb	11	Te <sub>2</sub>	12	UO <sub>2</sub>
グループ	核種																																																																																										
1	希ガス/Xe, Kr																																																																																										
2	ハロゲン/I, Br																																																																																										
3	アルカリ金属/Cs, Rb																																																																																										
4	テルルグループ/ Te, Sb, Se																																																																																										
5	バリウム・ストロンチウム/ Ba, Sr																																																																																										
6	貴金属/ Ru, Rh, Pd, Mo, Tc, Co																																																																																										
7	ランタノイド/ La, Zr, Nd, Eu, Nb, Pm, Pr, Sm, Y, Cm, Am																																																																																										
8	セリウムグループ/ Ce, Pu, Np																																																																																										
グループ	核種																																																																																										
1	希ガス																																																																																										
2	CsI																																																																																										
3	TeO <sub>2</sub>																																																																																										
4	SrO																																																																																										
5	MoO <sub>2</sub>																																																																																										
6	CsOH																																																																																										
7	BaO																																																																																										
8	La <sub>2</sub> O <sub>3</sub>																																																																																										
9	CeO <sub>2</sub>																																																																																										
10	Sb																																																																																										
11	Te <sub>2</sub>																																																																																										
12	UO <sub>2</sub>																																																																																										
グループ	核種																																																																																										
1	希ガス/Xe, Kr																																																																																										
2	ハロゲン/I, Br																																																																																										
3	アルカリ金属/Cs, Rb																																																																																										
4	テルルグループ/ Te, Sb, Se																																																																																										
5	バリウム・ストロンチウム/ Ba, Sr																																																																																										
6	貴金属/ Ru, Rh, Pd, Mo, Tc, Co																																																																																										
7	ランタノイド/ La, Zr, Nd, Eu, Nb, Pm, Pr, Sm, Y, Cm, Am																																																																																										
8	セリウムグループ/ Ce, Pu, Np																																																																																										
グループ	代表核種																																																																																										
1	希ガス																																																																																										
2	CsI																																																																																										
3	TeO <sub>2</sub>																																																																																										
4	SrO																																																																																										
5	MoO <sub>2</sub>																																																																																										
6	CsOH																																																																																										
7	BaO																																																																																										
8	La <sub>2</sub> O <sub>3</sub>																																																																																										
9	CeO <sub>2</sub>																																																																																										
10	Sb																																																																																										
11	Te <sub>2</sub>																																																																																										
12	UO <sub>2</sub>																																																																																										
<p>NUREG-1465のFPの放出割合については、上述のFP核種グループごとに平均的な放出割合を「代替ソースターム」としてまとめている。代替ソースタームでは、炉型（BWRプラントとPWRプラント）ごとのソースタームが設定されているが、これは、BWRとPWRでは炉心出力密度やZr酸化量の違いにより、FP放出量や放出タイミングに相違が生じると評価されたためである。</p> <p>なお、ソースタームの放出割合は、保守的に設定された損傷燃料からの初期FP放出（ギャップ放出）を除き、原子炉圧力容器が低圧で破損する事故について、保守的あるいは限界的な値というより、代表的又は典型的な値を示しており、全てのシビアアクシデントの事故シーケンスを包絡しているわけではなく、ある単一の事故シーケンスを表しているものでもない。NUREG-1465で提案されたBWRプラントに対する代替ソースタームを以下に示す。</p>																																																																																											

## 泊発電所3号炉 有効性評価 比較表

赤字：設備、運用又は体制の相違（設計方針の相違）  
 青字：記載箇所又は記載内容の相違（記載方針の相違）  
 緑字：記載表現、設備名称の相違（実質的な相違なし）

付録3 重大事故等対策の有効性評価に係るシビアアクシデント解析コードについて（第3部 MAAPコード）

女川原子力発電所2号炉	泊発電所3号炉	相違理由
<p>3. MAAPとNUREG-1465のソースタームの比較</p> <p>参考文献<sup>[4-3]</sup>において、米国Peach Bottom プラント（Mark-I型格納容器/BWR 4）を対象に、下記に示した三つの事故シーケンスに対して、MAAPによるシビアアクシデント解析結果から得られた原子炉格納容器内ソースタームとNUREG-1465で示されているBWRプラントの原子炉格納容器内のソースタームが比較されており、以下に概要を示す。</p> <p>〔事故シーケンス〕</p> <ul style="list-style-type: none"> <li>・TB1 シーケンス（全交流動力電源喪失）+10時間でバッテリー枯渪</li> <li>・TC2 シーケンス（ATWS）+原子炉圧力容器減圧なし</li> <li>・S2E1 シーケンス（2インチ破断）</li> </ul> <p>図1に、NUREG-1465、MAAP及び従来の立地評価における仮想事故相当について、原子炉圧力容器破損後1時間時点における原子炉格納容器内ソースターム放出割合の比較を示す。希ガスについては、すべてのシーケンスにおいてほぼ全量を放出しきっており、NUREG-1465及び仮想事故相当と同程度の放出割合となっている。高揮発性の核種であるよう素については、TB1 シーケンスを除いて NUREG-1465 及び仮想事故相当と同程度の放出割合となっており、Cs, Teともに同様の傾向を示している。TB1 シーケンスにおいて放出割合が少なくなっている理由としては、原子炉圧力容器の破損時刻が他の事象に比べて遅く、原子炉圧力容器内へのFP沈着量が多くなっているためと考えられる。また、低揮発性の核種であるSrについては、NUREG-1465に比べてMAAPの方が1桁程度少ない結果となっているものの、核種ごとの全体的な放出割合は同様の傾向を示している。</p> <p>図2に、NUREG-1465、MAAP及び従来の立地評価における仮想事故相当について、事故収束後における原子炉格納容器内ソースターム放出割合の比較を示す。図1に示した原子炉圧力容器破損後1時間の時点において、原子炉格納容器側へFPをほぼ放出しきっており、原子炉圧力容器破損後1時間時点の放出割合と同様となっている。なお、仮想事故では、瞬時放出の扱いとなっており、放出割合の時間変化は考慮されていない。</p>	<p>3. MAAPコードとNUREG-1465のソースタームの比較について</p> <p>NUREG-1465のFPの放出割合については、上述のFP核種グループ毎に平均的な放出割合を「更新ソースターム」としてまとめている。ここでは、低圧シーケンス（原子炉容器が低圧で破損するシーケンス）に対して、FP放出割合に関する不確かさ評価結果に基づき、不確かさ分布の統計値が採用されている。ここで、低圧シーケンスを選定した理由は、高圧シーケンスに比べて、1次冷却系内の滞留時間が短いため、FP保持効果が低くなり、早期原子炉容器内放出フェーズにおいて原子炉格納容器への放出がより多くなること、高圧シーケンスに比べて低圧シーケンスの発生頻度が高いことによる<sup>[4-4]</sup>。このように評価した更新ソースタームを以下に記す。</p>	

## 泊発電所3号炉 有効性評価 比較表

付録3 重大事故等対策の有効性評価に係るシビアアクシデント解析コードについて（第3部 MAAP コード）

赤字：設備、運用又は体制の相違（設計方針の相違）  
 青字：記載箇所又は記載内容の相違（記載方針の相違）  
 緑字：記載表現、設備名称の相違（実質的な相違なし）

女川原子力発電所2号炉						泊発電所3号炉						相違理由
【参考のため掲載順を入れ替えた】						【更新ソースターム（PWR プラント）】						
[代替ソースターム（BWR プラント）]						(初期炉内インベントリに対する割合)						
グループ	名称	ギャップ放出	早期原子炉圧力容器内放出	原子炉圧力容器外放出	後期原子炉圧力容器内放出	グループ	名称	ギャップ放出	早期原子炉容器内放出	原子炉容器外放出	後期原子炉容器内放出	
1	希ガス	0.05	0.95	0	0	1	希ガス	0.05	0.95	0	0	
2	ハロゲン	0.05	0.25	0.30	0.01	2	ハロゲン	0.05	0.35	0.25	0.1	
3	アルカリ金属	0.05	0.20	0.35	0.01	3	アルカリ金属	0.05	0.25	0.35	0.1	
4	Te グループ	0	0.05	0.25	0.005	4	Te グループ	0	0.05	0.25	0.005	
5	Ba, Sr	0	0.02	0.1	0	5	Ba, Sr	0	0.02	0.1	0	
6	貴金属	0	0.0025	0.0025	0	6	貴金属	0	0.0025	0.0025	0	
7	ランタノイド	0	0.0002	0.005	0	7	ランタノイド	0	0.0002	0.005	0	
8	Ce グループ	0	0.0005	0.005	0	8	Ce グループ	0	0.0005	0.005	0	

## 泊発電所 3号炉 有効性評価 比較表

付録3 重大事故等対策の有効性評価に係るシビアアクシデント解析コードについて（第3部 MAAP コード）

赤字：設備、運用又は体制の相違（設計方針の相違）  
 青字：記載箇所又は記載内容の相違（記載方針の相違）  
 緑字：記載表現、設備名称の相違（実質的な相違なし）

泊発電所 3号炉 有効性評価 比較表	泊発電所 3号炉	相違理由									
女川原子力発電所 2号炉	<p>NUREG-1465 で参照されている PWR の原子炉格納容器内のソースタームを用いたシビアアクシデント時の原子炉格納容器外への放出割合について、MAAP コードによる解析結果との比較を実施する。被ばく評価の観点で厳しいものとして、炉心損傷が早く、格納容器スプレイが失敗し、原子炉格納容器の圧力が高く推移する「大破断 LOCA+ECCS 注入失敗+格納容器スプレイ失敗」を対象とする。</p> <p>A) 原子炉格納容器内での挙動について          炉心に蓄積した FP は、炉心溶融に伴って原子炉格納容器内へ放出され、原子炉格納容器内での重力沈降やスプレイによる除去により放射能量は低減されながら、原子炉格納容器内に浮遊する。さらに、有効性評価の原子炉格納容器圧力の変化を基に設定された原子炉格納容器からの漏えい率にしたがって放出される。</p> <p>B) 原子炉格納容器内への放出のタイミングについて          以下の代表 3 ループプラントの評価例に示すとおり、炉心溶融開始及び原子炉容器破損のタイミングについては、ほぼ同じであると考えられ、FP が大量に放出される初期の事象進展に大きな差がないと判断している。</p> <table border="1"> <tr> <td></td><td>燃料被覆管損傷が開始し、ギャップから放射性物質が放出される期間</td><td>炉心溶融が開始し、溶融燃料が原子炉容器を破損するまでの期間</td></tr> <tr> <td>MAAP コード</td><td>～約 19 分</td><td>約 19 分～約 1.5 時間</td></tr> <tr> <td>NUREG-1465</td><td>～30 分</td><td>30 分～1.8 時間</td></tr> </table> <p>C) 原子炉格納容器からの放出割合の比較について          NUREG-1465 ベースの原子炉格納容器からの放出割合と MAAP コード解析結果に対してよう素の化学形態の補正を行った原子炉格納容器からの放出割合を比較する。比較に当たっては、被ばく上主要な元素であるよう素及び Cs を代表とする。          よう素については、粒子状よう素に対する MAAP コード解析の結果に、有機よう素及び無機よう素に対しては、放出タイミングを MAAP コード解析の希ガスと同等、放出割合を NUREG-1465 の 75% とし、RG1.195<sup>[4-6]</sup> ベースの各化学形態の存在比、沈着等を別途考慮して表 3.A-1 のとおり補正した値である。その他の元素については、MAAP コード解析結果を表 3.A-2 のとおり用いたものである。MAAP コードベースのよう素補正計算概要を図 3.A-1 に示す。NUREG-1465 ベースの計算は、中央制御室等の居住性評価や有効性評価のうち Cs-137 放出量の評価に用いる評価と同じものである。NUREG-1465 ベースの計算概要を図 3.A-2 に示す。原子炉格納容器浮遊量の時間変化は、各放出フェーズの原子炉格納容器への放出割合と沈着等の減少効果のバランスを解いている。原子炉格納容器からの放出量は原子炉格納容器浮遊量に原子炉格納容器漏えい率を乗じている。原子炉格納容器漏えい率は、MAAP コードベースの計算では、現実的な原子炉格納容器から</p>		燃料被覆管損傷が開始し、ギャップから放射性物質が放出される期間	炉心溶融が開始し、溶融燃料が原子炉容器を破損するまでの期間	MAAP コード	～約 19 分	約 19 分～約 1.5 時間	NUREG-1465	～30 分	30 分～1.8 時間	
	燃料被覆管損傷が開始し、ギャップから放射性物質が放出される期間	炉心溶融が開始し、溶融燃料が原子炉容器を破損するまでの期間									
MAAP コード	～約 19 分	約 19 分～約 1.5 時間									
NUREG-1465	～30 分	30 分～1.8 時間									

泊発電所 3号炉 有効性評価 比較表

付録3 重大事故等対策の有効性評価に係るシビアアクシデント解析コードについて（第3部 MAAP コード）

女川原子力発電所2号炉	泊発電所 3号炉	相違理由
	<p>の放出量を求める観点から、MAAP コード解析に基づく圧力解析値を用いて差圧流の式で漏えい率を算定し、NUREG-1465 ベースの計算では保守的な原子炉格納容器からの放出量を求める観点から、MAAP コードベースの値に余裕を考慮したものを用いている。</p> <p>よう素の原子炉格納容器内浮遊量の経時変化について図 3.A-3 及び図 3.A-4 に、その他の核種として被ばくの観点で代表的な Cs の原子炉格納容器浮遊量の経時変化について図 3.A-5 及び図 3.A-6 に示す。</p> <p>MAAP コードベースの評価結果は炉心溶融時点及び原子炉容器損傷時点で放出のピークが見られており、NUREG-1465 ベースについては、ギャップ放出～後期原子炉内放出の 4 つの放出フェーズが確認される。それぞれの挙動の考察については以下のとおりである。</p> <p>(a) 短期的な挙動（ピーク値）の比較</p> <p>燃料中に存在する核分裂生成物は、大半がペレット内に保持され、炉心溶融につれてペレットから格納容器に放出される。FP の放出速度は、MAAP コードにおいては 3.3.8(1) に示した炉心燃料からの FP 放出モデルに基づき計算され、NUREG-1465 ベースにおいては各フェーズの値に基づいている。</p> <p>原子炉格納容器内浮遊量（炉心内蓄積量に対する割合）の短期的な挙動（ピーク値）はピーク値が出る時間帯において屋外で作業をする場合の線量評価において重要となる。</p> <p>よう素については、MAAP コードベースのピーク値（約 0.4）が NUREG-1465 ベース（約 0.1）よりも高めの値を与える結果となった。図 3.A-3 に示すとおり無機（元素状）よう素の浮遊量が支配的であり、これは無機よう素の割合が放出初期から RG1.195 に示される化学組成の割合として 91% を用いていることに起因している。</p> <p>3.3.8(4) に示すとおり、無機よう素は CsI エアロゾルが水中で溶解し、放射線による水の分解により生成した反応性の高い化学種（OH 等のラジカル）により化学反応が促進され生成され、その割合は pH に依存することが知られており、pH が低いほどヨウ化イオンが結合してよう素が生成される。水中のよう素の反応は専用コードを使用しても精度の良い予測が非常に難しいが、事故初期の pH については、ほう酸水の pH（約 4.5）程度であると推定される。</p> <p>NUREG/CR-5732<sup>[k-6]</sup> にヨウ化イオン（I<sup>-</sup>）とよう素（I<sub>2</sub>）の存在割合と pH の関係が整理されており、図 3.A-7 に示す。これによれば、pH4.5 の場合の I<sub>2</sub> の存在割合は約 15% であり、無機よう素の割合としては RG1.195 に示される値（91%）の約 1/6 となる。したがって、現実的なよう素の浮遊割合は有機 4%、無機 15%、粒子 5% の合計 24% となり浮遊量としては 1/4 程度と考えられる。この効果を考慮すると、図 3.A-3 に示す MAAP コードベースの浮遊量のピーク値は 0.4 から 0.1 程度となり、図 3.A-4 に示す NUREG-1465 ベースと同等となると考えられる。</p> <p>上記の推定は初期に無機よう素が浮遊しているという仮定であるが、粒子状よう素が原子炉格納容器内の水に接触せずに粒子状よう素から無機よう素への変換が生じなく粒子状よう素のまま気相部に残存すると仮定した場合は、事象初期に高線量となる可能性がある。このように、事象の初期の炉心損傷時点においては、粒子状よう素の水中への溶解を伴う挙動の正確な予測が難しく今後の課題であると考える。</p>	

## 泊発電所 3 号炉 有効性評価 比較表

付録 3 重大事故等対策の有効性評価に係るシビアアクシデント解析コードについて（第3部 MAAP コード）

赤字：設備、運用又は体制の相違（設計方針の相違）  
 青字：記載箇所又は記載内容の相違（記載方針の相違）  
 緑字：記載表現、設備名称の相違（実質的な相違なし）

女川原子力発電所 2 号炉	泊発電所 3 号炉	相違理由
	<p>Cs については、図 3.A-5 及び図 3.A-6 のピーク値は同程度であること、屋外滞在時の線量については直接スカイシャイン線量の寄与が多く、表 3.A-3 に示す評価例のとおり原子炉建屋内の線源のうち Cs からの寄与は支配的ではないことから、Cs のピーク値の違いは結果として影響しない。</p> <p>(b) 長期的な挙動（積分値）の比較</p> <p>長期的な挙動（積分値）において、よう素については沈着及びスプレイによって除去されない有機よう素が支配的となり両者の挙動は同等となる。Cs 等の粒子状物質については、MAAP コードベースの原子炉格納容器内の沈着は、重力沈降に加え、拡散泳動、熱泳動、慣性衝突等の挙動を考慮したモデルである一方、NUREG-1465 ベースの原子炉格納容器内の沈着については重力沈降による除去のみを取り扱っているため、原子炉格納容器内の浮遊 FP 量を高めに評価する傾向となる。代表 3 ループプラントの原子炉格納容器からの放出割合評価例を表 3.A-4 に示す。この結果から、シビアアクシデント時の原子炉格納容器からの放出割合については、MAAP コード解析での評価のほうが、NUREG-1465 を用いたモデルでの評価よりも低い数値となっている。一部の元素グループ（Ru 類：貴金属）については MAAP コード解析での評価値が高めとなっているが、これは燃料から原子炉格納容器への放出割合についてグループ内を代表する元素が MAAP コードでは Mo、NUREG-1465 では Ru と相違していることに起因するものと考えられる。ただし、表 3.A-5 に示すとおり、Ru 類の環境に放出される放射性物質放出量はよう素 131 等価量に換算すると微小であり、影響は小さい。なお、よう素 131 等価量は、よう素 131 の実効線量係数に対する各核種の実効線量係数の比を各核種の放射能量に乗じて合算したものである。</p> <p>(c) 被ばく評価結果への影響</p> <p>MAAP コードではよう素の化学形態を考慮できないという課題はあるが、前述の方法のように、よう素の化学形態を仮定することで NUREG-1465 ベースによる評価との比較を行った。比較に当たっては、被ばく上主要な元素であるよう素及び Cs を代表とした。</p> <p>その結果、(a)項及び(b)項のとおり、MAAP コードベースの原子炉格納容器内の沈着は、重力沈降に加え、拡散泳動、熱泳動、慣性衝突等の挙動を考慮したモデルである一方、NUREG-1465 ベースの原子炉格納容器内の沈着については重力沈降による除去のみを取り扱っていることから、MAAP コードベースの評価は NUREG-1465 ベースと同等あるいは小さめな結果を与える。</p> <p>なお、水中のよう素の反応は精度の良い予測が難しく、特に事象初期の挙動予測は今後の課題であると考える。</p>	

## 泊発電所3号炉 有効性評価 比較表

付録3 重大事故等対策の有効性評価に係るシビアアクシデント解析コードについて（第3部 MAAPコード）

赤字：設備、運用又は体制の相違（設計方針の相違）  
 青字：記載箇所又は記載内容の相違（記載方針の相違）  
 緑字：記載表現、設備名称の相違（実質的な相違なし）

女川原子力発電所2号炉	泊発電所3号炉	相違理由
<p>4.まとめ</p> <p>MAAPのソースタームと NUREG-1465 のソースタームの比較検討を行った。NUREG-1465 では、物理・化学的挙動の類似性等から八つの核種グループに分類されているのに対し、MAAPでは炉心からの放出速度の相違に基づき 12 グループに分類されているが、両者の比較から、放出に寄与するものは網羅されており、原子炉格納容器内ソースタームの評価にあたって、取り扱われている核種は同等であることを確認した。また、NUREG-1465 における原子炉格納容器内ソースタームとMAAPにおける解析結果の比較を行い、MAAPにおける原子炉格納容器内ソースタームは、シーケンスによって違いがあるものの、NUREG-1465 のソースタームとほぼ同等であることを確認した。</p>	<p>4.まとめ</p> <p>MAAPコードのソースタームと被ばく評価に用いている NUREG-1465 のソースタームの比較検討を行うことで、MAAPコードによる原子炉格納容器内ソースターム評価の特徴について考察し、以下を確認した。</p> <ul style="list-style-type: none"> <li>MAAPコードの核種グループは、炉心温度に対する放出速度に基づき 12 グループに分類されている。これに対し、NUREG-1465 は物理・化学的挙動の類似性等の観点から 8 つのグループに分類されており、グループ分類の設定の考え方方が異なるものの、MAAPコードで分類されている放射性物質のうち、放出に寄与するものは NUREG-1465 のソースタームでも網羅されており、MAAPコードによる原子炉格納容器内ソースタームの評価を行うにあたり必要な核種が取り扱われていると考えられる。</li> <li>原子炉格納容器からの放出割合に関し、MAAPコードではよう素の化学形態をスプレイによる除去や沈着を見込むことができる粒子状よう素のみを取り扱っているため、スプレイで除去されない無機よう素や、スプレイで除去されず沈着もしない有機よう素の存在が想定される場合にMAAPコードによる解析結果は過小評価する傾向がある。</li> <li>よう素の化学形態に関しては、MAAPコードの解析結果に対し、R.G.1.195、NUREG-1465 や NUREG/CR-5732 等に基づき無機よう素や有機よう素の影響を補正して取り扱うことで、NUREG-1465 ベースと同等の評価結果となり得る。ただし、粒子状よう素の水中への溶解を伴う挙動については正確な予測が難しいことから、その点で課題があると考えられる。</li> <li>原子炉格納容器外への放出量について、MAAPコードベースの評価は NUREG-1465 ベースと比べて全般に小さな結果を与える傾向がある。これは、原子炉格納容器内のエアロゾルの沈着について、NUREG-1465 ベースの評価では重力沈降による気相部の放射性物質濃度の低減のみを取り扱っているのに対して、MAAPコードベースでは重力沈降に加え、拡散泳動、熱泳動、慣性衝突等を模擬した実現象を踏まえたモデルであるためと考えられる。なお、一部の元素グループ（Ru 類：貴金属）についてはMAAPコード解析での評価値が高めとなる。これは燃料から原子炉格納容器への放出割合についてグループ内を代表する元素の相違に起因するものと考えられるが、Ru 類の環境に放出される放射性物質放出量はよう素 131 等価量に換算すると微小であり、線量への影響は小さい。</li> </ul> <p>以上のことから、MAAPコードの FP 挙動モデルは、よう素の化学形態の模擬性に起因して、よう素の環境への放出量を過小評価する場合があるため、ソースターム評価にMAAPコードを適用する際には、MAAPコードの解析結果に対し、よう素の化学形態に関して適切な補正を行う等の取扱いを考慮する必要がある。</p>	

## 泊発電所3号炉 有効性評価 比較表

付録3 重大事故等対策の有効性評価に係るシビアアクシデント解析コードについて（第3部 MAAP コード）

赤字：設備、運用又は体制の相違（設計方針の相違）  
 青字：記載箇所又は記載内容の相違（記載方針の相違）  
 緑字：記載表現、設備名称の相違（実質的な相違なし）

泊発電所3号炉 有効性評価 比較表	泊発電所3号炉	相違理由
<p>女川原子力発電所2号炉</p> <p>5. 参考文献</p> <p>(A-1) "Accident Source Terms for Light-Water Nuclear Power Plants" , NUREG-1465, 1995.</p> <p>(A-2) "Reactor Safety Study: An Assessment of Accident Risks in U.S. Commercial Nuclear Power Plants" , NRC, WASH-1400(NUREG-75/014).</p> <p>(A-3) 社団法人 日本原子力学会, シビアアクシデント時の格納容器内の現実的ソースターム評価, 平成22年4月</p>	<p>泊発電所3号炉</p> <p>5. 参考文献</p> <p>[A-1] "Accident Source Terms for Light-Water Nuclear Power Plants" , NUREG-1465, 1995.</p> <p>[A-2] 社団法人 日本原子力学会「シビアアクシデント時の格納容器内の現実的ソースターム評価」(平成22年4月)</p> <p>[A-3] "Reactor Safety Study: An Assessment of Accident Risks in U.S. Commercial Nuclear Power Plants" , NRC, WASH-1400(NUREG-75/014)</p> <p>[A-4] "Severe Accident Risks: An Assessment for Five U.S. Nuclear Plants" , NUREG-1150, 1991.</p> <p>[A-5] "Methods and Assumptions for Evaluating Radiological Consequences of Design Basis Accidents at Light-Water Nuclear Power Reactors" , NRC Regulatory Guide 1.195.</p> <p>[A-6] E. C. Beahm, et al., "Iodine Chemical Forms in LWR Severe Accidents" , NUREG/CR-5732, 1992.</p>	

## 泊発電所3号炉 有効性評価 比較表

付録3 重大事故等対策の有効性評価に係るシビアアクシデント解析コードについて（第3部 MAAP コード）

赤字：設備、運用又は体制の相違（設計方針の相違）  
 青字：記載箇所又は記載内容の相違（記載方針の相違）  
 緑字：記載表現、設備名称の相違（実質的な相違なし）

女川原子力発電所2号炉	泊発電所3号炉				相違理由
	表 3.A-1 原子炉格納容器気相部浮遊 FP 量の影響評価方法 (よう素の化学形態の補正)				
		化学形態 (RG1.195)	放出割合及び 放出タイミング	スプレイ、沈着等による 気相部からの除去	原子炉格納容 器漏えい率
MAAP コード (補正)	有機よう素 (4%)	MAAPコード解析結果 (放出タイミングは保守的に最も早期に放出される希ガスの値を用いる。MAAPコードでは考慮されないので放出割合は NUREG-1465 の4つの放出フェーズの放出割合の合計値である75%とする)		考慮しない	MAAPコード解析に基づく圧力解析値を用いて差圧流の式で漏えい率を算定（下図「解析値」）
	無機よう素 (91%)		同上	MAAPコードでは考慮されないのでCSE実験に基づく沈着速度を用いて沈着を考慮。スプレイは考慮しない。	
	粒子状よう素 (5%)	MAAPコード解析結果		MAAPコード解析結果	
	粒子状物質	同上	同上	同上	
NUREG -1465	有機よう素 (4%)	NUREG-1465		考慮しない	MAAPコード解析に基づく値に余裕を考慮した値（下図「評価使用値」）
	無機よう素 (91%)		同上	スプレイ：考慮しない 沈着：CSE実験に基づく沈着速度	
	粒子状よう素 (5%)		同上	スプレイ：SRP6.5.2に基づく除去速度を用いる。 沈着：重力沈降に基づく沈着速度を用いる。	
	粒子状物質	同上	同上	同上	

泊発電所 3号炉 有効性評価 比較表

付録3 重大事故等対策の有効性評価に係るシビアアクシデント解析コードについて（第3部 MAAP コード）

赤字：設備、運用又は体制の相違（設計方針の相違）  
青字：記載箇所又は記載内容の相違（記載方針の相違）  
緑字：記載表現、設備名称の相違（実質的な相違なし）

女川原子力発電所 2号炉	泊発電所 3号炉	相違理由
	<p>【参考】 代表 3 ループプラントの原子炉格納容器漏えい率</p> <p>原子炉格納容器からの漏えい率(%/day)</p> <p>時間(hr)</p> <p>— 解析値 — 評価使用値(0.16%/day)</p>	

表 3.A-2 原子炉格納容器気相部浮遊 FP 量の影響評価方法  
(原子炉格納容器内放出割合)

グループ	核種	原子炉格納容器内放出割合の設定方法
1	希ガス/Xe, Kr	MAAP コードの希ガスの値を用いる。
2	ハロゲン/I, Br	表 3.A-1 のとおり
3	アルカリ金属/Cs, Rb	MAAP コードの CsI の放出割合 × 0.1 + MAAP コードの CsOH の放出割合 （I の炉心内蓄積量は Cs の約 1/10 である ことから、I と結合している Cs を、全炉 心 Cs の 1/10 と仮定し、更に全量の Cs が CsOH の形態で放出されると仮定。）
4	テルルグループ/ Te, Sb, Se	MAAP コードの TeO <sub>2</sub> , Sb, Te <sub>2</sub> の合計
5	バリウム・ストロンチウム/ Ba, Sr	MAAP コードの SrO と BaO の合計
6	貴金属/ Ru, Rh, Pd, Mo, Tc, Co	MAAP コードの MoO <sub>2</sub> の値を用いる。
7	ランタノイド/ La, Zr, Nd, Eu, Nb, Pm, Pr, Sm, Y, Cm, Am	MAAP コードの La <sub>2</sub> O <sub>5</sub> の値を用いる。
8	セリウムグループ/ Ce, Pu, Np	MAAP コードの CeO <sub>2</sub> の値を用いる。

## 泊発電所 3号炉 有効性評価 比較表

赤字：設備、運用又は体制の相違（設計方針の相違）  
 青字：記載箇所又は記載内容の相違（記載方針の相違）  
 緑字：記載表現、設備名称の相違（実質的な相違なし）

付録3 重大事故等対策の有効性評価に係るシビアアクシデント解析コードについて（第3部 MAAP コード）

女川原子力発電所2号炉	泊発電所 3号炉	相違理由																														
	<p>表 3.A-3 原子炉建屋内の放射性物質からのガンマ線による 中央制御室入退室時の被ばく評価における各核種グループの内訳 (代表3ループプラントの例：NUREG-1465 ベース)</p> <table border="1"> <thead> <tr> <th>核種グループ</th><th>直接線及びスカイシャイン線量<sup>(注1、2)</sup> (mSv)</th><th>内訳 (%)</th></tr> </thead> <tbody> <tr> <td>Xe 類</td><td>約 <math>2.8 \times 10^1</math></td><td>4</td></tr> <tr> <td>I 類</td><td>約 <math>6.1 \times 10^2</math></td><td>87</td></tr> <tr> <td>Cs 類</td><td>約 <math>3.4 \times 10^1</math></td><td>5</td></tr> <tr> <td>Te 類</td><td>約 <math>7.6 \times 10^0</math></td><td>1</td></tr> <tr> <td>Ba 類</td><td>約 <math>1.0 \times 10^1</math></td><td>1</td></tr> <tr> <td>Ru 類</td><td>約 <math>4.1 \times 10^{-1}</math></td><td>&lt;1</td></tr> <tr> <td>La 類</td><td>約 <math>9.0 \times 10^0</math></td><td>1</td></tr> <tr> <td>Ce 類</td><td>約 <math>1.7 \times 10^{-1}</math></td><td>&lt;1</td></tr> <tr> <td>合計</td><td>約 <math>7.0 \times 10^2</math></td><td>100</td></tr> </tbody> </table> <p>(注1) 中央制御室入口地点における7日間積算線量      (注2) 有効数値3桁目を四捨五入し2桁に丸めた値</p>	核種グループ	直接線及びスカイシャイン線量 <sup>(注1、2)</sup> (mSv)	内訳 (%)	Xe 類	約 $2.8 \times 10^1$	4	I 類	約 $6.1 \times 10^2$	87	Cs 類	約 $3.4 \times 10^1$	5	Te 類	約 $7.6 \times 10^0$	1	Ba 類	約 $1.0 \times 10^1$	1	Ru 類	約 $4.1 \times 10^{-1}$	<1	La 類	約 $9.0 \times 10^0$	1	Ce 類	約 $1.7 \times 10^{-1}$	<1	合計	約 $7.0 \times 10^2$	100	
核種グループ	直接線及びスカイシャイン線量 <sup>(注1、2)</sup> (mSv)	内訳 (%)																														
Xe 類	約 $2.8 \times 10^1$	4																														
I 類	約 $6.1 \times 10^2$	87																														
Cs 類	約 $3.4 \times 10^1$	5																														
Te 類	約 $7.6 \times 10^0$	1																														
Ba 類	約 $1.0 \times 10^1$	1																														
Ru 類	約 $4.1 \times 10^{-1}$	<1																														
La 類	約 $9.0 \times 10^0$	1																														
Ce 類	約 $1.7 \times 10^{-1}$	<1																														
合計	約 $7.0 \times 10^2$	100																														

## 泊発電所3号炉 有効性評価 比較表

付録3 重大事故等対策の有効性評価に係るシビアアクシデント解析コードについて（第3部 MAAP コード）

赤字：設備、運用又は体制の相違（設計方針の相違）  
 青字：記載箇所又は記載内容の相違（記載方針の相違）  
 緑字：記載表現、設備名称の相違（実質的な相違なし）

女川原子力発電所2号炉	泊発電所3号炉	相違理由																											
	<p>表3.A-4 原子炉格納容器からの放出割合評価（7日間積算）    （代表3ループプラントの例）</p> <table border="1"> <thead> <tr> <th>核種グループ</th><th>NUREG-1465 ベース</th><th>MAAP コード解析ベース<sup>*1</sup></th></tr> </thead> <tbody> <tr> <td>希ガス類</td><td>約 <math>1.1 \times 10^{-2}</math></td><td>約 <math>9.6 \times 10^{-3}</math></td></tr> <tr> <td>よう素類</td><td>約 <math>3.6 \times 10^{-4}</math></td><td>約 <math>3.0 \times 10^{-4}</math></td></tr> <tr> <td>Cs 類</td><td>約 <math>2.1 \times 10^{-4}</math></td><td>約 <math>1.9 \times 10^{-5}</math></td></tr> <tr> <td>Te 類</td><td>約 <math>8.3 \times 10^{-5}</math></td><td>約 <math>1.5 \times 10^{-5}</math></td></tr> <tr> <td>Ba 類</td><td>約 <math>3.2 \times 10^{-5}</math></td><td>約 <math>8.1 \times 10^{-7}</math></td></tr> <tr> <td>Ru 類</td><td>約 <math>1.4 \times 10^{-6}</math></td><td>約 <math>1.8 \times 10^{-6}</math></td></tr> <tr> <td>Ce 類</td><td>約 <math>1.5 \times 10^{-6}</math></td><td>約 <math>6.1 \times 10^{-8}</math></td></tr> <tr> <td>La 類</td><td>約 <math>1.4 \times 10^{-6}</math></td><td>約 <math>9.6 \times 10^{-9}</math></td></tr> </tbody> </table> <p>* 1 Cs 類のように複数の化学形態(CsI、CsOH グループ)を有する核種については、Cs の炉心内蓄積量に対するそれぞれの化学形態グループの放出割合を合計している。</p>	核種グループ	NUREG-1465 ベース	MAAP コード解析ベース <sup>*1</sup>	希ガス類	約 $1.1 \times 10^{-2}$	約 $9.6 \times 10^{-3}$	よう素類	約 $3.6 \times 10^{-4}$	約 $3.0 \times 10^{-4}$	Cs 類	約 $2.1 \times 10^{-4}$	約 $1.9 \times 10^{-5}$	Te 類	約 $8.3 \times 10^{-5}$	約 $1.5 \times 10^{-5}$	Ba 類	約 $3.2 \times 10^{-5}$	約 $8.1 \times 10^{-7}$	Ru 類	約 $1.4 \times 10^{-6}$	約 $1.8 \times 10^{-6}$	Ce 類	約 $1.5 \times 10^{-6}$	約 $6.1 \times 10^{-8}$	La 類	約 $1.4 \times 10^{-6}$	約 $9.6 \times 10^{-9}$	
核種グループ	NUREG-1465 ベース	MAAP コード解析ベース <sup>*1</sup>																											
希ガス類	約 $1.1 \times 10^{-2}$	約 $9.6 \times 10^{-3}$																											
よう素類	約 $3.6 \times 10^{-4}$	約 $3.0 \times 10^{-4}$																											
Cs 類	約 $2.1 \times 10^{-4}$	約 $1.9 \times 10^{-5}$																											
Te 類	約 $8.3 \times 10^{-5}$	約 $1.5 \times 10^{-5}$																											
Ba 類	約 $3.2 \times 10^{-5}$	約 $8.1 \times 10^{-7}$																											
Ru 類	約 $1.4 \times 10^{-6}$	約 $1.8 \times 10^{-6}$																											
Ce 類	約 $1.5 \times 10^{-6}$	約 $6.1 \times 10^{-8}$																											
La 類	約 $1.4 \times 10^{-6}$	約 $9.6 \times 10^{-9}$																											

## 泊発電所 3号炉 有効性評価 比較表

付録3 重大事故等対策の有効性評価に係るシビアアクシデント解析コードについて（第3部 MAAP コード）

赤字：設備、運用又は体制の相違（設計方針の相違）  
 青字：記載箇所又は記載内容の相違（記載方針の相違）  
 緑字：記載表現、設備名称の相違（実質的な相違なし）

女川原子力発電所 2号炉	泊発電所 3号炉	相違理由																														
	<p style="text-align: center;">表 3.A-5 環境に放出される放射性物質の各核種グループの内訳          (I-131 等価量換算 : NUREG-1465 ベース)</p> <table border="1" style="width: 100%; border-collapse: collapse;"> <thead> <tr> <th style="text-align: left;">核種グループ</th><th style="text-align: center;">放出放射能量<sup>(注1、2)</sup> (Bq)</th><th style="text-align: center;">内訳 (%)</th></tr> </thead> <tbody> <tr> <td>Xe 類</td><td style="text-align: center;">約 0.0E+00</td><td style="text-align: center;">0</td></tr> <tr> <td>I 類</td><td style="text-align: center;">約 8.2E+13</td><td style="text-align: center;">55</td></tr> <tr> <td>Cs 類</td><td style="text-align: center;">約 1.7E+13</td><td style="text-align: center;">12</td></tr> <tr> <td>Te 類</td><td style="text-align: center;">約 3.9E+12</td><td style="text-align: center;">3</td></tr> <tr> <td>Ba 類</td><td style="text-align: center;">約 6.2E+12</td><td style="text-align: center;">4</td></tr> <tr> <td>Ru 類</td><td style="text-align: center;">約 6.0E+11</td><td style="text-align: center;">&lt;1</td></tr> <tr> <td>La 類</td><td style="text-align: center;">約 2.3E+13</td><td style="text-align: center;">15</td></tr> <tr> <td>Ce 類</td><td style="text-align: center;">約 1.8E+13</td><td style="text-align: center;">12</td></tr> <tr> <td>合計</td><td style="text-align: center;">約 1.5E+14</td><td style="text-align: center;">100</td></tr> </tbody> </table> <p style="text-align: center;">(注1) 7日間積算放出量          (注2) 有効数値3桁目を四捨五入し2桁に丸めた値</p>	核種グループ	放出放射能量 <sup>(注1、2)</sup> (Bq)	内訳 (%)	Xe 類	約 0.0E+00	0	I 類	約 8.2E+13	55	Cs 類	約 1.7E+13	12	Te 類	約 3.9E+12	3	Ba 類	約 6.2E+12	4	Ru 類	約 6.0E+11	<1	La 類	約 2.3E+13	15	Ce 類	約 1.8E+13	12	合計	約 1.5E+14	100	
核種グループ	放出放射能量 <sup>(注1、2)</sup> (Bq)	内訳 (%)																														
Xe 類	約 0.0E+00	0																														
I 類	約 8.2E+13	55																														
Cs 類	約 1.7E+13	12																														
Te 類	約 3.9E+12	3																														
Ba 類	約 6.2E+12	4																														
Ru 類	約 6.0E+11	<1																														
La 類	約 2.3E+13	15																														
Ce 類	約 1.8E+13	12																														
合計	約 1.5E+14	100																														

## 泊発電所3号炉 有効性評価 比較表

付録3 重大事故等対策の有効性評価に係るシビアアクシデント解析コードについて（第3部 MAAPコード）

赤字：設備、運用又は体制の相違（設計方針の相違）  
 青字：記載箇所又は記載内容の相違（記載方針の相違）  
 緑字：記載表現、設備名称の相違（実質的な相違なし）

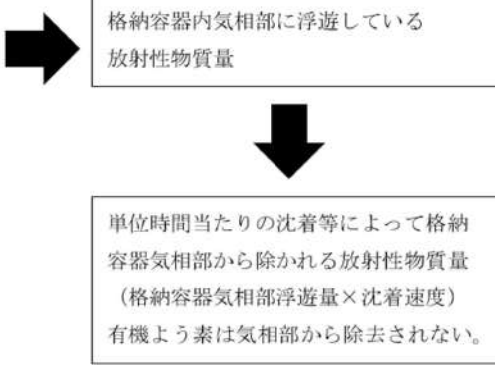
女川原子力発電所2号炉	泊発電所3号炉	相違理由
	<p>単位時間当たりの格納容器気相部への放出放射性物質量      放出率について MAAP の希ガスを用い、RG1.195 の有機よう素及び無機よう素の割合を更に乗じる</p>  <p>格納容器内気相部に浮遊している放射性物質量</p> <p>単位時間当たりの沈着等によって格納容器気相部から除かれる放射性物質量      (格納容器気相部浮遊量×沈着速度)      有機よう素は気相部から除去されない。</p> $\begin{aligned} \left( \begin{array}{l} \text{格納容器気相部} \\ \text{浮遊量時間変化} \end{array} \right) &= \left( \begin{array}{l} \text{単位時間当たりの} \\ \text{格納容器気相部への} \\ \text{放出放射性物質量} \end{array} \right) - \left( \begin{array}{l} \text{単位時間当たりの沈着に} \\ \text{よって格納容器気相部から} \\ \text{取り除かれる放射性物質量} \end{array} \right) \\ \left( \begin{array}{l} \text{単位時間当たり} \\ \text{の原子炉格納容} \\ \text{器からの放出量} \end{array} \right) &= \left( \begin{array}{l} \text{格納容器} \\ \text{気相部浮遊量} \end{array} \right) \times \left( \begin{array}{l} \text{格納容器} \\ \text{漏えい率} \end{array} \right) \end{aligned}$	

図 3.A-1 MAAP コードベースの原子炉格納容器内気相部浮遊放射性物質量  
 (有機、無機よう素) 及び原子炉格納容器からの放出量の計算概要

泊発電所 3号炉 有効性評価 比較表

付録3 重大事故等対策の有効性評価に係るシビアアクシデント解析コードについて（第3部 MAAP コード）

赤字：設備、運用又は体制の相違（設計方針の相違）  
青字：記載箇所又は記載内容の相違（記載方針の相違）  
緑字：記載表現、設備名称の相違（実質的な相違なし）

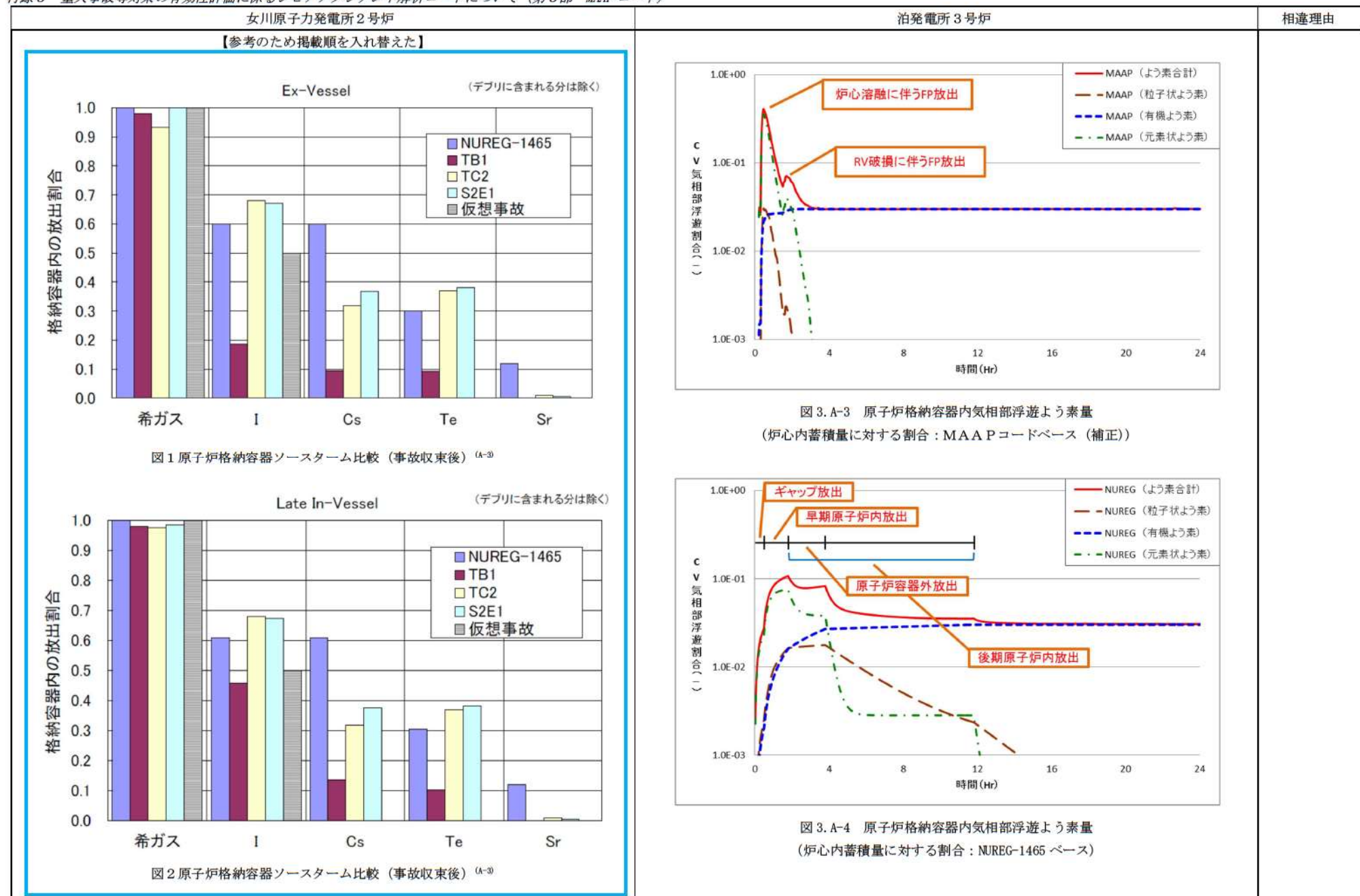
女川原子力発電所 2号炉	泊発電所 3号炉	相違理由
	<p>各放出フェーズにおける、単位時間当たりの格納容器気相部への放出放射性物質量</p> <p>放出率については当該フェーズにおける放出の積算が NUREG-1465 における放出量と同じとなる様一定の放出率を与える。各 Gr の放出率 = NUREG の放出量／各フェーズの継続時間で算定。よう素については RG1.195 の化学組成割合を更に乘じる。</p> <p>（格納容器気相部）<sub>浮遊量時間変化</sub> = <math>\left( \frac{\text{各放出フェーズにおける単位時間当たりの格納容器気相部への放出放射性物質量}}{\text{位時間当たりの格納容器気相部への放出放射性物質量}} \right) - \left( \frac{\text{単位時間当たりの沈着等による格納容器気相部から取り除かれる放射性物質量}}{\text{よって格納容器気相部から取り除かれる放射性物質量}} \right)</math></p> <p><math>\left( \frac{\text{単位時間当たりの原子炉格納容器からの放出量}}{\text{格納容器}} \right) = \left( \frac{\text{格納容器}}{\text{気相部浮遊量}} \right) \times \left( \frac{\text{格納容器}}{\text{漏えい率}} \right)</math></p>	

図 3.A-2 NUREG-1465 ベースの原子炉格納容器内気相部浮遊放射性物質量及び原子炉格納容器からの放出量の計算概要

泊発電所 3号炉 有効性評価 比較表

赤字：設備、運用又は体制の相違（設計方針の相違）  
 青字：記載箇所又は記載内容の相違（記載方針の相違）  
 緑字：記載表現、設備名称の相違（実質的な相違なし）

付録3 重大事故等対策の有効性評価に係るシビアアクシデント解析コードについて（第3部 MAAP コード）



泊発電所 3号炉 有効性評価 比較表

赤字：設備、運用又は体制の相違（設計方針の相違）  
 青字：記載箇所又は記載内容の相違（記載方針の相違）  
 緑字：記載表現、設備名称の相違（実質的な相違なし）

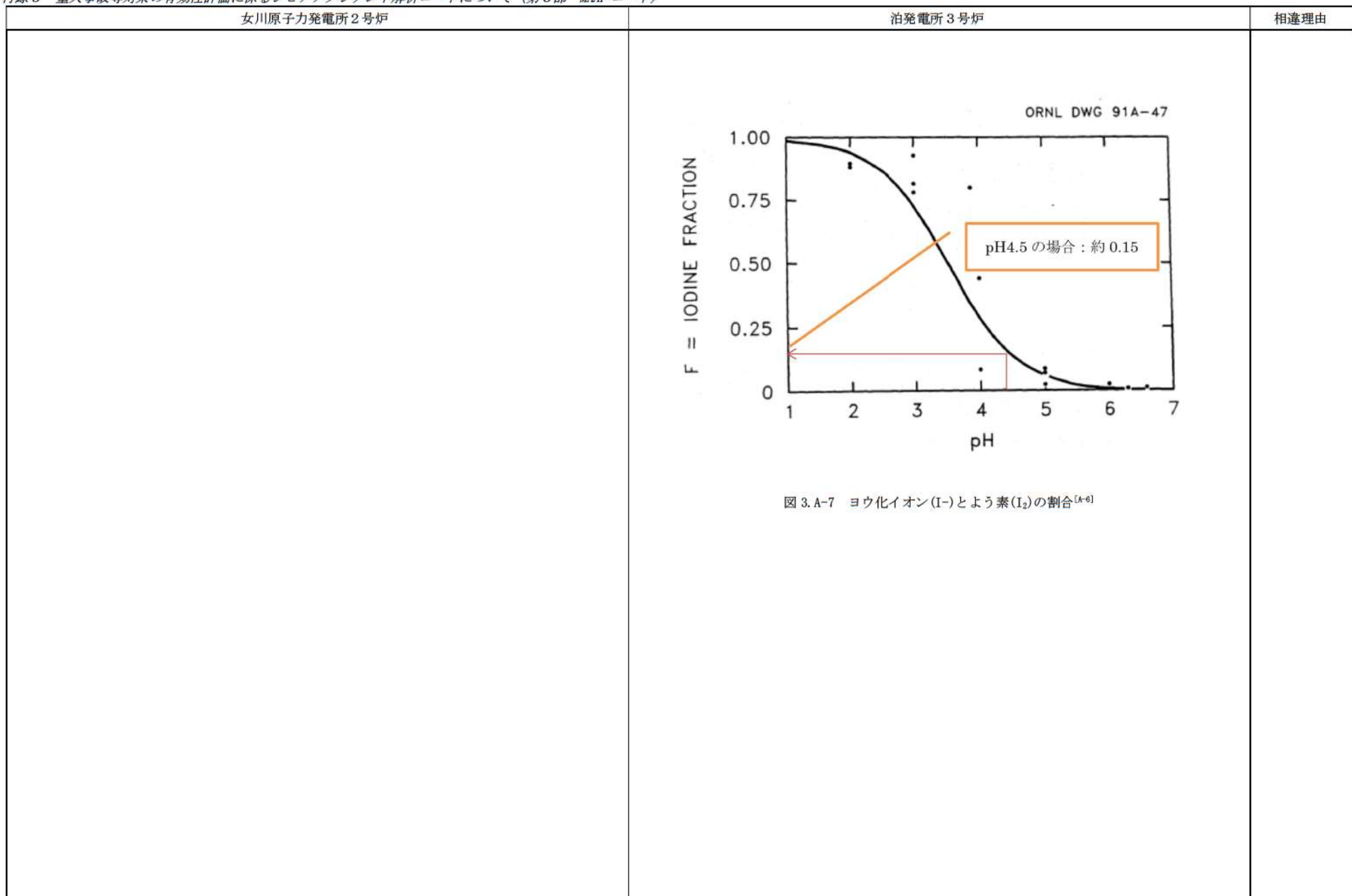
付録3 重大事故等対策の有効性評価に係るシビアアクシデント解析コードについて（第3部 MAAP コード）

女川原子力発電所2号炉	泊発電所3号炉	相違理由
	<p>図 3.A-5 原子炉格納容器内気相部浮遊 Cs 量      (炉心内蓄積量に対する割合 : MAAP コードベース (補正))</p> <p>図 3.A-6 原子炉格納容器内気相部浮遊 Cs 量      (炉心内蓄積量に対する割合 : NUREG-1465 ベース)</p>	

## 泊発電所 3号炉 有効性評価 比較表

付録3 重大事故等対策の有効性評価に係るシビアアクシデント解析コードについて（第3部 MAAP コード）

赤字：設備、運用又は体制の相違（設計方針の相違）  
 青字：記載箇所又は記載内容の相違（記載方針の相違）  
 緑字：記載表現、設備名称の相違（実質的な相違なし）

図 3.A-7 ヨウ化イオン( $I^-$ )とよう素( $I_2$ )の割合<sup>[A-6]</sup>

## 泊発電所3号炉 有効性評価 比較表

赤字：設備、運用又は体制の相違（設計方針の相違）  
 青字：記載箇所又は記載内容の相違（記載方針の相違）  
 緑字：記載表現、設備名称の相違（実質的な相違なし）

付録3 重大事故等対策の有効性評価に係るシビアアクシデント解析コードについて（第3部 MAAP コード）

女川原子力発電所2号炉		泊発電所3号炉	相違理由																																																																					
別紙1 入力項目リスト		別紙1 解析コードにおける解析条件																																																																						
入力項目リスト (1/3) <table border="1" style="width: 100%; border-collapse: collapse;"> <thead> <tr> <th>分類</th> <th>入力項目</th> </tr> </thead> <tbody> <tr> <td rowspan="6">定格出力運転条件 パラメータ及び幾何形状データ</td> <td>炉心熱出力</td> </tr> <tr> <td>炉心流量</td> </tr> <tr> <td>原子炉圧力</td> </tr> <tr> <td>原子炉冷却材温度</td> </tr> <tr> <td>原子炉水位</td> </tr> <tr> <td>給水流量（初期）、エンタルピ</td> </tr> <tr> <td rowspan="7">原子炉冷却材容積</td> <td>炉心</td> </tr> <tr> <td>炉心シュラウドヘッド</td> </tr> <tr> <td>スタンドパイプ及び気水分離器</td> </tr> <tr> <td>上部ヘッド</td> </tr> <tr> <td>上部ダウンカマ</td> </tr> <tr> <td>下部ダウンカマ</td> </tr> <tr> <td>下部ヘッド</td> </tr> <tr> <td rowspan="10">流路形状データ（流路断面積、流路長さ、流路高さ）</td> <td>再循環ループ</td> </tr> <tr> <td>下部ヘッド下端から炉心支持板まで</td> </tr> <tr> <td>炉心支持板から上部格子板まで</td> </tr> <tr> <td>上部格子板から炉心シュラウドヘッド上端まで</td> </tr> <tr> <td>炉心シュラウドヘッド上端から気水分離器上端まで</td> </tr> <tr> <td>下部ダウンカマ</td> </tr> <tr> <td>上部ダウンカマ</td> </tr> <tr> <td>上部ヘッド</td> </tr> <tr> <td>原子炉圧力容器内径</td> </tr> <tr> <td>炉心シュラウド内径</td> </tr> <tr> <td>原子炉圧力容器本体肉厚</td> </tr> <tr> <td rowspan="2">熱構造材データ（材質、体積、表面積）</td> <td>・原子炉圧力容器内 炉心シュラウド、炉心シュラウドヘッド、 炉心シュラウドサポート、上部格子板、気水分離器、スタンドパイプ、蒸気乾燥器、 上部ヘッド、ダウンカマ、制御棒案内管及びハウジング、下部ヘッド、再循環ループ</td> </tr> </tbody> </table>	分類	入力項目	定格出力運転条件 パラメータ及び幾何形状データ	炉心熱出力	炉心流量	原子炉圧力	原子炉冷却材温度	原子炉水位	給水流量（初期）、エンタルピ	原子炉冷却材容積	炉心	炉心シュラウドヘッド	スタンドパイプ及び気水分離器	上部ヘッド	上部ダウンカマ	下部ダウンカマ	下部ヘッド	流路形状データ（流路断面積、流路長さ、流路高さ）	再循環ループ	下部ヘッド下端から炉心支持板まで	炉心支持板から上部格子板まで	上部格子板から炉心シュラウドヘッド上端まで	炉心シュラウドヘッド上端から気水分離器上端まで	下部ダウンカマ	上部ダウンカマ	上部ヘッド	原子炉圧力容器内径	炉心シュラウド内径	原子炉圧力容器本体肉厚	熱構造材データ（材質、体積、表面積）	・原子炉圧力容器内 炉心シュラウド、炉心シュラウドヘッド、 炉心シュラウドサポート、上部格子板、気水分離器、スタンドパイプ、蒸気乾燥器、 上部ヘッド、ダウンカマ、制御棒案内管及びハウジング、下部ヘッド、再循環ループ	表 解析コードにおける解析条件 (1/4) <table border="1" style="width: 100%; border-collapse: collapse;"> <thead> <tr> <th>分類</th> <th>解析条件</th> </tr> </thead> <tbody> <tr> <td rowspan="10">定格出力運転条件 パラメータ及び幾何形状データ</td> <td>炉心熱出力</td> </tr> <tr> <td>ループ数</td> </tr> <tr> <td>ループ全流量</td> </tr> <tr> <td>1次冷却材圧力</td> </tr> <tr> <td>1次冷却材温度</td> </tr> <tr> <td>原子炉容器入口温度</td> </tr> <tr> <td>原子炉容器出口温度</td> </tr> <tr> <td>上部ヘッド温度</td> </tr> <tr> <td rowspan="13">1次冷却材容積</td> <td>炉心</td> </tr> <tr> <td>上部プレナム</td> </tr> <tr> <td>下部プレナム</td> </tr> <tr> <td>ダウンカマ</td> </tr> <tr> <td>バレルパッフル領域</td> </tr> <tr> <td>原子炉容器頂部</td> </tr> <tr> <td>高温側配管</td> </tr> <tr> <td>蒸気発生器プレナム</td> </tr> <tr> <td>蒸気発生器伝熱管（プラグ率含む）</td> </tr> <tr> <td>蒸気発生器ポンプ間配管</td> </tr> <tr> <td>低温側配管</td> </tr> <tr> <td>加圧器液相部</td> </tr> <tr> <td>加圧器サージ管</td> </tr> <tr> <td>加圧器逃がしタンク</td> </tr> <tr> <td rowspan="10">流路形状データ（水力的等価直徑、流路断面積、流路長さ、流路高さ）</td> <td>原子炉容器フランジ面より上部炉心板下端まで</td> </tr> <tr> <td>上部炉心板下端よりダウンカマ下端まで</td> </tr> <tr> <td>上部炉心板下端より下部炉心板上端まで</td> </tr> <tr> <td>原子炉容器フランジ面より入口ノズル中央まで</td> </tr> <tr> <td>炉心そう外径</td> </tr> <tr> <td>原子炉容器内径</td> </tr> <tr> <td>入口ノズル内径</td> </tr> <tr> <td>出口ノズル内径</td> </tr> <tr> <td>炉心そう内径</td> </tr> <tr> <td>原子炉容器本体肉厚</td> </tr> <tr> <td>原子炉容器クラッド肉厚</td> </tr> <tr> <td>燃料発熱部下端より下部炉心板上端まで</td> </tr> </tbody> </table>		分類	解析条件	定格出力運転条件 パラメータ及び幾何形状データ	炉心熱出力	ループ数	ループ全流量	1次冷却材圧力	1次冷却材温度	原子炉容器入口温度	原子炉容器出口温度	上部ヘッド温度	1次冷却材容積	炉心	上部プレナム	下部プレナム	ダウンカマ	バレルパッフル領域	原子炉容器頂部	高温側配管	蒸気発生器プレナム	蒸気発生器伝熱管（プラグ率含む）	蒸気発生器ポンプ間配管	低温側配管	加圧器液相部	加圧器サージ管	加圧器逃がしタンク	流路形状データ（水力的等価直徑、流路断面積、流路長さ、流路高さ）	原子炉容器フランジ面より上部炉心板下端まで	上部炉心板下端よりダウンカマ下端まで	上部炉心板下端より下部炉心板上端まで	原子炉容器フランジ面より入口ノズル中央まで	炉心そう外径	原子炉容器内径	入口ノズル内径	出口ノズル内径	炉心そう内径	原子炉容器本体肉厚	原子炉容器クラッド肉厚	燃料発熱部下端より下部炉心板上端まで
分類	入力項目																																																																							
定格出力運転条件 パラメータ及び幾何形状データ	炉心熱出力																																																																							
	炉心流量																																																																							
	原子炉圧力																																																																							
	原子炉冷却材温度																																																																							
	原子炉水位																																																																							
	給水流量（初期）、エンタルピ																																																																							
原子炉冷却材容積	炉心																																																																							
	炉心シュラウドヘッド																																																																							
	スタンドパイプ及び気水分離器																																																																							
	上部ヘッド																																																																							
	上部ダウンカマ																																																																							
	下部ダウンカマ																																																																							
	下部ヘッド																																																																							
流路形状データ（流路断面積、流路長さ、流路高さ）	再循環ループ																																																																							
	下部ヘッド下端から炉心支持板まで																																																																							
	炉心支持板から上部格子板まで																																																																							
	上部格子板から炉心シュラウドヘッド上端まで																																																																							
	炉心シュラウドヘッド上端から気水分離器上端まで																																																																							
	下部ダウンカマ																																																																							
	上部ダウンカマ																																																																							
	上部ヘッド																																																																							
	原子炉圧力容器内径																																																																							
	炉心シュラウド内径																																																																							
原子炉圧力容器本体肉厚																																																																								
熱構造材データ（材質、体積、表面積）	・原子炉圧力容器内 炉心シュラウド、炉心シュラウドヘッド、 炉心シュラウドサポート、上部格子板、気水分離器、スタンドパイプ、蒸気乾燥器、 上部ヘッド、ダウンカマ、制御棒案内管及びハウジング、下部ヘッド、再循環ループ																																																																							
	分類	解析条件																																																																						
定格出力運転条件 パラメータ及び幾何形状データ	炉心熱出力																																																																							
	ループ数																																																																							
	ループ全流量																																																																							
	1次冷却材圧力																																																																							
	1次冷却材温度																																																																							
	原子炉容器入口温度																																																																							
	原子炉容器出口温度																																																																							
	上部ヘッド温度																																																																							
	1次冷却材容積	炉心																																																																						
		上部プレナム																																																																						
下部プレナム																																																																								
ダウンカマ																																																																								
バレルパッフル領域																																																																								
原子炉容器頂部																																																																								
高温側配管																																																																								
蒸気発生器プレナム																																																																								
蒸気発生器伝熱管（プラグ率含む）																																																																								
蒸気発生器ポンプ間配管																																																																								
低温側配管																																																																								
加圧器液相部																																																																								
加圧器サージ管																																																																								
加圧器逃がしタンク																																																																								
流路形状データ（水力的等価直徑、流路断面積、流路長さ、流路高さ）	原子炉容器フランジ面より上部炉心板下端まで																																																																							
	上部炉心板下端よりダウンカマ下端まで																																																																							
	上部炉心板下端より下部炉心板上端まで																																																																							
	原子炉容器フランジ面より入口ノズル中央まで																																																																							
	炉心そう外径																																																																							
	原子炉容器内径																																																																							
	入口ノズル内径																																																																							
	出口ノズル内径																																																																							
	炉心そう内径																																																																							
	原子炉容器本体肉厚																																																																							
原子炉容器クラッド肉厚																																																																								
燃料発熱部下端より下部炉心板上端まで																																																																								

## 泊発電所3号炉 有効性評価 比較表

付録3 重大事故等対策の有効性評価に係るシビアアクシデント解析コードについて（第3部 MAAP コード）

赤字：設備、運用又は体制の相違（設計方針の相違）  
 青字：記載箇所又は記載内容の相違（記載方針の相違）  
 緑字：記載表現、設備名称の相違（実質的な相違なし）

女川原子力発電所2号炉		泊発電所3号炉		相違理由
分類	入力項目	表 解析コードにおける解析条件 (2/4)		
炉心データ	炉心流路面積 炉心流路面積 バイパス流路面積 炉心崩壊熱	定格出力運転条件 パラメータ及び幾何形状データ	・原子炉容器内 入口ノズル、スプレイノズル、ダウンカマ、下部ブレナム、炉心有効発熱長間、炉心バイパス、上部ブレナム、ガイドチューブ、出口ノズル ・1次冷却系配管 高温側配管、蒸気発生器出口側配管、低温側配管 ・1次冷却材ポンプ ・蒸気発生器1次側 入口ブレナム、伝熱管、出口ブレナム ・蒸気発生器2次側 ダウンカマ部、加熱部、ライザ部、1次気水分離器、蒸気ドーム部、主蒸気配管 ・加圧器 本体、サージ管、加圧器逃がしタンク	
燃料データ	燃料集合体数 集合体あたりの燃料棒数 燃料棒配列 燃料棒有効長 燃料被覆管外径 燃料被覆管肉厚 ペレット直径 ペレット一被覆管ギャップ条件（ガス圧力、ガス組成、熱伝達係数） スペーサ位置 チャンネルボックス（質量、厚さ）	圧力損失データ	原子炉容器（入口ノズル～出口ノズル間） 蒸気発生器入口～出口 1次冷却系配管 蒸気発生器2次側	
再循環ポンプ関連データ	コストダウン特性 再循環ポンプ定格流量 ジェットポンプ台数	崩壊熱		
原子炉格納容器関連データ	区画データ 自由体積 底部高さ 区画高さ 初期圧力 初期温度 初期湿度 区画間データ 底部高さ 流路幅 流路高さ 流路長さ 流路面積 ヒートシンク（伝熱面、表面積、厚さ、材質の物性及び初期温度） 格納容器各区画壁面（側壁、床、天井等） 格納容器内構造物	炉心データ 冷却材炉心流量 炉心流路面積 実効熱伝達面積 トリップ反応度曲線	炉心流量 バイパス流量 原子炉容器頂部バイパス流量	
		燃料データ	燃料集合体数 集合体あたりの燃料棒数 燃料棒配列 燃料棒ピッチ 燃料棒有効長 燃料被覆管外径 燃料被覆管肉厚 ペレット直径 ペレット一被覆管ギャップ条件（ガス圧力、ガス組成、ギャップ幅） グリッド位置、圧力損失係数	
		加圧器データ	加圧器水位 加圧器逃がし弁（容量、個数、設定圧力） 加圧器安全弁（容量、個数、設定圧力） 加圧器ヒータ（作動圧力、出力） 加圧器水位制御系（充てん及び抽出流量） 加圧器逃がしタンククラップチャディスク破損圧力	

## 泊発電所3号炉 有効性評価 比較表

付録3 重大事故等対策の有効性評価に係るシビアアクシデント解析コードについて（第3部 MAAP コード）

赤字：設備、運用又は体制の相違（設計方針の相違）  
 青字：記載箇所又は記載内容の相違（記載方針の相違）  
 緑字：記載表現、設備名称の相違（実質的な相違なし）

女川原子力発電所2号炉	泊発電所3号炉		相違理由
表 解析コードにおける解析条件 (3/4)			
分類	解析条件		
蒸気発生器関連データ	伝熱管本数（プラグ率含む）		
	伝熱管外径		
	伝熱管厚さ		
	伝熱面積		
	伝熱管材質		
	伝熱管長さ		
	伝熱管配列（ピッチ）		
	伝熱管流路面積		
	主給水流量（初期）、温度		
	主蒸気流量（初期）		
	2次側圧力		
	蒸気発生器2次側水位、保有水量		
	主蒸気逃がし弁（容量、個数、設定圧力）		
	主蒸気安全弁（容量、個数、設定圧力）		
1次冷却材ポンプ（RCP）関連データ	コストダウン特性		
	RCP 定格流量		
原子炉格納容器関連データ	区画データ	自由体積	
		底部高さ	
		区画高さ	
		初期圧力	
		初期温度	
	区画間データ	底部高さ	
		開口高さ	
		断面積	
		水力等価径	
		圧力損失	
ヒートシンク（伝熱面、表面積、厚さ、材質の物性及び初期温度）	CVドーム部及びリングガータ		
	CVシリンドラ部		
	CVコンクリート		
	スチールラインドコンクリート		
	雑鋼材（炭素鋼）		
	雑鋼材（ステンレススチール）		
	雑鋼材（銅フィンチューブ）		
	配管（ステンレススチール（内部に水有））		
	配管（ステンレススチール（内部に水無））		
	配管（炭素鋼（内部に水有））		
	配管（炭素鋼（内部に水無））		
	検出器等（アルミニウム）		

## 泊発電所3号炉 有効性評価 比較表

付録3 重大事故等対策の有効性評価に係るシビアアクシデント解析コードについて（第3部 MAAP コード）

赤字：設備、運用又は体制の相違（設計方針の相違）  
 青字：記載箇所又は記載内容の相違（記載方針の相違）  
 緑字：記載表現、設備名称の相違（実質的な相違なし）

女川原子力発電所2号炉		泊発電所3号炉		相違理由	
入力項目リスト(3/3)		表 解析コードにおける解析条件(4/4)			
分類	入力項目	分類	解析条件		
デブリ挙動関連	デブリ初期条件（燃料、構造材、FPの材質別質量）	溶融炉心挙動関連	初期条件（燃料、構造材、FPの材質別質量）		
	原子炉圧力容器破損判定条件		ジルコニウム-水反応速度の係数		
	FCI現象におけるデブリジェットの落下条件		原子炉容器破損判定条件		
	FCI現象における細粒化条件		FCI現象におけるデブリジェットの落下条件		
	FCI現象における細粒化デブリと水の伝熱条件		FCI現象における細粒化条件		
	MCCI現象におけるデブリのキャビティ床面での拡がり条件		MCCI現象におけるデブリ粒子と水の伝熱条件		
	MCCI現象におけるデブリと水の伝熱条件		MCCI現象における溶融炉心の原子炉下部キャビティ床面での拡がり条件		
	MCCI現象におけるデブリとコンクリートの伝熱条件		MCCI現象における溶融炉心と水の伝熱条件		
	MCCI現象におけるコンクリートの組成		MCCI現象における溶融炉心とコンクリートの伝熱条件		
	原子炉保護設備		原子炉トリップ（設定点、応答遅れ）		
事象収束に重要な機器・操作関連	ECCS作動設定点	原子炉保護設備	ECCS作動設定点		
	ECCS注入ポンプ（注入開始（起動遅れ時間）、台数、容量、停止条件）		ECCS注入ポンプ（注入開始（起動遅れ時間）、台数、容量、停止条件）		
	崩壊熱除去系（台数、容量）		余熱除去系（給水停止条件（再循環時）、台数、容量）		
	格納容器スプレイポンプ（操作タイミング、台数、容量）		蓄圧タンク（基数、保持圧力、保有水量）		
	逃がし安全弁（開操作開始条件（原子炉圧力）、個数、容量）		補助給水ポンプ（給水開始（起動遅れ時間）、台数、容量、目標2次側水位）		
	代替注水系（注入開始（起動遅れ時間）、台数、容量、停止条件）		格納容器スプレイ作動設定点		
	格納容器ベント（操作タイミング、面積）		格納容器スプレイポンプ（台数、容量）		
	復水貯蔵タンク（保有水量、温度）		原子炉格納容器内気相部冷却（格納容器再循環ユニット）（開始条件（原子炉格納容器圧力及び遅れ時間）、台数、除熱特性）		
	事故条件		再循環運転切替（燃料取替用水タンク再循環切替水位、注入流量）		
	配管破断条件（位置、面積）		代替再循環（原子炉格納容器スプレイ設備）（開始条件（再循環運転切替、遅れ時間）、流量）		
事故条件	1次冷却材ポンプからの漏えい率（定格圧力時）	事故条件	1次冷却材ポンプからの漏えい率（定格圧力時）		
	加圧器逃がし弁（開操作開始条件（炉心溶融開始、遅れ時間）、個数、容量）		加圧器逃がし弁（開操作開始条件（炉心溶融開始、遅れ時間）、個数、容量）		
	代替格納容器スプレイポンプ（開始条件（炉心溶融開始、遅れ時間）、台数、容量、一旦停止条件（原子炉格納容器内保有水量、圧力）、間欠運転条件（原子炉格納容器内保有水量、圧力）、完全停止時間）		代替格納容器スプレイポンプ（開始条件（炉心溶融開始、遅れ時間）、台数、容量、一旦停止条件（原子炉格納容器内保有水量、圧力）、間欠運転条件（原子炉格納容器内保有水量、圧力）、完全停止時間）		
	燃料取替用水タンク（保有水量、温度）		燃料取替用水タンク（保有水量、温度）		
	1次冷却系配管破断条件（位置、口径）		1次冷却系配管破断条件（位置、口径）		

## 泊発電所3号炉 有効性評価 比較表

付録3 重大事故等対策の有効性評価に係るシビアアクシデント解析コードについて（第3部 MAAP コード）

赤字：設備、運用又は体制の相違（設計方針の相違）  
 青字：記載箇所又は記載内容の相違（記載方針の相違）  
 緑字：記載表現、設備名称の相違（実質的な相違なし）

女川原子力発電所2号炉	泊発電所3号炉	相違理由
<p>別添1 新知見への対応について</p> <p>1. はじめに</p> <p>MAAP コードは、福島第一原子力発電所1～3号機の事象進展解析に適用されている<sup>[1]</sup>。これらの解析では、システムの応答や外部注水流量等の不確かさの大きな境界条件については、当時の記録に基づいた分析や一部推定を行った上で設定されており、解析結果と実測データとの比較が行われている。この比較結果から、相違点があるプラント挙動や物理現象については検討課題として抽出し、個別に評価・検討が行われている。</p> <p>以下では、この検討を通じて得られた課題や知見のうち、MAAP コードで対象とする現象評価に関連する内容と有効性評価への影響について検討する。また、MAAP コードの改良は米国 EPRIを中心とした MAAP User's Group のもとで継続的に進められており、改良の動向と有効性評価への影響について検討する。</p>	<p>別添1 新知見への対応について</p> <p>1. はじめに</p> <p>MAAP コードは、福島第一原子力発電所1～3号機の事象進展解析に適用されている<sup>[1]</sup>。これらの解析では、システムの応答や外部注水流量等の不確かさの大きな境界条件については、当時の記録に基づいた分析や一部推定を行った上で設定されており、解析結果と実測データとの比較が行われている。この比較結果から、相違点があるプラント挙動や物理現象については検討課題として抽出し、個別に評価・検討が行われている。</p> <p>以下では、この検討を通じて得られた課題や知見のうち、MAAP コードで対象とする現象評価に関連する内容と有効性評価への影響について検討する。また、MAAP コードの改良は米国 EPRIを中心とした MAAP User's Group のもとで継続的に進められており、改良の動向と有効性評価への影響について検討する。</p>	

泊発電所 3号炉 有効性評価 比較表

付録3 重大事故等対策の有効性評価に係るシビアアクシデント解析コードについて（第3部 MAAP コード）

女川原子力発電所 2号炉	泊発電所 3号炉	相違理由
<p>2. 福島第一原子力発電所事故における未確認・未解明事項と有効性評価への影響</p> <p>2.1 未確認・未解明事項について</p> <p>福島第一原子力発電所事故における未確認・未解明事項<sup>[2]</sup>のうち、有効性評価に対して影響し得る項目を抽出し、MAAP コードによる有効性評価で留意すべき事項を以下の 4 項目に大別した。</p> <p>(1) 原子炉圧力容器からの気相漏えいの発生について</p> <p>原子炉圧力容器の水位が低下し炉心が露出すると、過熱した炉心から発生する高温ガスや過熱蒸気により、原子炉圧力容器バウンダリが通常よりも高い温度となる。1号機のMAAP 解析においては、この原子炉内温度の上昇によって原子炉内核計装のドライチューブや主蒸気管法兰等の原子炉圧力容器上部からドライウェルへの気相漏えいが発生したと仮定している。この現象によって、原子炉圧力容器破損タイミングや格納容器圧力及び温度の上昇等の事象進展に影響を及ぼす可能性がある。</p> <p>(2) 溶融炉心の下部プレナム落下挙動</p> <p>1号機のMAAP 解析において、原子炉圧力は3月11日22時頃に急峻なピークを示している。MAAP コードでは、炉心損傷の進展に伴って、固化クラストによって閉塞領域が形成されると溶融炉心は一旦保持されるものの、クラストの破損に伴って、溶融炉心が下部プレナムへの落下を開始するというモデルを採用していることに起因すると考えられる。一方、複雑な下部構造を持つBWRでは、燃料支持金具の冷却水の通過口から溶融した炉心が降下し、下部プレナムに流れ落ちる経路や、溶融プールが炉心の径方向に拡大し、外周部のバイパス領域へ流出し、下部プレナムへ流れ落ちる経路、更に炉心シュラウドと接触・破損させることによってダウンカマへ流出する経路等、流出経路には様々な形態が考えられる。溶融炉心の下部プレナムへの落下挙動は、それ以降の原子炉圧力容器破損等の事象進展に影響を与える可能性がある。</p> <p>(3) 圧力抑制プールの温度成層化について</p> <p>3号機では、RCIC による注水期間において、原子炉格納容器圧力のMAAP 解析結果と実測値に差があり、圧力抑制プールにおいて温度成層化が起きた可能性が指摘されている<sup>[3]</sup>。MAAP コードによる有効性評価では、圧力抑制プールのプール水を单一ノードで模擬し、プール水温は均一に上昇する仮定としているのに対し、温度成層化を考慮した場合、原子炉格納容器の圧力及び温度上昇が速くなる可能性がある。</p>	<p>2. 福島第一原子力発電所事故における未確認・未解明事項と有効性評価への影響</p> <p>2.1 未確認・未解明事項について</p> <p>福島第一原子力発電所事故における未確認・未解明事項<sup>[2]</sup>のうち、有効性評価に対して影響し得る項目を抽出し、MAAP コードによる有効性評価で留意すべき事項を以下の 4 項目に大別した。その選定方法については、別紙に示す。</p> <p>(1) 原子炉圧力容器からの気相漏えいの発生について</p> <p>原子炉圧力容器の水位が低下し炉心が露出すると、過熱した炉心から発生する高温ガスや過熱蒸気により、原子炉圧力容器バウンダリが通常よりも高い温度となる。1号機の MAAP 解析においては、この原子炉内温度の上昇によって原子炉内核計装のドライチューブや主蒸気管法兰等の原子炉圧力容器上部からドライウェルへの気相漏えいが発生したと仮定している。泊3号機においても、原子炉容器や1次冷却材配管からの気相漏えいの発生した場合には、原子炉容器破損タイミングや原子炉格納容器圧力及び温度の上昇等の事象進展に影響を及ぼす可能性がある。</p>	

## 泊発電所3号炉 有効性評価 比較表

付録3 重大事故等対策の有効性評価に係るシビアアクシデント解析コードについて（第3部 MAAP コード）

赤字：設備、運用又は体制の相違（設計方針の相違）  
 青字：記載箇所又は記載内容の相違（記載方針の相違）  
 緑字：記載表現、設備名称の相違（実質的な相違なし）

女川原子力発電所2号炉	泊発電所3号炉	相違理由
<p>(4) 原子炉格納容器の気相漏えいについて</p> <p>1号機及び2号機のMAAP解析では、格納容器圧力等の実測値を再現するために原子炉格納容器の気相部からの漏えいを仮定しているものの、計測されたパラメータや観測事実からは、漏えい箇所やその規模については直接的な推定が得られていない。一つの要因として格納容器内部で生じた局所的な過温状態による損傷が挙げられている。一方、MAAPコードによる有効性評価では、原子炉格納容器内を代表的な区画にノード分割し、ノード内温度は均一と仮定し、温度分布を評価することはできない。</p>	<p>(2) コア・コンクリート反応</p> <p>溶融燃料が十分に冷却されない場合、溶融燃料と接触した格納容器床面のコンクリートが融点以上まで熱せられることによりコンクリートが分解するコア・コンクリート反応が生じる。コア・コンクリート反応では、水素、一酸化炭素等の非凝縮性ガスが発生する。1号機のMAAP解析においては、コア・コンクリート反応による原子炉格納容器の侵食深さを評価しているが、実際にコア・コンクリート反応がどの程度進展していたかは不確実さが大きいため、それ以降の原子炉格納容器破損等の事故進展に影響を与える可能性があり、泊3号機の評価においても留意する必要がある。</p> <p>(3) 水素リッチな蒸気を放出した際の凝縮挙動</p> <p>2号機では、主蒸気逃がし安全弁(SRV)の開操作により、原子炉の強制減圧に成功した。その後原子炉圧力が上昇したことからSRVを1弁追加で開けるも圧力は低下せず、さらに別のSRVを開放したところ原子炉圧力が低下した。この原子炉圧力上昇は、炉心損傷が進んでいると考えられることから、その減圧時の蒸気放出には非凝縮性ガスである水素が大量に含まれているものと考えられる。泊3号機において、非凝縮性ガスの存在により原子炉格納容器の事故進展に影響を与える可能性がある。</p> <p>(4) 原子炉格納容器の気相漏えいについて</p> <p>1号機及び2号機のMAAP解析では、格納容器圧力等の実測値を再現するために原子炉格納容器の気相部からの漏えいを仮定しているものの、計測されたパラメータや観測事実からは、漏えい箇所やその規模については直接的な推定が得られていない。一つの要因として格納容器内部で生じた局所的な過温状態による損傷が挙げられている。一方、MAAPコードによる有効性評価では、原子炉格納容器内を代表的な区画にノード分割し、ノード内温度は均一と仮定し、温度分布を評価することはできない。</p>	

## 泊発電所3号炉 有効性評価 比較表

赤字：設備、運用又は体制の相違（設計方針の相違）  
 青字：記載箇所又は記載内容の相違（記載方針の相違）  
 緑字：記載表現、設備名称の相違（実質的な相違なし）

付録3 重大事故等対策の有効性評価に係るシビアアクシデント解析コードについて（第3部 MAAP コード）

女川原子力発電所2号炉	泊発電所3号炉	相違理由
<p>2.2 有効性評価に対する影響について</p> <p>2.1 で挙げられた留意すべき事項に対して、有効性評価に対する影響について以下に考察する。これらの考察より、有効性評価で対象とする事象進展に対しては、MAAPコードによる解析への影響は小さく適用性に問題ないと判断される。</p> <p>(1) 原子炉圧力容器からの気相漏えいの発生について</p> <p>炉心損傷に伴って発生する高温ガスにより、原子炉圧力容器からの漏えいが生じた場合、原子炉圧力の減圧を促進する。しかしながら、有効性評価において、大破断LOCAを起因事象とするシーケンスについては、起因事象発生の時点で大規模な一次冷却材圧力バウンダリの喪失を仮定していることから、これらの事象による格納容器内事象進展への影響はない。別図1-2.2-1及び別図1-2.2-2に、炉心損傷に伴う計装用案内管破損を模擬した場合の原子炉圧力及び格納容器温度の比較を示す。これらの図から明らかのように、事象進展への影響は小さい。</p> <p>また、過渡事象(TQUV)起因のシーケンスでは、原子炉圧力容器からの気相漏えいは、原子炉減圧運動と水位低下運動に影響する。</p> <p>高圧溶融物放出／格納容器雰囲気直接加熱の防止に係る評価においては、高温ガス発生による気相部漏えいが生じる場合には、原子炉の減圧が促進されるため、高圧溶融物放出／格納容器雰囲気直接加熱の回避に対して有効に寄与する。さらに、原子炉圧力容器破損前に運転員による原子炉減圧操作が必須となるが、破損までには十分な時間余裕があり、気相漏えいを想定しても破損時間への影響は小さい。別図1-2.2-3に、炉心損傷に伴う計装用案内管破損を模擬した場合の原子炉圧力の比較を示す。計装用案内管温度が融点に到達した時点で損傷するとした本感度解析では、その損傷は原子炉減圧後に発生しており、原子炉減圧操作への影響はない。</p> <p>溶融炉心と冷却材の相互作用及び溶融炉心とコンクリートの相互作用においては、原子炉減圧後の現象を評価するため、原子炉圧力容器破損前のペデスタル注水が必須となる。しかしながら、上述のように十分な時間余裕があり、かつ、評価においては、原子炉水位が有効燃料棒底部まで低下する以前に原子炉減圧操作を実施しており、炉心損傷初期の段階であることから、原子炉圧力容器の気相漏えいを仮定しても破損時間に対する影響は小さく、運転操作に対する影響はない。</p>	<p>2.2 有効性評価に対する影響について</p> <p>2.1 で挙げられた留意すべき事項に対して、有効性評価に対する影響について以下に考察する。これらの考察より、有効性評価で対象とする事象進展に対しては、MAAPコードによる解析への影響は小さく適用性に問題ないと判断される。</p> <p>(1) 原子炉圧力容器からの気相漏えいの発生について</p> <p>炉心損傷に伴って発生する高温ガスにより、原子炉容器からの漏えいが生じた場合、原子炉圧力の減圧を促進する。しかしながら、有効性評価において、大破断LOCAを起因事象とするシーケンス（雰囲気圧力・温度による静的負荷（格納容器過圧破損）、原子炉圧力容器外の溶融燃料一冷却材相互作用、溶融炉心・コンクリート相互作用、水素燃焼）については、起因事象発生の時点で大規模な一次冷却材圧力バウンダリの喪失を仮定していることから、これらの事象による原子炉格納容器内事象進展への影響はない。また過渡事象起因のシーケンス（雰囲気圧力・温度による静的負荷（格納容器過温破損）、高圧溶融物放出／格納容器雰囲気直接加熱）では、原子炉容器からの気相漏えいや漏えい量の増加は、原子炉減圧運動と水位運動に影響する。</p> <p>雰囲気圧力・温度による静的負荷（格納容器過温破損）、高圧溶融物放出／格納容器雰囲気直接加熱の防止に係る評価においては、高温ガス発生による気相部漏えいが生じる場合には、原子炉の減圧が促進されるため、雰囲気圧力・温度による静的負荷（格納容器過温破損）、高圧溶融物放出／格納容器雰囲気直接加熱の回避に対して有効に寄与する。さらに、原子炉容器破損前に運転員による原子炉減圧操作が必須となるが、破損までには十分な時間余裕があり、気相漏えいを想定しても破損時間への影響は小さい。よって、有効性評価への影響は小さいと考えられる。</p> <p>また、有効性評価のうち、「雰囲気圧力・温度による静的負荷（格納容器過温破損）」の評価において、添付資料7.2.1.2.2「全交流動力電源喪失+補助給水失敗」における原子炉冷却材圧力バウンダリから現実的な漏えいを想定した場合の事象進展についてで、原子炉冷却材圧力バウンダリから漏えいが発生した場合の運転員等操作時間に与える影響及び評価項目となるパラメータに与える影響が小さいことを確認している。</p>	

## 泊発電所3号炉 有効性評価 比較表

赤字：設備、運用又は体制の相違（設計方針の相違）  
 青字：記載箇所又は記載内容の相違（記載方針の相違）  
 緑字：記載表現、設備名称の相違（実質的な相違なし）

付録3 重大事故等対策の有効性評価に係るシビアアクシデント解析コードについて（第3部 MAAP コード）

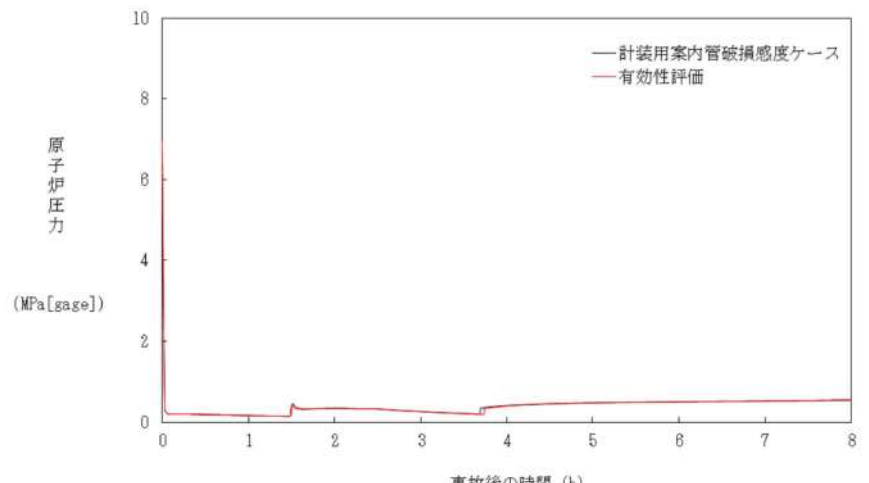
女川原子力発電所2号炉	泊発電所3号炉	相違理由
<p>(2) 溶融炉心の下部プレナム落下挙動</p> <p>有効性評価のうち、「格納容器過圧・過温破損」の評価において、原子炉圧力容器が破損しないシーケンスを想定するシナリオでは、溶融炉心の下部プレナム落下前に冷却される状態を対象としているため、本現象の影響はない。</p> <p>下部プレナムへの溶融炉心落下が発生するシーケンスについては、本文「3.3.6 溶融炉心の挙動モデル」で述べたように、MAAPコードでは、溶融炉心の下部プレナムへの落下は、炉心支持板が破損するか、クラストが破損して溶融炉心を保持できなくなった場合に開始され、落下する溶融炉心の量は、仮想的なデブリジェット径等により計算されている。一方、燃料支持金具等の炉心下部構造物を介した溶融炉心の移行は、別図 1-2.2-4 に示す経路が想定され、溶融炉心が下部プレナムへ移行する場合、これらの構造物との熱的相互作用によって、その経路で一部が固化し、落下流量が低減される等の影響が想定される。したがって、これらを考慮していない現行評価は、原子炉圧力容器下部ヘッドへの熱負荷を計算する上で、保守的扱いといえる。</p> <p>また、同じく「3.3.6 溶融炉心の挙動モデル」で述べたように、MAAPコードでは、溶融炉心の径方向のリロケーションは下部ノードが閉塞した以降に発生し、溶融領域は炉心シュラウドまで到達しない想定としている。溶融炉心が炉心シュラウドと接触した場合、炉心シュラウドを溶融貫通する可能性はあるものの、その径方向への進展は下部ノードの閉塞挙動等に依存した極めて不確かさの大きな現象と考えられる。さらに、溶融炉心が炉心シュラウドを溶融貫通した場合の下部プレナムへの移行は、ジェットポンプ等の貫通後に発生するが、ジェットポンプ内部に冷却材が存在している場合には、溶融炉心が一時的に冷却される等の効果も期待される。このようなことから、炉心下部構造物を介した移行に比べて、主要なリロケーション経路となり得るとは考えにくく、有効性評価への影響は小さいと考えられる。</p> <p>(3) 圧力抑制プールの温度成層化について（別添1（補足）参照）</p> <p>原子炉隔離時冷却系の運転方法として、福島第一原子力発電所3号機と同様にテストラインを使用し注水流量を制御するような運転方法とした場合、圧力抑制プールの温度成層化による原子炉格納容器の圧力上昇が生じる可能性がある。しかしながら、原子炉隔離時冷却系が間欠運転（L-2 と L-8 の自動制御）の場合、原子炉隔離時冷却系が停止している間に原子炉圧力が上昇し、逃がし安全弁が作動することにより温度成層化の発生の可能性は小さくなる。また、原子炉隔離時冷却系の注水流量調整のみによる制御とした場合においても、消費される駆動蒸気量の減少により逃がし安全弁の作動回数が増え、温度成層化の発生可能性は小さくなる可能性がある。</p> <p>一方、低圧代替注水系を用いた原子炉注水時において成層化の発生可能性はあるものの、原子炉格納容器圧力に対する影響は小さいものと考えられる。</p>	<p>(2) コア・コンクリート反応</p> <p>有効性評価のうち、「雰囲気圧力・温度による静的負荷（格納容器過圧破損）」の評価において、添付資料 7.2.1.1.18 「溶融炉心・コンクリート相互作用が発生した場合の原子炉格納容器圧力及び温度への影響について」で、コア・コンクリート反応の不確実さを考慮し、原子炉下部キャビティ床面での溶融炉心の拡がりが小さく、局的に溶融炉心が堆積するような条件での感度解析を実施した。</p> <p>感度解析ケースでは、基本ケースに比べて溶融炉心の拡がり面積及び溶融炉心からの原子炉下部キャビティ水への熱流束を制限していることから溶融炉心が十分冷却されるまでの時間が長くなる。このため、原子炉格納容器圧力及び温度の上昇は緩やかになる。その後コンクリート侵食による非凝縮性ガスの発生により原子炉格納容器圧力及び温度は上昇するものの、原子炉下部キャビティ水により溶融炉心が冷却されることでコンクリート侵食は停止するため、これらの要因による原子炉格納容器圧力及び温度の上昇は一時的なものである。</p> <p>また、有効性評価のうち、「溶融炉心・コンクリート相互作用」の評価において、添付資料 7.2.5.2 「解析コード及び解析条件の不確かさの影響評価について（溶融炉心・コンクリート相互作用）」で、解析コード及び解析条件の不確かさの評価を実施しており、運転員等操作時間に与える影響及び評価項目となるパラメータに与える影響が小さいことを確認している。</p> <p>(3) 水素リッチな蒸気を放出した際の凝縮挙動</p> <p>炉心損傷が進んでいる場合、その減圧時には水素等の非凝縮性ガスを多く含んだ蒸気が放出されることにより原子炉格納容器の事故進展に影響を与える可能性がある。</p> <p>有効性評価のうち、「雰囲気圧力・温度による静的負荷（格納容器過圧破損）」の評価において、添付資料 7.2.1.1.20 「格納容器再循環ユニットによる格納容器内自然対流冷却の水素濃度に対する影響について」で、原子炉格納容器内の水素濃度の不確かさを考慮した場合の、原子炉格納容器圧力及び温度に対する影響を確認した。水素濃度が高く、格納容器再循環ユニットの除熱量が低下した場合でも、原子炉格納容器圧力及び温度への影響は軽微であることを確認している。</p>	

## 泊発電所3号炉 有効性評価 比較表

赤字：設備、運用又は体制の相違（設計方針の相違）  
 青字：記載箇所又は記載内容の相違（記載方針の相違）  
 緑字：記載表現、設備名称の相違（実質的な相違なし）

付録3 重大事故等対策の有効性評価に係るシビアアクシデント解析コードについて（第3部 MAAP コード）

女川原子力発電所2号炉	泊発電所3号炉	相違理由
<p>(4) 原子炉格納容器の気相漏えいについて</p> <p>福島第一原子力発電所事故においては、原子炉格納容器内で局所的な過温状態となって、気相部に漏えいが生じた可能性が指摘されている。重大事故時の原子炉格納容器内温度分布は、損傷炉心及び核分裂生成物の分布やその冷却状態、また、原子炉格納容器への注水等によるガス攪拌に資する駆動力の有無にも依存することから、MAAPの評価体系で原子炉格納容器内の温度分布を精度よく評価することは困難である。</p> <p>一方、福島第一原子力発電所事故で推定されている局所的な過温状態の発生を回避するため、重大事故等対策として、原子炉及び格納容器への代替注水等を整備し、その有効性を確認することが有効性評価の目的となっている。すなわち、これらの対策によって、原子炉圧力容器内損傷炉心の非冷却状態長期化を防止でき、また、原子炉格納容器への注水によって、雰囲気を十分攪拌させて高温気体の局所的な滞留を防止できるため、局所的な過温は回避可能と考えられる。</p> <p>このような観点から、本文「3.3.4 格納容器モデル」の図3.3-6に例示した原子炉格納容器のノード分割方法は、原子炉格納容器の過圧・過温に対する有効性評価に適用可能である。</p>	<p>(4) 原子炉格納容器の気相漏えいについて</p> <p>福島第一原子力発電所事故においては、原子炉格納容器内で局所的な過温状態となって、気相部に漏えいが生じた可能性が指摘されている。重大事故時の原子炉格納容器内温度分布は、損傷炉心及び核分裂生成物の分布やその冷却状態、また、原子炉格納容器への注水等によるガス攪拌に資する駆動力の有無にも依存することから、MAAPの評価体系で原子炉格納容器内の温度分布を精度よく評価することは困難である。</p> <p>一方、福島第一原子力発電所事故で推定されている局所的な過温状態の発生を回避するため、重大事故等対策として、代替格納容器スプレイポンプによる代替格納容器スプレイ、格納容器再循環ユニットによる格納容器内自然対流冷却等を整備し、その有効性を確認することが有効性評価の目的となっている。すなわち、これらの対策によって、溶融炉心の非冷却状態長期化を防止でき、また、原子炉格納容器への注水によって、雰囲気を十分攪拌させて高温気体の局所的な滞留を防止できるため、局所的な過温は回避可能と考えられる。</p> <p>このような観点から、有効性評価のうち、「雰囲気圧力・温度による静的負荷（格納容器過圧破損）」の評価において、添付資料7.2.1.4「MAAPでの原子炉格納容器モデルについて」に例示した原子炉格納容器のノード分割方法は、原子炉格納容器の過圧・過温に対する有効性評価に適用可能である。</p>	

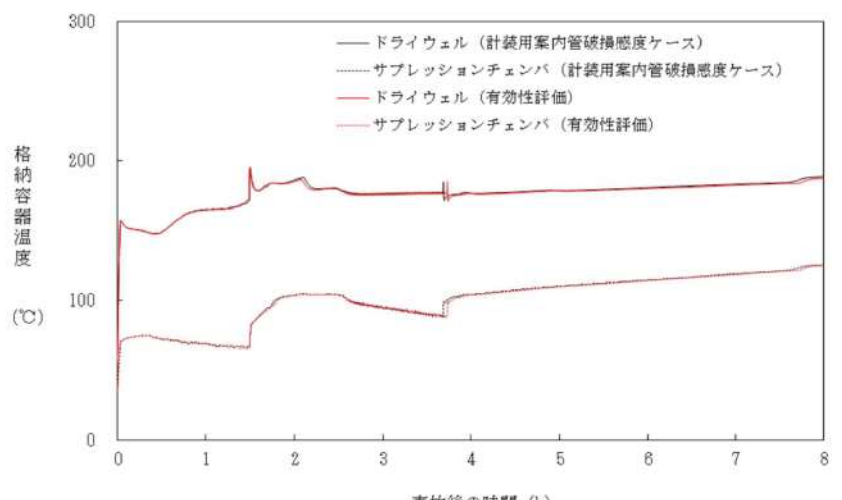
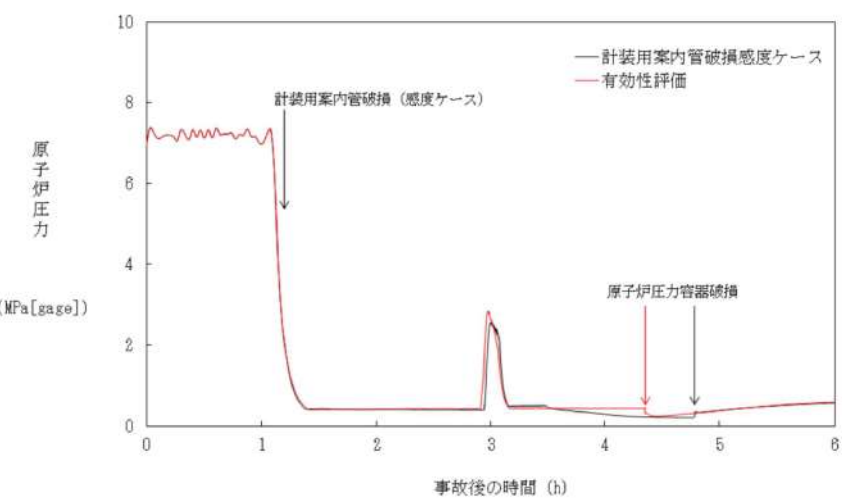


別図1-2.2-1 大破断LOCA時注水機能喪失（原子炉圧力容器破損）における原子炉圧力変化の比較

泊発電所 3号炉 有効性評価 比較表

赤字：設備、運用又は体制の相違（設計方針の相違）  
 青字：記載箇所又は記載内容の相違（記載方針の相違）  
 緑字：記載表現、設備名称の相違（実質的な相違なし）

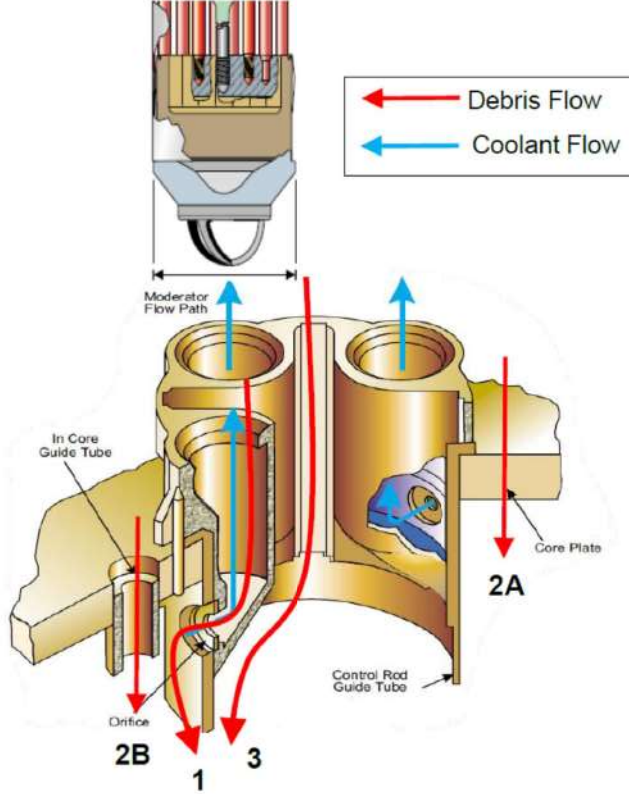
付録3 重大事故等対策の有効性評価に係るシビアアクシデント解析コードについて（第3部 MAAP コード）

女川原子力発電所 2号炉	泊発電所 3号炉	相違理由
 <p>別図 1-2.2-2 大破断 L O C A 時注水機能喪失（原子炉圧力容器破損）における格納容器温度変化の比較</p>		
 <p>別図 1-2.2-3 高圧・低圧注水機能喪失における原子炉圧力変化の比較</p>		

## 泊発電所 3号炉 有効性評価 比較表

赤字：設備、運用又は体制の相違（設計方針の相違）  
 青字：記載箇所又は記載内容の相違（記載方針の相違）  
 緑字：記載表現、設備名称の相違（実質的な相違なし）

付録3 重大事故等対策の有効性評価に係るシビアアクシデント解析コードについて（第3部 MAAP コード）

女川原子力発電所 2号炉	泊発電所 3号炉	相違理由
 <p>The diagram illustrates the path of molten fuel (red arrows) through the reactor core bottom structure. Key labeled parts include:</p> <ul style="list-style-type: none"> <li>Debris Flow (red arrow pointing left)</li> <li>Coolant Flow (blue arrow pointing left)</li> <li>Moderator Flow Path (blue arrow pointing up)</li> <li>In Core Guide Tube (vertical tube)</li> <li>Control Rod Guide Tube (horizontal tube)</li> <li>Orifice (arrow pointing down)</li> <li>Core Plate (bottom plate)</li> <li>Labels 1, 2A, and 2B indicating specific locations along the path.</li> </ul>		

別図 1-2, 2-4 炉心下部構造物を介した溶融炉心の移行経路<sup>[4]</sup>

泊発電所 3 号炉 有効性評価 比較表

付録 3 重大事故等対策の有効性評価に係るシビアアクシデント解析コードについて（第3部 MAAP コード）

女川原子力発電所 2 号炉	泊発電所 3 号炉	相違理由
<p>3. MAA P コード改良の動向について</p> <p>3.1 MAA P コードの改良<sup>[5]</sup></p> <p>MAAP コード最新バージョンで追加された物理現象モデル<sup>[5]</sup>のうち、有効性評価に関連すると考えられる主要なモデルについて、推定される影響を整理する。</p> <p>(1) 炉心モデル</p> <p>MAAP コード最新バージョンでは、制御材である B<sub>4</sub>C の酸化モデルが追加されている。B<sub>4</sub>C 酸化については、QUENCH 実験において、B<sub>4</sub>C 酸化による H<sub>2</sub> 発生量全体に寄与する割合は QUENCH-07 で 2.4%、QUENCH-09 で 2.2% と小さいことが確認されている。すなわち、炉心損傷進展に伴う不確かさに比べればその影響は小さく、有効性評価への影響は小さいと考えられる。</p> <p>(2) 一次系モデル</p> <p>(a) 主蒸気管ノードの追加</p> <p>MAAP コード最新バージョンでは、主蒸気管ノードが一次系ノードに追加され、高温ガスによるクリープ損傷がモデル化されている。本現象は、炉心損傷後に原子炉圧力容器内が長時間高温・高圧状態に維持される場合に生じ得るが、有効性評価では、運転員操作による炉心損傷の初期段階での原子炉減圧を想定しているため、主蒸気管のクリープ損傷が発生する可能性は小さいと考えられる。</p> <p>また、仮にクリープ損傷が生じた場合にも、2.2 における原子炉圧力容器からの気相漏えいと同様に事象進展への影響は小さいと推定される。</p> <p>(b) 計装管損傷モデルの追加</p> <p>MAAP コード最新バージョンでは、原子炉内核計装等の計装管の損傷がモデル化されており、損傷した計装管への溶融炉心の侵入と固化挙動が評価可能となっている。計装管損傷の影響は、2.1 及び 2.2 で述べたように原子炉圧力容器からの気相漏えいとして現れるが、上述のように有効性評価で対象とする事故シーケンスへの影響は小さいと考えられる。</p> <p>(3) 下部ブレナム内デブリモデル</p> <p>MAAP コード最新バージョンでは、OECD/NEA 国際プロジェクト RASPLAV<sup>[6]</sup> 及び MASCA<sup>[7]</sup> 計画の知見を反映し、下部ブレナム内で重金属層（金属ウラン）が酸化物層（二酸化ウラン、酸化ジルコニウム）の下方に成層化するモデルが追加されている。しかしながら、本現象は、原子炉圧力容器を外部から冠水させて溶融炉心を下部ブレナム内に長期間保持する対策をとる際に重要なものであり、有効性評価では下部ブレナム内に溶融炉心を保持して事故収束させるシーケンスを対象としていないため、影響はない。</p>	<p>3. MAA P コードの改良の動向について</p> <p>3.1 MAA P コードの改良<sup>[3]</sup></p> <p>MAAP コード最新バージョンで追加された物理現象モデル<sup>[3]</sup>のうち、有効性評価に関連すると考えられる主要なモデルについて、推定される影響を整理する。</p> <p>(1) 炉心モデル</p> <p>MAAP コードの最新バージョンでは、高温領域でのジルコニウム-水反応モデルに Urbanic-Heidrick の式(U-H の式)が追加されている。U-H 式は、有効性評価に適用している現行 MAAP で使用する Baker-Just の式に比べ、ジルコニウム-水反応を抑制する傾向にある。しかしながら、U-H 式の適用は高温領域に限定されることから、有効性評価への影響は小さいと考えられる。</p> <p>(2) 1 次冷却系モデル</p> <p>(a) ループモデルの改良</p> <p>MAAP コード最新バージョンでは、1 次冷却系の各ループをそれぞれ独立に模擬できるモデルが追加されている。</p> <p>有効性評価に適用している現行 MAAP では、3 つあるループを 2 グループに分けて模擬するが、有効性評価で対象とする事故シーケンスは、3 つのループをそれぞれ独立に模擬する必要がある現象を含んでいない。したがって、このモデル改良が有効性評価へ与える影響は小さいと考えられる。</p> <p>(b) 計装管損傷モデルの追加</p> <p>MAAP コードの最新バージョンでは、原子炉容器下部ブレナム内の計装管の損傷モデルが追加されており、損傷した計装管への溶融炉心の侵入と固化挙動が評価可能となっている。計装管損傷の影響は、原子炉圧力容器からの気相漏えいとして現れるが、2.2 で述べたように有効性評価への影響は小さいと考えられる。</p> <p>(3) 下部ブレナム内デブリモデル</p> <p>MAAP コード最新バージョンでは、OECD/NEA 国際プロジェクト RASPLAV<sup>[4]</sup> 及び MASCA<sup>[5]</sup> 計画の知見を反映し、下部ブレナム内で重金属層（金属ウラン）が酸化物層（二酸化ウラン、酸化ジルコニウム）の下方に成層化するモデルが追加されている。しかしながら、本現象は、原子炉容器を外部から冠水させて溶融炉心を下部ブレナム内に長期間保持する対策をとる際に重要なものであり、有効性評価では下部ブレナム内に溶融炉心を保持して事故収束させるシーケンスを対象としていないため、影響はない。</p>	

## 泊発電所3号炉 有効性評価 比較表

付録3 重大事故等対策の有効性評価に係るシビアアクシデント解析コードについて（第3部 MAAP コード）

赤字：設備、運用又は体制の相違（設計方針の相違）  
 青字：記載箇所又は記載内容の相違（記載方針の相違）  
 緑字：記載表現、設備名称の相違（実質的な相違なし）

女川原子力発電所2号炉	泊発電所3号炉	相違理由
<p>(4) 格納容器モデル</p> <p>(a) 圧力抑制プールの多ノード化</p> <p>MAAPコード最新バージョンでは、圧力抑制プールの多ノードモデルが追加されており、逃がし安全弁排気管からの入熱等による温度分布を評価することが可能となっている。これにより、圧力抑制プール水の温度成層化の模擬が可能である。</p> <p>この多ノード化については、2.2で述べたように、圧力抑制プールの温度成層化は、逃がし安全弁の作動状況に依存するものの、原子炉格納容器圧力に対する影響は小さいと考えられる。</p> <p>(b) 溶融炉心とコンクリート相互作用モデルの改良</p> <p>MAAPコード最新バージョンでは、OECD/NEA国際プロジェクトMCCI計画<sup>[8][9][10]</sup>の知見を反映して、溶融炉心の上部クラストに形成された亀裂への水浸入による冷却効果、コンクリート分解気体がクラスト開口部を通過する際に気体に随伴されて溶融物が噴出することによって形成される粒子状デブリの堆積とその冷却効果及び連続層の減少、溶融炉心のコンクリート含有に伴う上面水プールへのドライアウト熱流束低下等がモデル化されており、MCCI試験結果との比較による妥当性確認が行われている<sup>[11]</sup>。これらの物理現象モデルの根拠となった試験では、溶融物落下後にドライ条件である程度コンクリート侵食が進んだ後に上部から注水（Top Flooding）する条件で行われており、有効性評価で対象としている、溶融炉心が水中へ落下し、粒子化した後、床面に粒子状ベッドとして堆積する場合の伝熱挙動とは異なるため、このモデル改良が、有効性評価にそのまま適用されるわけではない。しかしながら、溶融炉心の挙動に係る知見の拡充については継続的に進め、有効性評価に影響するような新たな知見が出た場合には適宜評価に反映することが重要と考える。</p>	<p>(4) 格納容器モデル</p> <p>(a) 放射線水分解モデルの追加</p> <p>MAAPコード最新バージョンでは、放射線水分解モデルが追加されており、水の放射線分解による水素発生を評価することが可能となっている。</p> <p>有効性評価に適用している現行MAAPでは、水の放射線分解による水素発生を考慮していないが、水素発生の主要因となるジルコニウム-水反応を考慮しており、水の放射線分解による水素発生影響は小さい。したがって、本モデル改良が有効性評価で対象とする事故シーケンスへの影響は小さいと考えられる。</p> <p>(b) 溶融炉心とコンクリート相互作用モデルの改良</p> <p>MAAPコード最新バージョンでは、OECD/NEA国際プロジェクトMCCI計画<sup>[6][7][8]</sup>の知見を反映して、溶融炉心の上部クラストに形成された亀裂への水浸入による冷却効果、コンクリート分解気体がクラスト開口部を通過する際に気体に随伴されて溶融物が噴出することによって形成される粒子状デブリの堆積とその冷却効果及び連続層の減少、溶融炉心のコンクリート含有に伴う上面水プールへのドライアウト熱流束低下等がモデル化されており、MCCI実験の結果との比較による妥当性確認が行われている<sup>[9]</sup>。</p> <p>有効性評価に適用している現行MAAPでは、添付資料7.2.1.1.18「溶融炉心・コンクリート相互作用が発生した場合の原子炉格納容器圧力及び温度への影響について」で、コア・コンクリート反応の不確実さを考慮し、MCCI実験の結果（SWISS実験、CCI実験、SSWICS実験）に基づき、溶融炉心の状態に合わせて熱流束を制限する感度解析を実施した。したがって、このモデル改良が有効性評価へ与える影響は小さいと考えられる。しかしながら、溶融炉心の挙動に係る知見の拡充については継続的に進め、有効性評価に影響するような新たな知見が出た場合には適宜評価に反映することが重要と考える。</p>	

泊発電所3号炉 有効性評価 比較表

付録3 重大事故等対策の有効性評価に係るシビアアクシデント解析コードについて（第3部 MAAP コード）

女川原子力発電所2号炉	泊発電所3号炉	相違理由
<p>3.2 福島第一原子力発電所事故を踏まえたMAAPコードの改良</p> <p>福島第一原子力発電所の事象進展解明や燃料デブリ位置推定・炉内状況把握を目的としたMAAPコード高度化が推進されている<sup>[4]</sup>。主要な項目としては、下記のとおり、溶融炉心の挙動に重点を置いたものとなっている。</p> <ul style="list-style-type: none"> <li>・下部プレナムへの溶融炉心リロケーション経路の追加</li> <li>・下部プレナム内構造物と溶融炉心との相互作用</li> <li>・原子炉格納容器内デブリ拡がりモデルの追加</li> </ul> <p>(1) 下部プレナムへの溶融炉心リロケーション経路の追加</p> <p>BWRの炉心下部構造を模擬した溶融炉心の下部プレナムへの落下経路が追加された。2.1 及び2.2 にて示したように、本モデルによって、下部プレナムへの落下流量が低減されるため、下部ヘッドへの熱負荷も軽減され、原子炉圧力容器破損時間も遅延されると推定される。したがって、有効性評価に適用している現行MAAPは保守的な扱いとなっていると考えられる。</p> <p>(2) 下部プレナム内構造物と溶融炉心との相互作用</p> <p>BWR下部プレナムは制御棒(CR)案内管・制御棒駆動機構(CRD)ハウジング等の構造物を有している。有効性評価に適用している現行MAAPでは、これらを1個のヒートシンクとしてモデル化しているが、径方向に複数のグループに分類して、下部プレナム内溶融炉心との接触面積の相違を考慮し、CR案内管・CRDハウジング内冷却水保有量とそれらの溶融をグループごとに評価するモデルが追加された。これによって、炉心部から下部プレナムへの溶融炉心の落下が段階的に発生する。すなわち、(1)と同様に、下部プレナムへの落下流量が低減されるため、下部ヘッドへの熱負荷も軽減され、原子炉圧力容器破損時間も遅延されると推定される。</p> <p>(3) 原子炉格納容器内デブリ拡がりモデルの追加</p> <p>有効性評価に適用している現行MAAPでは、原子炉圧力容器破損後に格納容器床に落下する溶融炉心は、ユーザーが指定する床面積まで直ちに拡がるモデルとなっている。この拡がり挙動を現実的に評価することを目的として、拡がり速度を指定可能とするデブリ拡がりモデルが追加されている。本モデルは、原子炉圧力容器から段階的に溶融炉心が落下する場合に拡がりが制限される可能性があるが、BWRで支配的なCRDハウジング逸出による破損モードの場合、瞬時に大量の溶融物が落下するため、拡がり挙動の影響は小さいと考えられる。</p>	<p>3.2 福島第一原子力発電所事故を踏まえたMAAPコードの改良</p> <p>福島第一原子力発電所の事象進展解明や燃料デブリ位置推定・炉内状況把握を目的としたMAAPコード高度化が推進されている<sup>[10]</sup>。主要な項目としては、下記のとおり、溶融炉心の挙動に重点を置いたものとなっている。</p> <ul style="list-style-type: none"> <li>・下部プレナムへの溶融炉心リロケーション経路の追加</li> <li>・下部プレナム内構造物と溶融炉心との相互作用</li> <li>・原子炉格納容器内デブリ拡がりモデルの追加</li> </ul> <p>これらモデル改良はBWRに特化したものであるため、有効性評価に適用している現行MAAPに影響はない。しかしながら、溶融炉心の挙動に係る知見の拡充については継続的に進め、有効性評価に影響するような新たな知見が出た場合には適宜評価に反映することが重要と考える。</p>	以上

## 泊発電所3号炉 有効性評価 比較表

赤字：設備、運用又は体制の相違（設計方針の相違）  
 青字：記載箇所又は記載内容の相違（記載方針の相違）  
 緑字：記載表現、設備名称の相違（実質的な相違なし）

付録3 重大事故等対策の有効性評価に係るシビアアクシデント解析コードについて（第3部 MAAP コード）

女川原子力発電所2号炉	泊発電所3号炉	相違理由										
	<p style="text-align: right;">別添1別紙</p> <p>福島第一原子力発電所事故における未確認・未解明事項のうち、MAAP コードによる有効性評価に対して留意すべき項目の抽出過程について</p> <p>福島第一原子力発電所事故における未確認・未解明事項より、MAAP コードによる泊3号炉の有効性評価において留意すべき項目として4項目（表1）を抽出しており、その抽出過程について本資料にまとめた。</p> <p style="text-align: center;">表1 MAAP コードによる泊3号炉の有効性評価において留意すべき項目</p> <table border="1" style="width: 100%; border-collapse: collapse;"> <thead> <tr> <th></th><th style="text-align: center;">泊3号炉</th></tr> </thead> <tbody> <tr> <td>(1)</td><td>原子炉圧力容器からの気相漏えいの発生について</td></tr> <tr> <td>(2)</td><td>コア・コンクリート反応について</td></tr> <tr> <td>(3)</td><td>水素リッチな蒸気を放出した際の凝縮挙動</td></tr> <tr> <td>(4)</td><td>原子炉格納容器の気相漏えいについて</td></tr> </tbody> </table> <p>福島第一原子力発電所事故における未確認・未解明事項にかかる報告書「福島第一原子力発電所1～3号機の炉心・格納容器の状態の推定と未解明問題に関する検討 第6回進捗報告 2022年11月10日 東京電力ホールディングス株式会社」（以下、「東電報告書」と記載）では、課題リストとして、「共通」及び「各号機」別に、合計52項目が抽出されている。</p> <p>課題リスト～共通～： 共通-1～共通-16 ⇒ 16項目      課題リスト～1号機～： 1号機-1～1号機-11 ⇒ 11項目      課題リスト～2号機～： 2号機-1～2号機-13 ⇒ 13項目      課題リスト～3号機～： 3号機-1～3号機-12 ⇒ 12項目</p> <p>これら52項目は、図1に示すように、A～Dの4つの分類とさらなる細分類にて整理されているが、A「機器の動作・応答・特性」、C「地震・津波」及びD「その他」（ヒューマンファクター）については、MAAP コードによる事象進展解析とは直接的には関係がないと考えらえるため、これらを除外し、B「炉心損傷・放射性物質放出への進展とメカニズム」について留意すべきかについて検討した。さらに、B「炉心損傷・放射性物質放出への進展とメカニズム」は、①～⑦に細分化されているが、①「圧力・水位・温度の挙動」、②「炉心損傷過程・デブリ挙動」、③「RPV漏えい」及び④「PCV漏えい」は、MAAP コードによる事象進展解析に直接的に関係する可能性があると考えられる。一方で、⑤「核種放出・線量上昇・汚染」、及び⑥「水素爆発」は、MAAP コードによる事象進展解析を参考にしつ</p>		泊3号炉	(1)	原子炉圧力容器からの気相漏えいの発生について	(2)	コア・コンクリート反応について	(3)	水素リッチな蒸気を放出した際の凝縮挙動	(4)	原子炉格納容器の気相漏えいについて	
	泊3号炉											
(1)	原子炉圧力容器からの気相漏えいの発生について											
(2)	コア・コンクリート反応について											
(3)	水素リッチな蒸気を放出した際の凝縮挙動											
(4)	原子炉格納容器の気相漏えいについて											

泊発電所 3号炉 有効性評価 比較表

赤字：設備、運用又は体制の相違（設計方針の相違）  
青字：記載箇所又は記載内容の相違（記載方針の相違）  
緑字：記載表現、設備名称の相違（実質的な相違なし）

付録3 重大事故等対策の有効性評価に係るシビアアクシデント解析コードについて（第3部 MAAP コード）

女川原子力発電所 2号炉	泊発電所 3号炉	相違理由
	<p>つも、MAAP コード以外の計算コード・手法による評価を「有効性評価」として最終的に実施することから、ここでは着目しないこととした。また、⑦「その他」についても、MAAP コードでの事象進展解析には関係しないものと判断した。その結果、B①～B④の中から 7 項目が残った。B①のうち、2号機-7「強制減圧後の原子炉圧力の上昇について」は有効性評価において主な要因と影響を考慮済であること、2号機-11「原子炉格納容器の気相漏えいについて」はB④1号機-6「原子炉格納容器の気相漏えいについて」と概ね重複すること、B③のうち、3号機-9「原子炉圧力容器の気相漏えいについて」は1号機-5「原子炉圧力容器の気相漏えいについて」と概ね重複することから片方に代表させた。選定フローについては図2、選定した 7 項目と採否については表2 に示す。</p> <p>以上より、B①～B④の 4 項目で細分化される福島第一原子力発電所事故の未確認・未解明事項に対して、それぞれから 1 項目を抽出した。</p> <p style="text-align: right;">以 上</p> <pre> graph TD     A[A 機器の動作・応答・特性] --- B1[事故進展に係る、各機器レベルでの操作・応答・特性に関する検討課題]     A --- B2[主蒸気逃がし安全弁 ② I C ・ R C I C ・ H P C I ③ 消防車注水 ④ ベント関連設備 ⑤ 計装 ⑥ その他]     B1 --- B3[① 圧力・水位・温度の挙動 ② 炉心損傷過程・デブリ挙動 ③ R P V 漏えい ④ P C V 漏えい ⑤ 核種放出・線量上昇・汚染 ⑥ 水素爆発 ⑦ その他]     B3 --- B4[① 地震・津波の発生とその影響 ② その他]     C[C 地震・津波] --- D1[地震・津波の発生とその影響に関する検討課題]     D[D その他]   </pre> <p>図1 東電報告書における福島第一原子力発電所事故未確認・未解明事項の分類 (報告書P.90 より抜粋)</p>	

泊発電所3号炉 有効性評価 比較表

赤字：設備、運用又は体制の相違（設計方針の相違）  
 青字：記載箇所又は記載内容の相違（記載方針の相違）  
 緑字：記載表現、設備名称の相違（実質的な相違なし）

付録3 重大事故等対策の有効性評価に係るシビアアクシデント解析コードについて（第3部 MAAP コード）

女川原子力発電所2号炉	泊発電所3号炉	相違理由
	<pre> graph TD     A[抽出された 52項目] --&gt; B{MAAPの事象進 展に直接関係 するか}     B -- NO --&gt; C["(分類A、C、D、Bの⑦)"]     B -- YES --&gt; D{最終的にMAAP で評価するか}     D -- NO --&gt; E["(分類Bの⑤、⑥)"]     D -- YES --&gt; F{PWRに置換え 可能か}     F -- NO --&gt; G["(分類Bの①～④のうち13項目)"]     F -- YES --&gt; H["(項目Bの①～④のうち7項目)"]     H --&gt; I{重複、類似、 考慮していな いか}     I -- NO --&gt; J["(分類B①～④の7項目のうち3項目)"]     I -- YES --&gt; K["(分類B①～④の16項目、⑤、⑥、⑦)"]     </pre> <p><b>【採用項目】</b>      B 炉心損傷・放射性物質放出への      進展とメカニズムからそれぞれ代表的な      1項目を以下の通り抽出      ①水素リッチな蒸気を放出した際の      凝縮挙動      ②コア・コンクリート反応について      ③原子炉圧力容器からの気相漏えいの      発生について      ④原子炉格納容器の気相漏えいについて</p> <p><b>【不採用項目】</b>      A 機器の動作・応答・特性      (①～⑥)      C 地震・津波      (①、②)      D その他（ヒューマンファクター）      B 炉心損傷・放射性物質放出への      進展とメカニズム      (①～④の16項目、⑤、⑥、⑦)</p>	

図2 福島第一原子力発電所事故未確認・未解明事項から  
 有効性評価において留意すべき項目の選定フロー

## 泊発電所3号炉 有効性評価 比較表

付録3 重大事故等対策の有効性評価に係るシビアアクシデント解析コードについて（第3部 MAAP コード）

赤字：設備、運用又は体制の相違（設計方針の相違）  
 青字：記載箇所又は記載内容の相違（記載方針の相違）  
 緑字：記載表現、設備名称の相違（実質的な相違なし）

女川原子力発電所2号炉	泊発電所3号炉	相違理由																								
	<p>表2 選定した7項目について</p> <table border="1"> <thead> <tr> <th>細分類</th><th>項目</th><th>採否</th></tr> </thead> <tbody> <tr> <td>B①</td><td>2号機-7 強制減圧後の原子炉圧力の上昇について</td><td>不採用 主な要因は有効性評価にて考慮済</td></tr> <tr> <td></td><td>2号機-10 水素リッチな蒸気を放出した際の凝縮挙動</td><td>採用</td></tr> <tr> <td></td><td>2号機-11 原子炉格納容器の気相漏えいについて</td><td>採用 ただし、概ね内容重複するためB④1号機-6にて代表させた</td></tr> <tr> <td>B②</td><td>共通-5 コア・コンクリート反応について</td><td>採用</td></tr> <tr> <td>B③</td><td>1号機-5 原子炉圧力容器の気相漏えいについて</td><td>採用</td></tr> <tr> <td></td><td>3号機-9 原子炉圧力容器の気相漏えいについて</td><td>採用 ただし、概ね内容重複するためB③1号機-5にて代表させた</td></tr> <tr> <td>B④</td><td>1号機-6 原子炉格納容器の気相漏えいについて</td><td>採用</td></tr> </tbody> </table>	細分類	項目	採否	B①	2号機-7 強制減圧後の原子炉圧力の上昇について	不採用 主な要因は有効性評価にて考慮済		2号機-10 水素リッチな蒸気を放出した際の凝縮挙動	採用		2号機-11 原子炉格納容器の気相漏えいについて	採用 ただし、概ね内容重複するためB④1号機-6にて代表させた	B②	共通-5 コア・コンクリート反応について	採用	B③	1号機-5 原子炉圧力容器の気相漏えいについて	採用		3号機-9 原子炉圧力容器の気相漏えいについて	採用 ただし、概ね内容重複するためB③1号機-5にて代表させた	B④	1号機-6 原子炉格納容器の気相漏えいについて	採用	
細分類	項目	採否																								
B①	2号機-7 強制減圧後の原子炉圧力の上昇について	不採用 主な要因は有効性評価にて考慮済																								
	2号機-10 水素リッチな蒸気を放出した際の凝縮挙動	採用																								
	2号機-11 原子炉格納容器の気相漏えいについて	採用 ただし、概ね内容重複するためB④1号機-6にて代表させた																								
B②	共通-5 コア・コンクリート反応について	採用																								
B③	1号機-5 原子炉圧力容器の気相漏えいについて	採用																								
	3号機-9 原子炉圧力容器の気相漏えいについて	採用 ただし、概ね内容重複するためB③1号機-5にて代表させた																								
B④	1号機-6 原子炉格納容器の気相漏えいについて	採用																								

## 泊発電所3号炉 有効性評価 比較表

付録3 重大事故等対策の有効性評価に係るシビアアクシデント解析コードについて（第3部 MAAP コード）

赤字：設備、運用又は体制の相違（設計方針の相違）  
 青字：記載箇所又は記載内容の相違（記載方針の相違）  
 緑字：記載表現、設備名称の相違（実質的な相違なし）

女川原子力発電所2号炉	泊発電所3号炉	相違理由
<p>[参考文献]</p> <p>[1] 東京電力株式会社，“MAAP コードによる炉心・格納容器の状態の推定，”平成 24 年 3 月 12 日</p> <p>[2] 東京電力株式会社，“福島第一原子力発電所 1～3 号機の炉心・格納容器の状態の推定と未解明問題に関する検討 第3回進捗報告，”平成 27 年 5 月 20 日</p> <p>[3] 独立行政法人 原子力安全基盤機構，“圧力抑制室保有水の温度成層化による原子炉格納容器圧力等への影響等の検討，”平成 24 年 2 月 1 日</p> <p>[4] Y. Kojima, et al., “MAAP Enhancements for Ascertaining and Analyzing Reactor Core Status in Fukushima Daiichi NPP”，Proceedings of ICAPP 2014, Charlotte, USA, April 6-9, 2014, Paper 14209.</p> <p>[5] Electric Power Research Institute, “Modular Accident Analysis Program 5 (MAAP5) Applications Guidance”，May 2015.</p> <p>[6] “IN-VESSEL CORE DBRIS RETENTION AND COOLABILITY Workshop Proceedings”，3-6 March 1998, Garching, Germany (NEA/CSNI/R(98)18).</p> <p>[7] D. F. Tsurikov, et al., “Main Results of the MASCA 1 and 2 Projects”，Russian Research Centre “KURCHATOV INSTITUTE”，OECD MASCA Project (2007).</p> <p>[8] M. T. Farmer, et al., “Corium Coolability under Ex-Vessel Debris Cooling Tests”，Proc. of OECD/CSNI Workshop on Ex-Vessel Debris Coolability, Karlsruhe, Germany (1999).</p> <p>[9] M. T. Farmer, et al., “OECD MCCI Project Final Report”，OECD/MCCI-2005-TR06 (2006).</p> <p>[10] M. T. Farmer, et al., “OECD MCCI-2 Project Final Report”，OECD/MCCI-2010-TR07 (2010).</p> <p>[11] Q. Zhou, et al., “Benchmark of MCCI Model in MAAP5.02 against OECD CCI Experiment Series”，Proceedings of ICAPP 2014, ICAPP-14352, Charlotte, USA, 2014.</p>	<p>[参考文献]</p> <p>[1] 東京電力株式会社，“MAAP コードによる炉心・格納容器の状態の推定，”平成 24 年 3 月 12 日</p> <p>[2] 東京電力ホールディングス株式会社，“福島第一原子力発電所 1～3 号機の炉心・格納容器の状態の推定と未解明問題に関する検討 第6回進捗報告，”2022年 11 月 20 日</p> <p>[3] Electric Power Research Institute, “Modular Accident Analysis Program 5 (MAAP5) Applications Guidance, Desktop Reference for Using MAAP5 Software -Phase 3 Report,” November 2017</p> <p>[4] “IN-VESSEL CORE DBRIS PETENTION AND COOLABILITY Workshop Proceedings”，3-6 March 1998, Garching, Germany (NEA/CSNI/R(98)18).</p> <p>[5] D. F. Tsurikov, et al., “Main Results of the MASCA 1 and 2 Projects”，Russian Research Centre “KURCHATOV INSTITUTE”，OECD MASCA Project (2007).</p> <p>[6] M. T. Farmer, et al., “Status of Large Scale MACE Core Coolability Experiments”，Prc. of OECD/CSNI Workshop on Ex-Vessel Debris Coolability, Karlsruhe, Germany (1999).</p> <p>[7] M. T. Farmer, et al., “OECD MCCI Project Final Report”，OECD/MCCI-2005-TR06 (2006).</p> <p>[8] M. T. Farmer, et al., “OECD MCCI-2 Project Final Report”，OECD/MCCI-2010-TR07 (2010).</p> <p>[9] Q. Zhou, C.Y. Paik, and P.B. McMinn, “Enhancements in MAAP5.03+ MCCI and Corium Coolability Models and Benchmarks against OECD CCI Tests,” NURETH-16, Chicago, IL, August 30-September 4, 2015.</p> <p>[10] Y. Kojima, et al., “MAAP Enhancements for Ascertaining and Analyzing Reactor Core Status in Fukushima Daiichi NPPs”，Proceedings of ICAPP2014, Charlotte, USA, April 6-9, 2014, Paper 14209.</p>	

## 泊発電所3号炉 有効性評価 比較表

付録3 重大事故等対策の有効性評価に係るシビアアクシデント解析コードについて（第3部 MAAP コード）

赤字：設備、運用又は体制の相違（設計方針の相違）  
 青字：記載箇所又は記載内容の相違（記載方針の相違）  
 緑字：記載表現、設備名称の相違（実質的な相違なし）

女川原子力発電所2号炉	泊発電所3号炉	相違理由
<p>別添1（補足）圧力抑制プールの温度成層化の影響について</p> <p>1. はじめに</p> <p>福島第一原子力発電所3号機（1F-3）は津波到達後の原子炉隔離時冷却系（以下「R C I C」という。）運転期間中、R C I C及び主蒸気逃がし安全弁（以下「S R V」という。）からの排気蒸気により、ドライウェル圧力が上昇傾向にあった。このドライウェル圧力の変化（実測値）をMAAP解析の結果と比較すると実測値の上昇の方が大きく、MAAP解析では3月12日の12時頃までに観察されているドライウェル圧力の変化を再現できていない（図1）*1。この理由として、「圧力抑制室保有水の温度成層化による原子炉格納容器圧力等への影響等の検討」（独立行政法人 原子力安全基盤機構、平成24年2月1日）によれば、R C I Cのタービン排気蒸気により排出管近傍におけるサプレッション・チャンバ（以下「S/C」という。）のプール水温が上昇し、高温水が水面近傍を周方向に拡がることでプール上部が高温になり、温度成層化が発生した可能性が示唆されている。</p> <p>また、福島第二原子力発電所4号機においても事故調査・検証委員会最終報告で圧力抑制プール（以下「S/P」という。）の上部と下部で温度差が発生していたことが報告されている*2。</p> <p>これらのプラント状況等を比較し、温度成層化の発生する可能性及び発生した際の影響について考察した。</p> <p>なお、福島第一原子力発電所2号機（1F-2）も長期間、R C I Cが動作していたが、S/Cが收められているトーラス室が浸水し、格納容器圧力の上昇を抑制するのに十分な除熱ができていた可能性があること、また、原子炉水位が制御されずに、R C I Cタービンの抽気レベル（主蒸気管）付近まで水位が上昇し、蒸気と水の二相流がR C I Cタービンへ流入した可能性等であることから、本検討対象には含めないこととした。</p>		*BWR特有の知見

## 泊発電所 3号炉 有効性評価 比較表

赤字：設備、運用又は体制の相違（設計方針の相違）  
 青字：記載箇所又は記載内容の相違（記載方針の相違）  
 緑字：記載表現、設備名称の相違（実質的な相違なし）

付録3 重大事故等対策の有効性評価に係るシビアアクシデント解析コードについて（第3部 MAAP コード）

女川原子力発電所 2号炉	泊発電所 3号炉	相違理由
<p>2. 福島第二原子力発電所 2号及び4号機圧力抑制プール水の温度</p> <p>福島第二原子力発電所 2号及び4号機(2F-2, 4)では、津波による浸水の影響により全台又は一部の非常用ディーゼル発電機が機能喪失し、RCICによって原子炉水位を維持しつつ、SRVで原子炉圧力の制御（原子炉減圧操作）を実施した。その時のS/P水の温度のチャートを図2, 3, 4, 5, 6, 7, 8及び9に示す（A系とB系で同様の挙動を示すため、A系を例示）。</p> <p>なお、福島第二原子力発電所の1号機については2F-2, 4と同様にRCICによる水位維持を実施していたが、計器用電源喪失に伴い対象の記録計が停止していた等の理由により対象外とした。また、福島第二原子力発電所の3号機についてはB系の交流電源母線が機能を維持しており、事象初期からRHRによるS/Cクリーリングを実施しているため、2F-2, 4を対象とした。</p> <p>これらのチャートから、RCICによって原子炉水位を維持しつつ、SRVで原子炉圧力の制御（原子炉減圧操作）を行う事象初期では、S/Pの上部と下部の水温の差はほとんどなく、ほぼ一様に温度上昇していることが確認されている。</p> <p>また、事象後半（2F-2: 3月12日2時頃、2F-4: 3月12日1時頃）ではS/Pの上部と下部において温度差が発生しているが、S/CクリーリングやHPCS, LPCIの起動により温度差は減少した（図7及び図9）。</p>		

## 泊発電所 3号炉 有効性評価 比較表

付録3 重大事故等対策の有効性評価に係るシビアアクシデント解析コードについて（第3部 MAAP コード）

赤字：設備、運用又は体制の相違（設計方針の相違）  
 青字：記載箇所又は記載内容の相違（記載方針の相違）  
 緑字：記載表現、設備名称の相違（実質的な相違なし）

女川原子力発電所 2号炉	泊発電所 3号炉	相違理由
<p>3. M A A P による福島第二原子力発電所 4号機のトレース解析</p> <p>2F-4 を対象にMAAPにより事象進展解析（トレース解析）を実施した。図 10 及び図 11 に格納容器圧力及びS／P水温の実測値（S／P上部温度）とMAAP解析結果の比較を示す。解析結果と実測値との比較により以下の傾向が確認された。</p> <ul style="list-style-type: none"> <li>- R C I C 運転期間中は実測値（S／P上部温度）に対してMAAP解析結果はこれを良く再現している（この間、S／P上部と下部の温度差は観測されていない）</li> <li>- R C I C 注水停止以降のMUWCによる注水期間中は、実測値（S／P上部温度）に対して解析結果は僅かに低い値となったがおおむね実測値は再現されている（この間、上部と下部で温度差が観測されている）</li> </ul>		

## 泊発電所3号炉 有効性評価 比較表

赤字：設備、運用又は体制の相違（設計方針の相違）  
 青字：記載箇所又は記載内容の相違（記載方針の相違）  
 緑字：記載表現、設備名称の相違（実質的な相違なし）

付録3 重大事故等対策の有効性評価に係るシビアアクシデント解析コードについて（第3部 MAAP コード）

女川原子力発電所2号炉	泊発電所3号炉	相違理由
<p>4. 福島第一原子力発電所3号機と福島第二原子力発電所2号及び4号機の差異</p> <p>1F-3 の S/C 圧力の MAAP 解析結果と実測値との差異が温度成層化の影響によるものとした場合、RCIC 運転時の比較的初期（差異が大きくなる 3 月 11 日 20 時頃から以前）から発生していたと考えられる。一方、2F-2,4においては RCIC 運転時の後半又は RCIC 隔離後（2F-2：3 月 12 日 2 時頃、2F-4：3 月 12 日 1 時頃）まで大きな温度差は発生しておらず、また MAAP でのトレース解析を実施したところ、S/P 水温や格納容器圧力の評価結果と計測値の間に大きな差異は生じていない。</p> <p>原子炉格納容器の型式（1F-3：MARK-I, 2F-2,4：MARK-II 改良型）、SRV 排気管のクエンチャのアーム部は異なるものの、RCIC 排気スパージャ、SRV 排気管のクエンチャの寸法や配置の高さに大きな差異はないことから各々の原子炉圧力、RCIC や SRV の運転状況と、それらの排気ラインからの蒸気の流入量が大きく関与しているものと推定される。</p> <p>1F-3 は RCIC が自動停止に至らないよう原子炉注水ライン及びテストラインの両ラインを通水するライン構成とした上で、原子炉水位を緩やかな変化となるように流量を設定しており、これにより RCIC 排気スパージャから継続的に S/P へ蒸気が流入していたものと推定される。一方、2F-2,4 では原子炉圧力を SRV により減圧させながら RCIC 運転を行っており、SRV 排気管からの S/P への蒸気流入が比較的多かったものと推定される。これらについて整理し、表 1, 2 及び図 12, 13, 14 にまとめた。</p> <p>以上の関連について整理すると以下の可能性が示唆される。</p> <ul style="list-style-type: none"> <li>原子炉が高圧の状態で SRV より多くの蒸気が S/P に流入している状態では温度成層化は発生しない（2F-2,4 事象初期から）。</li> <li>原子炉が低圧の状態では SRV から S/P への蒸気の流入が少なく、温度成層化が発生する（2F-2,4 事象後半から）。</li> <li>原子炉の圧力状態にかかわらず、SRV をほとんど使用せず、RCIC による連続運転を実施した場合は温度成層化が発生する（1F-3 より）。</li> </ul>		

## 泊発電所3号炉 有効性評価 比較表

付録3 重大事故等対策の有効性評価に係るシビアアクシデント解析コードについて（第3部 MAAP コード）

赤字：設備、運用又は体制の相違（設計方針の相違）  
 青字：記載箇所又は記載内容の相違（記載方針の相違）  
 緑字：記載表現、設備名称の相違（実質的な相違なし）

女川原子力発電所2号炉	泊発電所3号炉	相違理由
<p>5. 想定される温度成層化の状況</p> <p>1F-3 では R C I C 運転中に解析結果に対して比較的大きな温度差が発生している一方で、2F-4 の R C I C 注水停止以降の MUWC による注水期間中はトレース解析と測定値との差異は大きくない。これは以下の理由によるものと推定される。</p> <ul style="list-style-type: none"> <li>2F-4 の MUWC による注水期間中は、原子炉で発生する蒸気は S RV を通じて S / P へ流入するが、S RV クエンチャの排気孔は S / P の底部から約 [ ] 度の下部の位置にあることから、この付近を境に上下の温度差が発生したと考えられ、S / P 水の多くを上部の温度が高い層が占めるため、S / P 水温を一律の温度としている MAAP 評価と差異が大きくなかったと考えられる。これは図 9 の温度差が解消された後の温度にも現れている*。</li> <li>1F-3 の S / C 圧力は事象の早くから解析結果と測定値との差異が大きいが、主な蒸気の排出口として考えられる R C I C スページャは図 15 に示すように S / P 水面近くに排気孔が設置されており、蒸気凝縮した高温水が水面近傍を周方向に拡がることでプール上部が高温になり、S / C 圧力を大きく上昇させる要因となったと考えられる。</li> </ul> <p>*発生した S / P 水の上部と下部の温度差は、S / C クーリングや HPCS, LPCI の起動により 2F-2 : 3月 14 日 7 時頃、2F-4 : 3月 12 日 11 時頃に減少している。この時の上部と下部の温度のそれぞれの変化を確認すると下部の温度計の上昇に比べて上部の温度計の下降が小さいことが確認される。よって、温度差の境は上部と下部の中心ではなく比較的下部の位置にある可能性があることを示している。</p> <div style="border: 1px solid black; padding: 5px; margin-top: 10px;"> <p>本資料のうち、枠囲みの内容は商業機密に属しますので公開できません。</p> </div>		

## 泊発電所 3号炉 有効性評価 比較表

付録3 重大事故等対策の有効性評価に係るシビアアクシデント解析コードについて（第3部 MAAP コード）

赤字：設備、運用又は体制の相違（設計方針の相違）  
 青字：記載箇所又は記載内容の相違（記載方針の相違）  
 緑字：記載表現、設備名称の相違（実質的な相違なし）

女川原子力発電所 2号炉	泊発電所 3号炉	相違理由
<p>6.まとめ</p> <p>R C I C の運転方法として、1F-3 と同様にテストラインを使用し注水流量を制御するような運転方法とした場合、S／P の温度成層化による原子炉格納容器の圧力上昇が生じる可能性がある。しかしながら、R C I C が間欠運転（L2 と L8 の自動制御）の場合、R C I C が停止している間に S R V が動作することにより温度成層化の発生の可能性は小さくなる。また、R C I C の注水流量調整のみによる制御とした場合においても、R C I C で消費される駆動蒸気量の減少により S R V の動作回数が増え、温度成層化の発生可能性は小さくなる可能性がある。</p> <p>一方、代替低圧注水系を用いた原子炉注水時において成層化の発生可能性はあるものの、格納容器圧力に対する影響は小さいものと考えられる。</p>		

## 泊発電所3号炉 有効性評価 比較表

赤字：設備、運用又は体制の相違（設計方針の相違）  
 青字：記載箇所又は記載内容の相違（記載方針の相違）  
 緑字：記載表現、設備名称の相違（実質的な相違なし）

付録3 重大事故等対策の有効性評価に係るシビアアクシデント解析コードについて（第3部 MAAP コード）

女川原子力発電所2号炉								泊発電所3号炉	相違理由
表1 1F-3, 2F-2, 4のプラントの状態と運転 (RCIC 運転時の初期 (3/12 0:00迄))									
	原子炉圧力 (図12, 13, 14 参照)	RCIC 運転	RCIC 排気ラ インからの 蒸気量*1	SRV の動作	SRV 排気管ク エンチャ からの蒸 気量*1	S/P 水温計の 上部と下部の 温度差	解析結果との 差異(S/C圧力)		
1F-3	高圧維持 (7MPa 程度)	連続運転 (16:03～)*2	大	逃がし弁機 能（推定）	小*3	—	3/11 20時頃 から発生		
2F-2	原子炉減圧 (7MPa→1MPa 程度)	間欠運転 (15:43～)	中	減圧のため に適宜手動 開操作実施	大	大きな差異なし	—		
2F-4	原子炉減圧 (7MPa→1MPa 程度)	間欠及び連 続運転 (15:54～)	中	減圧のため に適宜手動 開操作実施	大	大きな差異なし	大きな 差異なし		

\*1 原子炉圧力や RCIC, SRV の動作状況から推定

\*2 RCIC が自動停止に至らないよう原子炉注水ライン及びテストラインの両ラインを通水するライン構成とした上で、原子炉水位が緩やかな変化となるように流量を設定

\*3 原子炉圧力の推移及び RCIC の連続運転により SRV の動作や排気される蒸気量は少なかったと推定

## 泊発電所3号炉 有効性評価 比較表

赤字：設備、運用又は体制の相違（設計方針の相違）  
 青字：記載箇所又は記載内容の相違（記載方針の相違）  
 緑字：記載表現、設備名称の相違（実質的な相違なし）

付録3 重大事故等対策の有効性評価に係るシビアアクシデント解析コードについて（第3部 MAAP コード）

女川原子力発電所2号炉							泊発電所3号炉	相違理由
表2 1F-3, 2F-2, 4 のプラントの状態と運転 (RCIC 運転時の後半 (3/12 0:00~))								
	原子炉圧力 (図 12, 13, 14 参照)	RCIC 運転	RCIC 排気ラ インからの 蒸気量*1	SRV の動作	SRV 排気管ク エンチャ からの蒸 気量*1	S/P 水温計の 上部と下部の 温度差	解析結果との 差異(S/C圧力)	
1F-3	—*2							
2F-2	低圧維持 1MPa 以下	RCIC が隔離 するまで間 欠運転	小	原子炉の低 圧維持のた め開	小*3	3/12 2 時頃から 温度差発生*4	—	
2F-4	低圧維持 1MPa 以下	RCIC が隔 離	無	原子炉の低 圧維持のた め開	小*3	3/12 1 時頃から 温度差発生*4	大きな 差異なし	

\*1 原子炉圧力や RCIC, SRV の動作状況から推定

\*2 3/12 12:00 以降については S/C スプレイや HPCI への切替えを実施しているため、対象外とする

\*3 原子炉圧力が低いことから SRV 排気管クエンチャからの蒸気量は少量であったと推定

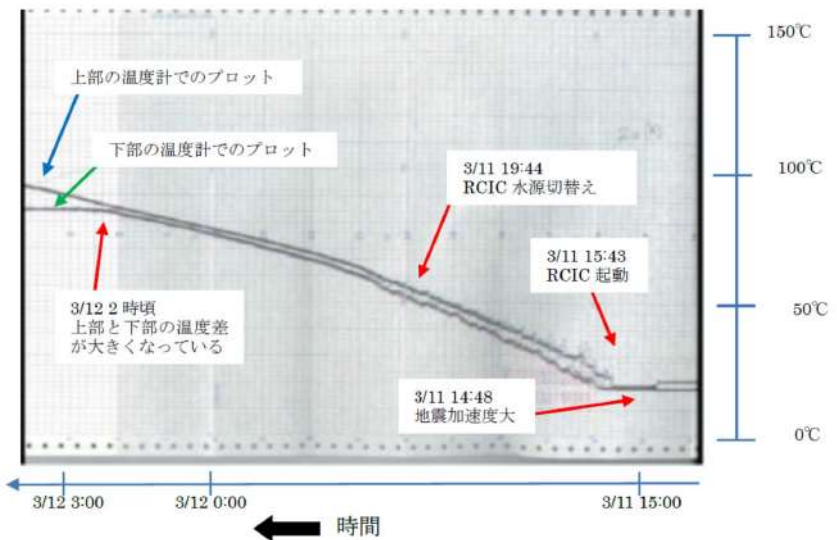
\*4 2F-4 は RCIC 隔離とほぼ同じ時期に S/P 上部・下部の温度差が発生し始めているが、2F-2 は RCIC 隔離より前 (2~3 時間前) に S/P 上部・下部の温度差が発生している。これは各々のプラントの原子炉減圧過程が影響しているものと推定され (図 13, 図 14), 2F-2 では比較的早い段階で減圧が開始され、温度差が発生する時点では原子炉圧力は 0.5MPa 程度となっている。一方、2F-4 は RCIC 隔離と同じ時期に原子炉圧力が 0.5MPa 程度となっており、この程度の原子力圧力下では SRV からの蒸気量が少なく、S/P の流況を変化させる程度の攪拌力は得られないものと推定される

泊発電所 3号炉 有効性評価 比較表

赤字：設備、運用又は体制の相違（設計方針の相違）  
 青字：記載箇所又は記載内容の相違（記載方針の相違）  
 緑字：記載表現、設備名称の相違（実質的な相違なし）

付録3 重大事故等対策の有効性評価に係るシビアアクシデント解析コードについて（第3部 MAAP コード）

女川原子力発電所 2号炉	泊発電所 3号炉	相違理由
<p>図1 福島第一原子力発電所 3号機の格納容器圧力の実測値とMAAP評価結果※1</p>		



泊発電所 3号炉 有効性評価 比較表

赤字：設備、運用又は体制の相違（設計方針の相違）  
 青字：記載箇所又は記載内容の相違（記載方針の相違）  
 緑字：記載表現、設備名称の相違（実質的な相違なし）

付録3 重大事故等対策の有効性評価に係るシビアアクシデント解析コードについて（第3部 MAAP コード）

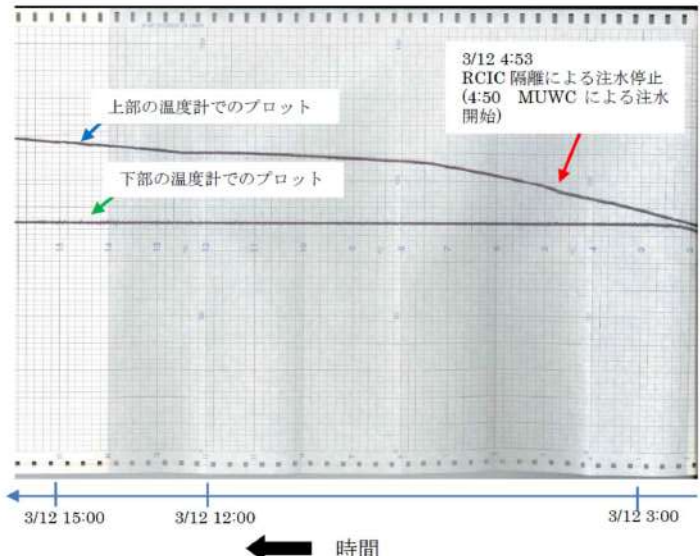
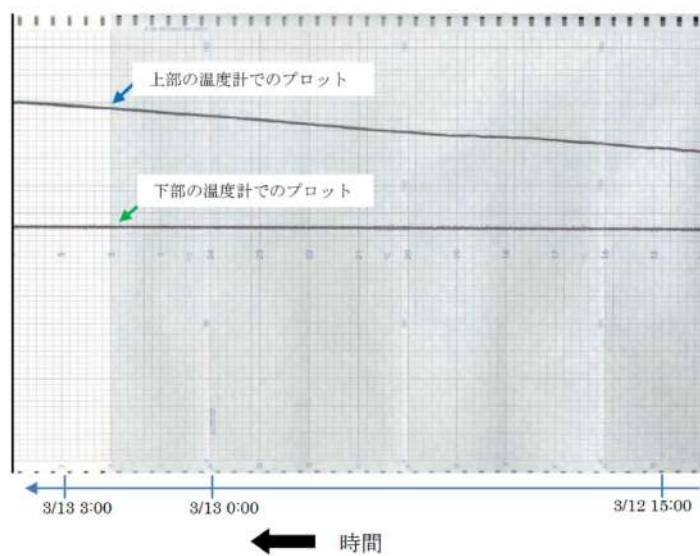
女川原子力発電所2号炉	泊発電所3号炉	相違理由
		
		

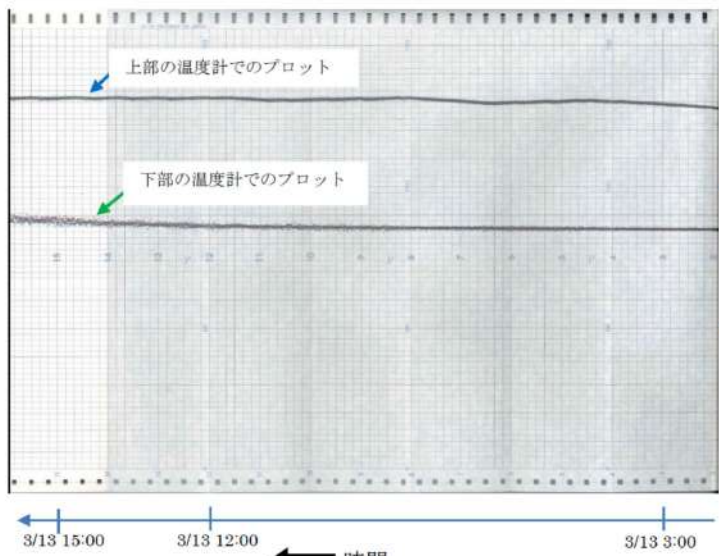
図3 福島第二原子力発電所2号機のS／P温度計A系 (2/6)

図4 福島第二原子力発電所2号機のS／P温度計A系 (3/6)

泊発電所 3号炉 有効性評価 比較表

赤字：設備、運用又は体制の相違（設計方針の相違）  
 青字：記載箇所又は記載内容の相違（記載方針の相違）  
 緑字：記載表現、設備名称の相違（実質的な相違なし）

付録3 重大事故等対策の有効性評価に係るシビアアクシデント解析コードについて（第3部 MAAP コード）

女川原子力発電所 2号炉	泊発電所 3号炉	相違理由
		
<p>図5 福島第二原子力発電所 2号機のS／P 温度計A系 (4/6)</p> <p>図6 福島第二原子力発電所 2号機のS／P 温度計A系 (5/6)</p>		

## 泊発電所 3号炉 有効性評価 比較表

赤字：設備、運用又は体制の相違（設計方針の相違）  
 青字：記載箇所又は記載内容の相違（記載方針の相違）  
 緑字：記載表現、設備名称の相違（実質的な相違なし）

付録3 重大事故等対策の有効性評価に係るシビアアクシデント解析コードについて（第3部 MAAP コード）

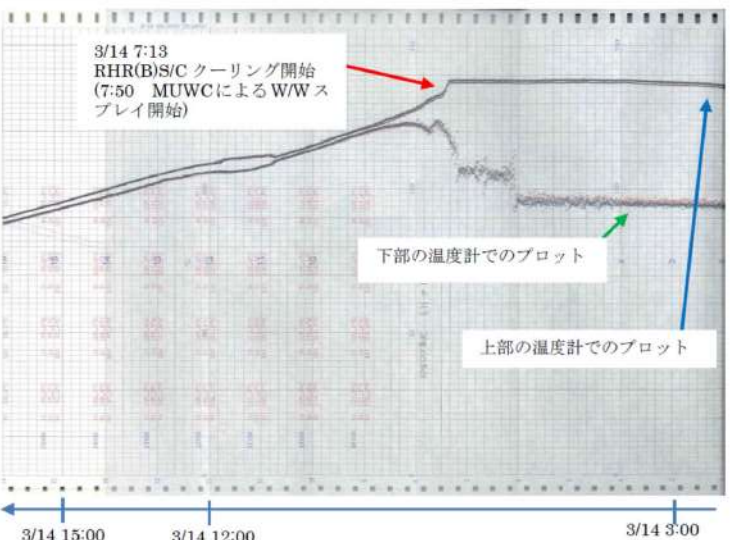
女川原子力発電所 2号炉	泊発電所 3号炉	相違理由
 <p>3/14 7:13 RHR(B)S/C クーリング開始 (7:50 MUWCによるW/Wスプレイ開始)</p> <p>下部の温度計でのプロット</p> <p>上部の温度計でのプロット</p> <p>時間</p>	<p>150°C</p> <p>100°C</p> <p>50°C</p> <p>0°C</p>	

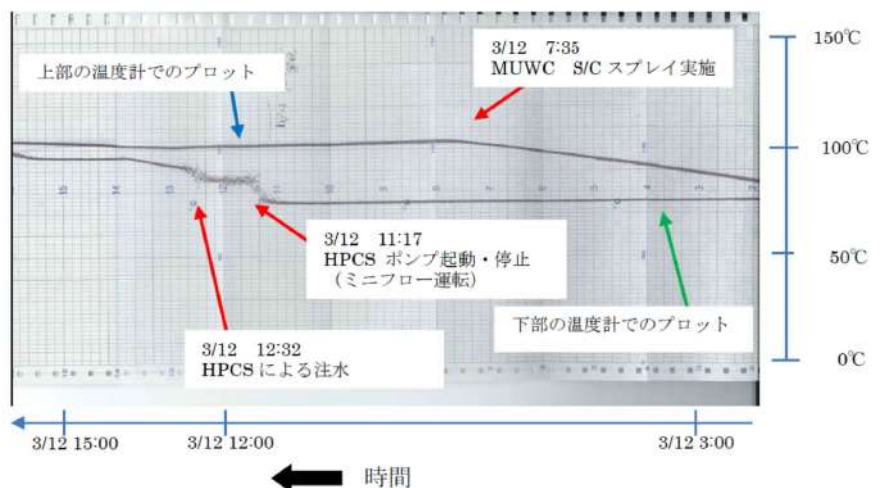
図7 福島第二原子力発電所 2号機のS／P 温度計A系 (6/6)

泊発電所 3号炉 有効性評価 比較表

赤字：設備、運用又は体制の相違（設計方針の相違）  
 青字：記載箇所又は記載内容の相違（記載方針の相違）  
 緑字：記載表現、設備名称の相違（実質的な相違なし）

付録3 重大事故等対策の有効性評価に係るシビアアクシデント解析コードについて（第3部 MAAP コード）

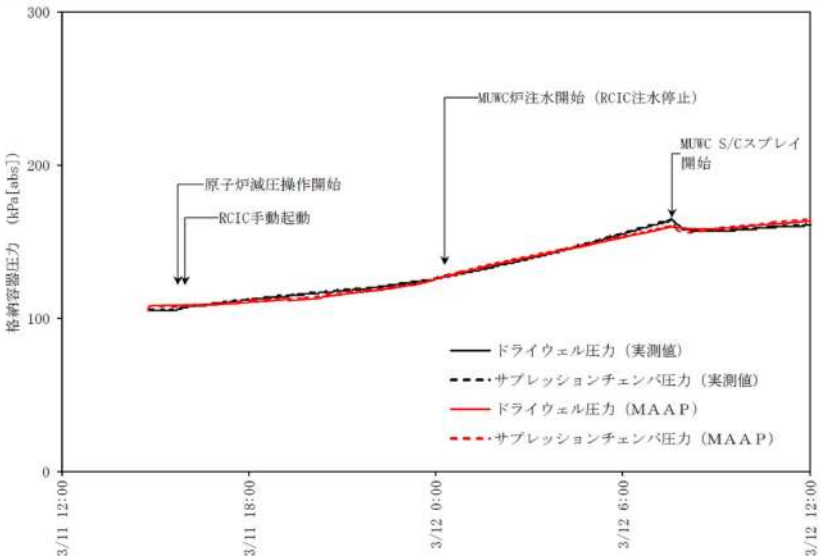
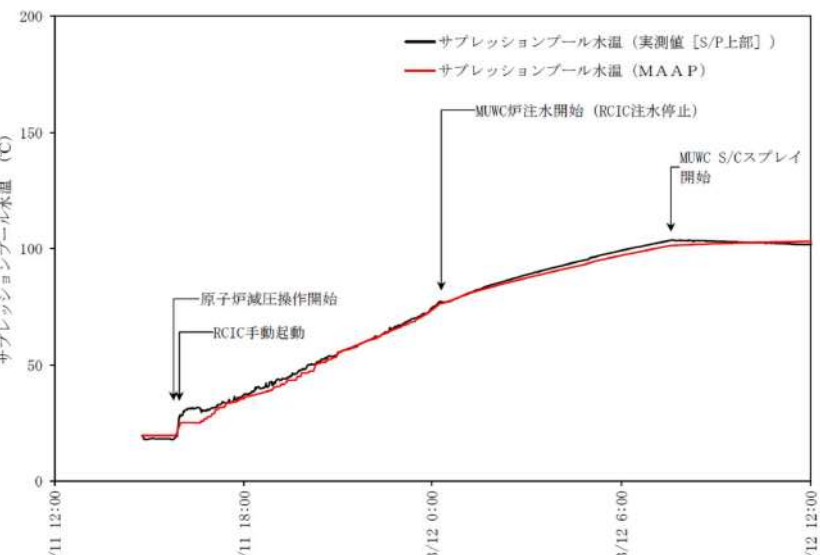
女川原子力発電所 2号炉	泊発電所 3号炉	相違理由
<p>図8 福島第二原子力発電所4号機のS／P温度計A系 (1/2)</p>		



泊発電所 3号炉 有効性評価 比較表

赤字：設備、運用又は体制の相違（設計方針の相違）  
 青字：記載箇所又は記載内容の相違（記載方針の相違）  
 緑字：記載表現、設備名称の相違（実質的な相違なし）

付録3 重大事故等対策の有効性評価に係るシビアアクシデント解析コードについて（第3部 MAAP コード）

女川原子力発電所 2号炉	泊発電所 3号炉	相違理由
		
<p>図 10 福島第二原子力発電所 4号機の格納容器圧力変化</p> 		
<p>図 11 福島第二原子力発電所 4号機のS/P水温変化</p>		

## 泊発電所 3号炉 有効性評価 比較表

赤字：設備、運用又は体制の相違（設計方針の相違）  
 青字：記載箇所又は記載内容の相違（記載方針の相違）  
 緑字：記載表現、設備名称の相違（実質的な相違なし）

付録3 重大事故等対策の有効性評価に係るシビアアクシデント解析コードについて（第3部 MAAP コード）

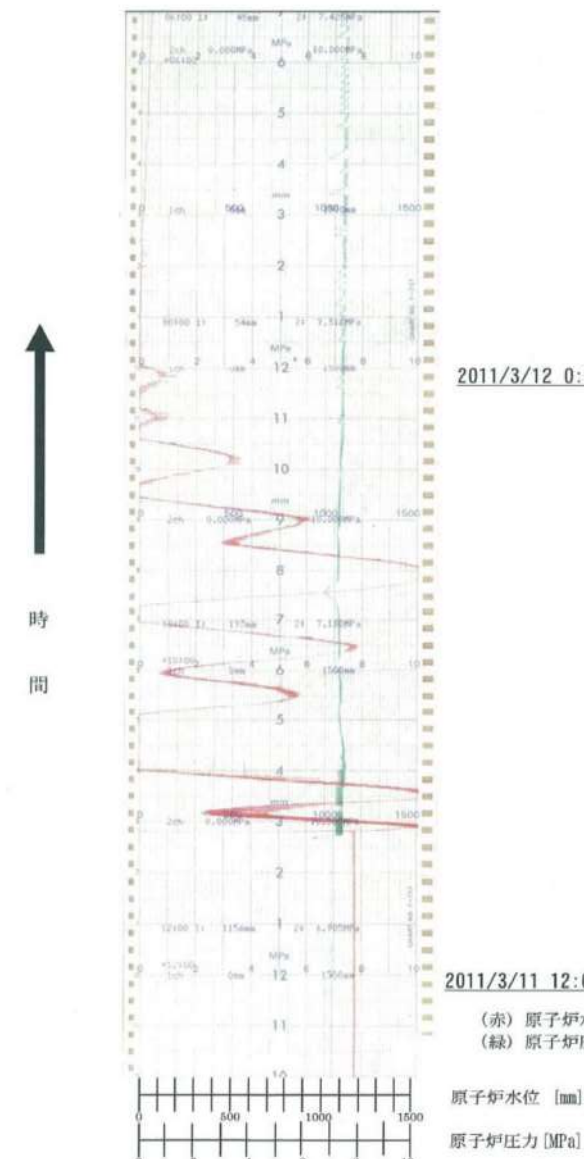
女川原子力発電所2号炉	泊発電所3号炉	相違理由
 <p>2011/3/12 0:00</p> <p>2011/3/11 12:00</p> <p>(赤) 原子炉水位      (緑) 原子炉圧力</p> <p>原子炉水位 [mm]      原子炉圧力 [MPa]</p>		

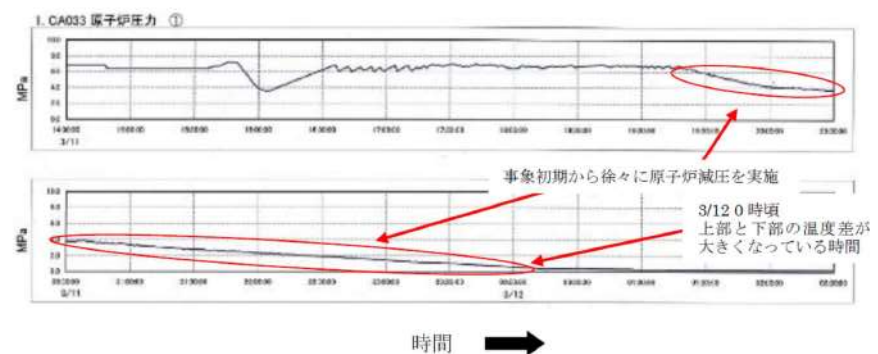
図 12 福島第一原子力発電所 3号機の原子炉水位と原子炉圧力の変化※3

泊発電所 3号炉 有効性評価 比較表

赤字：設備、運用又は体制の相違（設計方針の相違）  
 青字：記載箇所又は記載内容の相違（記載方針の相違）  
 緑字：記載表現、設備名称の相違（実質的な相違なし）

付録3 重大事故等対策の有効性評価に係るシビアアクシデント解析コードについて（第3部 MAAP コード）

女川原子力発電所 2号炉	泊発電所 3号炉	相違理由
<p>1. CA033 原子炉圧力 (上部域) A ①</p> <p>事象初期から徐々に原子炉減圧を実施</p> <p>3/12 2時頃 上部と下部の温度差が大きくなっている時間</p> <p>時間 →</p> <p>図 13 福島第二原子力発電所 2号機の原子炉圧力の変化（プロセス計算機データ）※3</p>		



## 泊発電所 3号炉 有効性評価 比較表

付録3 重大事故等対策の有効性評価に係るシビアアクシデント解析コードについて（第3部 MAAP コード）

赤字：設備、運用又は体制の相違（設計方針の相違）  
 青字：記載箇所又は記載内容の相違（記載方針の相違）  
 緑字：記載表現、設備名称の相違（実質的な相違なし）

女川原子力発電所 2号炉	泊発電所 3号炉	相違理由
 図 15 圧力抑制プール温度計各検出器（熱電対）等の概要図（例：2F-4）		

※1：福島原子力事故調査報告書（平成 24 年 6 月 20 日）

8. 4福島第一3号機の対応とプラントの動き

[http://www.tepco.co.jp/cc/press/2012/1205628\\_1834.html](http://www.tepco.co.jp/cc/press/2012/1205628_1834.html)

※2：東京電力福島原子力発電所における事故調査・検証委員会最終報告

（平成 24 年 7 月 23 日） II. 5福島第二原子力発電所における事故対処

<http://www.cas.go.jp/jp/seisaku/icanps/>

※3：福島第一・第二原子力発電所の状況

<http://www.tepco.co.jp/nu/fukushima-np/index-j.html>

本資料のうち、枠囲みの内容は商業機密に属しますので公開できません。

## 泊発電所3号炉 有効性評価 比較表

付録3 重大事故等対策の有効性評価に係るシビアアクシデント解析コードについて（第3部 MAAPコード）

赤字：設備、運用又は体制の相違（設計方針の相違）  
 青字：記載箇所又は記載内容の相違（記載方針の相違）  
 緑字：記載表現、設備名称の相違（実質的な相違なし）

女川原子力発電所2号炉	泊発電所3号炉	相違理由
<p>別添2 実験知見を踏まえたMAAPコードの有効性評価への適用性について</p> <p>1. はじめに</p> <p>MAAPコードのモデルは国内外で実施されたシビアアクシデントに関する実験に対するベンチマーク解析によって妥当性が確認されているが、MAAPコードのBWRへの適用性を確認するため、BWR特有の現象に関連した実験について調査し、得られた知見を整理する。</p> <p>BWRの炉心は以下の特徴を有している。</p> <ul style="list-style-type: none"> <li>・ 燃料チャンネルや十字型制御棒を含む構成である。</li> <li>・ 制御棒駆動機構の存在により炉心下部構造が複雑である。</li> <li>・ 制御棒の制御材としてB<sub>4</sub>Cが採用されている。</li> </ul> <p>これらの特徴がシビアアクシデント時の事象進展に及ぼす影響について調べるために、これまでに実施されたシビアアクシデント関連の実験の中で、炉心損傷過程に関わるものに着目し、BWR体系を模擬した実験やB<sub>4</sub>C制御棒を用いた実験について概要をまとめるとともに、MAAPコードの有効性評価への適用性を確認する。</p>		※BWR固有の実験知見

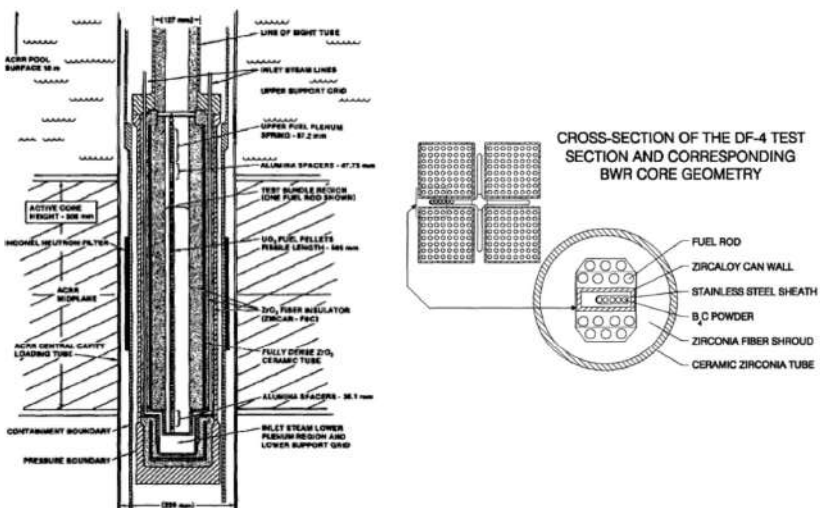
## 泊発電所3号炉 有効性評価 比較表

付録3 重大事故等対策の有効性評価に係るシビアアクシデント解析コードについて（第3部 MAAP コード）

赤字：設備、運用又は体制の相違（設計方針の相違）  
 青字：記載箇所又は記載内容の相違（記載方針の相違）  
 緑字：記載表現、設備名称の相違（実質的な相違なし）

女川原子力発電所2号炉	泊発電所3号炉	相違理由
<p>2. BWR関連実験</p> <p>BWRのB<sub>4</sub>C制御棒ブレードや燃料チャンネルを模擬した体系による実験としては、米国サンディア研究所(SNL)のDF-4実験とXR実験やドイツのカールスルーエ原子力研究センター(KIT,旧FZK)のCORA実験等の炉心溶融挙動実験がある。この中でXR実験ではBWR炉心の下部構造を模擬した体系での実験が行われている。</p> <p>また、B<sub>4</sub>Cペレット制御棒を用いた試験としては、KIT(旧FZK)のQUENCH-07/09実験やフランス放射線防護・原子力安全研究所(IRSN)のPHEBUS-FPT3実験、BECARRE実験がある。これらの実験はEPRで採用されるB<sub>4</sub>Cペレット制御棒を対象とした実験であるが、B<sub>4</sub>Cの影響評価の観点からここに含めることとする。</p> <p>以下で各実験について概要をまとめる。</p> <p>(1) DF-4実験</p> <p>DF-4実験は1986年にSNLのACRR(Annular Core Research Reactor)で実施されたBWRに対する最初の炉心損傷実験であり、炉心損傷過程についての情報全般を得ることを目的として行われた。</p> <p>①実験の内容</p> <p>DF-4実験装置とテストセクションの断面を別図2-1に示す。</p> <p>テストバンドルは長さ0.5mの燃料棒14本、B<sub>4</sub>C制御棒、チャンネルボックスで構成され、ACRRの円筒状のテスト部に設置された後に下部から供給される水蒸気雰囲気下で核加熱することにより炉心損傷を模擬する。</p> <p>②実験結果の概要</p> <p>制御棒はB<sub>4</sub>Cとステンレスの共晶反応によりステンレスの融点以下で早期に溶融した。燃料棒に関しては、温度上昇に伴いほとんどの燃料被覆管は融点を超えた温度で溶融し下方に流下したが一部は酸化されて溶融せずに炉心に残った。また、燃料はほとんどが炉心に残った。制御棒とチャンネルボックス壁の90%が溶融して下方にリロケーションした。</p>		

付録3 重大事故等対策の有効性評価に係るシビアアクシデント解析コードについて（第3部 MAAP コード）

女川原子力発電所2号炉	泊発電所3号炉	相違理由
		

別図 2-1 DF-4 実験装置とテストセクション断面の概要

## (2) XR 実験

XR 実験は SNL の Ex-Reactor (XR) プログラムにおいて実施された炉心溶融実験で XR1-1, -2 と XR2-1 の 3 つの実験が行われた。XR1-1, -2 は燃料棒を含まないシンプルチャンネル実験であり、XR2-1 は燃料棒も含んだフルジオメトリ実験である。これらの実験は BWR の炉心下部構造を模擬した体系で炉心上部が溶融した場合の炉心下部の損傷進展を調べることを目的として行われた。ここでは XR2-1 実験について概要をまとめる。

### ① 実験の内容

XR2-1 実験装置と炉心模擬部断面の概要を別図 2-2-1 に示す。

テストセクションは、長さ 0.5m の燃料棒 64 本、B<sub>4</sub>C 制御棒、チャンネル壁で構成される炉心模擬部とその下部に配置された BWR 炉心下部構造模擬部とで構成されている。

実験は、Ar ガスで不活性化された状態でテストセクション上部から誘導加熱により生成された模擬溶融物 (B<sub>4</sub>C, ステンレス, Zr) を流入させることにより炉心上部が溶融した場合の溶融物の下部へのリロケーションとその後の炉心下部の損傷進展を模擬している。

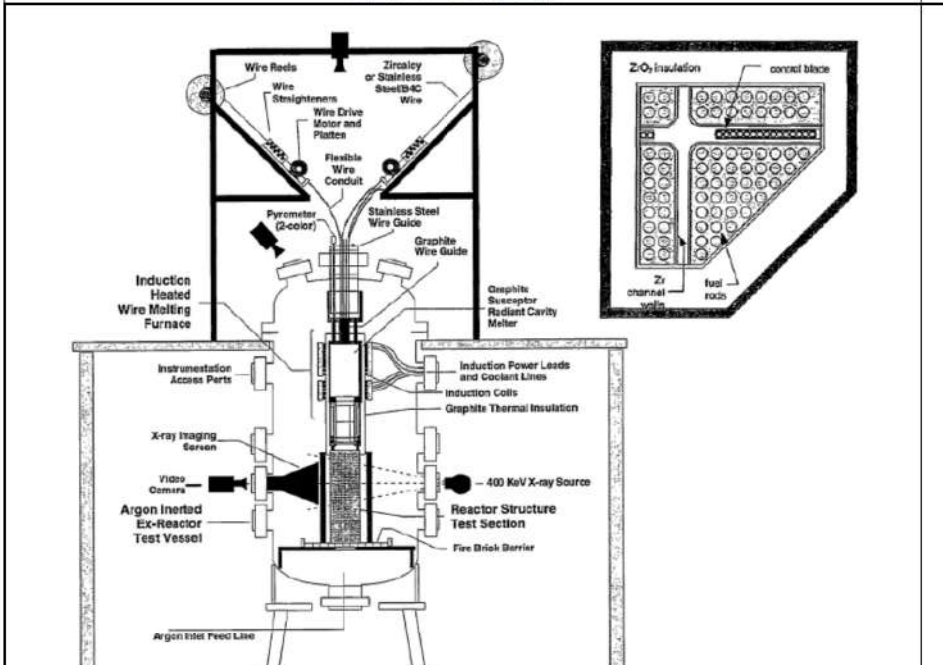
### ② 実験結果の概要

制御棒成分との共晶反応によりチャンネル壁が損傷し、炉心溶融早期に燃料やバイパス部の形状が崩壊した。炉心下部構造には大規模な破損は発生せず、また、小規模なものを除いては流路閉塞も発生しなかったので溶融物（流入溶融物と一部テストセクションの溶融物）の 70%以上は構造物の隙間の流出経路（別図 2-2-2）を通って継続的に下部プレナムに落下した。

## 泊発電所 3号炉 有効性評価 比較表

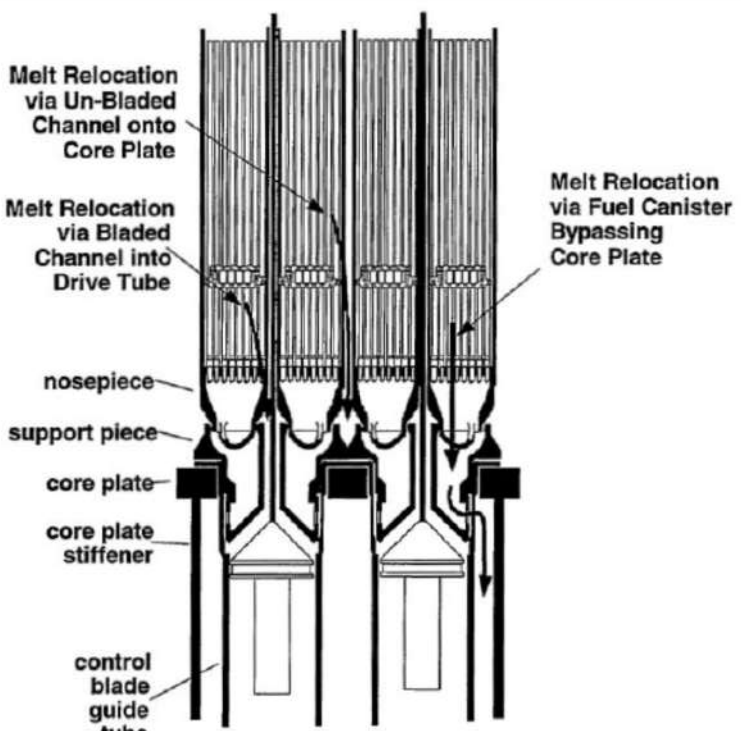
赤字：設備、運用又は体制の相違（設計方針の相違）  
 青字：記載箇所又は記載内容の相違（記載方針の相違）  
 緑字：記載表現、設備名称の相違（実質的な相違なし）

付録3 重大事故等対策の有効性評価に係るシビアアクシデント解析コードについて（第3部 MAAP コード）

女川原子力発電所 2号炉	泊発電所 3号炉	相違理由
		

別図 2-2-1 XR2-1 実験装置と炉心模擬部断面の概要

付録3 重大事故等対策の有効性評価に係るシビアアクシデント解析コードについて（第3部 MAAP コード）

女川原子力発電所 2号炉	泊発電所 3号炉	相違理由
 別図 2-2-2 炉心溶融物の流出経路の概要		

## (3) CORA 実験

CORA 実験はシビアアクシデント条件下での燃料集合体の損傷・溶融進展を把握するために国際的な協力の枠組みの中で KIT にて実施された。19 の実験のうちの 6 つの実験が B<sub>4</sub>C 制御棒を用いて BWR の炉心を模擬したテストバンドルを用いて実施された。

## ① 実験の内容

CORA 実験装置と BWR 模擬実験のベースとなる CORA-16 実験のテストバンドルの概要を別図 2-3 に示す。テストバンドル下部には水で満たされたクエンチシリンダーが設置されており、このシリンダーの上部挿入によりテストバンドルを冠水させることができる。

実験では燃料棒を内蔵ヒーターによって電気加熱するとともに下部から水蒸気とアルゴンガスの混合物を注入することにより炉心の溶融進展挙動を模擬する。

他の 5 つの実験は CORA-16 実験をベースケースとしてパラメータを変化させたもので、クエンチさせたケース (CORA-17)，バンドルサイズを大きくしたケース (CORA-18)，事前にジルカロイ表面を酸

付録3 重大事故等対策の有効性評価に係るシビアアクシデント解析コードについて（第3部 MAAP コード）

女川原子力発電所2号炉	泊発電所3号炉	相違理由
<p>化させておいたケース (CORA-28), スローヒートアップケース (CORA-31), スローヒートアップで水蒸気量を減少させたケース (CORA-33) である。</p> <p>② 実験結果の概要</p> <p>CORA-16 実験では、最初に加熱領域の頂部で <math>B_4C</math> と制御棒ブレードのステンレスの共晶反応によりステンレスの融点以下で制御棒ブレードが溶融した。この溶融物とチャンネルボックスとの共晶反応によりジルカロイが液化し、引き続いて溶融したジルカロイが <math>UO_2</math> 燃料を液化するとの事象進展が見られた。テストバンドルの上半分ではチャンネルボックスが残っておらず、これらの溶融物が下部でリロケーションし径方向に広がって冷却材流路をブロックした。なお、テストバンドル下部では制御棒は焼結状態で残った。この事象進展プロセスは他のケースでも基本的に同様であった。CORA-17 実験ではクエンチ時に水素ガスが発生しているが、これはクエンチ時に表面の酸化された Zr が剥がれ落ちることによって、未酸化の Zr が水蒸気と反応したためと考えられる。</p> <p>CORA-18 実験ではバンドルサイズの影響は小さいことが示された。CORA-28 実験では酸化膜が共晶反応を抑制すること、CORA-31 実験では温度上昇が遅いこととその間の酸化膜の形成によりともに事象進展が抑制された。CORA-33 実験では CORA-31 実験よりも温度や水素ガス発生量が小さい結果が得られた。</p> <p>別図 2-3 CORA 実験装置とテストセクション (CORA-16 実験) 断面の概要</p>		

## 泊発電所3号炉 有効性評価 比較表

付録3 重大事故等対策の有効性評価に係るシビアアクシデント解析コードについて（第3部 MAAP コード）

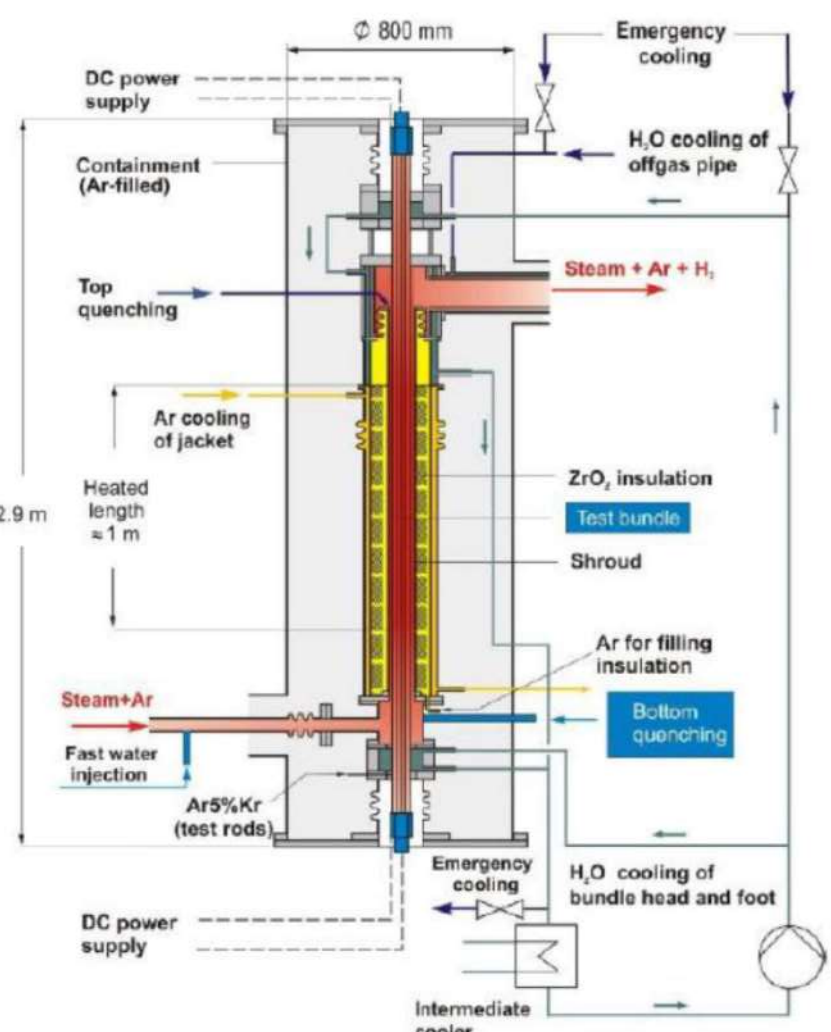
赤字：設備、運用又は体制の相違（設計方針の相違）  
 青字：記載箇所又は記載内容の相違（記載方針の相違）  
 緑字：記載表現、設備名称の相違（実質的な相違なし）

女川原子力発電所2号炉	泊発電所3号炉	相違理由
<p>(4) QUENCH-07/-09 実験</p> <p>QUENCH 実験は KIT (旧 FZK) によって燃料棒再冠水時の水素ガス発生挙動を調べるために実施された一連の実験である。ここでは B<sub>4</sub>C 制御棒が用いられた QUENCH-07/-09 実験についてまとめる。</p> <p>① 実験の内容</p> <p>QUENCH-07/-09 実験装置の概要とテストセクションの断面図を別図 2-4-1, 別図 2-4-2 に示す。テストセクションは燃料棒 20 本と中央に位置する 1 本の B<sub>4</sub>C 制御棒により構成される。</p> <p>実験では事前に燃料棒を～2,000K に昇温した後に底部から水又は水蒸気を注入して再冠水状態を模擬している。なお、QUENCH-09 実験は再冠水前に 11 分間水蒸気流量を減少させて水蒸気枯渇状態を模擬している。</p> <p>② 実験結果の概要</p> <p>B<sub>4</sub>C を用いた実験ではステンレスやジルカロイとの共晶反応によりジルカロイの融点より低い温度で B/C/Zr を含んだ溶融物が生成され、B<sub>4</sub>C を用いない実験に比べて溶融が促進すること、及び、溶融物の酸化に起因すると考えられる H<sub>2</sub>, CO, CO<sub>2</sub>, CH<sub>4</sub> の生成が確認された。B<sub>4</sub>C 酸化割合は QUENCH-07 実験で 20%, QUENCH-09 実験で 50% であり、B<sub>4</sub>C 酸化が H<sub>2</sub> 発生量全体に寄与した割合は各々 2.4%, 2.2% であった。また、再冠水時の H<sub>2</sub> 発生量は各々 0.12kg, 0.4kg であった。両実験での H<sub>2</sub> 発生量の差は、酸化した燃料棒が水蒸気枯渇状態に置かれると燃料被覆管表面の ZrO<sub>2</sub> 相が減少して酸素ガスを取り込みやすい状態となったため再冠水時に H<sub>2</sub> 発生量が増加したと考えられている。</p>		

## 泊発電所 3号炉 有効性評価 比較表

赤字：設備、運用又は体制の相違（設計方針の相違）  
 青字：記載箇所又は記載内容の相違（記載方針の相違）  
 緑字：記載表現、設備名称の相違（実質的な相違なし）

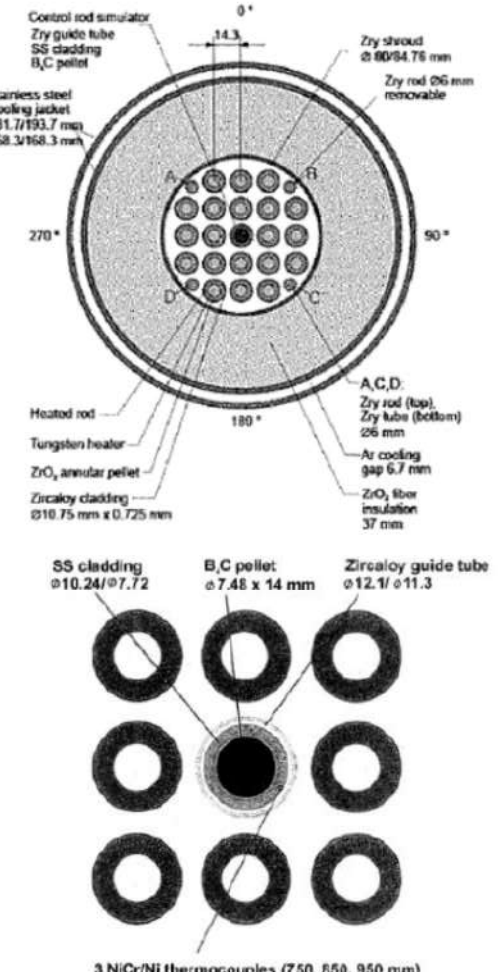
付録3 重大事故等対策の有効性評価に係るシビアアクシデント解析コードについて（第3部 MAAP コード）

女川原子力発電所 2号炉	泊発電所 3号炉	相違理由
 別図 2-4-1 QUENCH 実験装置の概要		

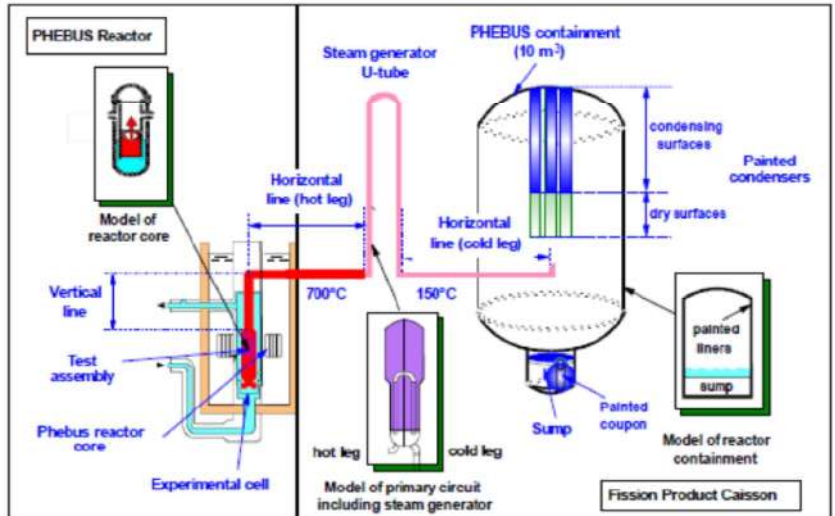
## 泊発電所 3号炉 有効性評価 比較表

赤字：設備、運用又は体制の相違（設計方針の相違）  
 青字：記載箇所又は記載内容の相違（記載方針の相違）  
 緑字：記載表現、設備名称の相違（実質的な相違なし）

付録3 重大事故等対策の有効性評価に係るシビアアクシデント解析コードについて（第3部 MAAP コード）

女川原子力発電所 2号炉	泊発電所 3号炉	相違理由
 <p>別図 2-4-2 QUENCH-07/-09 実験のテストセクション断面の概要</p>		

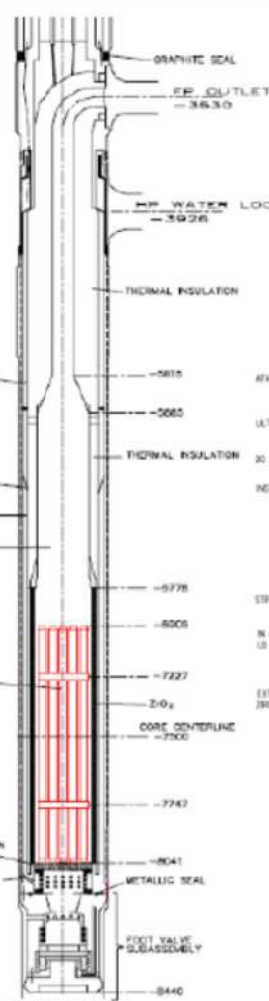
付録3 重大事故等対策の有効性評価に係るシビアアクシデント解析コードについて（第3部 MAAP コード）

女川原子力発電所2号炉	泊発電所3号炉	相違理由
<p>(5) PHEBUS-FPT3 実験</p> <p>PHEBUS-FPT3 実験は IRSN, フランス電力及び EU を中核とする国際協力プログラムである PHEBUS-FP 計画の中でシビアアクシデント時の燃料溶融、F P の放出、移行挙動を調べる目的で実施された 5 つの実験の中の 1 つであり、B<sub>4</sub>C 制御棒を用いて行われた。</p> <p>① 実験の内容</p> <p>PHEBUS-FP 実験設備全体の概要を別図 2-5-1 に示す。また、実験用セルの概要とテストセクション断面図を別図 2-5-2 及び別図 2-5-3 に示す。テストセクションは燃料棒 20 本と中央に位置する 1 本の制御棒で構成される。FPT3 では B<sub>4</sub>C 制御棒が用いられた。</p> <p>実験では実験用セル内に設置したテストセクションを PHEBUS 炉で核加熱し、放出された放射性物質を蒸気発生器や格納容器で捕集する。</p> <p>② 実験結果の概要</p> <p>FPT3 実験では他の Ag-In-Cd 制御棒を用いた実験に比べて格納容器中における有機よう素割合が大幅に増加することが確認された。格納容器内のガス状よう素中の有機よう素の割合は燃料損傷時期が約 5 % で、その後最大 30 % となった後も長期にわたって約 10 ~ 20 % に保たれた。</p>  <p>別図 2-5-1 PHEBUS-FP 実験設備の概要</p>		

## 泊発電所 3号炉 有効性評価 比較表

付録3 重大事故等対策の有効性評価に係るシビアアクシデント解析コードについて（第3部 MAAP コード）

赤字：設備、運用又は体制の相違（設計方針の相違）  
 青字：記載箇所又は記載内容の相違（記載方針の相違）  
 緑字：記載表現、設備名称の相違（実質的な相違なし）

女川原子力発電所2号炉	泊発電所3号炉	相違理由
		

別図 2-5-2 PHEBUS-FP の実験用セルの概要

## 泊発電所 3号炉 有効性評価 比較表

赤字：設備、運用又は体制の相違（設計方針の相違）  
 青字：記載箇所又は記載内容の相違（記載方針の相違）  
 緑字：記載表現、設備名称の相違（実質的な相違なし）

付録3 重大事故等対策の有効性評価に係るシピアアクシデント解析コードについて（第3部 MAAP コード）

女川原子力発電所 2号炉	泊発電所 3号炉	相違理由

別図 2-5-3 PHEBUS-FP のテストセクション断面の概要

## (6) BECARRE 実験

BECARRE 実験は IRSN の国際ソースターム計画 (ISTP) の中で、シピアアクシデント時の  $B_4C$  制御棒の崩壊過程や PHEBUS-FPT3 実験の課題であった  $B_4C$  の酸化による有機よう素の生成挙動を調べることを目的として行われた。

## ① 実験の内容

BECARRE 実験装置の概要とテストセクションの断面を別図 2-6 に示す。

テストセクションは長さ 0.6m の  $B_4C$  制御棒のみで構成されており、実験では下部から水蒸気を供給する条件下でテストセクションを加熱し制御棒の崩壊過程を模擬する。

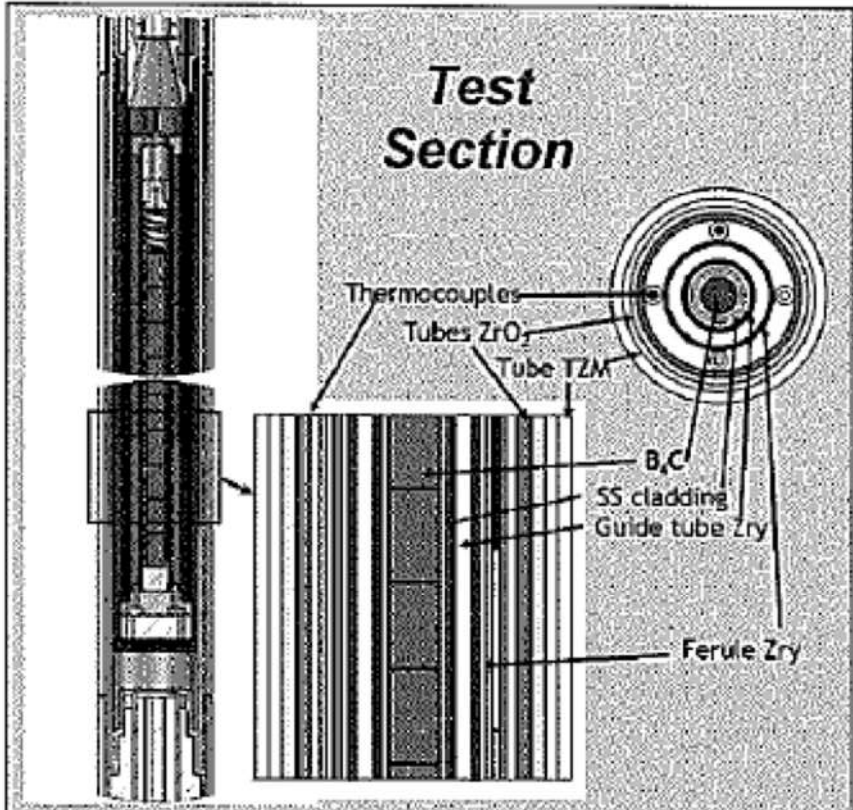
## ② 実験結果の概要

$B_4C$  の酸化により  $CO_2$  や  $CO$  の発生量は増加した。これにより水蒸気中の酸素ガスが消費された結果、ステンレスの酸化による  $H_2$  発生量は減少した。また、PHEBUS-FPT3 で観測された  $B_4C$  の酸化による  $CH_4$  の生成はほとんど観測されなかった。

その後の原因検討により、BECARRE 実験のような低圧条件 (~2 bar)においては  $B_4C$  の酸化によって  $CH_4$  は生成しにくく、高圧条件 (100bar 以上) で  $CH_4$  が生成しやすくなることが確認されている。

付録3 重大事故等対策の有効性評価に係るシビアアクシデント解析コードについて（第3部 MAAP コード）

赤字：設備、運用又は体制の相違（設計方針の相違）  
 青字：記載箇所又は記載内容の相違（記載方針の相違）  
 緑字：記載表現、設備名称の相違（実質的な相違なし）

女川原子力発電所 2号炉	泊発電所 3号炉	相違理由
 <p>別図 2-6 BECARRE 実験装置の概要とテストセクションの断面</p>		

## 泊発電所 3号炉 有効性評価 比較表

付録3 重大事故等対策の有効性評価に係るシビアアクシデント解析コードについて（第3部 MAAP コード）

赤字：設備、運用又は体制の相違（設計方針の相違）  
 青字：記載箇所又は記載内容の相違（記載方針の相違）  
 緑字：記載表現、設備名称の相違（実質的な相違なし）

女川原子力発電所 2号炉	泊発電所 3号炉	相違理由
<p>3. 得られた知見のまとめ</p> <p>BWR特有の現象に関連したシビアアクシデント関連実験として、BWR体系を模擬した実験やB<sub>4</sub>C制御棒を用いた実験について調査した結果から得られた知見を以下にまとめる。</p> <p>1) 炉心溶融は最初にB<sub>4</sub>Cとステンレスの共晶反応によりステンレスの融点以下で制御棒が溶融し、この溶融物とチャンネルボックスとの共晶反応によりジルカロイが液化し、引き続いて溶融したジルカロイがUO<sub>2</sub>燃料を液化するとの順で事象進展する。</p> <p>2) XR2-1実験では炉心下部構造には大規模な破損は発生せず、また、小規模なものを除いては流路閉塞も発生しなかったが、溶融物の流出経路については今後の福島第一原子力発電所事故の検証評価を待つ必要があると考えられる。</p> <p>3) B<sub>4</sub>CやB/C/Zrを含んだ溶融物の酸化によりH<sub>2</sub>、CO、CO<sub>2</sub>、CH<sub>4</sub>が生成される。</p> <p>4) CH<sub>4</sub>は低圧条件(～2bar)においては生成にくく、高圧条件(100bar以上)で生成しやすい。</p>		

## 泊発電所3号炉 有効性評価 比較表

付録3 重大事故等対策の有効性評価に係るシビアアクシデント解析コードについて（第3部 MAAPコード）

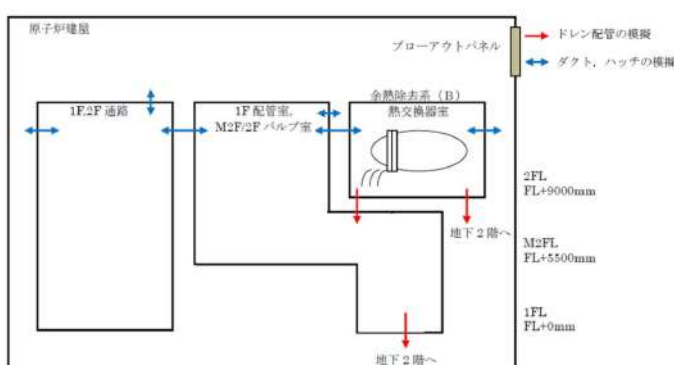
赤字：設備、運用又は体制の相違（設計方針の相違）  
 青字：記載箇所又は記載内容の相違（記載方針の相違）  
 緑字：記載表現、設備名称の相違（実質的な相違なし）

女川原子力発電所2号炉	泊発電所3号炉	相違理由
<p>4. 有効性評価への適用性</p> <p>1)に示した、制御材 (<math>B_4C</math>)との共晶反応によるステンレスやジルカロイの融点低下については、本文「3.3.6 溶融炉心の挙動モデル」において述べたとおり、MAAPコードではこれらの実験の知見に基づいてモデル化がなされている。また、CORA 実験におけるベンチマーク解析において再現性も確認されていることから、妥当性があると判断できる。</p> <p>2)における溶融物の流出経路については、MAAPコードでは、溶融炉心の下部ブレナムへの落下は、炉心支持板が破損するか、クラストが破損して溶融炉心を保持できなくなった場合に開始する。一方、燃料支持金具等の炉心下部構造物を介して溶融炉心が下部ブレナムへ移行する場合、これらの構造物との熱的な相互作用によって、その経路で一部が固化する等の現象が想定される。したがって、これらの現象を考慮していない現状の評価は、原子炉圧力容器下部ヘッドへの熱負荷を計算する上で、保守的な扱いと言える。</p> <p>3)及び4)における、制御材 (<math>B_4C</math>)の反応による非凝縮性ガスの発生については、QUENCH 実験ではEPR(PWR)における体系を模擬し、ステンレスの被覆管に入れられた <math>B_4C</math> が Zr 製の案内管中に収まる構造となっているのに対し、BWR実機の炉心では、制御棒は十字型をしており、<math>B_4C</math> に対するステンレスの割合が多い。このため、<math>B_4C</math> がステンレスとの共晶反応によって溶融して混ざり合い、水蒸気との接触による酸化反応が阻害され、非凝縮性ガスの発生量は更に少なくなると考えられる。また、BECARRE 実験において確認されているように、減圧されている場合には <math>B_4C</math> の酸化によって <math>CH_4</math> は生成しにくいと考えられ、PHEBUS-FPT3 実験で観測されたような有機よう素の大量発生は起きない可能性が高い。</p> <p>以上より、BWR特有の現象に関連した実験から得られた知見を踏まえた場合にも、評価結果に与える影響は小さく、有効性評価への適用性を有するものと考えられる。</p>		

## 泊発電所3号炉 有効性評価 比較表

赤字：設備、運用又は体制の相違（設計方針の相違）  
 青字：記載箇所又は記載内容の相違（記載方針の相違）  
 緑字：記載表現、設備名称の相違（実質的な相違なし）

付録3 重大事故等対策の有効性評価に係るシビアアクシデント解析コードについて（第3部 MAAP コード）

女川原子力発電所2号炉	泊発電所3号炉	相違理由
<p>別添3 審査会合における指摘事項の回答</p> <p>1. 指摘事項1（資料 No. MAAP-1）</p> <p>インターフェイスシステム LOCA の有効性評価において、原子炉建屋の作業環境評価で考慮している物理事象を説明するとともに、どのようにモデル化しているか説明すること。また、原子炉建屋のモデル化の格納容器温度・圧力の評価への影響を説明すること。</p> <p>【回答】</p> <p>(1) インターフェイスシステム LOCA の評価について</p> <p>インターフェイスシステム LOCA を想定して、原子炉建屋の作業環境評価を行う場合には、冷却材の流出とそれに伴う原子炉建屋内の圧力・温度の上昇、蒸気等の気体の建屋内の移動を評価する。この評価に対しては、例えば下記の方法が適用できる。</p> <ul style="list-style-type: none"> <li>対象とする原子炉建屋内の各作業区画をノードとしてモデル化</li> <li>漏えいを想定する区画に対して、冷却材の流出を考慮</li> <li>空調ダクト、ハッチ等によって他区画への開口部がある場合にはジャンクションで接続し、気体・水の移動を考慮</li> </ul> <p>上記の方法に基づいた MAAP による原子炉建屋モデル化の概要（例）を別図 3-1-1 に示す。原子炉建屋及び建屋内の各作業区画をモデル化し、余熱除去系（B）熱交換器室における漏えいを考慮している。また、図中の赤及び青の矢印は、それぞれドレン配管及びダクト、ハッチによる他区画への開口部を示している。</p> <p>原子炉建屋内各区画間のジャンクションを介した気体・水の移動とそれに伴う質量及びエネルギーの変化、気体と水の間の熱伝達等の熱水力挙動は、MAAP コードでは、原子炉格納容器に適用されるモデル（3.3.4 格納容器モデル（2）原子炉格納容器の熱水力モデル）と同じ計算モデルによって評価している。</p>  <p>別図 3-1-1 MAAP による原子炉建屋モデル化の概要（例）</p>		※泊では指摘事項については資料に直接反映している

## 泊発電所 3号炉 有効性評価 比較表

付録3 重大事故等対策の有効性評価に係るシビアアクシデント解析コードについて（第3部 MAAP コード）

赤字：設備、運用又は体制の相違（設計方針の相違）  
 青字：記載箇所又は記載内容の相違（記載方針の相違）  
 緑字：記載表現、設備名称の相違（実質的な相違なし）

女川原子力発電所 2号炉	泊発電所 3号炉	相違理由
(2) 原子炉建屋のモデル化について  原子炉建屋のモデル化により、原子炉格納容器から原子炉建屋への放熱評価が可能となり、放熱に伴う原子炉格納容器内の熱水力挙動の現実的評価が可能となる。この際、格納容器内雰囲気から原子炉格納容器本体並びにその周囲のコンクリート製生体遮へい壁を介した原子炉建屋への放熱が評価されるモデルとしているが、生体遮へい壁のコンクリートは熱伝導率が低いために内部の温度勾配が大きく、厚さが約2mあるため、原子炉建屋への放熱量そのものが小さいことから、格納容器温度・圧力への影響は小さい。		

## 泊発電所3号炉 有効性評価 比較表

付録3 重大事故等対策の有効性評価に係るシビアアクシデント解析コードについて（第3部 MAAP コード）

赤字：設備、運用又は体制の相違（設計方針の相違）  
 青字：記載箇所又は記載内容の相違（記載方針の相違）  
 緑字：記載表現、設備名称の相違（実質的な相違なし）

女川原子力発電所2号炉	泊発電所3号炉	相違理由
<p>2. 指摘事項2（資料 No. MAAP-2）</p> <p>解析モデルのエネルギー方程式について、非線形性の強い式の場合にどのように解決されているか説明すること。</p> <p>【回答】</p> <p>MAAP コードでは、状態変数をその時間変化率を用いた時間積分にて算出しており、この過程で使用するタイムステップは、誤差を抑えるため、状態変化が急激となる場合には短くなるように、変化率が大きい状態変数によって調整される。非線形性が強い式に対しても、その式による状態変化が急激となる場合にタイムステップを短くすることにより対応している。</p> 		
<p>同様の考え方で設定した許容変化率を用いている「4.2.1 TMI 事故解析」及び「4.2.2 CORA 実験解析」にて、燃料被覆管酸化モデルの妥当性を確認しており、MAAP による解析で得られた水素発生量、燃料被覆管の温度変化は、それぞれ TMI 事故の分析結果、CORA 実験における測定データと良く一致している。以上より、非線形性が強くなる化学反応の評価においても現状のタイムステップの設定で評価可能と考えられる。</p> <p>本資料のうち、枠囲みの内容は商業機密に属しますので公開できません。</p>		

## 泊発電所3号炉 有効性評価 比較表

付録3 重大事故等対策の有効性評価に係るシビアアクシデント解析コードについて（第3部 MAAP コード）

赤字：設備、運用又は体制の相違（設計方針の相違）  
 青字：記載箇所又は記載内容の相違（記載方針の相違）  
 緑字：記載表現、設備名称の相違（実質的な相違なし）

女川原子力発電所2号炉	泊発電所3号炉	相違理由
<p>3. 指摘事項3（資料 No. MAAP-3）</p> <p>格納容器スプレイの効果について、代替設備における注水量を到達する距離等による局所的な差異を考慮した上で1ノードで評価することの妥当性を説明すること。</p> <p>【回答】</p> <p>1. NUPECで実施された低流量スプレイ試験について</p> <p>シビアアクシデント時を想定した低流量での格納容器代替スプレイによるFP除去について、(財)原子力発電技術機構による検討「重要構造物安全評価に関する総括報告書」(2003年3月)において、BWRの格納容器を模擬した試験が行われている。</p> <p>試験装置はスプレイ落下高さが実機相当となる大型容器にて実施し、一般的なスプレイ試験の模擬方法と同様に試験容器と実機との体積比に応じた低流量スプレイを試験条件としている。この試験条件は、スプレイによる熱交換効率が極めて高いためノズル近傍で急速に凝縮が進み、試験容器内に十分なミキシングの駆動力が生ずるとの考え方<sup>[1]</sup>に基づいている。なお、凝縮に影響を及ぼす液滴径も適切に模擬するため試験装置のスプレイノズルは実機のものを使用し、ノズル個数は実機と同様のスプレイ流量を模擬できるように実機との体積比に応じた個数としている。</p> <p>試験では、このような体系下において試験容器底部からエアロゾル(CsI)が連続的に供給され、試験容器頂部から連続的にスプレイされる状況において、試験容器内のエアロゾルの濃度変化の測定を行っている。別図3-3-1に示されるように実験結果から、スプレイ流量が低流量であっても、試験容器頂部・胴部・底部いずれのエアロゾル濃度も速やかに低下することが確認されている。スプレイが直接カバーする範囲の狭い頂部においても短時間でエアロゾル濃度が低下するのは、慣性衝突だけでなく、蒸気凝縮に伴う拡散泳動によりエアロゾル除去効果が促進されるためとされている。</p> <p>[1] Kitani, S., "Containment Spray Experiments for Pressure Suppression," ICLAS '78      (the 1st International Conference on Liquid Atomization and Spray Systems)</p> <p>2. 実験解析による比較について</p> <p>MAAPコードで見込まれるスプレイによるエアロゾルの除去効果を実験結果の図にプロットしたものを別図3-3-2示す。実験結果との比較により、MAAPコードでも実験結果と同様の除去効果が見込むことが出来る。</p> <p>また、上述の比較は試験容器全体に対して行ったものであるが、スプレイによる直接のエアロゾルの除去効果を見込みにくい（非スプレイ領域の多い）試験容器頂部（直径1.8m）部分のみに着目した場合のMAAPコードとの比較を別図3-3-3に示す。この場合、MAAPコードで見込まれるスプレイによるエアロゾルの除去効果は保守側の結果を与えており。</p> <p>これらのことから、低流量での格納容器代替スプレイ時においても、格納容器（ドライウェル）内を1ノードとして扱い、MAAPコードで用いているスプレイ効果を見込むことは妥当と考える。</p>	泊発電所3号炉	

## 泊発電所 3号炉 有効性評価 比較表

付録3 重大事故等対策の有効性評価に係るシビアアクシデント解析コードについて（第3部 MAAP コード）

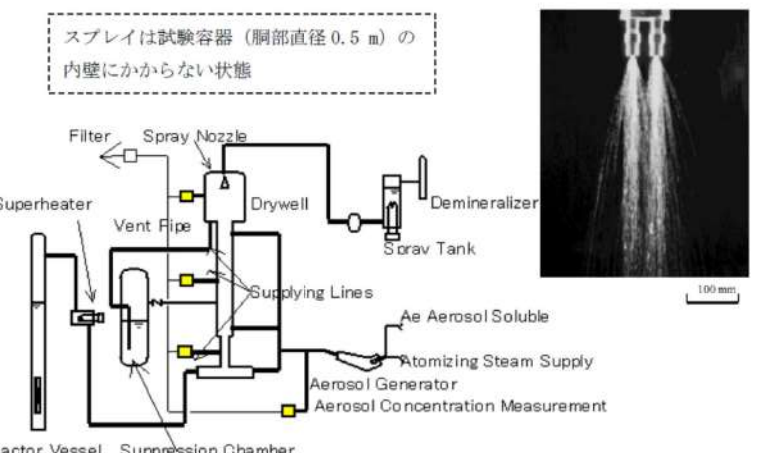
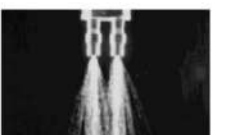
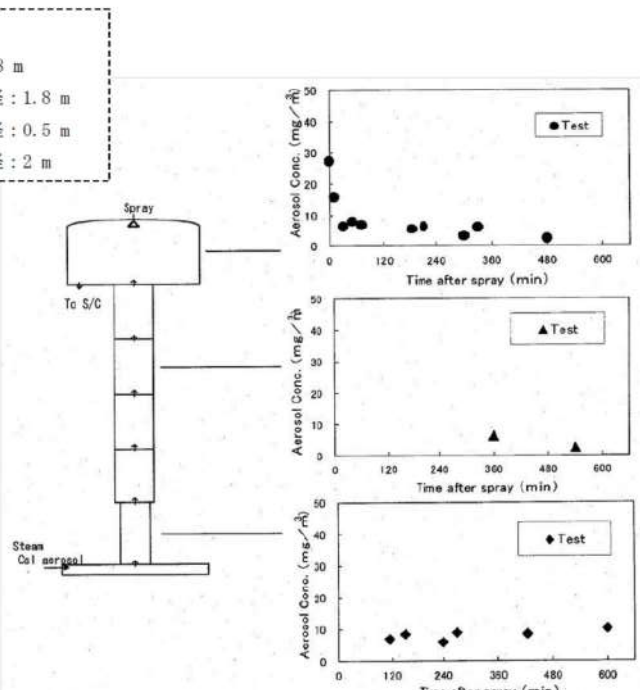
赤字：設備、運用又は体制の相違（設計方針の相違）  
 青字：記載箇所又は記載内容の相違（記載方針の相違）  
 緑字：記載表現、設備名称の相違（実質的な相違なし）

女川原子力発電所 2号炉	泊発電所 3号炉	相違理由
<p>【補足：実験体系と実機の比較について】</p> <p>低流量時のスプレイは別図 3-3-1（右上写真）に示すようにスプレイの拡がりは小さく、流下液滴は試験容器壁には衝突することなく落下する状態となっている。この観測結果から、スプレイノズルからのスプレイの拡がり範囲を試験容器壁に到達しない程度である 0.3m と仮定すると、全断面積に対するスプレイがカバーする断面積の比は、試験容器頂部において約 3% となる。一方、実機において同様にスプレイの広がりを 0.3m と仮定すると、全断面積に対するスプレイがカバーする断面積の比は約 6 % と見積もられる（スプレイヘッダの大直径が最も大きい Mark-I 改良型格納容器の場合。別図 3-3-4 参照）。さらに、実機におけるスプレイはノズルの各吹出口が相互に角度をもって設けられているため下方向だけでなく斜め方向にもスプレイされ、低流量時の拡がり径は約 □ m<sup>[2]</sup>との知見も得られている（別図 3-3-5 参照）。</p> <p>また、実験体系では試験容器の中心部にまとめたスプレイ体系となっているのに対して、実機では容器外側壁近傍から分散させたスプレイを行う体系となっており、スプレイにより不均一さが生じにくい体系になっていると考えられる。</p> <p>これらのことから、実機の方がスプレイによるエアロゾル除去効果が得られる体系となっていると考える。</p> <p>[2] 共同研究報告書「放射能放出低減装置に関する開発研究」（Phase 2）、 平成 4 年度下半期（最終報告書）、平成 5 年 3 月</p> <p>本資料のうち、枠囲みの内容は商業機密に 属しますので公開できません。</p>		

## 泊発電所 3号炉 有効性評価 比較表

赤字：設備、運用又は体制の相違（設計方針の相違）  
 青字：記載箇所又は記載内容の相違（記載方針の相違）  
 緑字：記載表現、設備名称の相違（実質的な相違なし）

付録3 重大事故等対策の有効性評価に係るシビアアクシデント解析コードについて（第3部 MAAP コード）

女川原子力発電所 2号炉	泊発電所 3号炉	相違理由
  		

別図3-3-1 格納容器代替スプレイによるエアロゾル除去効果の例

泊発電所 3号炉 有効性評価 比較表

付録3 重大事故等対策の有効性評価に係るシビアアクシデント解析コードについて（第3部 MAAP コード）

赤字：設備、運用又は体制の相違（設計方針の相違）
青字：記載箇所又は記載内容の相違（記載方針の相違）
緑字：記載表現、設備名称の相違（実質的な相違なし）

女川原子力発電所 2号炉	泊発電所 3号炉	相違理由																																
<p>別図 3-3-2 実験結果と MAAP で見込まれるエアロゾル除去効果の比較            試験容器全体</p> <p>※：エアロゾルが連続供給される実験体系であることから、スプレイにより、エアロゾル濃度は静定期エアロゾル濃度（60 分から 300 分の平均値）に漸近すると仮定</p> <p>MAAP で見込まれるエアロゾル除去効果（試験容器全体）</p> <table border="1"> <thead> <tr> <th>時間 (min)</th> <th>MAAP で見込まれるエアロゾル除去効果 (mg/m³)</th> </tr> </thead> <tbody> <tr><td>0</td><td>30</td></tr> <tr><td>30</td><td>15</td></tr> <tr><td>60</td><td>8</td></tr> <tr><td>120</td><td>6</td></tr> <tr><td>180</td><td>5</td></tr> <tr><td>240</td><td>5</td></tr> <tr><td>270</td><td>8</td></tr> </tbody> </table> <p>MAAP で見込まれるエアロゾル除去効果（試験容器頂部）</p> <table border="1"> <thead> <tr> <th>時間 (min)</th> <th>MAAP で見込まれるエアロゾル除去効果 (mg/m³)</th> </tr> </thead> <tbody> <tr><td>0</td><td>30</td></tr> <tr><td>30</td><td>15</td></tr> <tr><td>60</td><td>8</td></tr> <tr><td>120</td><td>7</td></tr> <tr><td>180</td><td>6</td></tr> <tr><td>240</td><td>6</td></tr> <tr><td>270</td><td>9</td></tr> </tbody> </table>	時間 (min)	MAAP で見込まれるエアロゾル除去効果 (mg/m³)	0	30	30	15	60	8	120	6	180	5	240	5	270	8	時間 (min)	MAAP で見込まれるエアロゾル除去効果 (mg/m³)	0	30	30	15	60	8	120	7	180	6	240	6	270	9		
時間 (min)	MAAP で見込まれるエアロゾル除去効果 (mg/m³)																																	
0	30																																	
30	15																																	
60	8																																	
120	6																																	
180	5																																	
240	5																																	
270	8																																	
時間 (min)	MAAP で見込まれるエアロゾル除去効果 (mg/m³)																																	
0	30																																	
30	15																																	
60	8																																	
120	7																																	
180	6																																	
240	6																																	
270	9																																	
<p>別図 3-3-3 実験結果と MAAP で見込まれるエアロゾル除去効果の比較            (試験容器頂部に着目した場合)</p>																																		

泊発電所 3号炉 有効性評価 比較表

赤字：設備、運用又は体制の相違（設計方針の相違）  
 青字：記載箇所又は記載内容の相違（記載方針の相違）  
 緑字：記載表現、設備名称の相違（実質的な相違なし）

付録3 重大事故等対策の有効性評価に係るシビアアクシデント解析コードについて（第3部 MAAP コード）

女川原子力発電所 2号炉	泊発電所 3号炉	相違理由
<p>本資料のうち、枠囲みの内容は商業機密に属しますので公開できません。</p> <p>試験容器（断面積比 3%）</p> <p>実機 PCV（断面積比（RPV 面積除く）6%）</p> <p>別図 3-3-4 実験体系と実機のスプレイカバー範囲（断面積）の比較（概念図）</p> <p>別図 3-3-5 実機格納容器スプレイノズルと低流量スプレイ散水状態<sup>[2]</sup></p>		

## 泊発電所3号炉 有効性評価 比較表

付録3 重大事故等対策の有効性評価に係るシビアアクシデント解析コードについて（第3部 MAAPコード）

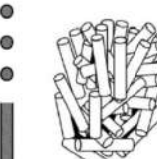
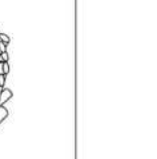
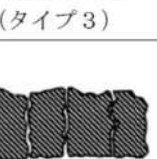
赤字：設備、運用又は体制の相違（設計方針の相違）  
 青字：記載箇所又は記載内容の相違（記載方針の相違）  
 緑字：記載表現、設備名称の相違（実質的な相違なし）

女川原子力発電所2号炉	泊発電所3号炉	相違理由
<p>4. 指摘事項4（資料No. MAAP-4）</p> <p>リロケーションモデルにおいて炉心溶融の過程（溶融、崩落等）における力学的なバランスをどのように扱っているか温度別に整理して説明すること。</p> <p>【回答】</p> <p>MAAPコードでは、炉心部を多数のノードに分割し、燃料崩壊や溶融といった状態変化、およびそれらに伴うノード間の質量・エネルギー移動がモデル化されている。基本的には隣接するノード間の質量・エネルギーバランスに基づくモデルとなっている。</p> <p>以下に、MAAPコードが想定するリロケーションモデルを示すとともに、力学的なバランスについても説明する。</p> <p>a. MAAPコードが想定する炉心ノード状態</p> <p>MAAPコードでは、空隙率と炉心ノード内の溶融度に応じ、別図3.4-1に示す6つの炉心ノード状態（タイプ）が考慮されている。燃料破損、燃料溶融、溶融物の流下（キャンドリング）、固化による燃料径の増加により、空隙率は次第に小さくなる。また、ノード内の燃料のほぼ全量が溶融した場合、溶融プールが形成される。</p>		

## 泊発電所3号炉 有効性評価 比較表

赤字：設備、運用又は体制の相違（設計方針の相違）  
 青字：記載箇所又は記載内容の相違（記載方針の相違）  
 緑字：記載表現、設備名称の相違（実質的な相違なし）

付録3 重大事故等対策の有効性評価に係るシビアアクシデント解析コードについて（第3部 MAAP コード）

女川原子力発電所2号炉			泊発電所3号炉	相違理由
空隙率	溶融度			
	溶融無し又は部分溶融状態	全量溶融状態		
1				
1未満 ～	 燃料が自立 (タイプ1)	 燃料が崩壊 (タイプ2)	—	
0.1以上 ～			—	
0.1未満	 流路減少状態 (タイプ3)		 溶融プール状態 (タイプ5)	

別図3-4-1 MAAPコードにおける炉心ノード状態

本資料のうち、枠囲みの内容は商業機密に属しますので公開できません。

## 泊発電所3号炉 有効性評価 比較表

付録3 重大事故等対策の有効性評価に係るシビアアクシデント解析コードについて（第3部 MAAPコード）

赤字：設備、運用又は体制の相違（設計方針の相違）  
 青字：記載箇所又は記載内容の相違（記載方針の相違）  
 緑字：記載表現、設備名称の相違（実質的な相違なし）

女川原子力発電所2号炉	泊発電所3号炉	相違理由
<p>b. 炉心ノード状態の変化と燃料の移動について</p> <p>MAAPコードでは、各炉心ノードの損傷の段階（崩壊、溶融等）を以下により判定し、各ノードは各タイプへ変化し、下部または径方向に移動する。</p> <ul style="list-style-type: none"> <li>・キャンドリングの発生</li> </ul> <p>炉心温度上昇により、燃料被覆管表面で溶融が発生すると、溶融物は液膜となって燃料に沿って流下し、下部ノードへと移動する。この様子は、蠟燭が融けていくプロセスに類似していることから、キャンドリングと呼ばれている。</p> <p>溶融物は、重力と粘性力を考慮した速度で流下し、温度の低い燃料被覆管表面で完全に固化するか、閉塞ノード（タイプ4）に達するまで流れる。</p> <p>[REDACTED]</p> <ul style="list-style-type: none"> <li>・燃料崩壊</li> </ul> <p>ヒートアップ開始から、各炉心ノードでは、温度と破損時間の関係から燃料崩壊の有無の判定が行われる [REDACTED] K と [REDACTED] 時間から Larson-Miller パラメータを設定）。燃料崩壊が判定されると、その位置より上方のノードに存在する燃料は支えがなくなり、本来の形状を維持できなくなることから瓦礫状となり、燃料崩壊位置から下の各ノードの空隙を埋めるような形で落下する（タイプ2）。その際、燃料崩壊位置から上のノードは全て燃料が落下し空洞状態となる（タイプ0）。</p> <p>[REDACTED]</p> <p>なお、燃料崩壊の判定は、温度と時間を変数とした関数であらわされており、位置による荷重は考慮されていない。</p> <ul style="list-style-type: none"> <li>・閉塞ノードの形成</li> </ul> <p>キャンドリングにより流下した溶融燃料および落下してくる固形物により、それを受け取るノードの空隙が減少する（タイプ3）。</p> <p>[REDACTED] さらにノード内が詰まる（空隙率0.1）と、閉塞した状態が発生する（タイプ4）。この状態になったノードは、蒸気やガス流を通さなくなる（閉塞ノードの形成）。</p> <p>ただし、タイプ3だけでなく、[REDACTED] 溶融は発生し、直下のノードに空隙が存在する限り、その溶融物は下方へ流下する（キャンドリング）。</p> <p>なお、タイプ3やタイプ4は空隙率で分類されているもので、いずれも固形物と溶融物が混在している状態にある。</p> <p>更なる温度上昇により、ノード内燃料がすべて溶融すると、溶融プール状態（タイプ5）となる。タイプ5は、溶融した燃料が完全にノードを満たしている状態であるため、上方から溶融物、固形物がタイプ5のノードに入り込んでくることはない。</p> <p>[REDACTED] 本資料のうち、枠囲みの内容は商業機密に属しますので公開できません。</p>		

## 泊発電所3号炉 有効性評価 比較表

付録3 重大事故等対策の有効性評価に係るシビアアクシデント解析コードについて（第3部 MAAP コード）

赤字：設備、運用又は体制の相違（設計方針の相違）  
 青字：記載箇所又は記載内容の相違（記載方針の相違）  
 緑字：記載表現、設備名称の相違（実質的な相違なし）

女川原子力発電所2号炉	泊発電所3号炉	相違理由
<ul style="list-style-type: none"> <li>閉塞ノードの破損</li> </ul> <p>一つもしくは複数の閉塞したノード（タイプ4）が発生すると、 この判定により、固体層が破損すると、その直下のノードに溶融物が落下する。その結果として、直下のノードが閉塞すれば、同様の判定が行われることになり、次第に溶融物が下方へと移動していく。</p> <p>なお、炉心最下端ノードである炉心支持板位置については、後述の炉心支持板破損判定が行われる。</p>		
c. 半径方向への溶融物移動		
MAAP コードでは、直下のノードに空隙がないなど、軸方向へ流れることができない場合で、かつ径方向の隣接ノードに空隙が存在する場合にのみ径方向への溶融物の移動が発生する。溶融物は水頭差と径方向流動に対する摩擦抵抗がバランスする速度で流れる。		
d. 炉心境界の破損と溶融物の流出		
炉心境界（下方向：炉心支持板、横方向：炉心最外周境界）の MAAP における取り扱いを以下に示す。		
<ul style="list-style-type: none"> <li>炉心支持板の破損</li> </ul> <p>炉心支持板の破損は、温度と破損時間の関係式から判定される。</p>		
<ul style="list-style-type: none"> <li>炉心領域最外周境界の破損</li> </ul> <p>TMIにおいて、溶融プールが側面クラストの破損により、下部プレナムへ落下したとする分析に基づき、炉心側面の破損がモデル化されている。</p>		
<ul style="list-style-type: none"> <li>下部プレナムへのリロケーション</li> </ul> <p>炉心支持板の破損もしくは、炉心領域最外周境界の破損が発生すると、溶融物の下部プレナムへのリロケーションが発生する。下部プレナムへのリロケーションが発生すると、炉心支持板が制御棒駆動機構（CRD）ハウジング／制御棒（CR）案内管によって支えられるモデルとなっていることから、下部プレナムに落下した溶融炉心によって CRD ハウジング／CR 案内管が溶融すると、炉心支持板の保持機能喪失により、炉心領域の燃料がその損傷形状にかかわらず下部プレナムへ移動する。</p>		
本資料のうち、枠囲みの内容は商業機密に属しますので公開できません。		

## 泊発電所 3号炉 有効性評価 比較表

付録3 重大事故等対策の有効性評価に係るシビアアクシデント解析コードについて（第3部 MAAP コード）

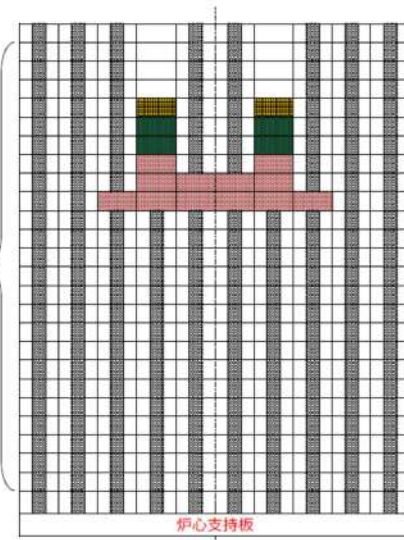
赤字：設備、運用又は体制の相違（設計方針の相違）  
 青字：記載箇所又は記載内容の相違（記載方針の相違）  
 緑字：記載表現、設備名称の相違（実質的な相違なし）

女川原子力発電所 2号炉	泊発電所 3号炉	相違理由
<p>e. 事故進展挙動</p> <p>以下、MAAP コードで、時間経過に伴って、どういった物理現象に伴い、状態変化が生じるかについての BWR-5, Mark-I 改良型格納容器プラントの TQUV シーケンスにおける解析例を示す。</p> <p>&lt;炉心損傷初期&gt;</p> <p>炉心損傷初期の状態変化について、炉心中央部の軸方向への移動に着目して説明する。別図 3-4-2 は事故後約 1.3 時間において、上部からのキャンドリングによる溶融物を受け、いくつかのノードで流路が狭まった状態（タイプ 3）を示している。流路が狭くなると、下からの蒸気流・ガス流が制限されることで、その上部のノードの温度が上昇し、燃料崩壊を起こす（タイプ 2）。これにより、それより上方の炉心が瓦礫状となり下方に移動しながら堆積している。その結果、最上段ノードでは空洞（タイプ 0）が発生している。この状態が別図 3-4-3 に示す状態である。</p> <p>更なる溶融物の降下および崩壊燃料が下方の空隙を埋めていくことで、流路が閉塞したノード（タイプ 4）が複数発生する。この状態が別図 3-4-4 である。</p>  <p>別図 3-4-5 は、炉心全体において、閉塞領域が下方向に更に進展した状態を表している。</p> <p>&lt;炉心損傷後期&gt;</p> <p>別図 3-4-6 は炉心損傷が更に進展した状態を表している（事故後約 2.7 時間）。炉心損傷後期になると、固体物の落下およびキャンドリングによる更なる溶融炉心の下方向への移動が進展し、空隙を更に埋めることで、燃料が存在するすべてのノードで閉塞した状態（タイプ 4）となっている。その結果、上半分のノードはほぼ空洞状態（タイプ 0）となっている。</p> <p>別図 3-4-6 に示す状態では中心部分で温度が上昇することにより、中心部分で完全に溶融した状態（タイプ 5）が発生する。別図 3-4-7 がこの状態を表している。</p> <p>f. まとめ</p> <p>MAAP コードにおけるリロケーションモデルは以上のとおりである。MAAP コードでは、炉心ノード状態をタイプ別に分け、それぞれのタイプの変化を空隙率、溶融度、燃料崩壊判定などにより模擬している。TMI の知見を適宜取り込むことにより、必要に応じて力学的バランスを考慮したモデルとしている。</p> <div style="border: 1px solid black; padding: 5px;"> <p>本資料のうち、枠囲みの内容は商業機密に属しますので公開できません。</p> </div>		

泊発電所 3号炉 有効性評価 比較表

赤字：設備、運用又は体制の相違（設計方針の相違）  
 青字：記載箇所又は記載内容の相違（記載方針の相違）  
 緑字：記載表現、設備名称の相違（実質的な相違なし）

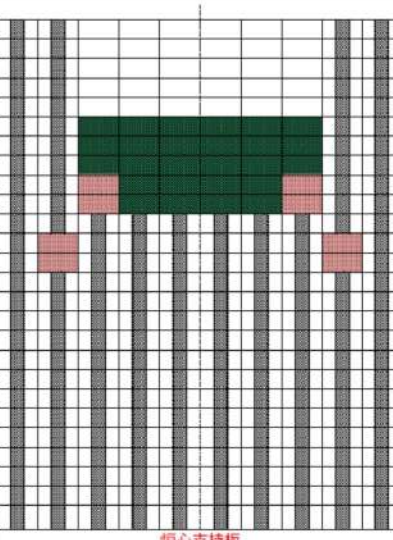
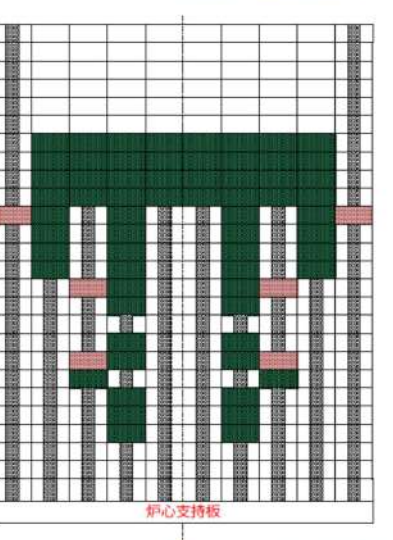
付録3 重大事故等対策の有効性評価に係るシビアアクシデント解析コードについて（第3部 MAAP コード）

女川原子力発電所 2号炉	泊発電所 3号炉	相違理由
 <p>別図 3-4-2 炉心損傷状態（事故後約 1.3 時間）          (キャンドリングにより流路が減少した状態)</p> <p>燃料有効部</p> <p>炉心支持板</p> <p>■ タイプ1          (燃料が自立した状態)          ■ タイプ2          (燃料が崩壊した状態)          ■ タイプ3          (流路が減少した状態)          ■ タイプ4          (流路が閉塞した状態)          ■ タイプ5          (溶融プール状態)          □ タイプ0          (空洞)</p>		
 <p>別図 3-4-3 炉心損傷状態（別図 3-4-2 の状態から 2 秒経過後）          (燃料崩壊が生じた状態)</p> <p>燃料有効部</p> <p>炉心支持板</p> <p>■ タイプ1          (燃料が自立した状態)          ■ タイプ2          (燃料が崩壊した状態)          ■ タイプ3          (流路が減少した状態)          ■ タイプ4          (流路が閉塞した状態)          ■ タイプ5          (溶融プール状態)          □ タイプ0          (空洞)</p>		

泊発電所 3号炉 有効性評価 比較表

赤字：設備、運用又は体制の相違（設計方針の相違）  
 青字：記載箇所又は記載内容の相違（記載方針の相違）  
 緑字：記載表現、設備名称の相違（実質的な相違なし）

付録3 重大事故等対策の有効性評価に係るシビアアクシデント解析コードについて（第3部 MAAP コード）

女川原子力発電所2号炉	泊発電所3号炉	相違理由
 <p>別図 3-4-4 炉心損傷状態（別図 3-4-3 から約 200 秒経過後）      (崩壊した燃料によりノードが閉塞した状態)</p>		
 <p>別図 3-4-5 炉心損傷状態（事故後約 1.6 時間）      (流路閉塞が進展した状態)</p>		

泊発電所 3号炉 有効性評価 比較表

赤字：設備、運用又は体制の相違（設計方針の相違）  
 青字：記載箇所又は記載内容の相違（記載方針の相違）  
 緑字：記載表現、設備名称の相違（実質的な相違なし）

付録3 重大事故等対策の有効性評価に係るシビアアクシデント解析コードについて（第3部 MAAP コード）

女川原子力発電所2号炉	泊発電所3号炉	相違理由
<p>別図 3-4-6 炉心損傷状態（事故後約 2.7 時間）      (炉心全体の流路が閉塞した状態)</p>		
<p>別図 3-4-7 炉心損傷状態後期（事故後約 2.9 時間）      (溶融プールが形成された状態)</p>		

女川原子力発電所 2 号炉	泊発電所 3 号炉	相違理由															
<p>5. 指摘事項 5 (資料 No. MAAP-5)</p> <p>ハフニウム CR の影響をどのように扱っているか説明すること。</p> <p>【回答】</p> <p>MAAP コードでは、制御棒において用いられるハフニウム (Hf) の制御材はモデル中で取り扱っていない。Hf は周期表において第 4 族元素に属し、核的特性を除いた、化学的性質は同じ族に属し、燃料被覆管やチャンネルボックスに用いられているジルコニウム (Zr) と非常によく似たものとなっている。別表 3-5-1 に Hf と Zr の物理特性を示す。</p> <p>密度、比熱及び融点は Zr に比べて高いことから、炉心の溶融進展挙動への影響が考えられるものの、化学的には高温でのハロゲンとの反応を含め、Zr と非常に似ていることや、Hf 制御棒を採用しているプラントにおいても、その本数の割合は 1/8 程度であることから、寄与としての影響は小さいと考えられる。</p> <p>別表 3-5-1 ハフニウム (Hf) とジルコニウム (Zr) の物理特性<sup>[2]</sup></p> <table border="1"> <thead> <tr> <th></th><th>Hf</th><th>Zr</th></tr> </thead> <tbody> <tr> <td>密度</td><td>13.28 g/cm<sup>3</sup> (25°C)</td><td>6.51 g/cm<sup>3</sup> (20°C)</td></tr> <tr> <td>熱伝導率</td><td>23 W/(m·K)</td><td>22.7 W/(m·K)</td></tr> <tr> <td>比熱</td><td>155.4 J/(mol·K) (25 °C)</td><td>25.2 J/(mol·K) (25 °C)</td></tr> <tr> <td>融点</td><td>2222 °C</td><td>1857 °C</td></tr> </tbody> </table> <p>【参考文献】</p> <ul style="list-style-type: none"> <li>[1] TLR-046 Rev. 2, “沸騰水型原子力発電所 ハフニウム型制御棒について（改良炉心用）”, 平成 18 年 11 月, 株式会社 東芝</li> <li>[2] 村上 雅人, “元素を知る事典” 第 1 版, 株式会社 海鳴社, 2004 年</li> <li>[3] 馬淵 久夫, “元素の事典” 第 1 版, 株式会社 朝倉書店, 1994 年</li> </ul>		Hf	Zr	密度	13.28 g/cm <sup>3</sup> (25°C)	6.51 g/cm <sup>3</sup> (20°C)	熱伝導率	23 W/(m·K)	22.7 W/(m·K)	比熱	155.4 J/(mol·K) (25 °C)	25.2 J/(mol·K) (25 °C)	融点	2222 °C	1857 °C		
	Hf	Zr															
密度	13.28 g/cm <sup>3</sup> (25°C)	6.51 g/cm <sup>3</sup> (20°C)															
熱伝導率	23 W/(m·K)	22.7 W/(m·K)															
比熱	155.4 J/(mol·K) (25 °C)	25.2 J/(mol·K) (25 °C)															
融点	2222 °C	1857 °C															

## 泊発電所 3号炉 有効性評価 比較表

付録3 重大事故等対策の有効性評価に係るシビアアクシデント解析コードについて（第3部 MAAP コード）

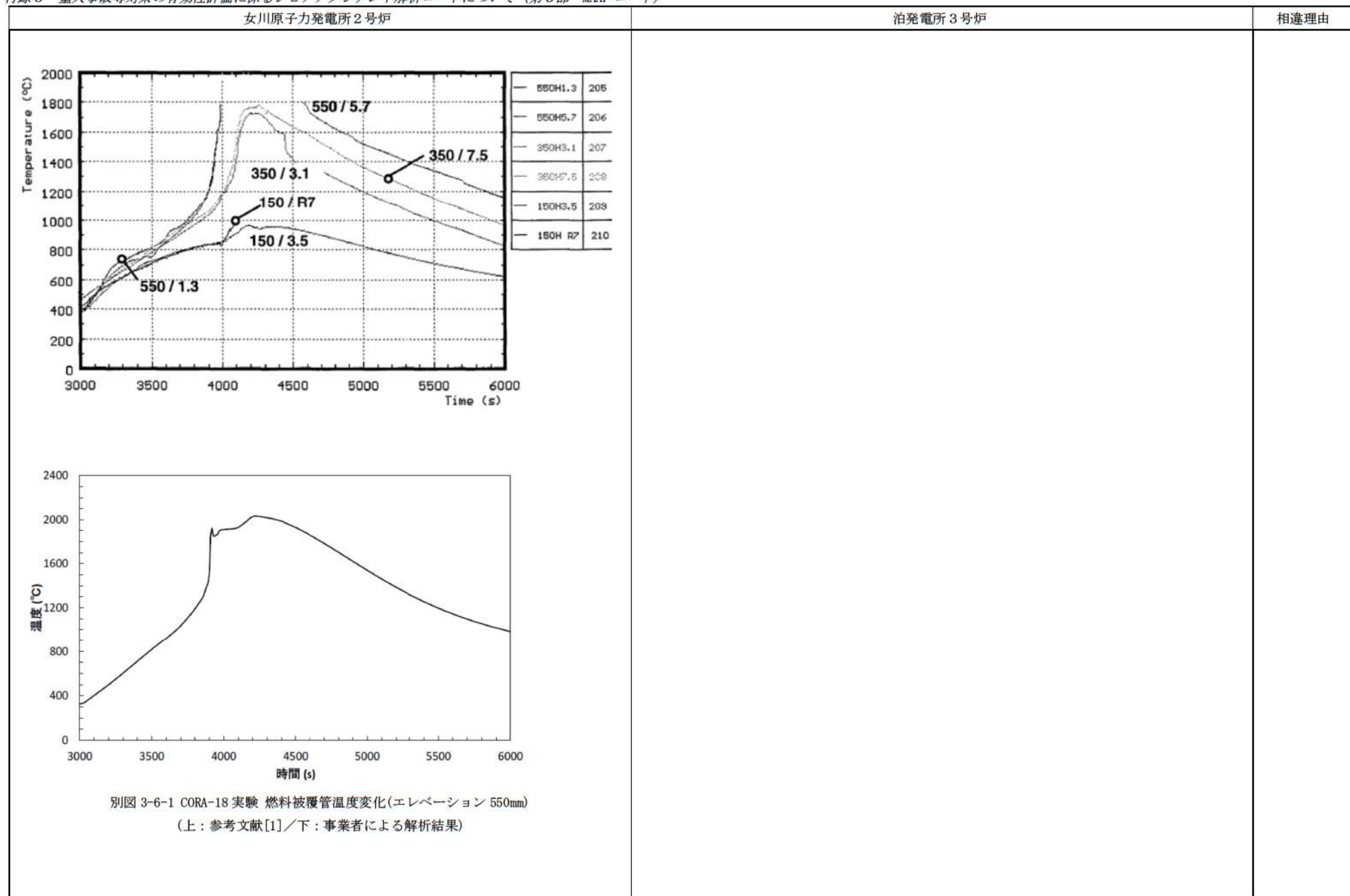
赤字：設備、運用又は体制の相違（設計方針の相違）  
 青字：記載箇所又は記載内容の相違（記載方針の相違）  
 緑字：記載表現、設備名称の相違（実質的な相違なし）

女川原子力発電所 2号炉	泊発電所 3号炉	相違理由
<p>6. 指摘事項 6（資料 No. MAAP-6）</p> <p>事業者自身が行った実験解析の結果の例をどこかで説明すること。</p> <p><b>【回答】</b></p> <p>MAAP コードの妥当性確認のための実験解析は、MAAP コードの保守・改良を行う米国 EPRI が実施し、MAAP ユーザーズマニュアルにその結果を記載して、ユーザーに提供している。</p> <p>また、実験解析、ベンチマーク解析等については MAAP ユーザーズグループ会議にて議論を行う機会が設けられている。</p> <p>新規バージョンが配布された際に事業者側では、付属のインプットデータを用いて解析を実施し、付属のアウトプットデータとの一致を確認するとともに、一部の代表的なケースについて、確認解析も実施している。これらに加えて、MAAP ユーザーズグループを通じて、コードに係る最新情報を入手している。</p> <p>事業者側での確認解析においては、入手可能な入力データを用いた代表的なベンチマーク解析を実施し、MAAP ユーザーズマニュアルの実験解析結果や公開されている実験結果との比較を実施しているが、ここでは、4.2 章に示した実験解析のうち、BWRにおいて特徴的な炉心構成を模擬した実験である CORA 実験の中から、試験バンドルのサイズが大きく、より実機の体系に近い CORA-18 実験を対象として解析結果を示す。</p> <p>別図 3-6-1 から別図 3-6-3 に CORA-18 実験でのエレベーション 550mm における燃料被覆管の温度変化、チャンネルボックスの温度変化及び制御棒の温度変化をそれぞれ示す。温度挙動は実験結果に比べて高い温度で推移するものの、全体的な温度挙動は、実験期間全体において測定値の温度挙動をよく再現している。</p> <p><b>【参考文献】</b></p> <p>[1] FZKA-6030, S. Hagen, P. Hofmann, V. Noack, L. Sepold, G. Schanz, G. Schumacher,      “Large Bundle PWR Test CORA-18: Test Results”, April 1980</p> <p>[2] MAAP4 User’s Manual</p>		

泊発電所 3号炉 有効性評価 比較表

付録3 重大事故等対策の有効性評価に係るシビアアクシデント解析コードについて（第3部 MAAP コード）

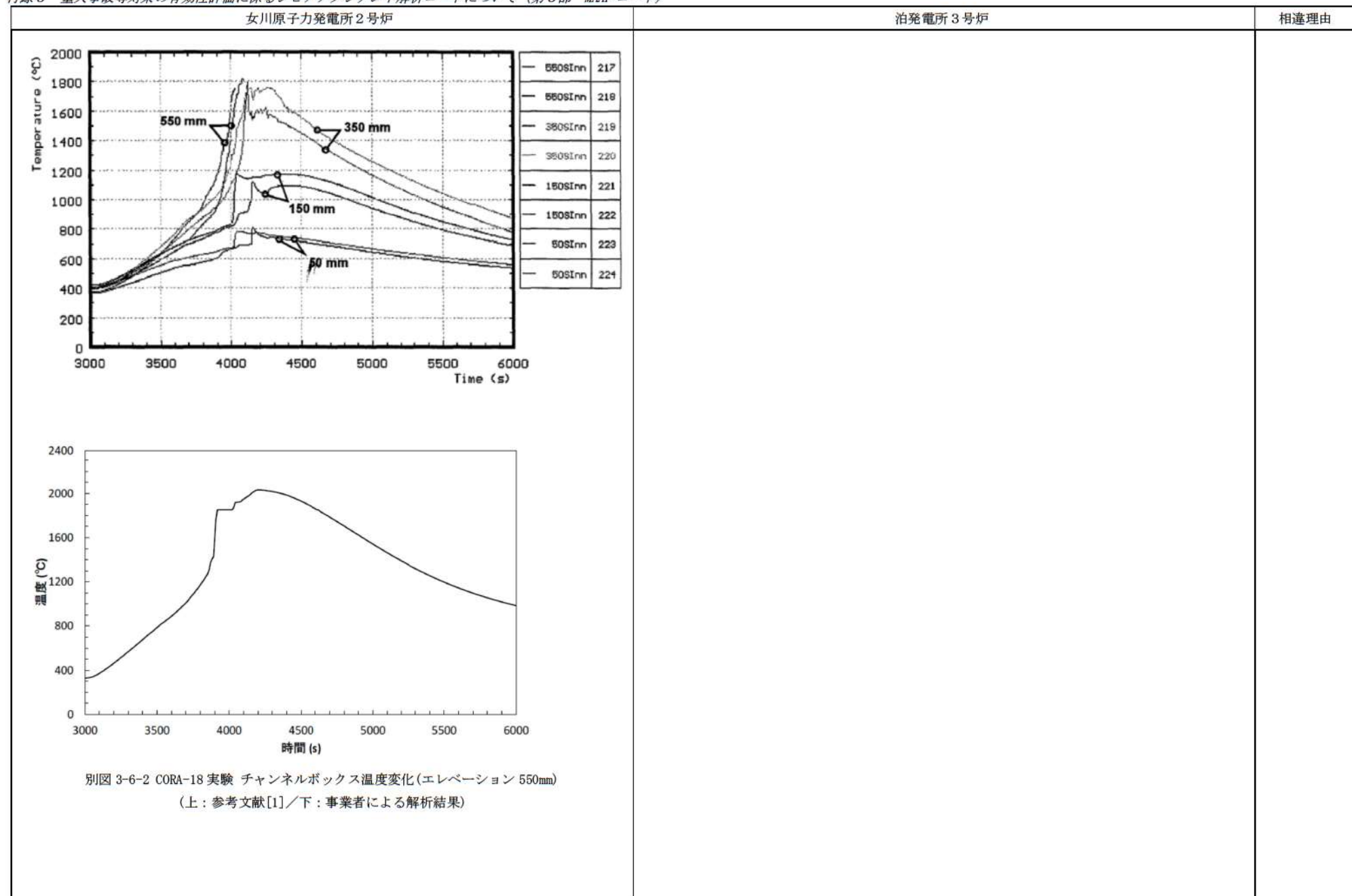
赤字：設備、運用又は体制の相違（設計方針の相違）
青字：記載箇所又は記載内容の相違（記載方針の相違）
緑字：記載表現、設備名称の相違（実質的な相違なし）



泊発電所 3号炉 有効性評価 比較表

付録3 重大事故等対策の有効性評価に係るシビアアクシデント解析コードについて（第3部 MAAP コード）

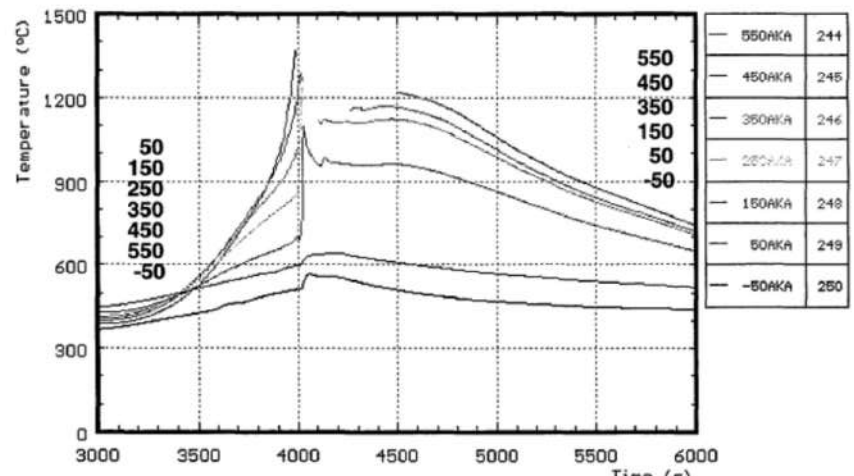
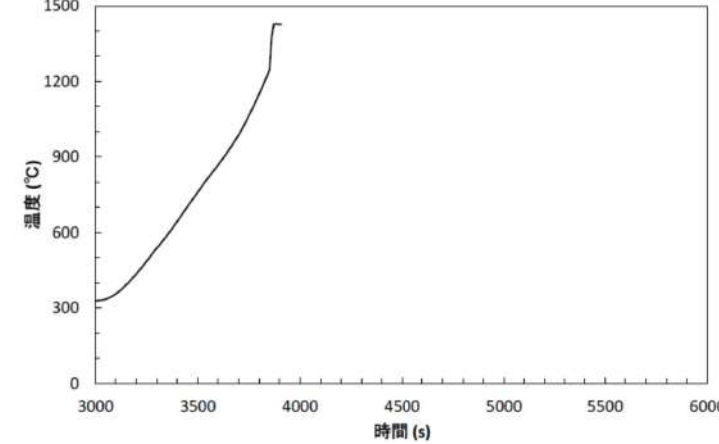
赤字：設備、運用又は体制の相違（設計方針の相違）
青字：記載箇所又は記載内容の相違（記載方針の相違）
緑字：記載表現、設備名称の相違（実質的な相違なし）



泊発電所 3号炉 有効性評価 比較表

付録3 重大事故等対策の有効性評価に係るシビアアクシデント解析コードについて（第3部 MAAP コード）

赤字：設備、運用又は体制の相違（設計方針の相違）
青字：記載箇所又は記載内容の相違（記載方針の相違）
緑字：記載表現、設備名称の相違（実質的な相違なし）

女川原子力発電所 2号炉	泊発電所 3号炉	相違理由
		
		

別図 3-6-3 CORA-18 実験 制御棒温度変化(エレベーション 550mm)

(上：参考文献[1]／下：事業者による解析結果)

女川原子力発電所2号炉	泊発電所3号炉	相違理由																			
<p>7. 指摘事項7（資料 No. MAAP-7）</p> <p>CORA 実験解析の条件と有効性評価の条件の違いを説明すること。</p> <p>【回答】</p> <p>CORA-18 実験を対象として、有効性評価の条件との比較を示す。</p> <p>別表3-7-1に有効性評価と CORA-18 実験に用いられた燃料集合体の主要諸元を示す。解析条件はこれらの主要諸元に基づいて与えており、燃料棒の形状や材質に関しては同様の条件となっている。</p> <p>別表3-7-1 燃料集合体の主要諸元</p> <table border="1"> <thead> <tr> <th></th> <th>有効性評価 9×9燃料(A型)</th> <th>CORA-18</th> </tr> </thead> <tbody> <tr> <td>ペレット直径(cm)</td> <td>約 0.96</td> <td>約 0.91</td> </tr> <tr> <td>ペレット材</td> <td>UO<sub>2</sub></td> <td>UO<sub>2</sub></td> </tr> <tr> <td>被覆管外径(cm)</td> <td>約 1.12</td> <td>約 1.075</td> </tr> <tr> <td>被覆管厚さ(mm)</td> <td>約 0.71</td> <td>約 0.725</td> </tr> <tr> <td>被覆管材料</td> <td>Zr(ジルカロイ-2)</td> <td>Zr(ジルカロイ-4)</td> </tr> <tr> <td>燃料棒有効長さ(m)</td> <td>約 3.71</td> <td>約 1.0</td> </tr> </tbody> </table> <p>【参考文献】</p> <p>[1] FZKA-6030, S. Hagen, P. Hofmann, V. Noack, L. Sepold, G. Schanz, G. Schumacher,      “Large Bundle PWR Test CORA-18: Test Results”, April 1980</p>		有効性評価 9×9燃料(A型)	CORA-18	ペレット直径(cm)	約 0.96	約 0.91	ペレット材	UO <sub>2</sub>	UO <sub>2</sub>	被覆管外径(cm)	約 1.12	約 1.075	被覆管厚さ(mm)	約 0.71	約 0.725	被覆管材料	Zr(ジルカロイ-2)	Zr(ジルカロイ-4)	燃料棒有効長さ(m)	約 3.71	約 1.0
	有効性評価 9×9燃料(A型)	CORA-18																			
ペレット直径(cm)	約 0.96	約 0.91																			
ペレット材	UO <sub>2</sub>	UO <sub>2</sub>																			
被覆管外径(cm)	約 1.12	約 1.075																			
被覆管厚さ(mm)	約 0.71	約 0.725																			
被覆管材料	Zr(ジルカロイ-2)	Zr(ジルカロイ-4)																			
燃料棒有効長さ(m)	約 3.71	約 1.0																			

## 泊発電所3号炉 有効性評価 比較表

付録3 重大事故等対策の有効性評価に係るシビアアクシデント解析コードについて（第3部 MAAP コード）

赤字：設備、運用又は体制の相違（設計方針の相違）  
 青字：記載箇所又は記載内容の相違（記載方針の相違）  
 緑字：記載表現、設備名称の相違（実質的な相違なし）

女川原子力発電所2号炉				泊発電所3号炉	相違理由
別紙 「4.2 妥当性確認（事故解析及び実験解析）」において各重要現象の妥当性確認で示した実験解析における主要実験条件と有効性評価における条件の比較を別表3-7-2に示す。					

別表3-7-2 主要実験条件と有効性評価における条件の比較

実験	主要実験条件		有効性評価における条件 (BWR 5/Mark I 改良型)	備考
CORA (4.2.2)	燃料集合体	表 4.2.2	9×9 燃料(A)型	BWR の燃料体系を模擬しており、バンドルサイズがより実機体系に近い CORA-18 実験では、測定データと良く一致。
	温度条件	図 4.2.9 ～ 図 4.2.16	実験条件と同様 (3.3.6 章に示したモデルにより評価)	反応温度、溶融温度は物質によって決まるが、実機相当の物質を使用。
HDR (4.2.3)	格納容器内自由体積(m <sup>3</sup> )	約 11,400	D/W 約 8,800 W/W 空間部 約 5,300	実機スケール相当。
CSTF (4.2.4) ABCOVE (4.2.8)	格納容器内自由体積(m <sup>3</sup> )	約 850	D/W 約 8,800 W/W 空間部 約 5,300	体積は 1/10 程度と小規模であるが、高さに大きな相違はない。(ABCOVE 実験では、CSTF 実験の格納容器体系試験装置を使用)
	格納容器高さ(m)	約 20	D/W 約 38 S/C 円管部断面直径 約 10	
ACE (4.2.5)	温度条件	図 4.2.36, 37, 38	添付 3 図 5.1-1b 等	コンクリート侵食時の温度条件は同様。
	コンクリート組成	表 4.2.6	添付 3 表 4.2	プラントに用いられているコンクリートの種類によって、組成や物性値を指定。
	溶融物組成	表 4.2.5	UO <sub>2</sub> , Zr, ZrO <sub>2</sub> , SUS 等全炉心相当の構造物が溶融	L7 実験では、BWR 相当の溶融炉心を模擬。
SURC 4 (4.2.6)	温度条件	図 4.2.40	添付 3 図 5.1-1b 等	コンクリート侵食時の温度条件は同様。
	コンクリート組成	玄武岩系	添付 3 表 4.2	プラントに用いられているコンクリートの種類によって、組成や物性値を指定。
	溶融物組成	ステンレス, 模擬 FP.Zr	UO <sub>2</sub> , Zr, ZrO <sub>2</sub> , SUS 等全炉心相当の構造物が溶融	実機の組成と異なるが、熱的に実機に近い条件となっており、コンクリートへの熱移動、侵食挙動は同様。
PHEBUS FP (4.2.7)	被覆管温度	図 4.2.47 ～ 図 4.2.50	実験条件と同様 (3.3.6 章に示したモデルにより評価)	反応温度、溶融温度は物質によって決まるが、実機相当の物質を使用。

## 泊発電所3号炉 有効性評価 比較表

付録3 重大事故等対策の有効性評価に係るシビアアクシデント解析コードについて（第3部 MAAP コード）

赤字：設備、運用又は体制の相違（設計方針の相違）  
 青字：記載箇所又は記載内容の相違（記載方針の相違）  
 緑字：記載表現、設備名称の相違（実質的な相違なし）

女川原子力発電所2号炉	泊発電所3号炉	相違理由
<p>8. 指摘事項8（資料 No. MAAP-8）</p> <p>TMIの結果から考えられた溶融炉心プロッケージなど、MAAP固有モデルについて説明すること。</p> <p>【回答】</p> <p>TMI事故後の分析・評価によれば、以下のような推定がなされている<sup>[1]</sup>。</p> <ul style="list-style-type: none"> <li>一次冷却材ポンプ停止後、一次冷却材のボイルオフによって炉心損傷が生じ、炉心の約50%が溶融した。溶融物は下方向に流れ、炉心底部付近で閉塞領域を形成した。</li> <li>一次冷却材ポンプの再起動による原子炉への注水によって、溶融物は急冷によって微細化し、デブリベッドが形成された。このデブリベッドのうち、20tonが再溶融した後、側面のクラストを崩壊させて、下部プレナムへ落下した。</li> </ul> <p>MAAPコードでは、このような分析に基づいた以下のような物理現象モデルを採用している。</p> <p>(1) 炉心損傷進展に伴う炉心閉塞</p> <p>TMIにおいて、炉心底部付近で閉塞領域を形成したとする分析に基づき、炉心溶融物の流下による燃料外径の増加や燃料棒の膨れによる炉心流路の減少をタイプ3（冷却材流路が減少した状態）とタイプ4（冷却材流路が閉塞した状態）でモデル化し、タイプ4となった炉心ノードでは、炉心流路が閉塞され、蒸気及び非凝縮性ガスが通過しない状態を模擬している。</p> <p>(2) 側面クラストの崩壊</p> <p>TMIにおいて、溶融プールが側面クラストの破損により、下部プレナムへ落下したとする分析に基づき、炉心側面の破損がモデル化されている。</p> <p>また、側面の破損が発生した場合、溶融物は下部プレナムへ移行する。</p> <p>また、上記の物理現象モデルを採用した上で、TMI事故とのベンチマーク結果に基づいたモデルとしては以下が挙げられる<sup>[2]</sup>。</p> <p>本資料のうち、枠囲みの内容は商業機密に属しますので公開できません。</p>		

## 泊発電所3号炉 有効性評価 比較表

付録3 重大事故等対策の有効性評価に係るシビアアクシデント解析コードについて（第3部 MAAP コード）

赤字：設備、運用又は体制の相違（設計方針の相違）  
 青字：記載箇所又は記載内容の相違（記載方針の相違）  
 緑字：記載表現、設備名称の相違（実質的な相違なし）

女川原子力発電所2号炉	泊発電所3号炉	相違理由
<p>(a) 炉心崩壊挙動</p> <p>MAAP コードでは、炉心ノードがある温度に達してから崩壊（タイプ 1（燃料自立）からタイプ 2（燃料崩壊）への遷移）するまでの時間を Larson-Miller パラメータ手法による累積損傷割合の計算に基づいて判定している。TMI 事故とのベンチマーク結果に基づき、炉心ノードの崩壊について、炉心ノード温度 <span style="background-color: black; color: white;">[ ] K</span> と <span style="background-color: black; color: white;">[ ]</span> 時間から Larson-Miller パラメータを設定している。</p> <p>(b) 炉心損傷進展に伴う炉心閉塞挙動</p> <p>上述のタイプ 3（冷却材流路が減少した状態）から炉心流路が閉塞するタイプ 4（冷却材流路が閉塞した状態）への遷移には、TMI 事故とのベンチマーク結果に基づき、炉心ノードの空隙率 0.1 で判定している。一方、MELCOR コードでは、炉心ノードの空隙率の最小値を 0.05 とした上で全閉塞しないモデルとしており、炉心閉塞モデルは MAAP コードの特徴である。</p> <p>[参考文献]</p> <ul style="list-style-type: none"> <li>[1] B. R. Sehgal, "NUCLEAR SAFETY IN LIGHT WATER REACTORS"</li> <li>[2] Electric Power Research Institute, "Modular Accident Analysis Program (MAAP) -MELCOR Crosswalk Phase 1 Study," November 2014</li> <li>[3] 電力中央研究所, MAAP5.01 及び MELCOR2.1 を用いた軽水炉代表プラントの過酷事故解析 平成 26 年 6 月</li> </ul> <div style="border: 1px solid black; padding: 5px; margin-top: 10px;"> <p>本資料のうち、枠囲みの内容は商業機密に属しますので公開できません。</p> </div>		

## 泊発電所3号炉 有効性評価 比較表

赤字：設備、運用又は体制の相違（設計方針の相違）  
 青字：記載箇所又は記載内容の相違（記載方針の相違）  
 緑字：記載表現、設備名称の相違（実質的な相違なし）

付録3 重大事故等対策の有効性評価に係るシビアアクシデント解析コードについて（第3部 MAAP コード）

女川原子力発電所2号炉	泊発電所3号炉	相違理由
<p>9. 指摘事項9（資料 No. MAAP-9）</p> <p>複雑かつ表面積の大きいセパレータ、ドライヤにおけるFP沈着の考え方（知見・検証・モデル化）およびミラーインシュ레이ターによる断熱効果の扱いについて説明すること。</p> <p>【回答】</p> <p>(1) セパレータ、ドライヤにおけるFP沈着について</p> <p>MAAPコードでは、原子炉圧力容器（RPV）内 FP の RPV 内構造物（ヒートシンク）への沈着は「(a) FP 蒸気の構造物表面への凝縮」「(b) FP エアロゾルの構造物への重力沈降」としてモデル化されている。これらの沈着率は、沈着面の等価沈着長さ（=FP の存在する RPV 内ノード体積／沈着面積）から求められ、この等価沈着長さが短くなると沈着率が大きくなる。</p> <p>(a) FP 蒸気の構造物表面への凝縮</p> <p>構造物の形状を考慮できるように、構造物の全表面積を沈着面積として等価沈着長さを算出するようモデル化されている。これにより、セパレータ、ドライヤといった複雑形状の構造物では、単純形状の構造物と比べて等価沈着長さが短くなる（沈着率が大きくなる）。</p> <p>(b) FP エアロゾルの構造物への重力沈降</p> <p>RPV 内構造物（ヒートシンク）の水平面の面積から等価沈着長さが算出されるようモデル化されている。</p> <p>MAAPコードのFPエアロゾルの沈着モデルの妥当性は ABCOVE 実験（4.2.8 参照）との比較により妥当性確認が行われており、FP蒸気の沈着モデルは CSE 実験<sup>[1]</sup>の知見に基づいている。</p> <p>(2) ミラーインシュ레이ターによる断熱効果について</p> <p>RPV 壁面のミラーインシュ레이ター（保温材）は、複数枚の層状の金属プレートによってモデル化されており、それぞれの金属プレートの表面温度から輻射熱伝達を計算し、最終的に RPV 外面から格納容器雰囲気への輻射熱伝達係数が求められる。また、RPV 本体と保温材のギャップ部等からの対流による格納容器雰囲気への熱伝達も考慮されており、ヒートシンクに沈着した FP の崩壊熱から格納容器雰囲気への伝熱は、RPV 外面温度及び格納容器雰囲気温度とともに、これらの輻射及び対流の熱伝達を考慮して計算される。</p>		

## 泊発電所 3号炉 有効性評価 比較表

付録3 重大事故等対策の有効性評価に係るシビアアクシデント解析コードについて（第3部 MAAP コード）

赤字：設備、運用又は体制の相違（設計方針の相違）  
 青字：記載箇所又は記載内容の相違（記載方針の相違）  
 緑字：記載表現、設備名称の相違（実質的な相違なし）

女川原子力発電所 2号炉	泊発電所 3号炉	相違理由
 別図 3-9-1 ミラーインシュレーター（保温材）の概要図		

## [参考文献]

- [1] R. K. Hilliard and L. F. Coleman. "Natural Transport Effects on Fission Product Behavior in the Containment Systems Experiments". BNWL-1457, December, 1970.

## 泊発電所3号炉 有効性評価 比較表

付録3 重大事故等対策の有効性評価に係るシビアアクシデント解析コードについて（第3部 MAAP コード）

赤字：設備、運用又は体制の相違（設計方針の相違）  
 青字：記載箇所又は記載内容の相違（記載方針の相違）  
 緑字：記載表現、設備名称の相違（実質的な相違なし）

女川原子力発電所2号炉	泊発電所3号炉	相違理由
<p>10. 指摘事項 10（資料 No. MAAP-10）</p> <p>実験解析におけるジャンクションの設定値の決め方について説明するとともに、実機における設定値の決め方について考え方を説明すること。</p> <p>【回答】</p> <p>MAAP コードでは、原子炉圧力容器、原子炉格納容器及び原子炉建屋をノードと呼ばれる領域で分割しており、これら各領域間を結合するために、ジャンクションと呼ばれる流体の流れを評価できるモデルを用いて評価している。このうち、原子炉圧力容器内や逃がし安全弁による原子炉圧力容器から原子炉格納容器への流路などは、MAAP コードにて個別にモデル化されている。ここでは、原子炉格納容器及び原子炉建屋におけるジャンクションについて説明を行う</p> <p>(1) ジャンクションの設定値について</p> <p>ジャンクションは、原子炉格納容器や原子炉建屋のノード間の流体の移動を考慮する場合に設定し、気体及び液体の流れを評価する。これらジャンクションを介した流量は、気体では圧力差及び密度差、液体では圧力差及び密度差に加えて水頭差による駆動力と流動抵抗が釣り合うように求められる。ジャンクション内に水位が形成されると、気相、液相それぞれで流体の流れを評価する。ここでは代表して、気体の流れについて説明する。気体の流れについては、以下の式(1)によって流量を計算する。</p> $K W^{n-1} W = P_1 - P_2 + \rho_2 g(Z_2 + L - Z_1) \quad (1)$ <p>K: ジャンクションの流動抵抗  <math>(n=2</math> のとき <math>1/m\cdot kg</math>, <math>n=1</math> のとき <math>1/m\cdot s</math>)</p> <p>W: ジャンクションの流量 (<math>kg/s</math>)</p> <p>n: 流動状態に依存した乗数 (-)</p> <p>P: ノード圧力 (Pa)</p> <p><math>\rho</math>: ノード内の気相密度 (<math>kg/m^3</math>)</p> <p>g: 重力加速度 (<math>m/s^2</math>)</p> <p>Z: ジャンクションの接続高さ (m)</p> <p>L: ジャンクション長さ (m)</p> <p>ジャンクションに関連する入力として以下を与えることとなる。</p> <ul style="list-style-type: none"> <li>・流れ方向（「水平」、「垂直」）</li> <li>・接続位置（接続高さ <math>Z</math>）</li> <li>・開口部形状（幅 <math>X_b</math>、高さ <math>X_h</math>）</li> <li>・長さ <math>L</math></li> <li>・流路面積 <math>A</math></li> </ul>		

## 泊発電所3号炉 有効性評価 比較表

付録3 重大事故等対策の有効性評価に係るシビアアクシデント解析コードについて（第3部 MAAP コード）

赤字：設備、運用又は体制の相違（設計方針の相違）  
 青字：記載箇所又は記載内容の相違（記載方針の相違）  
 緑字：記載表現、設備名称の相違（実質的な相違なし）

女川原子力発電所2号炉	泊発電所3号炉	相違理由
<p>なお、流れ方向を「水平」と選択した場合は、接続位置がノード間で同じとなり、また、ジャンクション長さは評価に使用されないため、右辺第三項は0となる。</p> <p>実機におけるノード分割では、壁などに囲まれた物理区画を模擬したノード（区画）として設定し、吹き抜けや扉などの開口部を模擬したジャンクションを組み合わせ、同じ特徴を有する空間を集約することを基本にして設定している。別図3-10-1に実機におけるジャンクションの設定例を示す。</p> <p>入力については、実機の設計情報に基づいて与えている。ジャンクションの入力の与え方の一例として、別図3-10-1に○で示した、ペデスタルからドライウェルへの開口部を模擬したジャンクションの入力の設定方法について以下に述べる。</p> <p>この開口部はペデスタルからドライウェルに繋がる水平の流路となっているため、流れ方向を水平とする。ペデスタルの床から、開口部下端までの高さを接続高さとして入力するが、水平ジャンクションの場合は、先述した通り式(1)で使用している項は0となる。開口部は矩形であり、実際の形状からジャンクションの幅、高さを与える。この開口部が貫通するペデスタル壁の厚みをジャンクションの長さとして与えるが、水平ジャンクションの場合は、先述した通り評価には使用されない。さらに、開口部の面積をジャンクションの流路面積として与え、これらの入力に基づき、式(1)によってジャンクションの流量が評価される。</p> <p>なお、ジャンクションの流動抵抗 <math>K</math>については、MAAPの実験解析から導出されたものではなく、一般的な知見<sup>(1)</sup>に従っているものである。通常の流れにおいては、流動状態に依存した乗数 <math>n</math> は2となり、この場合の流動抵抗は以下の式から算出される。</p>  <p>(2) (3)</p> <p>本資料のうち、枠囲みの内容は商業機密に属しますので公開できません。</p>		

## 泊発電所 3号炉 有効性評価 比較表

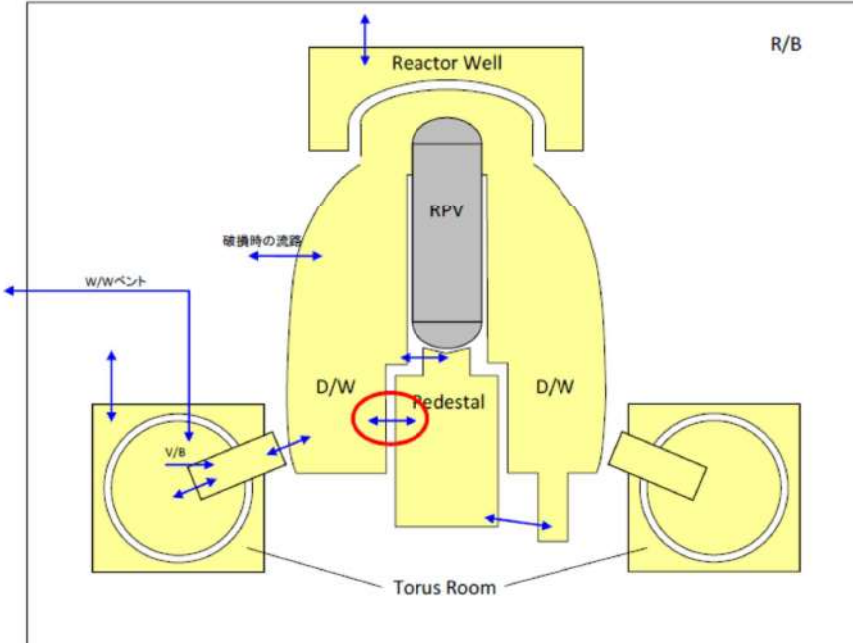
付録3 重大事故等対策の有効性評価に係るシビアアクシデント解析コードについて（第3部 MAAP コード）

赤字：設備、運用又は体制の相違（設計方針の相違）  
 青字：記載箇所又は記載内容の相違（記載方針の相違）  
 緑字：記載表現、設備名称の相違（実質的な相違なし）

女川原子力発電所 2号炉	泊発電所 3号炉	相違理由
<p>ここで、<math>w</math>は理想気体を仮定したモデルによる流量であり、以下の式(4)によって求められる。</p>  <p>(4)</p> <p>ここで、である。</p> <p>また、対向置換流※が発生するような場合には<math>n</math>を1として、このときの流動抵抗<math>K</math>は以下の式(5)で与えられる。</p>  <p>(5)</p> <p>※：密度差のある場合の流れの現象を考慮したもの。差圧の小さな2つの区画の間に大きな開口部があるような状況において、重い相が流路の下方から軽い相側に流れ、軽い相を押すと、圧力のバランスをとるために、軽い相の一部が重い相の上部から逆に流れ込むような状態を想定している。</p> <p>本資料のうち、枠囲みの内容は商業機密に属しますので公開できません。</p> <p>(2)実験解析によるジャンクションの模擬について          CSTF 実験解析（4.2.4章）においても実機と同様の考え方に基づき、上部区画全体、遮へい壁と燃料取替キャビティより外側となる下部区画、及び燃料交換キャビティにノード分割し、アイスコンデンサ下部扉、漏えいパス及び再循環ファン流路等をジャンクションとして設定している。これらのジャンク</p>		

付録3 重大事故等対策の有効性評価に係るシビアアクシデント解析コードについて（第3部 MAAP コード）

赤字：設備、運用又は体制の相違（設計方針の相違）  
 青字：記載箇所又は記載内容の相違（記載方針の相違）  
 緑字：記載表現、設備名称の相違（実質的な相違なし）

女川原子力発電所 2号炉	泊発電所 3号炉	相違理由
<p>ションの入力についても実験装置の形状に従って入力を与えている。本実験解析に用いたノード分割数やジャンクションの数は有効性評価における実機解析と同等であるが、実験解析結果は実験結果をよく再現している。</p> <p>なお、HDR 実験解析（4.2.3 章）では、壁に囲まれた複数の区画を有する格納容器を模擬するためにノード分割数が多くなっているが、ノード分割やジャンクションの設定は基本的に実機と同様の考え方に基づいており、このような複雑な体系においても、実験結果はよく再現されている。</p> <p>[参考文献]</p> <p>[1]機械工学便覧基礎編 流体工学（日本機械学会）</p>  <p>別図 3-10-1 MAAP ノード分割図の例（図 3.3-6）</p>		

## 泊発電所 3号炉 有効性評価 比較表

赤字：設備、運用又は体制の相違（設計方針の相違）  
 青字：記載箇所又は記載内容の相違（記載方針の相違）  
 緑字：記載表現、設備名称の相違（実質的な相違なし）

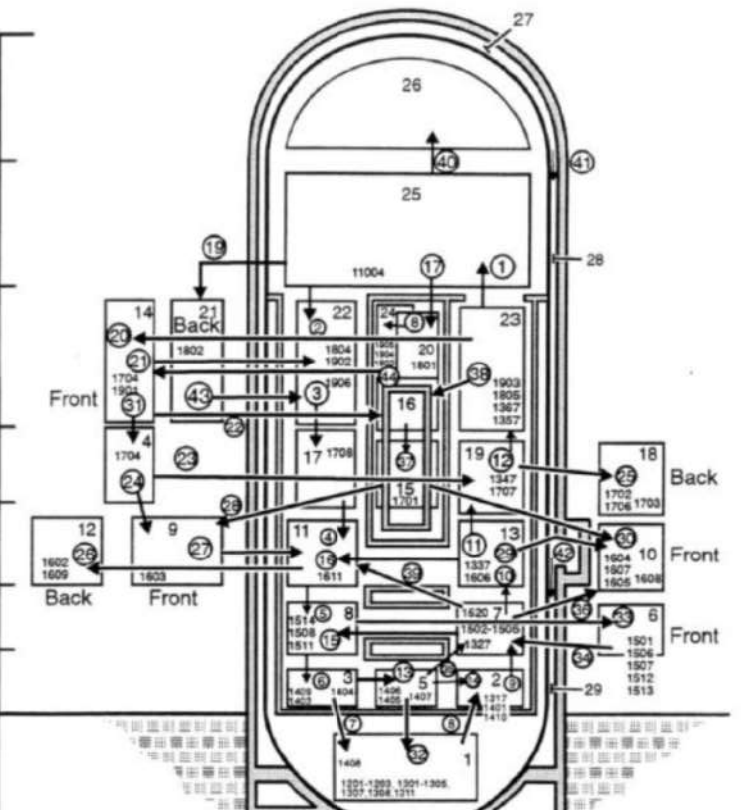
付録3 重大事故等対策の有効性評価に係るシビアアクシデント解析コードについて（第3部 MAAP コード）

女川原子力発電所 2号炉	泊発電所 3号炉	相違理由
<p>出典：MAAP4 User's Manual,EPRI</p> <p>別図 3-10-2 CSTF 実験ベンチマーク解析 MAAP ノード分割（図 4.2-30）</p>		

泊発電所 3号炉 有効性評価 比較表

赤字：設備、運用又は体制の相違（設計方針の相違）  
 青字：記載箇所又は記載内容の相違（記載方針の相違）  
 緑字：記載表現、設備名称の相違（実質的な相違なし）

付録3 重大事故等対策の有効性評価に係るシビアアクシデント解析コードについて（第3部 MAAP コード）

女川原子力発電所 2号炉	泊発電所 3号炉	相違理由
 <p>出典：MAAP4 User's Manual, EPRI</p>		

泊発電所 3号炉 有効性評価 比較表

付録3 重大事故等対策の有効性評価に係るシビアアクシデント解析コードについて（添付1 高圧溶融物放出／格納容器雰囲気直接加熱の防止について）

女川原子力発電所2号炉	泊発電所3号炉	相違理由
添付1  高压溶融物放出／格納容器雰囲気直接加熱の防止について  1. まえがき 2. 現象の概要 3. 不確かさに関する整理  4. 感度解析と評価 4.1 パラメータ感度解析 5. まとめ 付録1 Surry型原子炉下部キャビティの1/42スケール実験	添付1  高压溶融物放出／格納容器雰囲気直接加熱の防止について  1. まえがき 2. 現象の概要 3. 不確かさに関する整理  4. 感度解析と評価 4.1 パラメータ感度解析 5. まとめ 添付1-1 Surry型原子炉下部キャビティの1/42スケール実験 添付1-2 1次冷却材圧力が2.0MPa[gage]近傍にて停滞する現象について	※3. は女川相当となるよう記載を追記（比較表「MAAP追加事項」参照）  記載内容の相違 ・PWRでは1次冷却系強制減圧開始から原子炉容器破損までの間、1次冷却材圧力が2.0MPa[gage]近傍で停滞する挙動が見られるため、蓄圧注入水の蒸発による1次冷却材圧力バランス維持のメカニズムについて整理した  ※女川の付録2、3相当の資料を新規作成（比較表「MAAP追加事項」参照）
付録2 溶融炉心と上面水プールとの間の伝熱の感度解析条件に用いる係数の妥当性 付録3 溶融デブリと原子炉圧力容器間の熱伝達におけるギャップ冷却について	添付1-3 溶融炉心と上面水プールとの間の伝熱の感度解析条件に用いる係数の妥当性 添付1-4 溶融デブリと原子炉容器の熱伝達におけるギャップ冷却	

泊発電所3号炉 有効性評価 比較表

付録3 重大事故等対策の有効性評価に係るシビアアクシデント解析コードについて（添付1 高圧溶融物放出／格納容器雰囲気直接加熱の防止について）

女川原子力発電所2号炉	泊発電所3号炉	相違理由
<p>1. まえがき</p> <p>高压溶融物放出（HPME : High Pressure Melt Ejection、以下「HPME」という。）／格納容器雰囲気直接加熱（DCH : Direct Containment Heating、以下「DCH」という。）の防止に関して、解析モデルに関する不確かさの整理を行い、感度解析により有効性評価への影響を確認した。</p>	<p>1 まえがき</p> <p>高压溶融物放出（HPME : High Pressure Melt Ejection、以下、HPMEと称す。）／格納容器雰囲気直接加熱（DCH : Direct Containment Heating、以下、DCHと称す。）の防止に関して、解析モデルに関する不確かさの整理を行い、感度解析により有効性評価への影響を確認した。</p>	

泊発電所 3号炉 有効性評価 比較表

付録3 重大事故等対策の有効性評価に係るシビアアクシデント解析コードについて（添付1 高圧溶融物放出／格納容器雰囲気直接加熱の防止について）

女川原子力発電所2号炉	泊発電所 3号炉	相違理由
<p><b>2. 現象の概要</b></p> <p>溶融炉心が原子炉圧力容器下部プレナムに落下し、原子炉が高圧の状態で、原子炉圧力容器下部ヘッドが破損すると、溶融炉心が破損口から噴出し、その後、高速のガス流によって、溶融炉心が微粒子化して原子炉格納容器内に飛散放出されるため、原子炉格納容器内雰囲気を直接加熱し、格納容器圧力及び温度が急上昇する。</p> <p>溶融炉心の飛散は、高圧条件下で溶融炉心が原子炉圧力容器外に噴出される場合に発生するが、その圧力にはしきい値があり、原子炉を減圧させることにより、溶融炉心の飛散を抑制あるいは緩和できることが知られている（付録1参照）。そこで、BWRプラントでは、HPME/DCH発生の防止のための対策として、逃がし安全弁を手動で開放することにより原子炉圧力を2.0MPa[gage]以下まで減圧させることとしており、その効果が重大事故等対策の有効性評価において確認できる。</p>	<p><b>2 現象の概要</b></p> <p>溶融炉心が原子炉容器下部プレナムに落下し、1次冷却材圧力が高圧の状態で、原子炉容器下部ヘッドが破損すると、溶融炉心が破損口から噴出し、その後、高速のガス流によって、溶融炉心が微粒子化して原子炉格納容器内に分散放出されるため、原子炉格納容器内雰囲気を直接加熱し、原子炉格納容器圧力及び温度が急上昇する。さらに、溶融炉心の中に存在する金属成分が水と反応して水素ガスが発生し、さらに水素燃焼を伴うことによっても原子炉格納容器の加圧が促進される。</p> <p>本事象においては、米国において主としてPWRについて研究が行われており、実験研究において、原子炉格納容器区画内の内部構造物には溶融炉心を捕捉する効果があること、放出された溶融炉心の粒子径は小さいため、原子炉格納容器空間に移行する前に多くの保有熱を原子炉下部キャビティ等の雰囲気に伝達することがわかっている。また、実験データに基づいて作成されたDCHモデルによるPWRプラントの解析により、DCHによる原子炉格納容器破損の可能性は低いことが示されている。このことから、大型ドライ原子炉格納容器を有するプラントについては、HPME/DCHの原子炉格納容器健全性に対する脅威は小さいと結論付けている（NUREG/CR-6338）。</p> <p>溶融炉心の分散放出は、高圧条件下で溶融炉心が1次冷却系外に噴出される場合に発生するが、その圧力には閾値（しきい値）があり、1次冷却系を減圧させることにより、溶融炉心の飛散を抑制あるいは緩和できることが知られている（添付1-1参照）。そこで、国内PWRプラントでは、HPME/DCH発生の防止のための対策として、炉心損傷検知後、速やかに加圧器逃がし弁を手動開放し、1次冷却系の圧力を2.0 MPa[gage]以下まで減圧させることとしており、その効果が重大事故対策の有効性評価において確認できる。</p>	

泊発電所 3号炉 有効性評価 比較表

付録3 重大事故等対策の有効性評価に係るシビアアクシデント解析コードについて（添付1 高圧溶融物放出／格納容器雰囲気直接加熱の防止について）

女川原子力発電所2号炉	泊発電所 3号炉	相違理由
<p>3. 不確かさに関する整理</p> <p>格納容器破損防止対策の有効性評価においては、HPME/DCH 発生防止策の有効性を評価するために原子炉圧力が高く維持されるシーケンスを選定し、逃がし安全弁による手動開放により、溶融炉心の飛散が生じないとされている原子炉圧力約 2.0 MPa[gage]以下まで減圧できることを示している。</p> <p>本事故シーケンスにて想定する事象進展を図3-1に示す。また、本シーケンスにおけるBWR 5, Mark-I 改良型格納容器プラントの原子炉圧力の応答例を図3-2に示す。事象発生時には炉心は冠水状態にあるが、給水喪失、逃がし安全弁からの冷却材流出により炉水位が低下し、事象発生から約1.1時間後に逃がし安全弁2弁により原子炉の減圧を行う。炉心燃料や構造材は溶融を開始し、溶融プールを形成しつつ、溶融炉心は炉心部下方へ落下する。約2.9時間後に溶融炉心が炉心支持板から下部プレナムへ落下し始め、溶融炉心と冷却材の相互作用（原子炉圧力容器内FCI）により発生した水蒸気により原子炉圧力容器内は加圧されるが、逃がし安全弁は2弁開維持されているため、速やかに減圧する。約4.3時間後に原子炉圧力容器が破損に至るが、この時原子炉圧力は約0.4MPa[gage]であり、2.0MPa[gage]を大きく下回っている。原子炉圧力容器破損後は、格納容器圧力と均圧する。</p> <p>なお、原子炉内構造材は共晶体を形成し、燃料ペレットより低い融点で溶融することから、溶融炉心に先行して炉心下部にリロケーションする可能性が考えられるが<sup>[1]</sup>、下部プレナムには冷却材が存在することから、早期に溶融した金属成分は炉心下部で固化すると考えられる。しかし、事象が進展し、溶融炉心が下部プレナムにリロケーションする場合には、金属成分は下部プレナムでの溶融プール形成過程で再溶融して取り込まれると考えられることから、原子炉内構造物が先行溶融したとしても、原子炉圧力容器破損のタイミングが大きく変わることはないと見える。</p> <p>上記の事象進展において、原子炉圧力容器の破損時点での原子炉圧力に影響する要因としては、①原子炉の減圧挙動、②原子炉圧力の上昇に係る物理挙動、③原子炉圧力容器の破損時期が挙げられる。原子炉の減圧挙動については、逃がし安全弁による原子炉の減圧操作を実施することから、逃がし安全弁による原子炉圧力変化の不確かさの影響を受ける可能性がある。原子炉圧力の上昇に係る物理挙動としては、原子炉内での蒸気及び非凝縮性ガスの発生による加圧が考えられる。原子炉圧力容器破損前に、これらの物理挙動の影響が顕著に現れる下部プレナムでの溶融炉心と冷却材の相互作用について、不確かさの影響を確認する。原子炉圧力容器の破損時期に関しては、原子炉圧力容器の破損時期が早まることで、破損時の原子炉圧力が高くなる可能性があるため、その不確かさの影響を確認する。</p> <p>以上を踏まえて、次の項目について不確かさを整理する。</p> <ul style="list-style-type: none"> <li>・逃がし安全弁による原子炉圧力変化</li> <li>・下部プレナム部での溶融炉心と冷却材の相互作用（原子炉圧力容器内FCI）</li> </ul>	<p>3 不確かさに関する整理</p> <p>実験等による知見から、溶融炉心の分散放出が無視できる1次冷却材圧力は約2.0 MPa[gage]と評価される。一方、原子炉容器破損時の1次冷却材圧力には不確かさがあると考えられる。</p> <p>HPME/DCH 防止の有効性を評価するに当たって、評価事故シーケンスとしては、1次冷却系が高圧条件である「外部電源喪失時に非常用所内交流電源が喪失し、補助給水機能が喪失する事故」を選定し、加圧器逃がし弁の手動開放により、溶融炉心の飛散が生じないとされている1次冷却材圧力約2.0 MPa[gage] 以下まで減圧できることを示している。</p> <p>本評価事故シーケンスにて想定する事象進展を図3-1に示す。泊3号炉の1次冷却材圧力の応答は図3-2に示すとおりであり、約3.3時間に1次冷却系強制減圧（加圧器逃がし弁手動開放）を行い、その後は、蓄圧タンク圧力（4.04 MPa[gage]）以下まで減圧した時点で、蓄圧注入が開始され、蓄圧タンク圧力とともに緩やかに低下する。約5.4時間で溶融炉心が下部プレナムへ落下し始め、溶融炉心と冷却水の相互作用（原子炉容器内FCI）により発生した水蒸気により過渡的に加圧されるが、加圧器逃がし弁は開放されており、速やかに減圧する。約8.0時間後に原子炉容器が破損に至るが、この時原子炉圧力は1.4 MPa[gage]であり、原子炉容器破損後は、原子炉格納容器圧力と均圧する。</p> <p>上記の事象進展において、原子炉容器破損の時点での1次冷却材圧力に影響する要因としては、</p> <ul style="list-style-type: none"> <li>・加圧器逃がし弁及び蓄圧タンクによる圧力変化</li> <li>・下部プレナム部での溶融炉心と冷却水の相互作用（原子炉容器内FCI）</li> </ul>	

泊発電所3号炉 有効性評価 比較表

付録3 重大事故等対策の有効性評価に係るシビアアクシデント解析コードについて（添付1 高圧溶融物放出／格納容器雰囲気直接加熱の防止について）

女川原子力発電所2号炉	泊発電所3号炉	相違理由
<p>・原子炉圧力容器の破損時期</p> <p>HPME/DCH の不確かさを確認するために、上記項目に係る影響因子を図 3-3 及び表 3-1 にまとめます。</p> <p>(1) 逃がし安全弁による原子炉圧力変化</p> <p>逃がし安全弁による原子炉の減圧挙動は、逃がし安全弁の容量、開放時の質量流量により決まる。弁容量は、プラント設計として設計圧力及び質量流量（気相）が定まっているため、設計圧力に近い高圧での弁質量流量の不確かさは小さい。</p> <p>原子炉圧力 2.0MPa[gage]以上では、逃がし安全弁から放出されるガス単相流は臨界流になることから、低圧での弁質量流量の不確かさについては、臨界流に着目し、以下のとおり整理する。</p> <p>原子炉減圧時、逃がし安全弁からはガス単相が放出される。ガス単相流の臨界流現象は、次のように説明できる。</p> <p>原子炉圧力容器の圧力 <math>P_1</math> と逃がし安全弁からの放出先の圧力 <math>P_2</math> に対して、質量流量 <math>G</math> は以下のように表すことができる。ここで、<math>\rho_1</math> は圧力 <math>P_1</math> での流体の密度、<math>\kappa</math> は比熱比を示す。</p> $\sigma = \sqrt{\frac{2\kappa}{\kappa-1} P_1 \rho_1} \sqrt{\left(\frac{P_2}{P_1}\right)^{2/\kappa} - \left(\frac{P_2}{P_1}\right)^{(\kappa+1)/\kappa}}$ <p>臨界状態では、背圧 <math>P_2</math> が低下しても質量流量が一定であることから、<math>\delta G / \delta P_2 = 0</math> より、</p> $\frac{P_c}{P_1} = \left(\frac{2}{\kappa+1}\right)^{\kappa/(\kappa-1)}$ <p>となり、臨界流量 <math>G_c</math> と臨界流速 <math>U_c</math> は以下となる。</p> $G_c = \sqrt{\kappa P_c \rho_c}$ $U_c = \sqrt{\frac{\partial P}{\partial \rho}}$	<p>・原子炉容器の破損時期</p> <p>であり、それぞれについて不確かさの整理を行う。また、表 3-1 に原子炉容器破損時 1 次冷却材圧力（DCH 防止）の不確かさに関する整理結果を示す。図 3-3 に以下について整理した流れ図を示す。</p> <p>(1) 加圧器逃がし弁及び蓄圧タンクによる圧力変化</p> <p>加圧器逃がし弁による減圧挙動そのものは、加圧器逃がし弁の容量、開放時の質量流量により決まる。弁容量は、プラント設計として設計圧力及び質量流量（気相）が定まっているが、その設計値に基づく値となるようコード内で弁口径が調整されるため、設計圧力に近い高圧での弁質量流量の不確かさは小さい。低圧での弁質量流量の不確かさについて以下のとおり整理する。</p> <p>ここで、1 次冷却系強制減圧時点では加圧器内の保有水量がある程度減少していることから、気相単相での放出となる。気相単相の臨界流現象は、相変化を伴わない現象であるため、下記のように表すことができる。</p> $G^2 = \left( \frac{2\gamma}{\gamma-1} \frac{P_0}{V_0} \right) \left\{ \left( \frac{P_b}{P_0} \right)^{\frac{2}{\gamma}} - \left( \frac{P_b}{P_0} \right)^{\frac{\gamma+1}{\gamma}} \right\}$ <p>臨界状態では、背圧 <math>P_b</math> が低下しても質量流量が一定であることから、<math>\cdot G / \cdot P_b = 0</math> より、</p> $\frac{P_c}{P_0} = \left( \frac{2}{\gamma+1} \right)^{\frac{\gamma}{\gamma-1}}$ <p>となり、臨界質量流束 <math>G_c</math> は以下となる。<sup>1</sup></p> $G_c^2 = \left( \frac{\gamma P_0}{V_0} \right) \left( \frac{2}{\gamma+1} \right)^{\frac{\gamma+1}{\gamma-1}}$ <p><math>G_c</math> : 臨界質量流束  <math>P_0</math> : 上流側流体の圧力  <math>P_b</math> : 背圧  <math>P_c</math> : 臨界点の圧力  <math>V_0</math> : 上流側流体の比体積（密度の逆数）  <math>\cdot</math> : ポリトロープ指数</p>	

泊発電所3号炉 有効性評価 比較表

付録3 重大事故等対策の有効性評価に係るシビアアクシデント解析コードについて（添付1 高圧溶融物放出／格納容器雰囲気直接加熱の防止について）

女川原子力発電所2号炉	泊発電所3号炉	相違理由
<p>MAAPに組み込まれている臨界流モデル（Henry-Fauske モデル）においても、蒸気単相の場合は上式が使用されている。</p> <p>図3-4にHenry-Fauske モデルでの圧力対臨界流量の計算結果を実験と比較した結果を示す。図3-4に示すとおり、この式で計算された臨界流量は実験と良く一致しており<sup>[3]</sup>、不確かさは小さい。</p> <p>したがって、蒸気単相流の弁質量流量の不確かさは小さいと言える。</p> <p>(2) 下部プレナム部での溶融炉心と冷却材の相互作用（原子炉圧力容器内FCI）</p> <p>下部プレナム部での原子炉圧力容器内FCIは、細粒化した溶融炉心（デブリ粒子）により下部プレナム部に存在する冷却材が加熱され、急速な水蒸気発生により、原子炉圧力容器内の圧力上昇（圧力スパイク）を引き起こす現象である。冷却材の状態、溶融炉心の状態及びこれらの相互作用として分けて考えることから、不確かさの要因は以下に分けて考える。</p> <ul style="list-style-type: none"> <li>・下部プレナム部の冷却材の状態</li> <li>・溶融炉心の落下量及び粒子化</li> <li>・冷却材とデブリ粒子との伝熱</li> </ul> <p>a. 下部プレナム部の冷却材の状態（サブクール度、水位）</p> <p>原子炉圧力容器内FCIによる水蒸気発生のし易さは冷却材のサブクール度に依存するが、逃がし安全弁開放により原子炉は減圧沸騰するため、下部プレナム部の冷却材は飽和水である。したがって、水蒸気発生のし易さの観点では、不確かさは小さいといえる。</p> <p>また、原子炉内の冷却材の量に関しては、評価事故シーケンスでは原子炉注水に失敗するため、冷却材の変動要因は、崩壊熱と原子炉減圧に伴う減少のみであり、解析モデルは、一般的な質量及びエネルギー保存則に基づいていたため、不確かさは小さいといえる。</p>	<p>Henry-Fauske のモデルにおいても、蒸気単相の場合は上式が使用されている（Henry-Fauske のモデルのクオリティに1を代入すると上式となる）。図3-4は、Henry-Fauske モデルでの圧力対臨界流量の計算結果を実験と比較した結果を示している（着目している気相単相領域を丸で囲っている）。図3-4に示されるとおり、この式で計算された臨界流量は実験と良く一致しており<sup>2</sup>、不確かさは小さい。したがって、蒸気単相流の弁質量流量の不確かさは小さいと言える。</p> <p>以上より、質量流量について不確かさは小さいと考えられるが、原子炉容器破損時の1次冷却材圧力に影響を与えることから、<u>加圧器逃がし弁の質量流量の感度を確認する</u>。</p> <p>蓄圧タンクによる注入開始後の圧力挙動は、蓄圧タンク内圧と1次冷却材圧力の差圧に基づき計算される注入流量と状態方程式により求められる蓄圧タンク内圧によるものであり、蓄圧タンクの条件はプラント設計に基づき決定されるため、注入流量の不確かさは小さいと考えられるが、原子炉容器破損時の1次冷却材圧力に影響を与えることから、<u>蓄圧注入の圧力損失の感度を確認する</u>。</p> <p>(2) 下部プレナム部での溶融炉心と冷却水の相互作用（原子炉容器内FCI）<sup>3</sup></p> <p>下部プレナム部でのFCIは、細粒化した溶融炉心（デブリ粒子）により下部プレナム残存水が加熱される際に水蒸気が発生し、圧力上昇（圧力スパイク）を引き起こす現象であり、冷却水の状態、溶融炉心の状態及びこれらの相互作用として分けて考えることができることから、不確かさの要因として、</p> <ul style="list-style-type: none"> <li>・冷却水の状態</li> <li>・溶融炉心の落下速度と細粒化量</li> <li>・冷却水とデブリ粒子の伝熱</li> </ul> <p>に分けて考える。</p> <p><sup>1</sup>日本原子力学会 热流动部会編、気液二相流の数値計算、朝倉書店、1993年  <sup>2</sup>R. E. Henry and H. K. Fauske, "The Two-Phase Critical Flow of One-Component Mixtures in Nozzles, Orifices and Short Tubes," J. Heat Transfer, Trans. ASME, 1971  <sup>3</sup>添付3 溶融炉心と冷却水の相互作用について</p> <p><u>冷却水の状態</u></p> <p>原子炉容器内FCIによる水蒸気発生のし易さは水のサブクール度に依存し、加圧器逃がし弁開放後に1次冷却系が減圧する過程では減圧沸騰しており飽和水である。したがって、水蒸気発生のし易さの観点では、不確かさは小さいと言える。</p> <p>また、下部プレナム部の冷却水の量に関しては、1次冷却材の減圧沸騰に伴う減少と蓄圧注入による増加の結果であり、解析モデルは、一般的な質量及びエネルギー保存則に基づいており、不確かさは小さいと言える。</p>	

泊発電所3号炉 有効性評価 比較表

付録3 重大事故等対策の有効性評価に係るシビアアクシデント解析コードについて（添付1 高圧溶融物放出／格納容器雰囲気直接加熱の防止について）

女川原子力発電所2号炉	泊発電所3号炉	相違理由
<p><u>b. 溶融炉心の落下量及び粒子化（溶融落下流量、溶融ジェット径、溶融炉心粒子化割合）</u></p> <p>溶融炉心が下部ブレナムに落下する際の急激な水蒸気発生は、溶融炉心と水の接触面積に依存するため、その要因となる以下について、それぞれの観点で検討する。</p> <ul style="list-style-type: none"> <li>・溶融落下流量</li> <li>・溶融ジェット径</li> <li>・溶融炉心粒子化割合</li> </ul> <p>なお、上記に加えて「デブリ粒子径」についても接触面積に影響する要因であるが、冷却材とデブリ粒子の伝熱の観点で検討する。</p> <p>(a) 溶融落下流量</p> <p>溶融炉心の下部ブレナムへの落下は、溶融炉心のリロケーションにより炉心支持板にまで拡がった溶融プールを保持している溶融プールのクラストが融解し、溶融炉心が炉心支持板の開口部を通って下部ブレナムへ落下していく過程であり、粒子化割合が一定で落下流量が大きい場合には、落下時の水蒸気発生量が増加し、圧力スパイクが大きくなる。下部ブレナムへの溶融落下流量は、炉心部溶融デブリの下方への落下流量を最大として、炉心支持板の開口面積が小さい場合には開口面積に応じた落下流量に制限される。これに対し、解析モデルでは、溶融落下流量は、炉心支持板の開口面積には依存せず、炉心部の溶融デブリの下方ノードへの落下流量により計算される。リロケーション時の落下流量は、炉心部のデブリの溶融挙動に依存し、不確かさが存在する。MAAPでは溶融落下流量に対して直接感度を与えることができないため、溶融落下流量に影響のあるパラメータとして、燃料ペレットが崩壊する時間及び温度を選定して、感度解析を実施する。</p> <p>(b) 溶融ジェット径</p> <p>溶融炉心の下部ブレナムへの落下は、溶融炉心のリロケーションにより炉心支持板にまで拡がった溶融プールを保持している溶融プールのクラストが融解し、溶融炉心が炉心支持板の開口部を通って下部ブレナムへ落下する過程である。これに対し、解析モデルでは、ノード単位でクラストの融解を取り扱い、溶融ジェット径は、炉心支持板の開口部の面積の等価直径相当を入力条件として与えたものから計算される。したがって、実現象では解析よりも溶融ジェット径が小さい場合を考えられる。この観点で不確かさが存在し、溶融ジェット径により、溶融炉心と水の接触面積が左右され、水蒸気発生の観点で影響があることから、溶融ジェット径の感度を確認する。</p> <p>(c) 溶融炉心粒子化割合</p> <p>溶融炉心が冷却材に落下する際に、エントレインにより溶融炉心の一部が細粒化する。細粒化量に関して、MAAPでは、Ricou-Spalding式で評価される。Ricou-Spalding式は、エントレインメント量（細粒化量）を流入流体の速度（ジェット速度）と両流体の密度比に関連させたモデルであり、液液混合問題において広く利用されている相関式である。落下する炉心溶</p>	<p><u>溶融炉心の落下速度と細粒化量</u></p> <p>溶融炉心が下部ブレナムに落下する際の急激な水蒸気発生は、溶融炉心と水の接触のし易さ（=接触面積）に依存する。即ち、</p> <ul style="list-style-type: none"> <li>・溶融ジェットの落下径</li> <li>・デブリ粒子の生成割合</li> </ul> <p>である。以下、それぞれの観点で検討する。なお、上記に加えて「デブリ粒子の径」についても接触面積に影響する要因であるが、冷却水とデブリ粒子の伝熱の観点で検討する。</p> <p>a. 溶融ジェットの落下径</p> <p>溶融炉心の下部ブレナムへの落下は、物理現象としては、溶融炉心のリロケーションにより下部炉心支持板の上部に堆積した溶融炉心のクラストが融解し、そこから溶融炉心が下部炉心支持板の開口部を通って下部ブレナムへ落下する過程である。これに対し、解析モデルでは、ノード単位でクラストの融解を取り扱い、溶融ジェットの落下径は、下部炉心支持板の開口部の面積を等価直径として入力条件として与えたものから計算される。したがって、実現象では解析よりも溶融ジェットの落下径が小さい場合を考えられる。この観点で不確かさが存在し、溶融ジェットの落下径により、溶融炉心と水の接触面積が左右され、水蒸気発生の点で影響があることから、溶融ジェット径の感度を確認する必要がある。</p> <p>b. デブリ粒子の生成割合</p> <p>溶融炉心が冷却水に落下する際に、エントレインにより溶融炉心の一部が細粒化する。このときの細粒化量（細粒化速度）について、MAAPコードでは、Ricou-Spaldingの式により計算を行う。Ricou-Spaldingモデルは、エントレイン量（細粒化量）を流入流体の速度（ジ</p>	<p>※PWRは「(7) 燃料ペレットが崩壊する時間及び温度」にて感度解析を実施</p>

泊発電所3号炉 有効性評価 比較表

付録3 重大事故等対策の有効性評価に係るシビアアクシデント解析コードについて（添付1 高圧溶融物放出／格納容器雰囲気直接加熱の防止について）

女川原子力発電所2号炉	泊発電所3号炉	相違理由
<p>融物は円柱ジェットで冷却材中に突入することを想定し、円柱ジェット外周部の侵食として粒子化割合を評価している。円柱ジェットのエントレイン速度 (m/s) は、次式で与えている。</p> $m_{ent} = E_o \left( \frac{\rho_w}{\rho_{dj}} \right)^{1/2} u_{dj} \quad (1)$ <p>ここで、 <math>E_o</math> : エントレインメント係数  <math>u_{dj}</math> : ジェット速度 [m/s]  <math>\rho_{dj}</math> : ジェット密度 [kg/m³]  <math>\rho_w</math> : 水密度 [kg/m³]</p> <p>水中でのジェット速度を一定と仮定し、水面から垂直方向に積分すると、プール底部（水深； <math>\Delta H_{pool}</math>）におけるジェット直径が(2)式のように得られる。</p> $d_{dj} = d_{dj,o} - 2E_o \left( \frac{\rho_w}{\rho_{dj}} \right)^{1/2} \Delta H_{pool} \quad (2)$ <p>(2)式を用いて、溶融ジェット断面の減少分が粒子化割合であるため、粒子化割合 <math>\Phi_{ent}</math> は次式のように計算される。</p> $\Phi_{ent} = \frac{d_{dj,o}^2 - d_{dj}^2}{d_{dj,o}^2} \quad (3)$ <p>以上の評価式において、デブリ粒子化割合に影響するパラメータは、エントレインメント係数、溶融ジェット径、圧力（わずかではあるが水の密度に影響）及びプール水深である。このうち溶融ジェット径については前項により感度を確認する。また、下部プレナム水位（水量）は、不確かさが小さいと考えられる。</p> <p>エントレインメント係数については、MAAPでは代表的なFCIの大規模実験であるFARO 実験に対するベンチマーク解析によってその設定値及び不確かさ範囲を設定しており、推奨範囲は、<span style="border: 1px solid black; padding: 2px;"> </span>、<span style="border: 1px solid black; padding: 2px;"> </span>となっているため、粒子化量の不確かさとしてエントレインメント係数の感度を確認する。FARO 実験条件は、水プールの水深は 0.87~2.05m、水プールのサブクール度は飽和~124K、雰囲気圧力条件は 2~5.8MPa（高圧条件）、0.2~0.5MPa（低圧条件）の範囲で行われており、一方、実機条件では、下部プレナムの水位は 2~3m 程度、原子炉圧力容器内の冷却材は飽和温度、雰囲気圧力は 0.4MPa[gage]程度であることを考慮すると、実験条件是有効性評価解析の特徴的な条件をおおむね包絡しており、ベンチマーク解析で検討された範囲で感度を確認すれば十分と言える。</p> <p style="border: 1px solid black; padding: 5px;">本資料のうち、枠囲みの内容は商業機密に属しますので公開できません。</p>	<p>エントレインメント係数）と両流体の密度比に関連させたモデルであり、液一液混合問題において広く利用されている相關式である。</p> <p>MAAPコードでは、Ricou-Spalding の式の比例係数であるエントレインメント係数について、FCIの大規模実験に対するベンチマーク解析によって、その範囲を設定しており、有効性評価の解析ではその最確値を設定している。したがって、エントレインメント係数には不確かさが存在すると考えられることから、<u>エントレインメント係数に関して感度を確認する。</u></p>	<span style="color: red;">※B</span> のエントレインメント係数は「第3部MAAP添付2-4 (2)」で記載

泊発電所3号炉 有効性評価 比較表

付録3 重大事故等対策の有効性評価に係るシビアアクシデント解析コードについて（添付1 高圧溶融物放出／格納容器雰囲気直接加熱の防止について）

女川原子力発電所2号炉	泊発電所3号炉	相違理由
<p>c. 冷却材とデブリ粒子との伝熱</p> <p>水中にエントレインされた高温のデブリ粒子は、その周囲を蒸気膜が覆う状態となり、デブリ粒子の熱伝達は膜沸騰熱伝達と輻射熱伝達に支配される。MAAPでは、エントレインメントしたデブリ粒子の温度を、これら熱伝達を考慮した機構論的モデルにより計算する。また、デブリ粒子から水への伝熱は、デブリ粒子の径に直接依存する。MAAPでは、デブリ粒子径はジェットの表面張力に依存するモデルにより計算される。デブリ粒子径の導出式には、粒子径ファクタ（モデルパラメータ）が乗じられている。</p> <p>デブリ粒子ファクタについては、MAAPでは代表的なFCIの大規模実験である FARO 実験に対するベンチマーク解析によってその設定値及び不確かさ範囲を設定しており、推奨範囲は <span style="border: 1px solid black; padding: 2px;">  </span> となっているため、デブリ粒子の伝熱の不確かさは粒子径の不確かさとして考慮する。FARO 実験条件は、水プールの水深は 0.87～2.05m、水プールのサブクール度は飽和～124K、雰囲気圧力条件は 2～5.8MPa（高圧条件）、0.2～0.5MPa（低圧条件）の範囲で行われており、一方、実機条件では、下部プレナムの水位は 2～3m 程度、原子炉圧力容器内の冷却材は飽和温度、雰囲気圧力は 0.4MPa[gage]程度であり、実験条件は有効性解析の特徴的な条件をおおむね包絡しており、ベンチマーク解析で検討された範囲で感度を確認すれば十分と言える。</p> <p>(3) 原子炉圧力容器の破損時期</p> <p>HPME/DCH 防止の観点では、原子炉圧力容器が破損する時点では、逃がし安全弁の開放により原子炉圧力が 2.0MPa[gage]を下回っていれば達成されると見える。原子炉減圧挙動については、(1)で考察済みであり、ここでは原子炉圧力容器が破損する時間について考える。原子炉圧力容器の破損が早まる場合には、その時点での原子炉圧力が 2.0MPa[gage]を超えた状態となる可能性がある。</p> <p>原子炉圧力容器が破損する時期に關係する物理現象としては、炉心溶融進展や溶融炉心のリロケーションがある。炉心水位の低下及びジルコニウム-水反応により炉心上部からヒートアップして燃料被覆管や燃料が溶融して下部へ移動し、そこで冷却されてクラストを形成する。あるいは、燃料被覆管が損傷すると燃料ペレットが崩壊して堆積する。その後、クラストや堆積した燃料ペレットが溶融し、溶融領域が拡大する。その際、原子炉内構造材の一部が溶融プールの中に溶け込む。さらに、溶融プールのクラストが破損し、溶融炉心が下部プレナムへ移行する。MAAPではこれらの物理現象を詳細に模擬しているが、現象自体に不確かさが存在する。原子炉圧力容器の破損時期に間接的に影響を与える要因としては、炉心ヒートアップ、炉心崩壊挙動、溶融炉心の伝熱が挙げられる。MAAPでは原子炉圧力容器の破損モードとして、制御棒駆動機構ハウジング溶接部の破損、計装配管、クリープ破損等の複数の破損形態を模擬している。有効性評価では制御棒駆動機構ハウジングの溶接部の破損が最初に発生するため、それ以外の破損形態を仮定することは原子炉圧力容器の破損を遅らせる方向となる。ここでは制御棒駆動機構ハウジング溶接部の破損に関する不確かさに着目し、感度解析を実施する。これらの不確かさ要因について以下のとおり検討する。</p> <p style="border: 1px solid black; padding: 2px;">本資料のうち、枠囲みの内容は商業機密に属しますので公開できません。</p>	<p>冷却水とデブリ粒子の伝熱</p> <p>水中にエントレインされたデブリ粒子は、高温かつ崩壊熱による発熱状態にあり、周囲の水が膜沸騰となることから、デブリ粒子自体は蒸気膜に覆われた状態である。</p> <p>MAAPコードでは、水中にエントレインされたデブリ粒子と水との伝熱は蒸気膜に覆われた粒子の熱伝達（膜沸騰熱伝達と輻射熱伝達）に関する相関式で表される。ここで、デブリ粒子と水との伝熱はデブリ粒子の数とデブリ粒子の径に依存する。</p> <p>前述のとおり、溶融炉心のエントレイン量は、Ricou-Spalding の式により計算され、デブリ粒子の数はデブリ粒子の径により計算されることから、デブリ粒子の径がキーパラメータである。有効性評価の解析では、デブリ粒子の径を、(<math>U_0</math> 及び <math>ZrO_2</math>) を用いた FCI の大規模実験に基づき設定していることから妥当であると考えるが、解析において設定したデブリ粒子の径は、FCI の大規模実験での平均的な値であり、実験ケースによってばらつきが存在している。したがって、この観点で不確かさが存在することから、<u>デブリ粒子の径の感度を確認する。</u></p> <p>(3) 原子炉容器破損時期</p> <p>DCH 防止の観点では、原子炉容器が破損する時点で、加圧器逃がし弁の開放により 1 次冷却材圧力が 2.0MPa[gage]を下回っていれば達成されると見える。減圧挙動については、(1)で考察済みであり、ここでは原子炉容器が破損する時間について考える。原子炉容器の破損が早まる場合には、その時点での 1 次冷却系の圧力が 2.0MPa[gage]を超えた状態となる可能性がある。</p> <p>原子炉容器が破損する時期に關係する物理現象としては、炉心溶融進展や溶融炉心のリロケーションがある。炉心水位の低下及びジルコニウム-水反応により炉心上部からヒートアップして燃料被覆管や燃料が溶融して下部へ移動し、そこで冷却されてクラストを形成する。あるいは、燃料被覆管が損傷すると燃料ペレットが崩壊して堆積する。その後、クラストや堆積した燃料ペレットが溶融し、溶融領域が拡大する。その際、炉内構造材の一部が溶融プールの中に溶け込む。さらに、溶融プール下部のクラストが破損し、溶融炉心が下部プレナムへ移行する。この間、1 次冷却系強制減圧によって蓄圧タンク水が炉心に断続的に注入される。MAAPコードではこれらの物理現象を詳細に模擬しているが、現象自体に不確かさが存在し、今後も更なる知見の拡充が必要となる。原子炉容器破損時期に間接的に影響を与える要因としては、炉心ヒートアップ、炉心崩壊挙動、溶融炉心の伝熱が挙げられる。</p> <p>MAAPコードでは原子炉容器の破損は、計装用案内管溶接部の破損、クリープ破損等の複数の破損形態を模擬している。有効性評価では計装用案内管溶接部の破損が最初に発生するため、それ以外の破損形態を仮定することは原子炉容器破損を遅らせる方向となる。ここでは計装用案内管溶接部の破損に関する不確かさに着目し、感度解析を実施する。</p> <p>これらの不確かさ要因について以下のとおり検討する。</p>	

泊発電所3号炉 有効性評価 比較表

付録3 重大事故等対策の有効性評価に係るシビアアクシデント解析コードについて（添付1 高圧溶融物放出／格納容器雰囲気直接加熱の防止について）

女川原子力発電所2号炉	泊発電所3号炉	相違理由
<p><b>a. 炉心ヒートアップ</b></p> <p>炉心水位が低下すると、燃料表面からの除熱が低下し崩壊熱によって炉心がヒートアップする。その際、燃料被覆管温度が上昇すると崩壊熱にジルコニウムー水反応による酸化反応熱が加わりヒートアップが加速される。また、炉心ヒートアップの過程で燃料棒内が加圧され燃料被覆管バーストが発生し、更に酸化反応を促進させる可能性がある。これらの挙動は原子炉圧力容器の破損時期に影響を与えるため、炉心ヒートアップ速度に関する感度解析を実施する。しかしながら、MAAPでは炉心ヒートアップ速度に対して直接感度を与えることができないため、炉心ヒートアップ速度に直接影響のあるパラメータとして、ジルコニウムー水反応速度を選定した。</p>	<p><b>炉心ヒートアップ</b></p> <p>炉心水位が低下すると、燃料表面からの除熱が低下し崩壊熱によって炉心がヒートアップする。その際、燃料被覆管温度が上昇すると崩壊熱にジルコニウムー水反応による酸化反応熱が加わりヒートアップが加速される。また、炉心ヒートアップの過程で燃料棒内が加圧され燃料被覆管バーストが発生し、さらに酸化反応を促進させる可能性がある。これらの挙動は原子炉容器破損時期に影響を与えるため、<u>炉心ヒートアップ速度に関する感度解析を実施する</u>。</p> <p>しかしながら、MAAPコードでは炉心ヒートアップ速度に対して直接感度を与えることができないため、炉心ヒートアップ速度に直接影響のあるパラメータとして、ジルコニウムー水反応速度を選定した。工学的判断から、不確かさとして2倍を考慮し、感度解析を実施する。</p>	
<p><b>b. 炉心崩壊挙動</b></p> <p>炉心がヒートアップすると、燃料棒の体系から、燃料ペレットが崩壊した状態となる。燃料ペレットが崩壊すると、燃料棒体系の場合に比べて水蒸気による冷却が困難となり、溶融状態へ至る事象進展が早くなる。燃料棒の体系から燃料ペレットが崩壊した状態に移行する時間や温度には不確かさが存在することから、燃料ペレットが崩壊する時間及び温度に関する感度解析を実施する。本感度解析は、溶融落下流量の感度解析の感度パラメータと同じであることから、溶融落下流量の感度解析とともに実施する。</p>	<p><b>炉心崩壊挙動</b></p> <p>炉心がヒートアップすると、燃料棒の体系から、燃料ペレットが崩壊した状態となる。燃料ペレットが崩壊すると、燃料棒体系の場合に比べて水蒸気による冷却が困難となり、溶融状態へ至る事象進展が早くなる。燃料棒の体系から燃料ペレットが崩壊した状態に移行する時間や温度には不確かさが存在することから、<u>燃料ペレットが崩壊する時間及び温度に関する感度解析を実施する</u>。</p>	
<p><b>c. 溶融炉心と上面水プールとの伝熱</b></p> <p>溶融炉心が下部ブレナムに堆積し、上面が水プールで覆われる状況では、溶融炉心は冷却され、そのときの熱流束は限界熱流束で制限される。</p> <p>MAAPでは、下部ブレナムに落下した溶融炉心について、上部に金属層が形成される成層化状態を模擬し、また溶融プールは周囲にクラストを形成することを模擬している。金属層は上面水プールが透過しにくいと考えられることから、金属層の下部に位置する溶融炉心の冷却における伝熱には不確かさがあり、MAAPではこの不確かさを示すパラメータとして限界熱流束に乗じられた感度係数を設定することができる。</p> <p>感度係数については、MAAPでは不確かさ解析等の知見[4]から □～□ の範囲での設定が想定されており、その範囲の中間値がデフォルトとして設定されている（付録2参照）。感度係数が小さい場合には、溶融炉心が冷却されにくくなり、原子炉圧力容器破損へ至る事象進展も早くなる。したがって、下部ブレナム内の溶融炉心と上面水プールとの間の伝熱に関する感度解析を実施する。</p>	<p><b>溶融炉心と上面水プールとの伝熱</b></p> <p>溶融炉心が下部ブレナムに堆積し、上面が水プールで覆われる状況では、溶融炉心は冷却され、そのときの熱流束は限界熱流束で制限される。限界熱流束には不確かさがあり、これが小さい場合には、溶融炉心が冷却されにくくなり、原子炉容器破損へ至る事象進展も早くなる。したがって、<u>下部ブレナム内の溶融炉心と上面水プールとの間の限界熱流束に関する感度解析を実施する</u>。</p>	
<p>本資料のうち、枠囲みの内容は商業機密に属しますので公開できません。</p>		

泊発電所3号炉 有効性評価 比較表

付録3 重大事故等対策の有効性評価に係るシビアアクシデント解析コードについて（添付1 高圧溶融物放出／格納容器雰囲気直接加熱の防止について）

女川原子力発電所2号炉	泊発電所3号炉	相違理由
<p><b>d. 溶融炉心と原子炉圧力容器間の熱伝達</b></p> <p>溶融炉心が下部プレナムに堆積し原子炉圧力容器との間にギャップが生じている状況では、そのギャップに水が浸入するため溶融炉心が冷却され、そのときの熱流束は限界熱流束で制限される。この現象は実験的に確認されているものの、溶融炉心重量が多い場合にはギャップ幅が小さくなり、気液対向流現象によりギャップに十分な水が流れ込まないことも報告されている<sup>4)</sup>。また、制御棒駆動機構ガイドチューブ等の貫通部及びその溶接部を持つ体系での実験はこれまでなされていない。このように、ギャップによる冷却には不確かさがあり、これが小さい場合には、溶融炉心が冷却されにくくなり、原子炉圧力容器破損へ至る事象進展も早くなる。したがって、下部プレナム内の溶融炉心とのギャップでの除熱量に関する感度解析を実施する。</p>	<p><b>溶融炉心と原子炉容器間の熱伝達</b></p> <p>溶融炉心が下部プレナムに堆積し原子炉容器との間にギャップが生じている状況では、そのギャップに水が浸入するため溶融炉心が冷却され、そのときの熱流束は限界熱流束で制限される。この現象は実験的に確認されているものの、溶融炉心重量が多い場合にはギャップ幅が小さくなり、気液対向流現象によりギャップに十分な水が流れ込まないことも報告されている<sup>4)</sup>。また、計装用案内管等の貫通部及びその溶接部を持つ体系での実験はこれまでなされていない。このように、ギャップによる冷却には不確かさがあり、これが小さい場合には、溶融炉心が冷却されにくくなり、原子炉容器破損へいたる事象進展も早くなる。したがって、<u>下部プレナム内の溶融炉心とギャップに浸入した水との間の限界熱流束に関する感度解析を実施する。</u></p>	
<p><b>e. 原子炉圧力容器の破損判定</b></p> <p>制御棒駆動機構ハウジング溶接部の破損については、せん断応力による判定とひずみによる判定を併用している。せん断応力による判定では、データに基づく温度依存の限界せん断応力との比較によって破損判定を行っており、不確かさは小さいと判断している。一方、ひずみによる判定では、破損時の最大ひずみをインプットとして与え、これとの比較によって破損判定を行っている。したがって、溶接部破損時の最大ひずみに関する感度解析を実施する。</p>	<p><b>原子炉容器破損判定</b></p> <p>計装用案内管溶接部の破損については、せん断応力による判定と歪みによる判定を併用している。せん断応力による判定では、データに基づく温度依存の限界せん断応力との比較によって破損判定を行っており、不確かさは小さいと判断している。一方、歪みによる判定では、破損時の最大歪みをインプットとして与え、これとの比較によって破損判定を行っている。後者については不確かさがあると考えられ、<u>溶接部破損時の最大歪みに関する感度解析を実施する。</u></p>	

<sup>4)</sup> K. Kang, et, al., Experimental Investigations on In-Vessel Corium Retention through Inherent Gap Cooling Mechanisms, Journal of Nuclear Science and Technology, 2006

付録3 重大事故等対策の有効性評価に係るシビアアクシデント解析コードについて（添付1 高圧溶融物放出／格納容器旁開気直接加熱の防止について）

影響因子	実機での実現象	有効性評価上の取扱い	感度解析条件	
逃がし安全弁による原子炉圧力変化	逃がし安全弁によって、原子炉内冷却材が放出され、その過程において、原子炉圧力容器内で減圧沸騰が発生すると想定される。	原子炉内冷却材から二相状態まで適用可能な臨界界流モデル及び臨界流モデルに基づく質量流量を計算するモデルを使用して評価される。	臨界界流モデルとよく一致する。不確かさり、不確かさは小さく、感度解析不要	
下部ブレナム部の冷却材の状態	原子炉圧力の手動減圧によって、原子炉は減圧沸騰し、下部ブレナム部の冷却材は飽和状態を維持すると想定される。	一般的な質量及びエネルギー保存則に基づいて評価される。	減圧沸騰状態であり、不確かさは小さく、感度解析不要	
溶融落下流量	下部ブレナムへの溶融落下流量は、炉心部容融デブリの下方への落下水流	下部ブレナムへの溶融落下流量は、炉心部容融デブリの下方への落下水流により評価される。	燃料ベレットが崩壊する時間及び温度	
溶融ジェット径	溶融ブールのクラストが破損し、炉心支持板の開口部の開口部に沿って、溶融炉心が下部ブレナムに落下すると想定される。	溶融ジェット径は炉心支持板の開口部面積の等価直徑相当として入力。部分はジェットの表面近傍に限られると思われる。	溶融ジェット径は炉心支持板の開口部面積の等価直徑相当として入力。	
溶融炉心粒子化割合	溶融炉心粒子のうち、エントレインされる部分はジェットの表面近傍に限られると思われる。	逆円錐型の溶融ジェットに対するRicou-Spaldingの式によつて評価される。	エントレインメント係数	
冷却材とデブリ粒子の伝熱	デブリ粒子から水へ膜沸騰伝熱及び輻射伝熱から伝熱量が決まる。	デブリ粒子から水への膜沸騰伝熱及び輻射伝熱による熱流束によつて評価される。	デブリ粒子径	
女川原子力発電所2号炉				
影響因子	実機での実現象	解析上の取扱い	感度解析条件	
加圧器速がし弁による圧力変化	加圧器速がし弁によって、1次冷却材圧力が上昇され、その過程で1次冷却材系が減圧沸騰するると想定される。	加圧器速がし弁質量流量を計算するモデルを使用して評価される。	加圧器速がし弁質量流量（4、（1）にて感度解析実施）	
蓄圧タンクによる圧力変化	蓄圧タンク内に蓄圧タンク水が注入されたため、水蒸気発生によって1次冷却材圧力が上昇し、1次冷却材圧力が上昇すると蓄圧注入が停止することを繰り返すと想定される。	蓄圧タンク内圧と1次冷却材圧力の差圧に基づき計算される注入流量と状態方程式により求められる蓄圧タンク内圧によつて評価される。	蓄圧注入の圧力相殺（4、（2）にて感度解析実施）	
冷却水の状態	1次冷却系制御減圧によって、冷却水は減圧沸騰すると想定される。	一般的な質量及びエネルギー保存則に基づいて評価される。	減圧沸騰状態であり、不確かさは小さく、感度解析不要	
溶融ジェットの落下径	溶融炉心に蓄圧タンク水が注入されたため、下部ブレナムに落下すると想定される。	溶融炉心支持板の開口部に沿って、溶融炉心が下部ブレナムに落下すると想定される。	破損口径（4、（3）にて感度解析実施）	
デブリ粒子の生成割合	デブリジェット径が大きいため、水中に落下する溶融炉心の内、エントレインされる部分はジェットの表面近傍に限られると思定される。	逆円錐型のデブリジェットに対するRicou-Spalding相関式によつて評価される。	エントレインメント係数（4、（4）にて感度解析実施）	
冷却水とデブリ粒子の伝熱	デブリ粒子から水へ膜沸騰伝熱及び輻射伝熱から伝熱量が決まる。	デブリ粒子から水への膜沸騰伝熱及び輻射伝熱による熱流束によつて評価される。	デブリ粒子の径（4、（5）にて感度解析実施）	
泊発電所3号炉				
影響因子	実機での実現象	解析上の取扱い	感度解析条件	相違理由
加圧器速がし弁による圧力変化	加圧器速がし弁によって、1次冷却材圧力が上昇され、その過程で1次冷却材系が減圧沸騰するると想定される。	加圧器速がし弁質量流量を計算するモデルを使用して評価される。	加圧器速がし弁質量流量（4、（1）にて感度解析実施）	
蓄圧タンクによる圧力変化	蓄圧タンク内圧と1次冷却材圧力の差圧に基づき計算される注入流量と状態方程式により求められる蓄圧タンク内圧によつて評価される。	蓄圧タンク内圧と1次冷却材圧力の差圧に基づき計算される注入流量と状態方程式により求められる蓄圧タンク内圧によつて評価される。	蓄圧注入の圧力相殺（4、（2）にて感度解析実施）	
冷却水の状態	1次冷却系制御減圧によって、冷却水は減圧沸騰すると想定される。	一般的な質量及びエネルギー保存則に基づいて評価される。	減圧沸騰状態であり、不確かさは小さく、感度解析不要	
溶融ジェットの落下径	溶融炉心に蓄圧タンク水が注入されたため、下部ブレナムに落下すると想定される。	溶融炉心支持板の開口部に沿って、溶融炉心が下部ブレナムに落下すると想定される。	破損口径（4、（3）にて感度解析実施）	
デブリ粒子の生成割合	デブリジェット径が大きいため、水中に落下する溶融炉心の内、エントレインされる部分はジェットの表面近傍に限られると思定される。	逆円錐型のデブリジェットに対するRicou-Spalding相関式によつて評価される。	エントレインメント係数（4、（4）にて感度解析実施）	
冷却水とデブリ粒子の伝熱	デブリ粒子から水へ膜沸騰伝熱及び輻射伝熱から伝熱量が決まる。	デブリ粒子から水への膜沸騰伝熱及び輻射伝熱による熱流束によつて評価される。	デブリ粒子の径（4、（5）にて感度解析実施）	

表3-1 IPHE/DCH防止の不確かさに関する整理結果（1/2）

表3-1 DCH防止の不確かさに関する整理結果（1/2）

影響因子	実機での実現象	解析上の取扱い	感度解析条件
加圧器速がし弁による圧力変化	加圧器速がし弁によって、1次冷却材圧力が上昇され、その過程で1次冷却材系が減圧沸騰するると想定される。	加圧器速がし弁質量流量を計算するモデルを使用して評価される。	加圧器速がし弁質量流量（4、（1）にて感度解析実施）
蓄圧タンクによる圧力変化	蓄圧タンク内圧と1次冷却材圧力の差圧に基づき計算される注入流量と状態方程式により求められる蓄圧タンク内圧によつて評価される。	蓄圧タンク内圧と1次冷却材圧力の差圧に基づき計算される注入流量と状態方程式により求められる蓄圧タンク内圧によつて評価される。	蓄圧注入の圧力相殺（4、（2）にて感度解析実施）
冷却水の状態	1次冷却系制御減圧によって、冷却水は減圧沸騰すると想定される。	一般的な質量及びエネルギー保存則に基づいて評価される。	減圧沸騰状態であり、不確かさは小さく、感度解析不要
溶融ジェットの落下径	溶融炉心に蓄圧タンク水が注入されたため、下部ブレナムに落下すると想定される。	溶融炉心支持板の開口部に沿って、溶融炉心が下部ブレナムに落下すると想定される。	破損口径（4、（3）にて感度解析実施）
デブリ粒子の生成割合	デブリジェット径が大きいため、水中に落下する溶融炉心の内、エントレインされる部分はジェットの表面近傍に限られると思定される。	逆円錐型のデブリジェットに対するRicou-Spalding相関式によつて評価される。	エントレインメント係数（4、（4）にて感度解析実施）
冷却水とデブリ粒子の伝熱	デブリ粒子から水へ膜沸騰伝熱及び輻射伝熱から伝熱量が決まる。	デブリ粒子から水への膜沸騰伝熱及び輻射伝熱による熱流束によつて評価される。	デブリ粒子の径（4、（5）にて感度解析実施）

赤字：設備、運用又は体制の相違（設計方針の相違）  
 青字：記載箇所又は記載内容の相違（記載方針の相違）  
 緑字：記載表現、設備名称の相違（実質的な相違なし）

付録3 重大事故等対策の有効性評価に係るシビアアクシデント解析コードについて（添付1 高圧溶融物放出／格納容器雰囲気直接加熱の防止について）

影響因子	実験での実現象	有効性評価上の取扱い	感度解析条件		相違理由
			炉心露出状態において崩壊熱及び燃料被覆管酸化反応によって炉心の温度が上昇する」と想定される。	炉心露出状態において崩壊熱及び燃料被覆管酸化反応によって炉心の温度が上昇する」と想定される。	
炉心崩壊挙動	燃料被覆管が酸化反応によって脆化し、燃料ベレットが崩壊して流路に堆積すると想定される。	燃料被覆管が崩壊した状態として評価される。	燃料ベレットが崩壊する時間及び温度	燃料ベレットが崩壊する時間及び温度	
溶融炉心と上面水ブールとの伝熱	溶融ブール、クラスト、金属層の上に粒子ベッドが堆積するが、原子炉内への注水に失敗することから、粒子ベッドはいずれ溶融すると想定される。	溶融炉心と上面水ブールとの伝熱にによって評価される。	限界熱流束に係る係数	限界熱流束に係る係数	
溶融炉心と原子炉圧力容器間の熱伝達	原子炉圧力容器がクリープしているため、溶融炉心の下部クラストと原子炉圧力容器の間にギャップが生じ、そのギャップに水が浸入して冷却されると、浸入量は限られるため、原子炉圧力容器はいずれ破損すると想定される。	溶融炉心と原子炉圧力容器の間のギャップまでの除熱量に係る係数を入力。	下部ブレナムギャップ除熱量に係る係数	溶接部破損時の最大ひずみ	
原子炉圧力容器破損判定	貫通部のせん断応力、貫通部のひずみ、原子炉圧力容器本体のクリープ破損判定基準に対する割合等から原子炉圧力容器破損が評価される。	貫通部のせん断応力、貫通部のひずみ、原子炉圧力容器本体のクリープ破損すると想定される。	溶接部破損時の最大ひずみ	溶接部破損時の最大ひずみ	

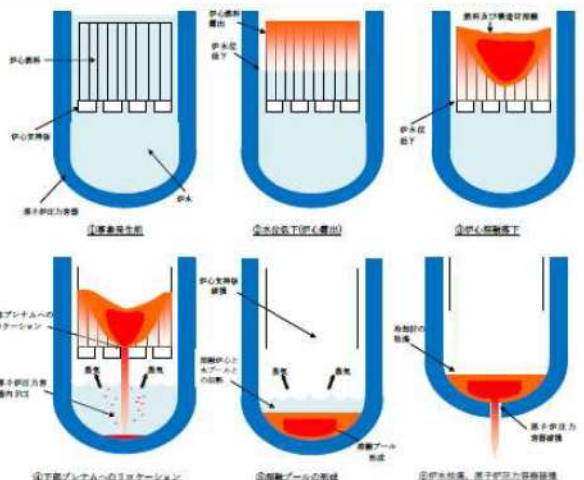
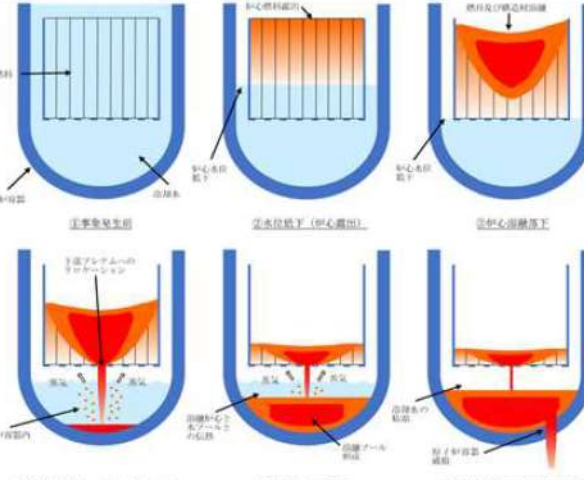
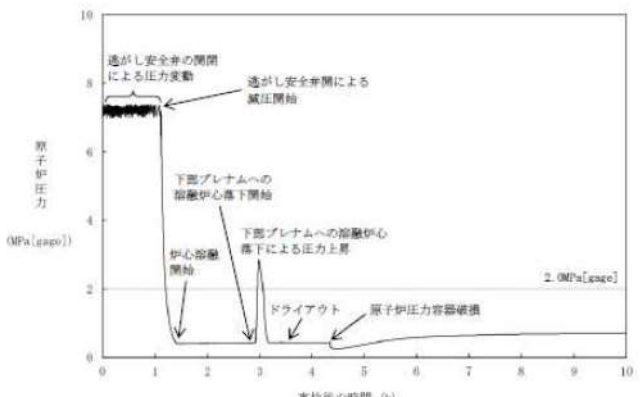
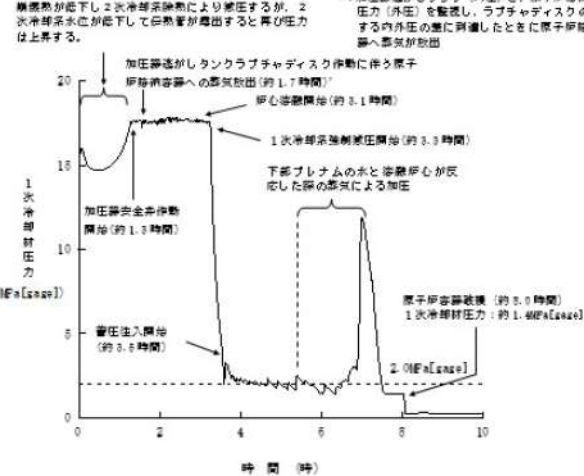
  

影響因子	実験での実現象	解析上の取扱い	感度解析条件		相違理由
			炉心露出状態において、崩壊熱及び燃料被覆管酸化反応によって炉心の温度が上昇する」と想定される。	炉心露出状態において、崩壊熱及び燃料被覆管酸化反応によって炉心の温度が上昇する」と想定される。	
炉心ヒートアップ	燃料被覆管が酸化反応によって脆化し、燃料ベレットが崩壊して流路に堆積すると想定される。	燃料ベレットが崩壊した状態として評価される。	ジルコニウム一水反応速度	ジルコニウム一水反応速度	
炉心崩壊挙動	溶融ブール、クラスト、金属層の上に粒子ベッドが堆積し、蓄圧注入水が断続的に炉心に注入されるものの、注入量は限られるため、粒子ベッドはいずれ溶融すると想定される。	炉心の温度履歴に応じて、燃料ベレットが崩壊した状態として評価される。	ベレット崩壊時間及び温度	ベレット崩壊時間及び温度	
溶融炉心と上面水ブールとの伝熱	原子炉容器がクリープしているため、溶融炉心の下部クラストと原子炉容器の間にギャップが生じ、そのギャップに水が浸入して冷却されるが、注入量は限られるため、原子炉容器はいずれ破損すると想定される。	溶融炉心と原子炉容器の間のギャップでの限界熱流束に係る係数	下部ブレナムギャップ除熱量に係る係数	溶接部破損時の最大ひずみ	
原子炉容器破損判定	貫通部のせん断応力、貫通部のひずみ、原子炉容器本体のクリープ損傷割合が破損すると想定される。	貫通部のせん断応力、貫通部のひずみ、原子炉容器本体のクリープ損傷割合が破損すると想定される。	(4, (10) にて感度解析実施)	(4, (10) にて感度解析実施)	

表3-1 DCH防止の不確かさに関する整理結果（2/2）

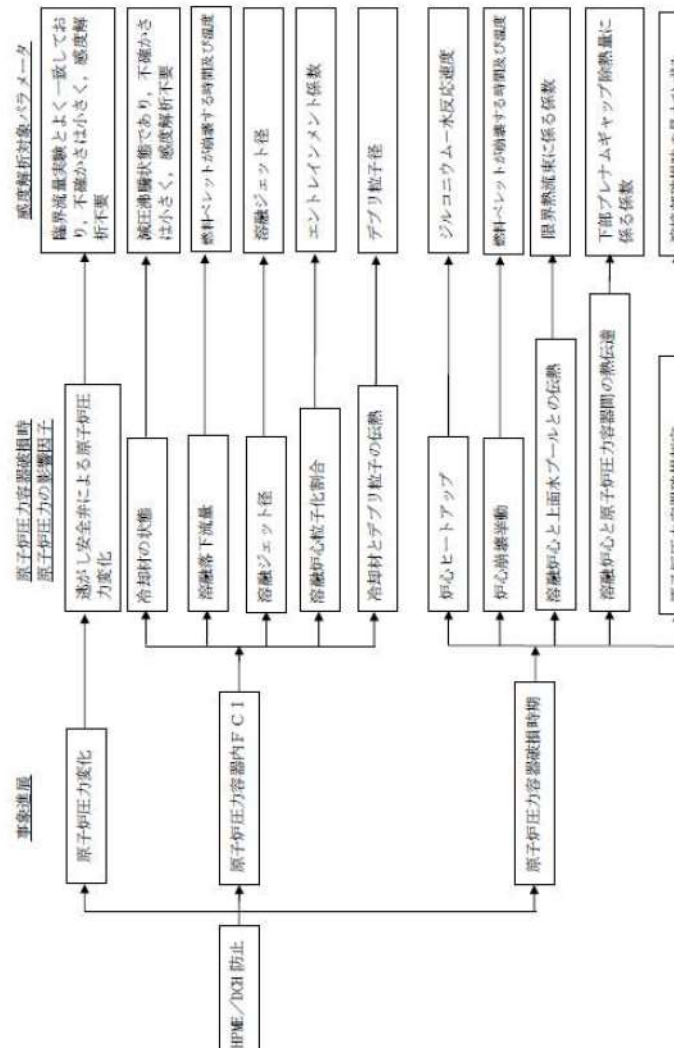
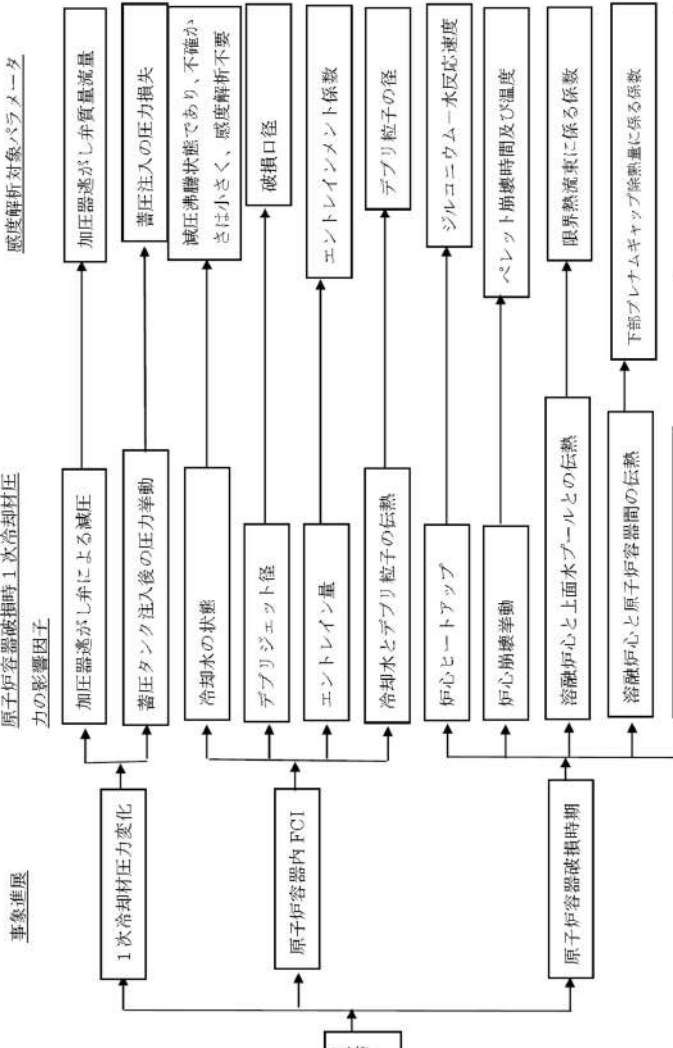
表3-1 DCH防止の不確かさに関する整理結果（2/2）

付録3 重大事故等対策の有効性評価に係るシビアアクシデント解析コードについて（添付1 高圧溶融物放出／格納容器雰囲気直接加熱の防止について）

女川原子力発電所2号炉	泊発電所3号炉	相違理由
		
<p>図3-1 HPME/DCH防止の有効性評価において想定する事象</p>	<p>図3-1 HPME/DCH防止の有効性評価において想定する事象</p>	
		<p>*：加圧蒸発がしタンク（内圧）と、原子炉貯水槽圧力（外圧）を監視し、ラブチャディスクの作動する内外圧の差に到達したときに原子炉貯水槽へ蒸気が放出</p>
<p>図3-2 原子炉圧力の挙動</p>	<p>図3-2 「全交流動力電源喪失+補助給水失敗」における1次冷却材圧力の推移</p>	

赤字：設備、運用又は体制の相違（設計方針の相違）  
 青字：記載箇所又は記載内容の相違（記載方針の相違）  
 緑字：記載表現、設備名称の相違（実質的な相違なし）

付録3 重大事故等対策の有効性評価に係るシビアアクシデント解析コードについて（添付1 高圧溶融物放出／格納容器雰囲気直接加熱の防止について）

女川原子力発電所2号炉	泊発電所3号炉	相違理由
 <p>図3-3 HPME/DCH防止における不確かさに関する流れ図</p>	 <p>図3-3 HPME及びDCH防止における不確かさに関する流れ図</p>	

付録3 重大事故等対策の有効性評価に係るシビアアクシデント解析コードについて（添付1 高圧溶融物放出／格納容器雰囲気直接加熱の防止について）

女川原子力発電所2号炉	泊発電所3号炉	相違理由

図 3-4 Henry-Fauske モデルと実験の圧力対臨界流量の比較<sup>[3]</sup>

※：囲み部分は蒸気単相の実験結果との比較を示す。

図 3-4 Henry-Fauske モデルでの圧力対臨界流量と実験との比較

泊発電所3号炉 有効性評価 比較表

付録3 重大事故等対策の有効性評価に係るシビアアクシデント解析コードについて（添付1 高圧溶融物放出／格納容器雰囲気直接加熱の防止について）

女川原子力発電所2号炉	泊発電所3号炉	相違理由									
<p>4. 感度解析と評価</p> <p>4.1 パラメータ感度解析</p> <p>3章では、原子炉圧力容器の破損時点での原子炉圧力に影響する因子を表3-1にまとめた。これらの影響因子に係る不確かさは、主に溶融炉心の落下挙動及び他の物質との相互作用に起因するものであり、プラント型式には依存しないと考えられる。ここでは、代表プラントをBWR5, Mark-I改良型格納容器プラントとして、不確かさを評価するためのパラメータ感度解析を実施する。対象シーケンスは「高圧注水・減圧機能喪失（T QUX）」とする。</p>	<p>4 感度解析と評価</p> <p>4.1 パラメータ感度解析</p> <p>3章において抽出したパラメータに関して感度解析によりその影響程度を把握した。 感度解析のベースケースは、4ループプラントの「全交流動力電源喪失+補助給水失敗」である。</p> <p>(1) 加圧器逃がし弁の質量流量</p> <p><u>解析条件</u></p> <p>加圧器逃がし弁質量流量はプラント設計に基づき設定しているが、加圧器逃がし弁の質量流量は1次冷却系強制減圧時の1次冷却材圧力に影響を与えるため、感度を確認する。質量流量として、ベースケースでは設計値（下限値）を与えているが、感度を確認するために、設計値を上回る値として10%増を設定する。</p> <table border="1" style="width: 100%; border-collapse: collapse; text-align: center;"> <thead> <tr> <th style="width: 33%;">項目</th> <th style="width: 33%;">加圧器逃がし弁の質量流量</th> <th style="width: 33%;">設定根拠</th> </tr> </thead> <tbody> <tr> <td>ベースケース</td> <td>設計値（下限値）</td> <td>プラント設計に基づく値</td> </tr> <tr> <td>感度解析ケース</td> <td>設計値+10%</td> <td>プラント設計に基づく値の10%増</td> </tr> </tbody> </table> <p><u>解析結果</u></p> <p>図4-1-1～4-1-8に、加圧器逃がし弁の質量流量の感度解析結果を示す。</p> <p>ベースケースと感度解析ケースで、本パラメータの影響は加圧器逃がし弁による1次冷却系強制減圧開始以降に現れる。約3.3時間時点で、加圧器逃がし弁開による1次冷却系強制減圧により1次冷却材圧力は急減する。感度解析ケースでは、弁質量流量を増加させていることから、圧力の低下がより急峻になる。その結果、蓄圧注入系からの注入流量が増加することから、炉心が冷却される期間が長くなり、原子炉容器破損時刻はベースケースと比較して遅くなっている。原子炉容器破損時点での1次冷却材圧力については、ベースケースと同様に2.0MPa[gage]を下回っている。</p> <p>また、原子炉容器破損の損傷割合については、いずれのケースにおいても計装用案内管接部</p>	項目	加圧器逃がし弁の質量流量	設定根拠	ベースケース	設計値（下限値）	プラント設計に基づく値	感度解析ケース	設計値+10%	プラント設計に基づく値の10%増	<p>※PWR 固有のパラメータ</p>
項目	加圧器逃がし弁の質量流量	設定根拠									
ベースケース	設計値（下限値）	プラント設計に基づく値									
感度解析ケース	設計値+10%	プラント設計に基づく値の10%増									

泊発電所 3号炉 有効性評価 比較表

付録3 重大事故等対策の有効性評価に係るシビアアクシデント解析コードについて（添付1 高圧溶融物放出／格納容器雰囲気直接加熱の防止について）

女川原子力発電所2号炉	泊発電所 3号炉	相違理由
	<p>破損の損傷割合の方がクリープ破損の損傷割合よりも先に 1 に到達し、計装用案内管溶接部が破損していることがわかる。</p> <p>溶融炉心は、下部プレナムへの溶融物移動開始以降、下部プレナムに堆積し始める。また、このとき下部ヘッドの壁と溶融物の間のギャップ水による除熱が有効になる。下部プレナム水量は、溶融炉心からの伝熱により液相が蒸発し早期に水が無くなる状態（ドライアウト）に至り、ドライアウトと同時にギャップ水による除熱も無くなる。その後、原子炉容器の貫通部の溶接部が溶融炉心により加熱されることで原子炉容器表面温度が上昇し、原子炉容器破損に至る。</p> <p>図 4-1-4 に原子炉容器表面温度として破損ノードの表面温度を記載しており、破損した貫通部の位置は、下部プレナム内溶融炉心量が約 30t となる高さに相当する。これは、原子炉容器破損後に、破損口より低い位置の溶融炉心が下部プレナムに残留することからも確認できる。原子炉容器破損については、下部プレナム内の溶融炉心高さが破損位置に到達して以降、温度上昇が顕著となり、液相がドライアウトしていることと合わせて、原子炉容器壁破損個所の温度は上昇し、その結果、貫通部の破損割合が 1 となった時点で原子炉容器破損に至る。この現象は、以降の感度解析ケースにおいても同様である。</p> <p><u>評価</u></p> <p>加圧器逃がし弁の質量流量の 1 次冷却材圧力挙動に対する感度は小さく、その不確かさが有効性評価の結果に与える影響は小さいと言える。</p>	

泊発電所 3号炉 有効性評価 比較表

付録3 重大事故等対策の有効性評価に係るシビアアクシデント解析コードについて（添付1 高圧溶融物放出／格納容器雰囲気直接加熱の防止について）

女川原子力発電所2号炉	泊発電所3号炉	相違理由									
<p>(1) 溶融落下流量（燃料ペレットが崩壊する時間及び温度）</p> <p>a. 解析条件</p> <p>下部プレナムへの溶融落下流量は、炉心部溶融デブリの下方への落下流量に影響する。下部プレナムへの落下時の開口面積も落下流量に影響するが、開口面積としては、炉心支持板に存在する開口部の水力等価直径相当である□mが与えられている。実際には溶融進展は炉心領域によつて相違があり、炉心全体からのデブリの溶融落下が同時に発生しないことを考慮すると、□mより小さくなる可能性はあるものの、更に大きな漏えいが発生する可能性は低いと考えられる。なお、開口直径□mとした場合、開口面積と堆積デブリ圧力から決まる溶融落下流量は約600kg/s程度と推定されるが、この値はベースケースの溶融落下流量と同等である。</p> <p>ベースケースでは、炉心ノードの崩壊について、炉心ノード温度□Kと□時間の関係からLarson-Miller パラメータを設定しているが、感度解析では、更に炉心ノードの崩壊が早く進むことを想定し、炉心ノード温度□Kと□時間（あるいは□Kと□秒）からLarson-Miller パラメータを設定した場合の影響を確認する（表4-1 参照）。なお、実際には炉心ノードの温度履歴に応じて、炉心ノードが崩壊するまでの時間を計算している。</p> <p>表4-1 燃料ペレットが崩壊する時間及び温度の感度解析条件</p> <table border="1"> <thead> <tr> <th>項目</th><th>炉心ノード崩壊の パラメータ（炉心温度）</th><th>設定根拠</th></tr> </thead> <tbody> <tr> <td>ベースケース</td><td>□K</td><td>MAAP推奨範囲のノミナル値</td></tr> <tr> <td>感度解析ケース</td><td>□K</td><td>炉心ノードが崩壊する時間を早める ように設定</td></tr> </tbody> </table> <p>本資料のうち、枠組みの内容は 商業機密に属しますので公開で きません。</p> <p>b. 解析結果</p> <p>図4-1-1、図4-1-2、図4-1-3、図4-1-4、図4-1-5、図4-1-6、図4-1-7 及び図4-1-8に、燃料ペレットが崩壊する時間及び温度の感度解析結果を示す。本パラメータの影響は炉心露出以降の燃料溶融時に現れる。感度解析ケースにおいては、燃料ペレットの崩壊を判定する温度を低くしたこと、より早期に燃料ペレットの崩壊及び炉心溶融が進展する。感度解析ケースでは、リロケーション時の溶融落下流量が大きくなるのに伴い下部プレナムに落下する溶融炉心量の増加率も大きくなる（図4-1-6 参照）ため、圧力スパイクのピーク値もベースケースと比較してわずかに高くなっている。なお、溶融落下流量は、ベースケースではピーク値約850kg/sであるのに対して、感度解析ケースではピーク値約1160kg/sとなった。</p>	項目	炉心ノード崩壊の パラメータ（炉心温度）	設定根拠	ベースケース	□K	MAAP推奨範囲のノミナル値	感度解析ケース	□K	炉心ノードが崩壊する時間を早める ように設定		※PWRは(7)に記載
項目	炉心ノード崩壊の パラメータ（炉心温度）	設定根拠									
ベースケース	□K	MAAP推奨範囲のノミナル値									
感度解析ケース	□K	炉心ノードが崩壊する時間を早める ように設定									

泊発電所 3号炉 有効性評価 比較表

付録3 重大事故等対策の有効性評価に係るシビアアクシデント解析コードについて（添付1 高圧溶融物放出／格納容器雰囲気直接加熱の防止について）

女川原子力発電所 2号炉	泊発電所 3号炉	相違理由
<p>このように、溶融落下流量（炉心崩壊挙動）は圧力スパイクに感度があるものの、感度解析ケースにおいても、圧力スパイクにより原子炉圧力容器破損に至ることはなく、また、原子炉圧力容器の破損時点での原子炉圧力についても 2.0MPa[gage]を十分下回っている。</p> <p>c. 評価</p> <p>燃料ペレットが崩壊する時間及び温度の圧力スパイクに対する感度はわずかであり、原子炉圧力容器の破損時点での原子炉圧力に対する感度は小さいため、その不確かさが有効性評価の結果に与える影響は小さいといえる。</p>		

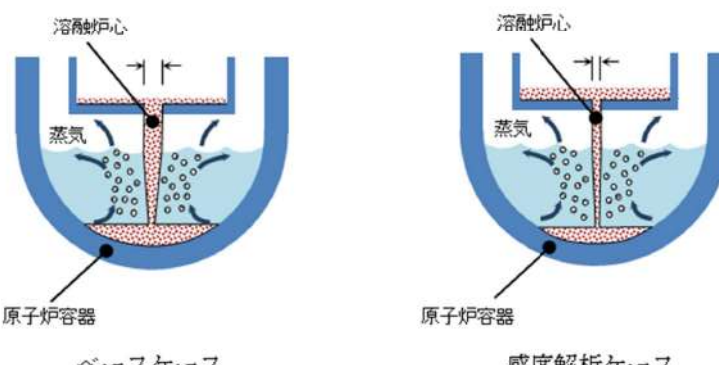
泊発電所 3号炉 有効性評価 比較表

付録3 重大事故等対策の有効性評価に係るシビアアクシデント解析コードについて（添付1 高圧溶融物放出／格納容器雰囲気直接加熱の防止について）

女川原子力発電所2号炉	泊発電所 3号炉	相違理由									
	<p>(2) 蓄圧注入の流動抵抗</p> <p><u>解析条件</u></p> <p>蓄圧タンクの条件はプラント設計に基づき決定されるため、圧力損失についても不確かさは小さいと考えられるが、1次冷却系強制減圧時の1次冷却材圧力に影響を与えるため、感度を確認する。圧力損失として、ベースケースではプラント設計に基づく□を与えているが、感度を確認するために、その50%増の□を設定する。</p> <table border="1"> <thead> <tr> <th>項目</th><th>流動抵抗係数</th><th>設定根拠</th></tr> </thead> <tbody> <tr> <td>ベースケース</td><td>□</td><td>プラント設計に基づく値</td></tr> <tr> <td>感度解析ケース</td><td>□</td><td>プラント設計に基づく値の50%増</td></tr> </tbody> </table> <div style="border: 1px solid black; padding: 5px; margin-top: 10px;">                 枠囲みの内容は商業機密に属しますので公開できません。             </div> <p><u>解析結果</u></p> <p>図4-2-1～4-2-8に、流動抵抗係数の感度解析結果を示す。</p> <p>ベースケースと感度解析ケースで、本パラメータの影響は蓄圧注入開始以降に現れる。約3.3時間時点で、加圧器逃がし弁開による1次冷却系強制減圧により1次冷却材圧力は急減し、約3.6時間の時点で蓄圧注入系が作動する。その時刻までは、ベースケースと感度解析ケースとの挙動は同等である。3.6時間以降の挙動も、ベースケースと感度解析ケースでわずかに差異はあるものの1次冷却材圧力挙動及び原子炉容器破損時刻共にほぼ同じ結果となっている。</p> <p>また、原子炉容器破損の損傷割合については、いずれのケースにおいても計装用案内管溶接部破損の損傷割合の方がクリープ破損の損傷割合よりも先に1に到達し、計装用案内管溶接部が破損していることがわかる。</p> <p><u>評価</u></p> <p>蓄圧注入の流動抵抗の1次冷却材圧力挙動に対する感度は小さく、その不確かさが有効性評価の結果に与える影響は小さいと言える。</p>	項目	流動抵抗係数	設定根拠	ベースケース	□	プラント設計に基づく値	感度解析ケース	□	プラント設計に基づく値の50%増	※PWR固有のパラメータ
項目	流動抵抗係数	設定根拠									
ベースケース	□	プラント設計に基づく値									
感度解析ケース	□	プラント設計に基づく値の50%増									

泊発電所3号炉 有効性評価 比較表

付録3 重大事故等対策の有効性評価に係るシビアアクシデント解析コードについて（添付1 高圧溶融物放出／格納容器雰囲気直接加熱の防止について）

女川原子力発電所2号炉	泊発電所3号炉	相違理由																		
<p>(2) 溶融ジェット径</p> <p>a. 解析条件</p> <p>下部プレナムでの水深が一定で、溶融ジェット径が小さくなる場合には、粒子化割合が増加し、粒子化デブリと冷却材との伝熱速度が増加することから、圧力スパイクが大きくなると考えられる。溶融ジェット初期径として、ベースケースでは炉心支持板の水力等価直径相当である□ mを与えているが、感度解析としてクラスト破損面積が小さくなる場合を想定し、その1/10倍の□ mを設定する（表4-2 参照）。感度を確認する上ではベースケースの1/10倍のジェット径を確認すれば十分と言える。</p>	<p>(3) 溶融ジェット径</p> <p>解析条件</p> <p>溶融ジェットの径には不確かさがあり、径が小さい場合にエントレイン量が増加することから、圧力スパイクが大きくなると考えられる。溶融ジェット初期径として、ベースケースでは下部炉心支持板の水力等価直径である□ mを与えているが、感度解析としてクラスト破損面積が小さくなる場合を想定し、その1/2倍の□ mを設定する。感度解析ケースでは炉心あるいは下部プレナムから落下する溶融炉心（デブリジェット）のほぼ全量が細粒化することから、これ以上ジェット径が小さくなても、細粒化量はほとんど変化なく、感度を確認する上では1/2倍のジェット径を確認すれば十分である。</p>																			
<p>表4-2 溶融ジェット径の感度解析条件</p> <table border="1"> <thead> <tr> <th>項目</th><th>破損口の初期径</th><th>設定根拠</th></tr> </thead> <tbody> <tr> <td>ベースケース</td><td>□ m</td><td>炉心支持板の水力等価直径相当</td></tr> <tr> <td>感度解析ケース</td><td>□ m</td><td>クラスト破損面積が小さい場合を想定</td></tr> </tbody> </table> <p>本資料のうち、枠囲みの内容は商業機密に属しますので公開できません。</p> 	項目	破損口の初期径	設定根拠	ベースケース	□ m	炉心支持板の水力等価直径相当	感度解析ケース	□ m	クラスト破損面積が小さい場合を想定	<table border="1"> <thead> <tr> <th>項目</th><th>破損口の初期径</th><th>設定根拠</th></tr> </thead> <tbody> <tr> <td>ベースケース</td><td>□ m</td><td>下部炉心支持板の水力等価直径相当</td></tr> <tr> <td>感度解析ケース</td><td>□ m</td><td>クラスト破損面積が小さい場合を想定</td></tr> </tbody> </table> <p>本資料のうち、枠囲みの内容は商業機密に属しますので公開できません。</p>	項目	破損口の初期径	設定根拠	ベースケース	□ m	下部炉心支持板の水力等価直径相当	感度解析ケース	□ m	クラスト破損面積が小さい場合を想定	
項目	破損口の初期径	設定根拠																		
ベースケース	□ m	炉心支持板の水力等価直径相当																		
感度解析ケース	□ m	クラスト破損面積が小さい場合を想定																		
項目	破損口の初期径	設定根拠																		
ベースケース	□ m	下部炉心支持板の水力等価直径相当																		
感度解析ケース	□ m	クラスト破損面積が小さい場合を想定																		

泊発電所 3号炉 有効性評価 比較表

付録3 重大事故等対策の有効性評価に係るシビアアクシデント解析コードについて（添付1 高圧溶融物放出／格納容器雰囲気直接加熱の防止について）

女川原子力発電所2号炉	泊発電所 3号炉	相違理由
<p><b>b. 解析結果</b></p> <p>図 4-2-1, 図 4-2-2, 図 4-2-3, 図 4-2-4, 図 4-2-5, 図 4-2-6, 図 4-2-7 及び図 4-2-8 に、溶融ジェット径の感度解析結果を示す。</p> <p>本パラメータの影響は溶融炉心の下部プレナムへの落下以降に現れる。溶融炉心が下部プレナムへ移行するのは、溶融プールに形成されたクラストが破損し、炉心支持板の流路から溶融炉心が下部プレナムへ流れ落ちるためである。溶融ジェット径の最大値は炉心支持板の水力等価直径となる。溶融炉心の下部プレナムへの移行後は、溶融ジェット径を小さくしたケースにおいて、細粒化割合が大きくなる。粒子化割合が増加した結果圧力スパイクも大きくなり、圧力上昇幅は感度解析ケースの方がわずかながら高くなっているが、差は小さい。原子炉圧力容器の減圧維持を継続していることから、原子炉圧力容器の破損時点での原子炉圧力はどちらも約 0.4MPa[gage]であり感度はない。</p>	<p><b>解析結果</b></p> <p>図 4-3-1～4-3-8 に、溶融ジェット径の感度解析結果を示す。</p> <p>ベースケースと感度解析ケースとで、本パラメータの影響は溶融炉心の下部プレナムへの落下以降に現れる。溶融炉心が下部プレナムへ移行するのは、溶融プールの下に形成されたクラストが破損し、下部炉心支持板の流路から溶融炉心が下部プレナムへ流れ落ちるためである。溶融ジェット径の最大値は下部炉心支持板の水力等価直径となる。溶融炉心の下部プレナムへの移行後は、溶融ジェット径を小さくしたケースにおいて、細粒化割合が大きくなり、粒子ベッドの質量が増加している。粒子化割合が増加した結果圧力スパイクも大きくなり、圧力上昇幅は感度解析ケースの方が約 3.7MPa 高くなっている。しかし、1 次冷却系強制減圧を継続していることから、原子炉容器破損時点での 1 次冷却材圧力については、ベースケースと同様に 2.0MPa[gage] を下回っている。一方、感度解析ケースでは原子炉容器破損の時期が若干早くなっている。これは、溶融炉心が下部プレナムへ移行した時に下部プレナム内の水が早く蒸発するためである。</p> <p>また、原子炉容器破損の損傷割合については、いずれのケースにおいても計装用案内管溶接部破損の損傷割合の方がクリープ破損の損傷割合よりも先に 1 に到達し、計装用案内管溶接部が破損していることがわかる。しかしながら、クリープ破損の損傷割合についても、計装用案内管溶接部が破損すると同時に、損傷割合が増大している。このように破損想定には不確かさがあるものの、原子炉容器破損の時期については大きな相違は見られない。</p>	
<p><b>c. 評価</b></p> <p>溶融ジェット径の圧力スパイクに対する感度はわずかであり、原子炉圧力容器の破損時点での原子炉圧力に対する感度は小さいため、その不確かさが有効性評価の結果に与える影響は小さいといえる。</p>	<p><b>評価</b></p> <p>溶融ジェット径の圧力スパイクに対する感度は約 3.7MPa あるものの、原子炉容器破損の時点での圧力に対する感度は小さいため、その不確かさが有効性評価の結果に与える影響は小さいと言える。</p>	

泊発電所3号炉 有効性評価 比較表

付録3 重大事故等対策の有効性評価に係るシビアアクシデント解析コードについて（添付1 高圧溶融物放出／格納容器雰囲気直接加熱の防止について）

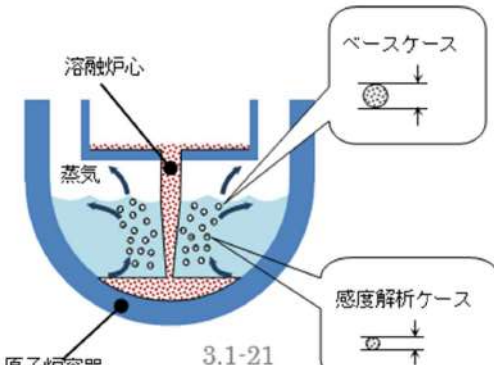
女川原子力発電所2号炉	泊発電所3号炉	相違理由																				
<p>(3) エントレインメント係数</p> <p>a. 解析条件</p> <p>細粒化割合には不確かさがあり、細粒化割合が大きい場合に圧力スパイクが大きくなると考えられる。エントレインメント係数は、ベースケースではMAAP推奨範囲 [ ]～[ ] のうちおよそ中間となる [ ] を設定しているが、感度解析ケースでは、MAAPの当該変数の推奨範囲のうち最大値と最小値 [ ]～[ ] を設定する（表4-3 参照）。</p>	<p>(4) Ricou-Spaldingのエントレインメント係数</p> <p>解説条件</p> <p>細粒化割合には不確かさがあり、細粒化割合が大きい場合に圧力スパイクが大きくなると考えられる。エントレインメント係数はベースケースでは [ ] を設定しているが、感度解析ケースでは、MAAPコードの当該変数の推奨範囲 ([ ]～[ ]) のうち最も大きい値、即ち、細粒化割合が大きく評価される値である [ ] を設定する。なお、推奨範囲とは、FCIの大規模実験に対するベンチマーク解析において検討された範囲のことである。FCIの大規模実験の条件として、水プールの水深は0.87～2.05m、水プールのサブクール度は飽和～124K、雰囲気圧力条件は2～5.8MPa（高圧条件）、0.2～0.5MPa（低圧条件）を考慮している。一方、溶融炉心が原子炉容器下部プレナムへ落下する時点の特徴的な条件では、下部プレナムの水位は1～2m、原子炉容器内の冷却水は飽和状態、雰囲気圧力は約2.0MPa[gage]であり、実験条件は有効性解析の特徴的な条件を包絡する。したがって、実験で検討された範囲に対して感度を確認すれば十分といえる。なお、デブリジェット径については、実験条件と実機条件に差があり、実機条件における径の方が大きい。このため、実機条件では細粒化される溶融炉心は一部であり、残りの大部分は連続相のまま原子炉下部キャビティ床に堆積すると考えられる。実験ではジェット径に対して水深が深いため、ジェットの先端が床に到達せず、ほとんどすべての溶融炉心が細粒化されており、この条件に対してエントレインメント係数の幅が評価されている。したがって、実機条件のように、ジェット径に対する水深が浅い場合には、エントレインメント係数はより小さく評価されると考えられる。実機条件に対して当該変数推奨値の最大値を与えて感度解析を実施することは、実現象よりもFCIの影響を過大に評価することになる。</p>																					
<p>表4-3 エントレインメント係数の感度解析条件</p> <table border="1"> <thead> <tr> <th>項目</th><th>エントレインメント係数</th><th>設定根拠</th></tr> </thead> <tbody> <tr> <td>ベースケース</td><td>[ ]</td><td>MAAP推奨範囲のノミナル値</td></tr> <tr> <td rowspan="2">感度解析ケース</td><td>[ ]</td><td>MAAP推奨範囲の最小値</td></tr> <tr> <td>[ ]</td><td>MAAP推奨範囲の最大値</td></tr> </tbody> </table> <div style="border: 1px solid black; padding: 5px; margin-top: 10px;"> <p>本資料のうち、枠囲みの内容は商業機密に属しますので公開できません。</p> </div>	項目	エントレインメント係数	設定根拠	ベースケース	[ ]	MAAP推奨範囲のノミナル値	感度解析ケース	[ ]	MAAP推奨範囲の最小値	[ ]	MAAP推奨範囲の最大値	<table border="1"> <thead> <tr> <th>項目</th><th>エントレインメント係数</th><th>設定根拠</th></tr> </thead> <tbody> <tr> <td>ベースケース</td><td>[ ]</td><td>当該変数推奨範囲の最確値</td></tr> <tr> <td>感度解析ケース</td><td>[ ]</td><td>当該変数推奨範囲の最大値</td></tr> </tbody> </table> <div style="border: 1px solid black; padding: 5px; margin-top: 10px;"> <p>枠囲みの内容は商業機密に属しますので公開できません。</p> </div>	項目	エントレインメント係数	設定根拠	ベースケース	[ ]	当該変数推奨範囲の最確値	感度解析ケース	[ ]	当該変数推奨範囲の最大値	
項目	エントレインメント係数	設定根拠																				
ベースケース	[ ]	MAAP推奨範囲のノミナル値																				
感度解析ケース	[ ]	MAAP推奨範囲の最小値																				
	[ ]	MAAP推奨範囲の最大値																				
項目	エントレインメント係数	設定根拠																				
ベースケース	[ ]	当該変数推奨範囲の最確値																				
感度解析ケース	[ ]	当該変数推奨範囲の最大値																				

泊発電所 3号炉 有効性評価 比較表

付録3 重大事故等対策の有効性評価に係るシビアアクシデント解析コードについて（添付1 高圧溶融物放出／格納容器雰囲気直接加熱の防止について）

女川原子力発電所2号炉	泊発電所3号炉	相違理由
<p><b>b. 解析結果</b></p> <p>図4-3-1、図4-3-2、図4-3-3、図4-3-4、図4-3-5、図4-3-6、図4-3-7及び図4-3-8に、エントレインメント係数の感度解析結果を示す。本パラメータの影響は溶融炉心の下部プレナムへの落下以降に現れる。溶融炉心の下部プレナムへの移行時、原子炉圧力の上昇は、感度解析ケース（最大値）の方がわずかながら高い結果となっているが、差は小さい。原子炉圧力容器の減圧維持を継続していることから、原子炉圧力容器の破損時点では原子炉圧力は約0.4MPa[gage]と同程度の値となっている。また、原子炉圧力容器の破損時期はほぼ同等である。</p> <p>また、原子炉圧力容器破損の判定基準に対する割合は、下部プレナムへの溶融炉心落下後、制御棒駆動機構ハウジング溶接部破損とクリープ破損の割合がともに増加していくが、ベースケース及び感度解析ケースの2ケースのいずれにおいても制御棒駆動機構ハウジング溶接部破損の割合の方がクリープ破損の割合よりも先に1に到達し、制御棒駆動機構ハウジング溶接部が破損している。</p> <p><b>c. 評価</b></p> <p>エントレインメント係数の圧力スパイクに対する感度はわずかであり、原子炉圧力容器の破損時点での原子炉圧力に対する感度は小さいため、その不確かさが有効性評価の結果に与える影響は小さいと言える。</p>	<p><b>解析結果</b></p> <p>図4-4-1～4-4-8に、エントレインメント係数の感度解析結果を示す。ベースケースと感度解析ケースとで、本パラメータの影響は溶融炉心の下部プレナムへの落下以降に現れる。約5.5時間の時点で溶融炉心の下部プレナムへの移行が生じており、そのときの1次冷却材圧力の上昇は、感度解析ケースの方が約1.8MPa高い結果となっている。これは、エントレインメント係数を大きくすることで細粒化が進み、水との接触面積が大きくなり、水蒸気を短期間に発生させる効果があるためである。しかしながら、1次冷却系強制減圧が継続していることから、原子炉容器破損の時点では1次冷却材圧力は約1.8MPa[gage]と同程度の値となっている。一方、感度解析ケースでは原子炉容器破損の時期が若干早くなっている。これは、溶融炉心が下部プレナムへ移行した時に下部プレナム内の水が早く蒸発するためである。</p> <p>また、原子炉容器破損の損傷割合については、いずれのケースにおいても計装用案内管溶接部破損の損傷割合の方がクリープ破損の損傷割合よりも先に1に到達し、計装用案内管溶接部が破損していることがわかる。しかしながら、クリープ破損の損傷割合についても、計装用案内管溶接部が破損するのと同時に、損傷割合が増大している。このように破損想定には不確かさがあるものの、原子炉容器破損の時期については大きな相違は見られない。</p> <p><b>評価</b></p> <p>エントレインメント割合の圧力スパイクに対する感度は約1.8MPaあるものの、原子炉容器破損の時点での圧力に対する感度は小さいため、その不確かさが有効性評価の結果に与える影響は小さいと言える。</p>	

付録3 重大事故等対策の有効性評価に係るシビアアクシデント解析コードについて（添付1 高圧溶融物放出／格納容器雰囲気直接加熱の防止について）

女川原子力発電所2号炉		泊発電所3号炉	相違理由
(4) デブリ粒子径 a. 解析条件  デブリ粒子径には不確かさがあり、デブリ粒子径が小さい場合に圧力スパイクが大きくなると考えられる。デブリ粒子径に係る係数は、ベースケースではMAAP推奨範囲 [ ]～[ ] のうちおよそ中間となる [ ] を設定しているが、感度解析ケースでは、MAAPの当該変数の推奨範囲のうち最小値と最大値 [ ]～[ ] を設定する（表4-4 参照）。	(5) デブリ粒子の径 解析条件  粒子径には不確かさがあり、粒子径が小さい場合に圧力スパイクが大きくなると考えられる。粒子径は、ベースケースではFCIの大規模実験に基づく [ ] を設定しているが、感度解析ケースでは、MAAPコードの当該変数の推奨範囲 [ ]～[ ] のうち最も小さい値、即ち、デブリ粒子径が小さく評価される値である [ ] を設定する。なお、推奨範囲とは、FCIの大規模実験に対するベンチマーク解析において検討された範囲のことである。FCIの大規模実験の条件として、水プールの水深は0.87～2.05m、水プールのサブクール度は飽和～124K、雰囲気圧力条件は2～5.8MPa（高圧条件）、0.2～0.5MPa（低圧条件）を考慮している。一方、溶融炉心が原子炉容器下部ブレナムへ落下する時点の特徴的な条件では、下部ブレナムの水位は1～2m、原子炉容器内の冷却水は飽和状態、雰囲気圧力は約2.0MPa[gage]であり、実験条件は有効性解析の特徴的な条件を包絡する。したがって、実験で検討された範囲に対して感度を確認すれば十分といえる。なお、デブリジェット径については、実験条件と実機条件に差があり、実機条件における径の方が大きい。しかし、細粒化したデブリ粒子の径については、溶融炉心の表面張力とジェット速度によって決まるものであり、ジェット径には依存しないと言える。		
表4-4 デブリ粒子径の感度解析条件			
項目	粒子径ファクタ	設定根拠	
ベースケース	[ ]	MAAP推奨範囲のノミナル値	
感度解析ケース	[ ] [ ]	MAAP推奨範囲の最小値 MAAP推奨範囲の最大値	
項目	粒子径ファクタ	設定根拠	
ベースケース	[ ]	当該変数推奨範囲の最確値	
感度解析ケース	[ ]	当該変数推奨範囲の最小値	
			
<p>本資料のうち、枠囲みの内容は商業機密に属しますので公開できません。</p>			

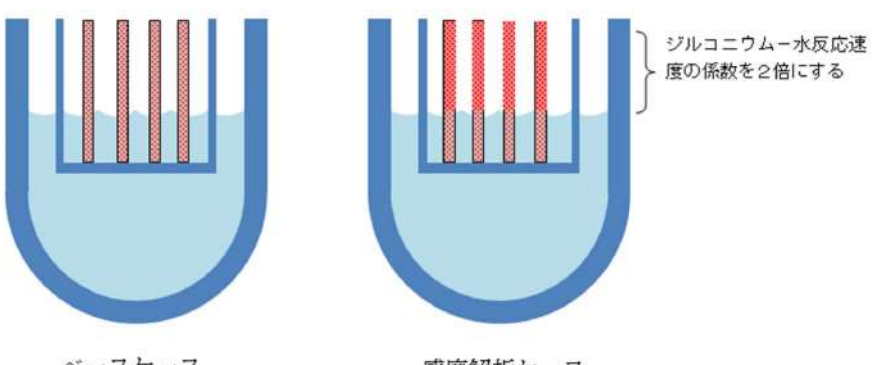
泊発電所 3号炉 有効性評価 比較表

付録3 重大事故等対策の有効性評価に係るシビアアクシデント解析コードについて（添付1 高圧溶融物放出／格納容器雰囲気直接加熱の防止について）

女川原子力発電所2号炉	泊発電所3号炉	相違理由
<p><u>b. 解析結果</u></p> <p>図4-4-1、図4-4-2、図4-4-3、図4-4-4、図4-4-5、図4-4-6、図4-4-7 及び図4-4-8に、デブリ粒子径の感度解析結果を示す。本パラメータは、溶融炉心の下部プレナムへの落下時（約2.9時間後）の挙動に影響する。感度解析ケース（最小値）においては粒子径が小さくなっていることから、圧力スパイクによる上昇幅はベースケースと比較してわずかに大きくなっているものの、感度としてはわずかである。また、原子炉圧力容器の破損時点での原子炉圧力についても、ほぼ感度ではなくどちらのケースも約0.4MPa[gage]である。また、ベースケースと感度解析ケースの2ケースでは原子炉圧力容器の破損時期はほぼ同じ結果となっている。これは、溶融炉心が下部プレナムへ移行した時の圧力上昇挙動が同等であるためである。</p> <p>また、原子炉圧力容器破損の判定基準に対する割合は、下部プレナムへの溶融炉心落下後、制御棒駆動機構ハウジング溶接部破損とクリープ破損の割合がともに増加していくが、ベースケース及び感度解析ケースの2ケースのいずれにおいても制御棒駆動機構ハウジング溶接部破損の割合の方がクリープ破損の割合よりも先に1に到達し、制御棒駆動機構ハウジング溶接部が破損している。</p>	<p><u>解析結果</u></p> <p>図4-5-1～4-5-8に、デブリ粒子の径の感度解析結果を示す。</p> <p>ベースケースと感度解析ケースとで、本パラメータの影響は溶融炉心の下部プレナムへの落下以降に現れる。約5.5時間の時点で溶融炉心の下部プレナムへの落下が生じている。感度解析ケースにおいては粒子径が小さくなっていることから、圧力スパイクによる上昇幅はベースケースに比較して大きくなっているものの、感度としてはわずかである。また、原子炉容器破損時点での1次冷却材圧力については、ベースケースと同様に2.0MPa[gage]を下回っている。また、ベースケースと感度解析ケースでは原子炉容器破損の時期はほぼ同じ結果となっている。これは、溶融炉心が下部プレナムへ移行した時の圧力上昇挙動が同等であるためである。</p> <p>また、原子炉容器破損の損傷割合については、いずれのケースにおいても計装用案内管溶接部破損の損傷割合の方がクリープ破損の損傷割合よりも先に1に到達し、計装用案内管溶接部が破損していることがわかる。しかしながら、クリープ破損の損傷割合についても、計装用案内管溶接部が破損すると同時に、損傷割合が増大している。このように破損想定には不確かさがあるものの、原子炉容器破損の時期については大きな相違は見られない。</p> <p>以上、デブリ粒子の径に関しては、約3割小さくした場合（粒子径ファクタ□-□でも、1次冷却材圧力の挙動にはほとんど影響しない結果となった。</p>	
<p><u>c. 評価</u></p> <p>デブリ粒子径の圧力スパイクに対する感度は小さく、その不確かさが有効性評価の結果に与える影響は小さいといえる。</p>	<p><u>評価</u></p> <p>デブリ粒子径の圧力スパイクに対する感度は小さく、その不確かさが有効性評価へ与える影響は小さいと言える。</p>	<div style="border: 1px solid black; padding: 5px; text-align: center;">                     枠囲みの内容は商業機密に属しますので公開できません。                 </div>

泊発電所3号炉 有効性評価 比較表

付録3 重大事故等対策の有効性評価に係るシビアアクシデント解析コードについて（添付1 高圧溶融物放出／格納容器雰囲気直接加熱の防止について）

女川原子力発電所2号炉	泊発電所3号炉	相違理由																		
<p>(5) ジルコニウムー水反応速度</p> <p>a. 解析条件</p> <p>炉心のヒートアップ速度には不確かさがあるため、ヒートアップ時のジルコニウムー水反応速度を選定した。ジルコニウムー水反応速度の感度をみるため、ジルコニウムー水反応の起きる面積を変化させた感度解析を実施する。反応の起きる面積に乘じる係数（ジルコニウムー水反応速度の係数）は、ジルコニウムー水反応の計算のみに使用され、熱水力挙動の計算に使用される燃料被覆管の直径、長さ等の幾何形状を変えるものではない。この係数を増加させることにより、酸化反応熱の発生速度、水素ガス発生速度、酸化ジルコニウム生成速度が大きくなる方向に影響する。これらは炉心溶融進展が早まる方向へ作用する。この係数は、ベースケースでは燃料被覆管表面積に基づき1倍を与えている。これは、ヒートアップ時には燃料被覆管破裂が発生する場合に破裂部の燃料被覆管内面の酸化もあるが、燃料被覆管内面の酸化は、限定された破裂部のみで生じること、炉心形状が健全な状態は溶融過程の比較的短期間であることから、炉心全体が溶融する状況では内面の反応は無視できると考えられることに基づいている。これに対し、感度解析のパラメータの振り幅としては、炉心ヒートアップ速度が速くなる場合の応答の確認として、仮想的な厳しい想定ではあるが、2倍とする（表4-5参照）。</p>	<p>(6) ジルコニウムー水反応速度</p> <p>解析条件</p> <p>炉心のヒートアップ速度には不確かさがあるため、ヒートアップ時のジルコニウムー水反応速度を選定した。ジルコニウムー水反応速度の感度をみるため、ジルコニウムー水反応の起きる面積を変化させた感度解析を実施する。反応の起きる面積に乘じる係数（ジルコニウムー水反応速度の係数）はジルコニウムー水反応の計算のみに使用され、熱水力挙動の計算に使用される燃料被覆管の直径、長さ等の幾何形状を変えるものではない。この係数を増加させることにより、酸化反応熱の発生速度、水素発生速度、酸化ジルコニウム生成速度が大きくなる方向に影響する。これらは炉心溶融進展が早まる方向へ作用する。この係数は、ベースケースでは燃料被覆管表面積に基づき1倍を与えている。これは、ヒートアップ時には燃料被覆管バーストが発生する場合にバースト部の燃料被覆管内面の酸化もあるが、燃料被覆管内面の酸化は、限定されたバースト部のみで生じること、炉心形状が健全な状態は溶融過程の比較的短期間であることから、炉心全体が溶融する状況では内面の反応は無視できると考えられることに基づいている。これに対し、感度解析のパラメータの振り幅としては、炉心ヒートアップ速度が速くなる場合の応答の確認として、仮想的な厳しい想定ではあるが、2倍とする。</p>																			
<p>表4-5 ジルコニウムー水反応速度の感度解析条件</p> <table border="1"> <thead> <tr> <th>項目</th><th>ジルコニウムー水反応速度の係数</th><th>設定根拠</th></tr> </thead> <tbody> <tr> <td>ベースケース</td><td>1倍</td><td>燃料被覆管表面積に基づく値</td></tr> <tr> <td>感度解析ケース</td><td>2倍</td><td>燃料被覆管表面積に基づく値の2倍</td></tr> </tbody> </table>	項目	ジルコニウムー水反応速度の係数	設定根拠	ベースケース	1倍	燃料被覆管表面積に基づく値	感度解析ケース	2倍	燃料被覆管表面積に基づく値の2倍	<table border="1"> <thead> <tr> <th>項目</th><th>ジルコニウムー水反応速度の係数</th><th>設定根拠</th></tr> </thead> <tbody> <tr> <td>ベースケース</td><td>1倍</td><td>燃料被覆管表面積に基づく値</td></tr> <tr> <td>感度解析ケース</td><td>2倍</td><td>燃料被覆管表面積に基づく値の2倍</td></tr> </tbody> </table> 	項目	ジルコニウムー水反応速度の係数	設定根拠	ベースケース	1倍	燃料被覆管表面積に基づく値	感度解析ケース	2倍	燃料被覆管表面積に基づく値の2倍	
項目	ジルコニウムー水反応速度の係数	設定根拠																		
ベースケース	1倍	燃料被覆管表面積に基づく値																		
感度解析ケース	2倍	燃料被覆管表面積に基づく値の2倍																		
項目	ジルコニウムー水反応速度の係数	設定根拠																		
ベースケース	1倍	燃料被覆管表面積に基づく値																		
感度解析ケース	2倍	燃料被覆管表面積に基づく値の2倍																		

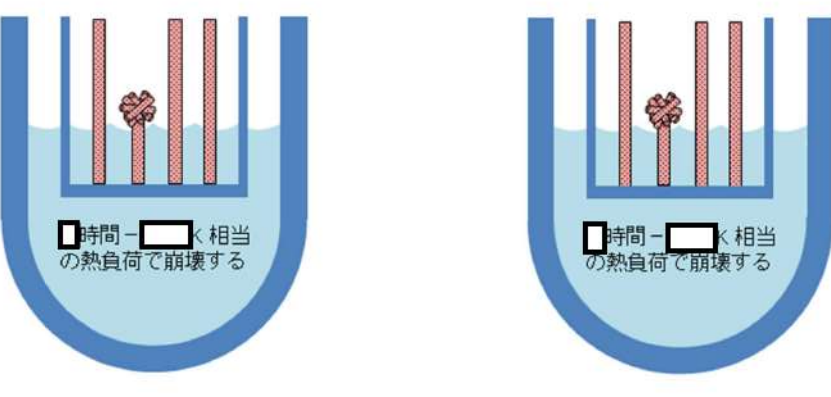
泊発電所 3号炉 有効性評価 比較表

付録3 重大事故等対策の有効性評価に係るシビアアクシデント解析コードについて（添付1 高圧溶融物放出／格納容器雰囲気直接加熱の防止について）

女川原子力発電所2号炉	泊発電所 3号炉	相違理由
<p><b>b. 解析結果</b></p> <p>図4-5-1, 図4-5-2, 図4-5-3, 図4-5-4, 図4-5-5, 図4-5-6, 図4-5-7 及び図4-5-8 に、ヒートアップ時のジルコニウムー水反応速度の感度解析結果を示す。本パラメータの影響は炉心露出以降の燃料ヒートアップ時に現れる。ヒートアップ時のジルコニウムー水反応速度の係数を2倍にしたことで、ジルコニウムー水反応による酸化反応熱が増加することから、下部ブレナムへのリロケーションはわずかに早くなっている。以上のように、感度解析ケースにおいては事象の進展がわずかに早くなるものの、原子炉圧力容器の破損時点での 原子炉圧力は 2.0MPa[gage]を下回っている。</p> <p>なお、燃料被覆管酸化反応の特徴について JAERI 文献<sup>[6]</sup>によると、雰囲気の変化が燃料被覆管酸化反応に与える影響として、ジルコニウムー水反応によって生じた水素濃度が高くなると、燃料被覆管酸化反応速度が著しく低下することが報告されている。これは水素濃度が増大することによって水蒸気濃度が低下することで、燃料被覆管酸化反応が遅くなるという負のフィードバックが働くためである。MAAPでもこの挙動は模擬されており、水蒸気の金属表面への拡散速度は、雰囲気中の水蒸気質量割合に依存する取扱いとなっている。水素ガスが発生し、水素質量割合が大きくなることにより、相対的に水蒸気質量割合が小さくなり、金属表面への水蒸気の拡散速度も小さくなることから、ジルコニウムー水反応速度が抑制される取扱いとなっている。</p> <p>以上から、炉心ヒートアップ速度が速くなると、初期には水素ガス生成が進むが、水素濃度が高くなると、燃料被覆管酸化反応は抑制される方向になる。</p>	<p><b>解析結果</b></p> <p>図4-6-1～4-6-8 に、ヒートアップ時のジルコニウムー水反応速度の感度解析結果を示す。ベースケースと感度解析ケースで、本パラメータの影響は炉心露出以降に現れる。ヒートアップ時のジルコニウムー水反応速度の係数を2倍にしたことで、ジルコニウムー水反応による酸化反応熱が増加することから、炉心溶融は感度解析ケースにおいて約4分早くなっている。また、加圧器逃がし弁開による強制減圧も、炉心溶融開始後10分での操作を仮定していることから、約4分早期に行われる。さらに、酸化反応熱が増加することで炉心溶融の進展も早くなることから、下部ブレナムへのリロケーションは約14分早くなっている。以上のように、感度解析ケースにおいては事象の進展が約14分早くなるものの、原子炉容器破損の時点での1次冷却材圧力は2.0MPa[gage]を下回っている。</p> <p>なお、燃料被覆管酸化反応の特徴について JAERI 文献<sup>[5]</sup>によると、雰囲気の変化が燃料被覆管酸化反応に与える影響として、Zr-水反応によって生じた水素濃度が高くなると、燃料被覆管酸化反応速度が著しく低下することが報告されている。これは水素濃度が増大することによって水蒸気濃度が低下することで、燃料被覆管酸化反応が遅くなるという負のフィードバックが働くためである。MAAPコードでもこの挙動は模擬されており、水蒸気の金属表面への拡散速度は、水蒸気質量フラクションに依存する取扱いとなっている。水素が発生し、水素質量フラクションが大きくなることにより、水蒸気質量フラクションが小さくなり、金属表面への水蒸気の拡散速度も小さくなることから、ジルコニウムー水反応速度が抑制される取扱いとなっている。</p> <p><sup>5</sup> JAERI-M 84-055「炉心損傷事故解析及び研究の現状 一炉心損傷事故調査解析タスクフォース報告書 一」 1984年3月</p> <p>以上から、炉心ヒートアップ速度が速くなると、初期には水素生成が進むが、水素濃度が高くなると、燃料被覆管酸化反応は抑制される方向になる。また、本感度解析ケースでは、炉心ヒートアップ速度に直接影響のあるパラメータとして、ジルコニウムー水反応速度を選定しているが、実際の燃料被覆管表面積は一定であることから水素生成量はベースケースを著しく上回ることはないと考えられる。</p> <p>有効性評価の水素燃焼評価では、大破断LOCAシーケンスを想定しており原子炉容器の下部ヘッドが破損するまでに、全炉心内のジルコニウム量の75%が水と反応するものとしている。本感度解析では、全交流動力電源喪失+補助給水失敗のシーケンスにてヒートアップ時のジルコニウムー水反応速度の係数を2倍とした感度解析条件においても、水素生成量は有効性評価の水素燃料評価の条件で包絡できることを確認した。</p> <p><b>評価</b></p> <p>ヒートアップ時のジルコニウムー水反応速度は、2倍の振り幅でも事象進展の速さに対する感度は約14分であり、その不確かさが有効性評価へ与える影響は小さいと言える。</p>	
<p><b>c. 評価</b></p> <p>ヒートアップ時のジルコニウムー水反応速度は、2倍の振り幅でも事象進展の速さに対する感度は小さく、その不確かさが有効性評価の結果に与える影響は小さいといえる。</p>		

泊発電所3号炉 有効性評価 比較表

付録3 重大事故等対策の有効性評価に係るシビアアクシデント解析コードについて（添付1 高圧溶融物放出／格納容器雰囲気直接加熱の防止について）

女川原子力発電所2号炉	泊発電所3号炉	相違理由																		
<p>(6) 炉心崩壊挙動（燃料ペレットが崩壊する時間及び温度）</p> <p>a. 解析条件</p> <p>炉心がある温度に達してから、燃料ペレットが崩壊するまでの時間（あるいは、一定時間のうちに燃料ペレットが崩壊する温度）には、不確かさがあると考えられるため、その感度を確認する。</p> <p>ベースケースでは、炉心ノードの崩壊について、炉心ノード温度 <input type="text"/> K と <input type="text"/> 時間の関係から Larson-Miller パラメータを設定しているが、感度解析では、更に炉心ノードの崩壊が早く進むことを想定し、炉心ノード温度が <input type="text"/> K と <input type="text"/> 時間（あるいは <input type="text"/> K と <input type="text"/> 秒）から Larson-Miller パラメータを設定した場合の影響を確認する（表 4-6 参照）。なお、実際には炉心ノードの温度履歴に応じて、炉心ノードが崩壊するまでの時間を計算している。</p>	<p>(7) 燃料ペレットが崩壊する時間及び温度</p> <p>解析条件</p> <p>炉心がある温度に達してから、燃料ペレットが崩壊するまでの時間（あるいは、一定時間のうちに燃料ペレットが崩壊する温度）には、不確かさがあると考えられるため、感度を確認する。ベースケースでは、炉心ノードが <input type="text"/> K 一定と仮定した場合に <input type="text"/> 時間で炉心が崩壊することを想定しているが、感度解析では、炉心ノードが <input type="text"/> K 一定と仮定した場合に <input type="text"/> 時間（あるいは <input type="text"/> K 一定で <input type="text"/> 秒）経過すると炉心が崩壊することを想定する。なお、実際には温度履歴に応じて、燃料ペレットが崩壊するまでの時間を計算している。</p>																			
<p>表 4-6 燃料ペレットが崩壊する時間及び温度の感度解析条件</p> <table border="1"> <thead> <tr> <th>項目</th><th>炉心ノード崩壊のパラメータ（炉心温度）</th><th>設定根拠</th></tr> </thead> <tbody> <tr> <td>ベースケース</td><td><input type="text"/> K</td><td>MAAP推奨範囲のノミナル値</td></tr> <tr> <td>感度解析ケース</td><td><input type="text"/> K</td><td>炉心ノードが崩壊する時間を早めるように設定</td></tr> </tbody> </table> <div style="border: 1px solid black; padding: 5px; margin-top: 10px;"> <p>本資料のうち、枠囲みの内容は商業機密に属しますので公開できません。</p> </div>	項目	炉心ノード崩壊のパラメータ（炉心温度）	設定根拠	ベースケース	<input type="text"/> K	MAAP推奨範囲のノミナル値	感度解析ケース	<input type="text"/> K	炉心ノードが崩壊する時間を早めるように設定	<table border="1"> <thead> <tr> <th>項目</th><th><input type="text"/> 時間で炉心崩壊に至る場合の炉心温度</th><th>設定根拠</th></tr> </thead> <tbody> <tr> <td>ベースケース</td><td><input type="text"/> K</td><td>当該変数推奨範囲の最確値</td></tr> <tr> <td>感度解析ケース</td><td><input type="text"/> K</td><td>燃料ペレットが崩壊する時間を早めるように設定</td></tr> </tbody> </table> <div style="margin-top: 20px;">  <p>ベースケース</p> <p>感度解析ケース</p> <div style="border: 1px solid black; padding: 5px; margin-top: 10px;"> <p>枠囲みの内容は商業機密に属しますので公開できません。</p> </div> </div>	項目	<input type="text"/> 時間で炉心崩壊に至る場合の炉心温度	設定根拠	ベースケース	<input type="text"/> K	当該変数推奨範囲の最確値	感度解析ケース	<input type="text"/> K	燃料ペレットが崩壊する時間を早めるように設定	
項目	炉心ノード崩壊のパラメータ（炉心温度）	設定根拠																		
ベースケース	<input type="text"/> K	MAAP推奨範囲のノミナル値																		
感度解析ケース	<input type="text"/> K	炉心ノードが崩壊する時間を早めるように設定																		
項目	<input type="text"/> 時間で炉心崩壊に至る場合の炉心温度	設定根拠																		
ベースケース	<input type="text"/> K	当該変数推奨範囲の最確値																		
感度解析ケース	<input type="text"/> K	燃料ペレットが崩壊する時間を早めるように設定																		

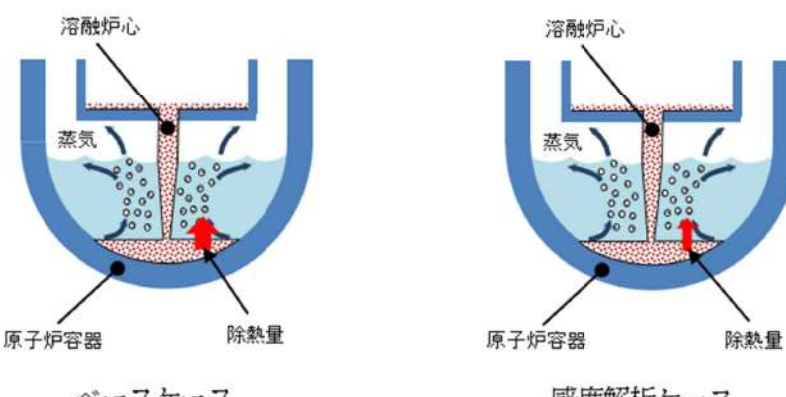
泊発電所 3号炉 有効性評価 比較表

付録3 重大事故等対策の有効性評価に係るシビアアクシデント解析コードについて（添付1 高圧溶融物放出／格納容器雰囲気直接加熱の防止について）

女川原子力発電所2号炉	泊発電所 3号炉	相違理由
<p><u>b. 解析結果</u></p> <p>図 4-1-1, 図 4-1-2, 図 4-1-3, 図 4-1-4, 図 4-1-5, 図 4-1-6, 図 4-1-7 及び図 4-1-8 に、燃料ペレットが崩壊する時間及び温度の感度解析結果を示す。本パラメータの影響は炉心露出以降の燃料溶融時に現れる。感度解析ケースにおいては、燃料ペレットの崩壊を判定する温度を低くしたことで、より早期に燃料ペレットの崩壊及び炉心溶融が進展することから、下部プレナムへのリロケーション開始時刻が早く、初期に落下するデブリ量も多くなるため、圧力スパイクのピーク値もベースケースと比較してわずかに高くなっている。また、原子炉圧力容器の破損時点での原子炉圧力は、ほぼ感度はなくどちらのケースも約 0.4MPa[gage]である。</p> <p>このように、燃料ペレットの崩壊の判定は圧力スパイクにわずかに感度があるものの、感度解析ケースにおいても原子炉圧力容器の破損時点での原子炉圧力は 2.0MPa[gage]を十分下回っている。</p>	<p><u>解析結果</u></p> <p>図 4-7-1～4-7-8 に、燃料ペレットが崩壊する時間及び温度の感度解析結果を示す。ベースケースと感度解析ケースで、本パラメータの影響は炉心露出以降に現れる。感度解析ケースにおいては、燃料ペレットが崩壊する判定を厳しくしたことと、より早期に燃料ペレットの崩壊及び炉心溶融が進展する。その結果、原子炉容器破損時刻は、感度解析ケースの方が約 26 分早くなっている。また、感度解析ケースでは炉心溶融の進展が早いことから、初回の下部プレナムへのリロケーション量も多いため、圧力スパイクのピーク値も約 4.3MPa 高くなっている。このように、燃料ペレットの崩壊の判定は圧力スパイク及び原子炉容器破損時刻に感度があるものの、感度解析ケースにおいても原子炉容器破損時点での 1 次冷却材圧力は 2.0MPa[gage]を下回っている。</p> <p><u>評価</u></p> <p>燃料ペレットが崩壊する時間及び温度の感度は、原子炉容器破損時刻に対して約 26 分あるが、原子炉容器破損の時点での 1 次冷却材圧力は 2.0MPa[gage]を下回っている。よって、その不確かさが有効性評価の結果に与える影響は小さいと言える。</p>	

泊発電所3号炉 有効性評価 比較表

付録3 重大事故等対策の有効性評価に係るシビアアクシデント解析コードについて（添付1 高圧溶融物放出／格納容器雰囲気直接加熱の防止について）

女川原子力発電所2号炉	泊発電所3号炉	相違理由																	
<p>(7) 下部プレナム内の溶融炉心と上面水プールとの間の伝熱</p> <p>a. 解析条件</p> <p>下部プレナム内の溶融炉心と上面水プールとの間の熱伝達には不確かさがあり、ベースケースでは、限界熱流束に係る係数として、パラメータの取りうる推奨範囲である□～□の中間値□を与えていた。感度解析ケースでは水への熱伝達が制限される値としてベースケースの1/2倍である□を設定する（表4-7参照）。</p>	<p>(8) 下部プレナム内の溶融炉心と上面水プールとの間の限界熱流束</p> <p>解析条件</p> <p>下部プレナム内の溶融炉心と上面水プールとの間の熱伝達には不確かさがあり、ベースケースでは、限界熱流束にかかる係数として□を与え、感度解析ケースでは水への熱伝達が制限される値として□を設定する。</p>																		
<p>表4-7 下部プレナム内の溶融炉心と上面水プールとの間の伝熱の感度解析条件</p> <table border="1"> <thead> <tr> <th>項目</th><th>限界熱流束に係る係数</th><th>設定根拠</th></tr> </thead> <tbody> <tr> <td>ベースケース</td><td>□</td><td>MAAP推奨範囲のノミナル値</td></tr> <tr> <td>感度解析ケース</td><td>□</td><td>水への熱伝達が制限される値</td></tr> </tbody> </table> <div style="border: 1px solid black; padding: 5px; margin-top: 10px;"> <p>本資料のうち、枠囲みの内容は商業機密に属しますので公開できません。</p> </div>	項目	限界熱流束に係る係数	設定根拠	ベースケース	□	MAAP推奨範囲のノミナル値	感度解析ケース	□	水への熱伝達が制限される値	<table border="1"> <thead> <tr> <th>項目</th><th>限界熱流束にかかる係数</th><th>設定根拠</th></tr> </thead> <tbody> <tr> <td>ベースケース</td><td>□</td><td>当該変数推奨範囲の最確値</td></tr> <tr> <td>感度解析ケース</td><td>□</td><td>水への熱伝達が制限される値</td></tr> </tbody> </table> <div style="margin-top: 20px;">  </div> <div style="border: 1px solid black; padding: 5px; margin-top: 10px;"> <p>枠囲みの内容は商業機密に属しますので公開できません。</p> </div>	項目	限界熱流束にかかる係数	設定根拠	ベースケース	□	当該変数推奨範囲の最確値	感度解析ケース	□	水への熱伝達が制限される値
項目	限界熱流束に係る係数	設定根拠																	
ベースケース	□	MAAP推奨範囲のノミナル値																	
感度解析ケース	□	水への熱伝達が制限される値																	
項目	限界熱流束にかかる係数	設定根拠																	
ベースケース	□	当該変数推奨範囲の最確値																	
感度解析ケース	□	水への熱伝達が制限される値																	

泊発電所 3号炉 有効性評価 比較表

付録3 重大事故等対策の有効性評価に係るシビアアクシデント解析コードについて（添付1 高圧溶融物放出／格納容器雰囲気直接加熱の防止について）

女川原子力発電所2号炉	泊発電所 3号炉	相違理由
<p><u>b. 解析結果</u></p> <p>図4-6-1, 図4-6-2, 図4-6-3, 図4-6-4, 図4-6-5, 図4-6-6, 図4-6-7, 図4-6-8に、下部プレナム内の溶融炉心と上面水プールとの間の伝熱の感度解析結果を示す。</p> <p>本パラメータの影響は溶融炉心の下部プレナムへの落下以降に現れる。溶融炉心が下部プレナムにリロケーションした後は、感度解析ケースにおいて溶融炉心と上面水プールの伝熱量が減少することになる。その結果、感度解析ケースにおいて、原子炉圧力容器の破損時間はわずかに早くなっているが、感度は小さい。</p>	<p><u>解析結果</u></p> <p>図4-8-1～4-8-8に、下部プレナム内の溶融炉心溶融と上面水プールとの間の限界熱流束の感度解析結果を示す。</p> <p>ベースケースと感度解析ケースで、本パラメータの影響は溶融炉心の下部プレナムへの落下以降に現れる。溶融炉心が下部プレナムにリロケーションした後は、感度解析ケースにおいて溶融炉心と上面水プールの伝熱量が減少することになる。その結果、感度解析ケースにおいて溶接部破損割合及びクリープ破損割合の上昇がわずかながら急峻になっている。また、原子炉容器破損時間はわずかに早くなっている。ただし、原子炉容器破損割合及び破損時刻のいずれについても、感度の大きさとしてはわずかであることが分かる。</p>	
<p><u>c. 評価</u></p> <p>下部プレナム内の溶融炉心と上面水プールとの間の伝熱の原子炉圧力容器の破損時刻に対する感度は小さく、その不確かさが有効性評価の結果に与える影響は小さいといえる。</p>	<p><u>評価</u></p> <p>下部プレナム内の溶融炉心と上面水プールとの間の限界熱流束の原子炉容器破損時刻に対する感度は小さく、その不確かさが有効性評価へ与える影響は小さいと言える。</p>	

泊発電所3号炉 有効性評価 比較表

付録3 重大事故等対策の有効性評価に係るシビアアクシデント解析コードについて（添付1 高圧溶融物放出／格納容器雰囲気直接加熱の防止について）

女川原子力発電所2号炉	泊発電所3号炉	相違理由																		
<p>(8) 溶融炉心と原子炉圧力容器間の熱伝達</p> <p>a. 解析条件</p> <p>溶融炉心と下部プレナムのギャップに存在する水による除熱量には不確かさがあり、ベースケースではギャップへの熱流束に係る係数として□を与えている。この係数は、下部プレナムギャップの水による除熱量に係るファクタとして定義され、ベースケースではギャップによる除熱量の評価式により計算された除熱量がそのまま適用される。有効性評価では最初に貫通部の溶接部破損が生じているが、貫通部近傍でのギャップ冷却は実験例がなく、ギャップ水による除熱量が平板体系と比較してどの程度になるかには不確かさがある。以上より、感度解析ケースでは、溶融炉心と下部プレナムが接触している状態を模擬するための設定として係数□とした評価を実施する（表4-8参照）。</p>	<p>(9) 溶融炉心と原子炉容器間の熱伝達</p> <p>解析条件</p> <p>溶融炉心と下部プレナムのギャップに存在する水による除熱量には不確かさがあり、ベースケースではギャップへの熱流束にかかる係数として□を与えている。この係数は、下部プレナムギャップの水による除熱量にかかるファクタとして定義され、ベースケースではギャップによる除熱量の評価式により計算された除熱量がそのまま適用される。一方、係数を小さくすることは、ギャップに十分な水が流れ込まないことによる、ギャップに存在する水による除熱量の低下を模擬するものである。また、有効性評価では最初に貫通部の溶接部破損が生じているが、貫通部近傍でのギャップ冷却は実験例がなく、ギャップ水による除熱量が平板体系と比較してどの程度になるかには不確かさがある。以上より、感度解析ケースでは、溶融炉心と下部プレナムが接触している状態を模擬するための設定として係数□とした評価を実施する。</p>																			
<p>表4-8 溶融炉心と原子炉圧力容器間の熱伝達の感度解析条件</p> <table border="1"> <thead> <tr> <th>項目</th><th>下部プレナムギャップの除熱量に係る係数</th><th>設定根拠</th></tr> </thead> <tbody> <tr> <td>ベースケース</td><td>□</td><td>当該変数のノミナル値</td></tr> <tr> <td>感度解析ケース</td><td>□</td><td>溶融炉心と下部プレナムが接触</td></tr> </tbody> </table> <div style="border: 1px solid black; padding: 5px; margin-top: 10px;"> <p>本資料のうち、枠囲みの内容は商業機密に属しますので公開できません。</p> </div>	項目	下部プレナムギャップの除熱量に係る係数	設定根拠	ベースケース	□	当該変数のノミナル値	感度解析ケース	□	溶融炉心と下部プレナムが接触	<table border="1"> <thead> <tr> <th>項目</th><th>下部プレナムギャップの除熱量にかかる係数</th><th>設定根拠</th></tr> </thead> <tbody> <tr> <td>ベースケース</td><td>□</td><td>当該変数推奨範囲の最確値</td></tr> <tr> <td>感度解析ケース</td><td>□</td><td>溶融炉心と下部プレナムが接触</td></tr> </tbody> </table> <div style="display: flex; justify-content: space-around; margin-top: 10px;"> <p>ベースケース</p> <p>感度解析ケース</p> </div> <div style="border: 1px solid black; padding: 5px; margin-top: 10px;"> <p>枠囲みの内容は商業機密に属しますので公開できません。</p> </div>	項目	下部プレナムギャップの除熱量にかかる係数	設定根拠	ベースケース	□	当該変数推奨範囲の最確値	感度解析ケース	□	溶融炉心と下部プレナムが接触	
項目	下部プレナムギャップの除熱量に係る係数	設定根拠																		
ベースケース	□	当該変数のノミナル値																		
感度解析ケース	□	溶融炉心と下部プレナムが接触																		
項目	下部プレナムギャップの除熱量にかかる係数	設定根拠																		
ベースケース	□	当該変数推奨範囲の最確値																		
感度解析ケース	□	溶融炉心と下部プレナムが接触																		

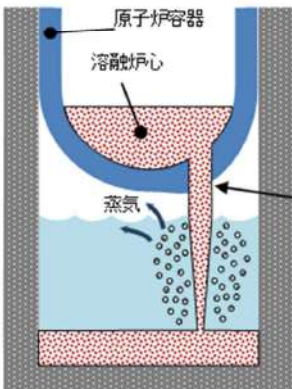
泊発電所 3号炉 有効性評価 比較表

付録3 重大事故等対策の有効性評価に係るシビアアクシデント解析コードについて（添付1 高圧溶融物放出／格納容器雰囲気直接加熱の防止について）

女川原子力発電所2号炉	泊発電所3号炉	相違理由
<p><b>b. 解析結果</b></p> <p>図4-7-1, 図4-7-2, 図4-7-3, 図4-7-4, 図4-7-5, 図4-7-6, 図4-7-7 及び図4-7-8に、下部ブレナムギャップの除熱量に係る係数の感度解析結果を示す。本パラメータの影響は溶融炉心の下部ブレナムへの落下以降に現れる。溶融炉心が下部ブレナムに移行した後、感度解析ケースにおいては、下部ブレナムギャップによる除熱がないため、下部ヘッドの温度が若干早く上昇し、クリープ破損割合や貫通部破損割合は感度解析ケースの方がわずかだが上昇が早い傾向となる。</p> <p>ただし、このパラメータは下部ブレナムの水がドライアウトするまでの間しか影響を及ぼさず、ドライアウト前においても、下部ブレナムギャップからの除熱量はクラストからの伝熱量と比較して十分小さいことから（付録3参照）、原子炉圧力及び原子炉圧力容器破損時刻に対する感度としては小さい。また、いずれのケースも原子炉圧力容器の破損時点において、原子炉圧力は2.0MPa[gage]を下回っている。</p>	<p><b>解析結果</b></p> <p>図4-9-1～4-9-8に、下部ブレナムギャップの除熱量にかかる係数の感度解析結果を示す。ベースケースと感度解析ケースで、本パラメータの影響は溶融炉心の下部ブレナムへの落下以降に現れる。溶融炉心が下部ブレナムに移行した後は、感度解析ケースにおいてブレナムギャップによる除熱が無いため、下部ヘッドの温度が若干早く上昇することから、クリープ破損割合や貫通部破損割合は感度解析ケースの方がわずかだが急峻に上昇する傾向となる。ただし、このパラメータは下部ブレナムの水がドライアウトするまでの間しか影響を及ぼさないことから、1次冷却材圧力及び原子炉容器破損時刻に対する感度としては非常に小さい。また、いずれのケースも原子炉容器破損時点において、1次冷却材圧力は2.0MPa[gage]を下回っている。</p>	
<p><b>c. 評価</b></p> <p>溶融炉心と原子炉圧力容器間の熱伝達の原子炉圧力容器の破損時刻に対する感度は小さく、その不確かさが有効性評価の結果に与える影響は小さいといえる。</p>	<p><b>評価</b></p> <p>溶融炉心と原子炉容器間の熱伝達の原子炉容器破損時刻に対する感度は小さく、その不確かさが有効性評価へ与える影響は小さいと言える。</p>	

泊発電所 3号炉 有効性評価 比較表

付録3 重大事故等対策の有効性評価に係るシビアアクシデント解析コードについて（添付1 高圧溶融物放出／格納容器雰囲気直接加熱の防止について）

女川原子力発電所2号炉	泊発電所3号炉	相違理由																	
<p>(9) 溶接部破損時の最大ひずみ</p> <p>a. 解析条件</p> <p>溶接部破損は、事象進展に伴う溶接部のひずみ量と最大ひずみを比較することで、その発生を判定している。ここで、溶接部破損時の最大ひずみとして、ベースケースでは <input type="text"/> を与えているが、不確かさがあると考えられることから、感度を確認するためにその 1/10 倍の <input type="text"/> を設定する（表 4-9 参照）。</p>	<p>(10) 溶接部破損時の最大歪み</p> <p>解析条件</p> <p>溶接部破損は、時々刻々の溶接部の歪み量と、最大歪みを比較することで判定している。ここで、溶接部破損時の最大歪みとして、ベースケースでは <input type="text"/> を与えているが、不確かさがあると考えられることから、感度を確認するためにその 1/10 倍の <input type="text"/> を設定する。</p>																		
<p>表 4-9 溶接部破損時の最大ひずみの感度解析条件</p> <table border="1"> <thead> <tr> <th>項目</th><th>溶接部破損時の 最大ひずみ</th><th>設定根拠</th></tr> </thead> <tbody> <tr> <td>ベースケース</td><td><input type="text"/></td><td>MAAP推奨範囲のノミナル値</td></tr> <tr> <td>感度解析ケース</td><td><input type="text"/></td><td>実験の不確かさを大幅に上回る設定として 1/10 倍</td></tr> </tbody> </table> <div style="border: 1px solid black; padding: 5px; margin-top: 10px;"> <p>本資料のうち、枠囲みの内容は商業機密に属しますので公開できません。</p> </div>	項目	溶接部破損時の 最大ひずみ	設定根拠	ベースケース	<input type="text"/>	MAAP推奨範囲のノミナル値	感度解析ケース	<input type="text"/>	実験の不確かさを大幅に上回る設定として 1/10 倍	<table border="1"> <thead> <tr> <th>項目</th><th>溶接部破損時の 最大歪み</th><th>設定根拠</th></tr> </thead> <tbody> <tr> <td>ベースケース</td><td><input type="text"/></td><td>当該変数推奨範囲の最確値</td></tr> <tr> <td>感度解析ケース</td><td><input type="text"/></td><td>実験の不確かさを大幅に上回る設定として、1/10 倍</td></tr> </tbody> </table> <div style="border: 1px solid black; padding: 5px; margin-top: 10px;">  <p>歪みによる破損判定基準を変更</p> </div> <div style="border: 1px solid black; padding: 5px; margin-top: 10px;"> <p>枠囲みの内容は商業機密に属しますので公開できません。</p> </div>	項目	溶接部破損時の 最大歪み	設定根拠	ベースケース	<input type="text"/>	当該変数推奨範囲の最確値	感度解析ケース	<input type="text"/>	実験の不確かさを大幅に上回る設定として、1/10 倍
項目	溶接部破損時の 最大ひずみ	設定根拠																	
ベースケース	<input type="text"/>	MAAP推奨範囲のノミナル値																	
感度解析ケース	<input type="text"/>	実験の不確かさを大幅に上回る設定として 1/10 倍																	
項目	溶接部破損時の 最大歪み	設定根拠																	
ベースケース	<input type="text"/>	当該変数推奨範囲の最確値																	
感度解析ケース	<input type="text"/>	実験の不確かさを大幅に上回る設定として、1/10 倍																	

泊発電所 3号炉 有効性評価 比較表

付録3 重大事故等対策の有効性評価に係るシビアアクシデント解析コードについて（添付1 高圧溶融物放出／格納容器雰囲気直接加熱の防止について）

女川原子力発電所2号炉	泊発電所3号炉	相違理由
<p><u>b. 解析結果</u></p> <p>図4-8-1, 図4-8-2, 図4-8-3, 図4-8-4, 図4-8-5, 図4-8-6, 図4-8-7 及び図4-8-8に、溶接部破損時の最大ひずみの感度解析結果を示す。</p> <p>本パラメータの影響は溶融炉心の下部プレナムへの落下以降に現れる。感度解析ケースは、原子炉圧力容器破損に至る判定の基準を変更したものであるため、溶接部が破損する時点までの原子炉圧力の挙動は同等である。溶接部破損割合は、貫通部溶接部に係るせん断応力とそれに対する最大引張強度の関係、及び溶融炉心からの伝熱による溶接部ひずみと許容できる最大ひずみの関係から計算される。リロケーション時には原子炉圧力が過渡的に上昇することから、内外圧差によるせん断応力が大きくなり、溶接部破損割合が増加している。原子炉圧力が低下した後は、せん断応力は低下するが、溶接サポート部の最大引張強度が、溶融炉心からの伝熱により低下するため、溶接部破損割合はゼロにはならない。その後、下部プレナムの溶融炉心からの伝熱により、下部ヘッドにひずみが生じ始めた時点でベースケースと感度解析ケースでは差異が生じる。感度解析ケースにおいては、溶接部破損時の最大ひずみを1/10倍としたことで、溶接部破損割合がベースケースよりも早く上昇し、原子炉圧力容器の破損時刻が早まっている。ただし、原子炉圧力容器の破損時間の変化としては約13分と小さく、感度解析ケースにおいても溶接部破損時点での原子炉圧力は2.0MPa[gage]を下回っている。</p>	<p><u>解析結果</u></p> <p>図4-10-1～4-10-8に、溶接部破損時の最大歪みの感度解析結果を示す。</p> <p>ベースケースと感度解析ケースで、本パラメータの影響は溶融炉心の下部プレナムへの落下以降に現れる。本ケースは、原子炉容器破損に至る判定の基準を変更したものであるため、溶接部が破損する時点までの1次冷却材圧力の挙動は同等である。クリープ及び溶接部破損割合は破損しきい値に対する割合を示したものであることから、溶融炉心の下部プレナムへのリロケーション後、下部ヘッドに歪みが生じ始めた時点でベースケースと感度解析ケースでは差異が生じる。感度解析ケースにおいては、溶接部破損時の最大歪みを1/10倍としたことで、クリープ及び溶接部破損割合がベースケースよりも早く上昇し、原子炉容器破損の時刻が早まっていることが分かる。ただし、原子炉容器破損時間の変化としては約5分であり、感度解析ケースにおいても溶接部破損時点での1次冷却材圧力は2.0MPa[gage]を下回っている。</p> <p>なお、感度解析ケースにおいて、原子炉容器破損位置は他のケースと異なり原子炉容器最下部のノードとなっており、原子炉容器表面温度として最下部の値を記載している。最下部ノードの表面温度は、リロケーションの直後から上昇するが、水による除熱が持続することから上昇はベースケースに比較して緩やかである。</p>	
<p><u>c. 評価</u></p> <p>溶接部破損時の最大ひずみの原子炉圧力容器の破損時刻に対する感度は小さく、その不確かさが有効性評価の結果に与える影響は小さいと言える。</p>	<p><u>評価</u></p> <p>溶接部破損時の最大歪みの感度は、原子炉容器破損時刻に対して約5分であり、感度は小さいと言える。よって、その不確かさが有効性評価の結果に与える影響は小さいと言える。</p>	

泊発電所3号炉 有効性評価 比較表

付録3 重大事故等対策の有効性評価に係るシビアアクシデント解析コードについて（添付1 高圧溶融物放出／格納容器雰囲気直接加熱の防止について）

女川原子力発電所2号炉	泊発電所3号炉	相違理由
<p>(10) 感度解析パラメータの組み合わせ</p> <p>a. 解析条件</p> <p>これまで解析したケースでは、原子炉圧力容器下部プレナムに溶融炉心が落下した過程で大量の水蒸気が生成され、原子炉圧力は短時間に高いピークが発生した。これは、溶融炉心が水中に落下した過程で粒子化が進み、水への伝熱面積が増大したことが支配的な要因である。この過程で溶融炉心の冷却は進み、下部プレナムに堆積した溶融炉心の温度は低下する。その後、下部プレナムに溜まっていた水がドライアウトすることで蒸気発生が収まる。組み合わせケースでは、原子炉内F C Iに係る影響因子については、下部プレナムへの溶融炉心落下後の原子炉圧力上昇が大きくなるように、原子炉圧力容器の破損時期に係る影響因子については原子炉圧力容器の破損時期が早くなるように、これまでに実施した感度解析パラメータを組み合わせる条件とした。表4-10に組み合わせケースの条件の一覧を示す。</p>	<p>(11) 感度解析パラメータの組合せ</p> <p>抽出したパラメータによる感度解析の結果、図4に示すとおり、いずれのケースにおいても、原子炉容器下部プレナムに冷却水が存在する間は溶融炉心と上面の水あるいは原子炉容器壁との間のギャップ水への伝熱によって原子炉容器壁の温度は上がりず、冷却水がドライアウトした後に、溶融炉心から原子炉容器壁への直接的な伝熱によって原子炉容器壁の温度が上昇し、貫通部の溶接部破損若しくはクリープ破損に至ることを確認した。</p> <p>1次冷却材圧力挙動は、図3-1に示したとおり、下部プレナムへの溶融炉心落下後、圧力スパイクが発生し、その後下部プレナム内の1次冷却材の蒸発により、1次冷却材が減少し、蒸発量が減少することで1次冷却材圧力は減少に転じ、蓄圧タンク圧力である2.0MPa[gage]近傍で下げ止まる。1次冷却材圧力が2.0MPa[gage]近傍にて停滞する現象について、添付1-2に整理する。ここまで感度解析では、いずれのケースも、原子炉容器破損に至るまでの間に1次冷却材圧力は2.0MPa[gage]を下回っていたが、ここでは、感度解析パラメータの組合せを考慮したケースにより、加圧現象が短時間に大きく現れるケースにおける、原子炉容器破損時の1次冷却材圧力に対する感度を確認する。</p> <p>一方、下部プレナムへの溶融炉心落下挙動の不確かさにより1次冷却系の加圧現象にも不確かさがあり、加圧器逃がし弁からの放出質量流量も1次冷却材圧力に応じて変動することから、1次冷却系の減圧現象へも不確かさが伝搬すると考えられる。したがって、加圧現象が小さく、加圧器逃がし弁からの放出質量流量が少なくなり、減圧現象が緩やかになるような組合せについても感度解析を実施する。</p> <p><u>解析条件（圧力スパイクが大きくなるケース）</u></p> <p>「(1) 加圧器逃がし弁の質量流量」の感度解析については、ベースケースが設計値（下限値）を使用していることから、感度解析ケースとしては設計値+10%と、減圧を促進する方向の感度解析を示している。よって、組合せの感度解析の条件からは除外する。</p> <p>これまで解析したケースでは、原子炉容器下部プレナムに溶融炉心が落下した過程で大量の水蒸気が生成され、1次冷却材圧力は短時間に高いピークが発生した。これは、溶融炉心が水中に落下した過程で粒子化が進み、水への伝熱面積が急増したことが支配的な要因である。この過程で溶融炉心の冷却は進み、下部プレナムに堆積した溶融炉心の温度は低下する。その後、下部プレナムに溜まっていた水がドライアウトすることで蒸気発生が収まる。組み合わせケースでは、原子炉内F C Iに係る影響因子については、下部プレナムへの溶融炉心落下後の原子炉圧力上昇が大きくなるように、原子炉圧力容器の破損時期に係る影響因子については原子炉圧力容器の破損時期が早くなるように、これまでに実施した感度解析パラメータを組み合わせる条件とする。以下に感度解析ケース1の条件の一覧を示す。</p>	

泊発電所3号炉 有効性評価 比較表

付録3 重大事故等対策の有効性評価に係るシビアアクシデント解析コードについて（添付1 高圧溶融物放出／格納容器雰囲気直接加熱の防止について）

女川原子力発電所2号炉				泊発電所3号炉			相違理由
表4-10 感度解析パラメータの組み合わせ条件							
項目	ベースケース	組み合わせ ケース	設定根拠	項目	ベースケース	感度解析 ケース1	設定根拠
炉心ノード崩壊の パラメータ (炉心温度)	<input type="checkbox"/> K	<input type="checkbox"/> K	炉心ノードが崩壊する時間を早めるよ うに設定	蓄圧注入系流動抵抗 係数	<input type="checkbox"/>	<input type="checkbox"/>	プラント設計に基づく値の 50%増
溶融ジェット径	<input type="checkbox"/> m	<input type="checkbox"/> m	クラスト破損面積が小さい場合を想定	破損口の初期径	<input type="checkbox"/> m	<input type="checkbox"/> m	クラスト破損面積が 小さい場合を想定
エントレインメント 係数	<input type="checkbox"/>	<input type="checkbox"/>	MAAP推奨範囲の最大値	エントレインメント 係数	<input type="checkbox"/>	<input type="checkbox"/>	当該変数推奨範囲の最大値
デブリ粒子径 ファクタ	<input type="checkbox"/>	<input type="checkbox"/>	MAAP推奨範囲の最小値	粒子径ファクタ	<input type="checkbox"/>	<input type="checkbox"/>	当該変数推奨範囲の最小値
ジルコニウム-水 反応速度の係数	1倍	2倍	燃料被覆管表面積に基づく値の2倍	ジルコニウム-水反 応速度の係数	1倍	2倍	燃料被覆管表面積に基づく値の 2倍
限界熱流束に係る係 数	<input type="checkbox"/>	<input type="checkbox"/>	水への熱伝達が制限される値	時間で炉心崩壊に 至る場合の炉心温度	<input type="checkbox"/> K	<input type="checkbox"/> K	燃料ペレットが崩壊する時間を 早めるように設定
溶融炉心と原子炉圧 力容器間の熱伝達	<input type="checkbox"/>	<input type="checkbox"/>	溶融炉心と下部プレナムが接触する場 合を想定	限界熱流束にかかる 係数	<input type="checkbox"/>	<input type="checkbox"/>	水への熱伝達が制限される値
溶接部破損時の 最大ひずみ	<input type="checkbox"/>	<input type="checkbox"/>	実験の不確かさを大幅に上回る設定と して1/10倍	下部プレナムギャップ の除熱量にかかる 係数	<input type="checkbox"/>	<input type="checkbox"/>	溶融炉心と下部プレナム が接触
本資料のうち、枠囲みの内容は 商業機密に属しますので公開でき ません。				枠囲みの内容は商業機密に属し ますので公開できません。			
<b>b. 解析結果</b>							
図4-9-1 にこれまでの感度解析と感度解析パラメータの組み合わせケースについて主要な事 象進展を示す。図4-9-2、図4-9-3、図4-9-4、図4-9-5、図4-9-6、図4-9-7、図4-9-8 及び図 4-9-9 に、感度解析パラメータを組み合わせた場合の感度解析結果を示す。				<b>解析結果 (圧力スパイクが大きくなるケース)</b>			
図4-9-1 より、組み合わせケースでは、原子炉圧力容器の破損時刻は、ベースケースに比べて約19分早くなっており、他の感度解析結果と比較しても、最も早く原子炉圧力容器破損に至 っているが、原子炉圧力容器破損時の圧力は、逃がし安全弁の開放により原子炉減圧されている ことにより2.0MPa[gage]を十分下回る約0.5MPa[gage]となっている。これらの挙動について以下 のとおり考察する。				図4-11-1~4-11-10に、感度解析パラメータを組み合わせた場合の感度解析結果を示す。 感度解析ケース1では、原子炉容器破損時刻は、ベースケースに比べて約67分早くなってい るが、原子炉容器破損時の1次冷却材圧力は、加圧器逃がし弁により減圧されることにより 2.0MPa[gage]を下回る結果となっている。これらの挙動について以下のとおり考察する。			

泊発電所3号炉 有効性評価 比較表

付録3 重大事故等対策の有効性評価に係るシビアアクシデント解析コードについて（添付1 高圧溶融物放出／格納容器雰囲気直接加熱の防止について）

女川原子力発電所2号炉	泊発電所3号炉	相違理由
<p>①原子炉の加圧事象</p> <p>下部ブレナムへのリロケーション時の原子炉の加圧挙動は、溶融炉心と水の接触による急激な水蒸気生成により支配され、これらに影響するパラメータとして、溶融ジェット径、エントレインメント係数、デブリ粒子径等がある。これらの不確かさを感度解析により考慮した結果、原子炉圧力のピーク圧は、ベースケースよりわずかに上昇しているが、リロケーション時の圧力上昇は一時的なものであり、原子炉圧力容器破損時には原子炉圧力は 2.0MPa[gage]を大きく下回っている点でベースケースと同等である。</p>	<p>①1次冷却系の加圧事象</p> <p>1次冷却系の加圧挙動は、蓄圧注入及び溶融炉心と水の接触による急激な水蒸気生成により支配され、これらに影響するパラメータとして、(2) 蓄圧注入の圧力損失、(3) 破損口径、(4) エント雷インメント係数、(5) デブリ粒子の径などがあり、感度解析によりその不確かさを考慮している。</p> <p>蓄圧タンク注入流量については、加圧器逃がし弁による1次冷却系強制減圧開始により1次冷却材圧力が蓄圧タンク圧力を下回ると注入を開始し、その後は1次冷却材圧力に応じて注入と停止を繰り返す。その後、下部ブレナムへの溶融炉心落下によって1次冷却材圧力が急上昇することで、蓄圧タンクからの注入は停止する。この時の1次冷却材圧力のピーク圧は、破損口径、エント雷インメント係数、デブリ粒子の径の不確かさを考慮したことによりベースケースの約1.5倍まで急上昇している。その後、加圧器逃がし弁からの放出により1次冷却材圧力が低下し、再度蓄圧タンク圧力を下回ると、残存していた蓄圧タンク水の注入が再開する。蓄圧注入が再開すれば、新たに蒸気が発生することとなり、加圧源となり得るが、この間は加圧器逃がし弁から放出が継続しており、蓄圧タンクからの注入がある期間でも、加圧器逃がし弁からの放出質量流量が蓄圧タンク注入流量を上回っているため、1次冷却材圧力は低下する。</p> <p>②1次冷却系の減圧現象（1次冷却材圧力が2.0MPa[gage]まで低下する時間）</p> <p>1次冷却系の減圧挙動は、加圧器逃がし弁から蒸気放出により支配され、これに影響するパラメータとして、(1) 加圧器逃がし弁質量流量があるが、本パラメータの感度解析については、ベースケースが設計値（下限値）を使用しており、不確かさを考慮すると、減圧を促進する方向であることから、組合せの感度解析の条件からは除外している。</p> <p>加圧器逃がし弁及び安全弁からの蒸気の放出質量流量については、図4-11-9に示すように、1次冷却材圧力が安全弁設定圧程度となる期間は比較的大きく、約3.2時間後に加圧器逃がし弁による1次冷却系強制減圧を開始した時点から連続的に放出されるようになる。約4.9時間後に下部ブレナムに溶融炉心が大量に落下すると、急激な水蒸気の発生により、1次冷却材圧力は増大する。DCH防止に対する評価については、この圧力スパイクを早期に2.0MPa[gage]まで低下させることが重要である。本感度解析ケースの場合、圧力スパイクにより、前述のとおり1次冷却材圧力はベースケースの約1.5倍まで上昇しているが、1次冷却材圧力に応じて加圧器逃がし弁からの放出質量流量も多くなるため、圧力の低下も早くなる。その後、下部ブレナム内の1次冷却材の蒸発により、1次冷却材が減少し、蒸発量が減少することで1次冷却材圧力は減少に転じ、約5.0時間後にドライアウトし、約5.5時間後に1次冷却材圧力は2.0MPa[gage]を下回る。その後、約5.6時間後に原子炉容器が破損し、加圧器逃がし弁からの</p>	※PWR固有のパラメータ

泊発電所3号炉 有効性評価 比較表

付録3 重大事故等対策の有効性評価に係るシビアアクシデント解析コードについて（添付1 高圧溶融物放出／格納容器雰囲気直接加熱の防止について）

女川原子力発電所2号炉	泊発電所3号炉	相違理由
<p>②原子炉圧力容器破損（原子炉圧力容器破損タイミング）</p> <p>原子炉圧力容器破損（原子炉圧力容器破損タイミング）については、溶融炉心からの熱負荷、破損形態等により支配され、これらに影響するパラメータとして、ジルコニウム-水反応速度、燃料ペレットが崩壊する時間及び温度、下部ブレナム内の溶融炉心と上面水プールとの間の伝熱、溶接部破損時の最大ひずみがある。これらの不確かさを感度解析により考慮した結果、原子炉圧力容器破損のタイミングは、ベースケースよりも約19分早く原子炉圧力容器破損に至る結果となったが、原子炉圧力は原子炉圧力容器破損時間に対して十分早い段階で2.0MPa[gage]を下回っている結果に変わりはない。</p>	<p>放出は停止する。以上より、感度解析パラメータの組合せケース1において、ドライアウトから約0.5時間後に1次冷却材圧力は2.0MPa[gage]を下回る結果となった。</p> <p>③原子炉容器破損（原子炉容器破損タイミング）</p> <p>原子炉容器破損（原子炉容器破損タイミング）については、溶融炉心からの熱負荷、破損形態などにより支配され、これらに影響するパラメータとして、(6)ジルコニウム-水反応速度、(7)燃料ペレットが崩壊する時間及び温度、(8)下部ブレナム内の溶融炉心と上面水プールとの間の限界熱流束、(9)溶融炉心と原子炉容器間の熱伝達、(10)溶接部破損時の最大歪みがあり、感度解析によりその不確かさを考慮している。</p> <p>原子炉容器破損のタイミングについては、原子炉容器表面温度に依存し、図4-11-4に示すように、約4.9時間後に下部ブレナムに溶融炉心が大量に落下すると、1次冷却材の蒸発により約5.0時間後にドライアウトし、原子炉容器表面温度が急上昇し、約5.6時間後に破損に至る。以上より、感度解析パラメータの組合せケース1において、ドライアウトから約0.6時間後に原子炉容器破損に至る結果となった。</p> <p><u>解析条件（圧力スパイクが小さくなるケース）</u></p> <p>感度解析ケース2では、下部ブレナムへの溶融炉心落下後の1次冷却材圧力上昇が抑制され、加圧器逃がし弁からの放出質量流量が少なくなるように、感度解析パラメータを組み合わせる。溶融炉心が落下した過程で粒子化が進まない場合を考えると、水蒸気発生量が少なく、1次冷却材圧力の上昇が小さくなる。しかしながら、加圧器逃がし弁による減圧効果は1次冷却材圧力に応じた臨界流量に依存するため、1次冷却材圧力のピークが低いと減圧効果が小さく、1次冷却材圧力の低下が緩やかになると考えられる。</p> <p>そこで、溶融炉心が下部ブレナムに落下した時の1次冷却材圧力上昇が小さくなる感度解析を実施し、1次冷却系減圧操作の有効性に対する影響を確認する。以下に感度解析ケース2の条件の一覧を示す。</p>	

泊発電所 3号炉 有効性評価 比較表

付録3 重大事故等対策の有効性評価に係るシビアアクシデント解析コードについて（添付1 高圧溶融物放出／格納容器雰囲気直接加熱の防止について）

女川原子力発電所2号炉	泊発電所 3号炉			相違理由
	項目	ベースケース	感度解析 ケース2	設定根拠
	蓄圧注入系流動抵抗係数	<input type="checkbox"/>	<input type="checkbox"/>	プラント設計に基づく値
	破損口の初期径	<input type="checkbox"/> m	<input type="checkbox"/> m	下部炉心支持板の水力等価直径相当
	エントレインメント係数	<input type="checkbox"/>	<input type="checkbox"/>	当該変数推奨範囲の最小値
	粒子径ファクタ	<input type="checkbox"/>	<input type="checkbox"/>	当該変数推奨範囲の最大値
	ジルコニウム－水反応速度の係数	1倍	1倍	燃料被覆管表面積に基づく値
	□時間で炉心崩壊に至る場合の炉心温度	<input type="checkbox"/> K	<input type="checkbox"/> K	当該変数推奨範囲の最確値
	限界熱流束にかかる係数	<input type="checkbox"/>	<input type="checkbox"/>	水への熱伝達が制限される値
	下部プレナムギャップの除熱量にかかる係数	<input type="checkbox"/>	<input type="checkbox"/>	当該変数推奨範囲の最確値
	溶接部破損時の最大歪み	<input type="checkbox"/>	<input type="checkbox"/>	当該変数推奨範囲の最確値
	枠内の内容は商業機密に属しますので公開できません。			
	<u>解析結果（圧力スパイクが小さくなるケース）</u>			
	感度解析ケース2においては、原子炉容器破損時刻はベースケースに比べて約3分遅くなっています。原子炉容器破損時の1次冷却材圧力は2.0MPa[gage]を下回る結果となっている。これらの挙動について以下のとおり考察する。			
	① 1次冷却系の加圧事象 本ケースでは、溶融炉心の下部プレナムへの落下による1次冷却材圧力上昇が小さく抑制されるように感度解析パラメータを設定している。具体的には、エントレインメント係数を小さく、デブリ粒子の径を大きく、下部プレナム内の溶融炉心と上面水プールとの間の限界熱流			

泊発電所 3号炉 有効性評価 比較表

付録3 重大事故等対策の有効性評価に係るシビアアクシデント解析コードについて（添付1 高圧溶融物放出／格納容器雰囲気直接加熱の防止について）

女川原子力発電所2号炉	泊発電所 3号炉	相違理由
	<p>東を小さく設定している。このため、溶融炉心の下部プレナムへの落下時の圧力スパイクが、ベースケースの約 0.7 倍となっている。</p> <p>② 1次冷却系の減圧現象（1次冷却材圧力が 2.0 MPa[gage]まで低下する時間）        本ケースでは、圧力スパイクのピーク値がベースケースより低くなっていることから、加圧器逃がし弁からの放出質量流量が少なくなるため、溶融炉心の下部プレナムへの落下に伴う 1 次冷却材圧力が高い期間が、ベースケースに比べて長く継続する。感度解析パラメータを水蒸気生成が起こりにくい方向に設定しているため、1次冷却材圧力が 2.0 MPa[gage]を下回る直前まで下部プレナムのドライアウトは生じない。具体的には、下部プレナムのドライアウトは約 6.3 時間、1次冷却材圧力が 2.0 MPa[gage]を下回るのが約 6.5 時間である。下部プレナムのドライアウトから、下部プレナムに堆積した溶融炉心によって原子炉容器壁が加熱され、原子炉容器破損（約 6.8 時間）に至るまでの間に 1次冷却材圧力が減圧されることから、1次冷却材圧力は原子炉容器破損前に 2.0 MPa[gage]まで低下する結果となっている。以上より、感度解析パラメータの組合せケース 2において、ドライアウトから約 0.2 時間後に 1次冷却材圧力は 2.0 MPa[gage]を下回る結果となった。</p> <p>③ 原子炉容器破損（原子炉容器破損タイミング）        原子炉容器破損のタイミングについては、原子炉容器表面温度に依存し、図 4-11-4 に示すように、約 5.5 時間後に下部プレナムに溶融炉心が落下を開始すると、1次冷却材の蒸発により約 6.3 時間後にドライアウトし、原子炉容器表面温度が上昇して、約 6.8 時間後に破損に至る。以上より、感度解析パラメータの組合せケース 2において、ドライアウトから約 0.5 時間後に原子炉容器破損に至る結果となった。</p> <p>以上のとおり、本事象においては、原子炉容器破損時の 1次冷却材圧力は、1次冷却系の加圧現象、1次冷却系の減圧現象、原子炉容器破損に至る時間的挙動によって支配される。</p> <p>1次冷却系の加圧と減圧のバランスについては、蓄圧タンクからの注入が停止する期間は、加圧器逃がし弁から放出が継続しており、蓄圧タンクからの注入がある期間でも、加圧器逃がし弁からの放出質量流量が蓄圧タンク注入流量を上回っているため、1次冷却材圧力は低下する。その結果、感度解析ケース 1 では約 5.5 時間後に、感度解析ケース 2 では約 6.5 時間後に 1次冷却材圧力は 2.0 MPa[gage]を下回る。本事象は、この 1次冷却材圧力の低下と、溶融炉心が下部プレナムに落下し、原子炉容器表面温度が上昇することにより、原子炉容器破損に至る時間的挙動に依存する。</p> <p>パラメータの組合せを考慮した感度解析ケース 1 では、圧力スパイクが大きく現れるが、1次冷却材圧力に応じて加圧器逃がし弁からの放出質量流量が多くなり、ドライアウトから 1 次冷</p>	

泊発電所3号炉 有効性評価 比較表

付録3 重大事故等対策の有効性評価に係るシビアアクシデント解析コードについて（添付1 高圧溶融物放出／格納容器雰囲気直接加熱の防止について）

女川原子力発電所2号炉	泊発電所3号炉	相違理由
<p>以上のとおり、パラメータの組み合せを考慮した感度解析ケースでは、圧力スパイクが大きくなり、原子炉圧力容器破損タイミングが早くなるが、原子炉圧力容器破損の前に原子炉圧力が2.0MPa[gage]を十分下回る結果となった。</p> <p><u>c. 評価</u></p> <p>下部プレナムへの溶融炉心落下挙動の不確かさにより、原子炉の圧力挙動にも不確かさがある。加圧現象が短時間に大きく現れる場合についても、原子炉圧力容器破損前には原子炉圧力が2.0MPa[gage]を十分に下回ることを確認した。</p>	<p>却材圧力が2.0MPa[gage]まで低下する時間は、約0.5時間となった。これに対し、ドライアウトから原子炉容器破損までの時間は約0.6時間となることから、感度解析パラメータの組合せを考慮した場合でも、原子炉容器破損の前に1次冷却材圧力が2.0MPa[gage]を下回る結果となった。</p> <p>また、圧力スパイクが小さく、加圧器逃がし弁からの放出質量流量が少なくなる感度解析ケース2については、ドライアウトから1次冷却材圧力が2.0MPa[gage]まで低下する時間は約0.2時間、ドライアウトから原子炉容器破損までの時間は約0.5時間であり、感度解析パラメータの組合せを考慮した場合でも、原子炉容器破損の前に1次冷却材圧力が2.0MPa[gage]を下回る結果となった。</p> <p><u>評価</u></p> <p>下部プレナムへの溶融炉心落下挙動の不確かさにより1次冷却系の加圧現象にも不確かさがあり、加圧器逃がし弁からの放出質量流量も1次冷却材圧力に応じて変動することから、1次冷却系の減圧現象へも不確かさが伝搬する。加圧現象が短時間に大きく現れる場合については、減圧現象も促進され、原子炉容器破損前には1次冷却材圧力が2.0MPa[gage]を下回ることを確認した。</p> <p>また、加圧現象が小さく、加圧器逃がし弁からの放出質量流量が少なくなるようなケースで減圧現象が緩やかになるような場合でも、ドライアウトの時期が遅くなるため、それに応じて原子炉容器破損の時期も遅くなることから、1次冷却材圧力は原子炉容器破損前に2.0MPa[gage]まで低下することを確認した。</p> <p>加圧現象が短時間に大きく現れる場合については、減圧操作開始からドライアウトまでの時間が早いうえ、ドライアウト時の1次冷却材圧力が高く、1次冷却材圧力が2.0MPa[gage]に低下してから原子炉容器破損に至る時間余裕も約0.1時間と短くなってしまい、最も厳しい結果であると考えられる。</p> <p>なお、減圧操作時間の不確かさを考慮して1次冷却系強制減圧のタイミングを早めた場合について、以下のとおり考察する。</p> <p>ベースケースでは炉心損傷検知から10分後に1次冷却系強制減圧操作を開始することとしているが、実際の操作においては、準備が完了すればその段階で1次冷却系強制減圧を実施することとなっているため、開始が早まる方向の不確かさが存在する。この場合、ベースケースより早期に1次冷却系の減圧が開始され、それに伴い蓄圧注入の開始時刻も早まる。ここでは炉心溶融開始時点で1次冷却系強制減圧操作を行うこと、即ち10分早く減圧操作を開始した場合の</p>	

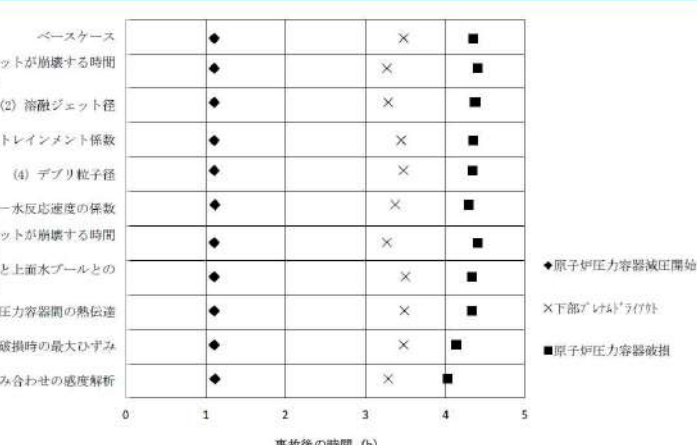
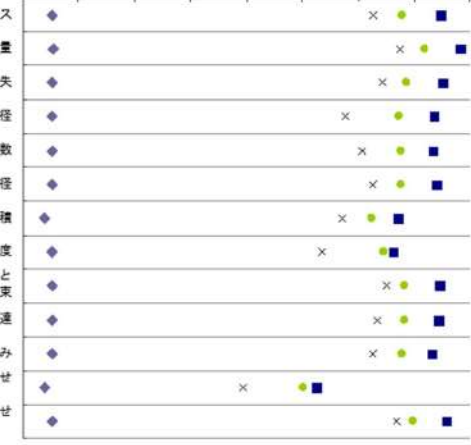
泊発電所 3号炉 有効性評価 比較表

付録3 重大事故等対策の有効性評価に係るシビアアクシデント解析コードについて（添付1 高圧溶融物放出／格納容器雰囲気直接加熱の防止について）

女川原子力発電所2号炉	泊発電所 3号炉	相違理由
	<p>影響を検討する。</p> <p>1次冷却材圧力挙動については、1次冷却系強制減圧のタイミングを早めることでベースケースより早く蓄圧注入が開始され、蓄圧注入開始後は、添付1-2のとおり、蓄圧タンク圧力と1次冷却材圧力が平衡状態となり、時間とともに減衰する。よって、1次冷却系強制減圧開始時点を起点として、溶融炉心が原子炉容器下部プレナムへ落下することで圧力ピークが生じるまでの1次冷却系減圧挙動は、ベースケースと同等と考えられる。</p> <p>一方、10分早く1次冷却系強制減圧操作を開始することに伴い、ベースケースと比較して、崩壊熱が約1%高い状態で事象が進展することになり、1次冷却材圧力挙動に影響を与えると考えられるが、炉心溶融開始初期には、崩壊熱が1%増加することによる熱量よりも、「(6) ジルコニウム-水反応速度」において想定したジルコニウム-水反応による酸化反応熱の方が大きく上回っているため、炉心のヒートアップ速度を早めた感度解析に包絡されると考えられる。したがって、10分早く1次冷却系強制減圧操作を開始しても、下部プレナムドライアウト後に1次冷却材圧力が2.0MPa[gage]以下となり、その後に原子炉容器破損に至ると考えられる。</p> <p>なお、蓄圧タンク水量については、ベースケースにおいて原子炉容器破損時の蓄圧タンク全台の保有水は約60t存在し、原子炉容器破損により減圧する時に残りの水量が放出される。これに基づき、添付1-2のとおり蓄圧タンク気相部の等温膨張を考慮した計算を行うと、次式より蓄圧タンクの水量は、蓄圧タンク圧力（1次冷却材圧力）が1MPa[gage]以下まで減圧しないと蓄圧タンク水量の下限値まで到達しない。よって、10分早く1次冷却系強制減圧を開始したとしても、1次冷却材圧力が2.0MPa[gage]近傍にある間は蓄圧注入水が不足することは無い。</p> $P = \frac{P_0(V_T - V_{w0})}{V_T} \leq 1 \text{ MPa}$ <p>P : 蓄圧タンク圧力  <math>P_0</math> : 蓄圧タンク初期圧力  <math>V_T</math> : 蓄圧タンク容積  <math>V_{w0}</math> : 蓄圧タンク初期水の体積</p>	

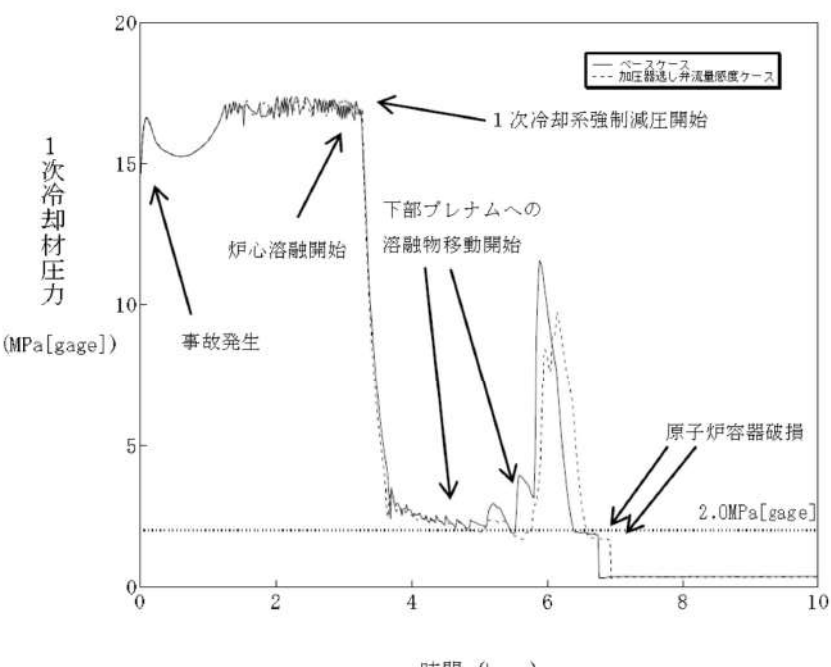
泊発電所 3号炉 有効性評価 比較表

付録3 重大事故等対策の有効性評価に係るシビアアクシデント解析コードについて（添付1 高圧溶融物放出／格納容器雰囲気直接加熱の防止について）

女川原子力発電所2号炉	泊発電所3号炉	相違理由																																																				
<p>【参考のため掲載順を入れ替えた】</p>  <table border="1"> <caption>Figure 4-9-1 Data (Approximate values)</caption> <thead> <tr> <th>Parameter</th> <th>Failure Time (h)</th> </tr> </thead> <tbody> <tr><td>ベースケース</td><td>4.5</td></tr> <tr><td>(1) 溶融落下流量</td><td>4.5</td></tr> <tr><td>(2) 溶融ジェット径</td><td>4.5</td></tr> <tr><td>(3) エントレインメント係数</td><td>4.5</td></tr> <tr><td>(4) デブリ粒子径</td><td>4.5</td></tr> <tr><td>(5) ジルコニアム-水反応速度</td><td>4.5</td></tr> <tr><td>(6) 炉心崩壊挙動</td><td>4.5</td></tr> <tr><td>(7) 下部プレナム内の溶融炉心と上面水プールとの間の伝熱</td><td>4.5</td></tr> <tr><td>(8) 溶融炉心と原子炉圧力容器間の熱伝達</td><td>4.5</td></tr> <tr><td>(9) 溶接部破損時の最大ひずみ</td><td>4.5</td></tr> <tr><td>(10) 全パラメータ組み合わせの感度解析</td><td>4.5</td></tr> </tbody> </table> <p>図 4-9-1 感度解析における原子炉圧力容器破損等の整理</p>	Parameter	Failure Time (h)	ベースケース	4.5	(1) 溶融落下流量	4.5	(2) 溶融ジェット径	4.5	(3) エントレインメント係数	4.5	(4) デブリ粒子径	4.5	(5) ジルコニアム-水反応速度	4.5	(6) 炉心崩壊挙動	4.5	(7) 下部プレナム内の溶融炉心と上面水プールとの間の伝熱	4.5	(8) 溶融炉心と原子炉圧力容器間の熱伝達	4.5	(9) 溶接部破損時の最大ひずみ	4.5	(10) 全パラメータ組み合わせの感度解析	4.5	 <table border="1"> <caption>Figure 4 Data (Approximate values)</caption> <thead> <tr> <th>Parameter</th> <th>Failure Time (hr)</th> </tr> </thead> <tbody> <tr><td>ベースケース</td><td>5.5</td></tr> <tr><td>(1) 加圧器逃がし弁流量</td><td>5.5</td></tr> <tr><td>(2) 壓圧注入の圧力損失</td><td>5.5</td></tr> <tr><td>(3) 溶融ジェット径</td><td>5.5</td></tr> <tr><td>(4) エントレインメント係数</td><td>5.5</td></tr> <tr><td>(5) デブリ粒子の径</td><td>5.5</td></tr> <tr><td>(6) ヒートアップ時の被覆管表面積</td><td>5.5</td></tr> <tr><td>(7) 燃料ペレットが崩壊する時間及び温度</td><td>5.5</td></tr> <tr><td>(8) 下部プレナム内の炉心デブリと上面水プールとの間の境界熱流束</td><td>5.5</td></tr> <tr><td>(9) 炉心デブリと原子炉容器間の熱伝達</td><td>5.5</td></tr> <tr><td>(10) 溶接部破損時の最大歪み</td><td>5.5</td></tr> <tr><td>(11-1) 感度解析ケースの組み合わせケース1</td><td>5.5</td></tr> <tr><td>(11-2) 感度解析ケースの組み合わせケース2</td><td>5.5</td></tr> </tbody> </table> <p>図 4 感度解析における原子炉容器破損時間等の整理</p>	Parameter	Failure Time (hr)	ベースケース	5.5	(1) 加圧器逃がし弁流量	5.5	(2) 壓圧注入の圧力損失	5.5	(3) 溶融ジェット径	5.5	(4) エントレインメント係数	5.5	(5) デブリ粒子の径	5.5	(6) ヒートアップ時の被覆管表面積	5.5	(7) 燃料ペレットが崩壊する時間及び温度	5.5	(8) 下部プレナム内の炉心デブリと上面水プールとの間の境界熱流束	5.5	(9) 炉心デブリと原子炉容器間の熱伝達	5.5	(10) 溶接部破損時の最大歪み	5.5	(11-1) 感度解析ケースの組み合わせケース1	5.5	(11-2) 感度解析ケースの組み合わせケース2	5.5	
Parameter	Failure Time (h)																																																					
ベースケース	4.5																																																					
(1) 溶融落下流量	4.5																																																					
(2) 溶融ジェット径	4.5																																																					
(3) エントレインメント係数	4.5																																																					
(4) デブリ粒子径	4.5																																																					
(5) ジルコニアム-水反応速度	4.5																																																					
(6) 炉心崩壊挙動	4.5																																																					
(7) 下部プレナム内の溶融炉心と上面水プールとの間の伝熱	4.5																																																					
(8) 溶融炉心と原子炉圧力容器間の熱伝達	4.5																																																					
(9) 溶接部破損時の最大ひずみ	4.5																																																					
(10) 全パラメータ組み合わせの感度解析	4.5																																																					
Parameter	Failure Time (hr)																																																					
ベースケース	5.5																																																					
(1) 加圧器逃がし弁流量	5.5																																																					
(2) 壓圧注入の圧力損失	5.5																																																					
(3) 溶融ジェット径	5.5																																																					
(4) エントレインメント係数	5.5																																																					
(5) デブリ粒子の径	5.5																																																					
(6) ヒートアップ時の被覆管表面積	5.5																																																					
(7) 燃料ペレットが崩壊する時間及び温度	5.5																																																					
(8) 下部プレナム内の炉心デブリと上面水プールとの間の境界熱流束	5.5																																																					
(9) 炉心デブリと原子炉容器間の熱伝達	5.5																																																					
(10) 溶接部破損時の最大歪み	5.5																																																					
(11-1) 感度解析ケースの組み合わせケース1	5.5																																																					
(11-2) 感度解析ケースの組み合わせケース2	5.5																																																					

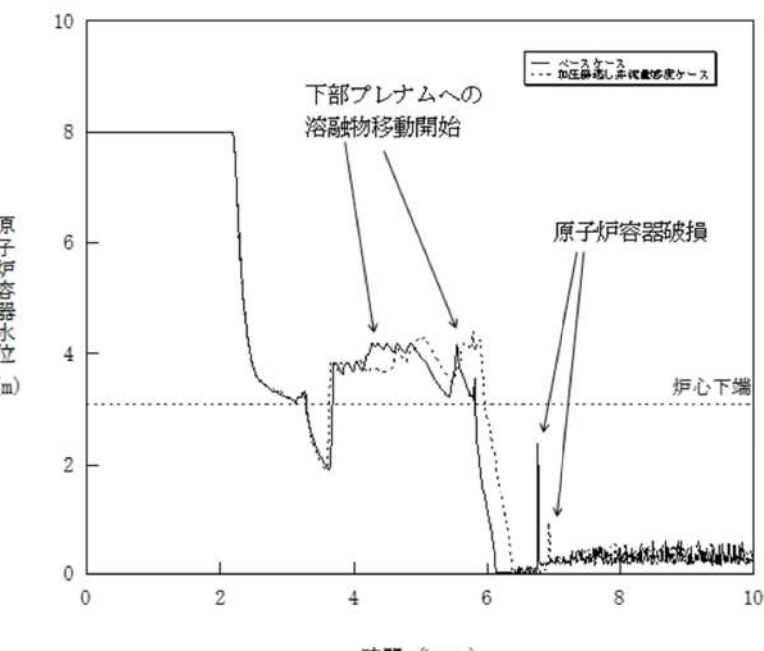
泊発電所 3号炉 有効性評価 比較表

付録3 重大事故等対策の有効性評価に係るシビアアクシデント解析コードについて（添付1 高圧溶融物放出／格納容器雰囲気直接加熱の防止について）

女川原子力発電所2号炉	泊発電所3号炉	相違理由
	<p>「本製品（又はサービス）には、米国電力研究所（the Electric Power Research Institute）の出資により電力産業用に開発された技術が取り入れられています。」</p>  <p>4-1-1 加圧器逃がし弁の質量流量感度解析（1）</p>	※PWR 固有の解析

泊発電所 3号炉 有効性評価 比較表

付録3 重大事故等対策の有効性評価に係るシビアアクシデント解析コードについて（添付1 高圧溶融物放出／格納容器雰囲気直接加熱の防止について）

女川原子力発電所2号炉	泊発電所3号炉	相違理由
	 <p>図 4-1-2 加圧器逃がし弁の質量流量感度解析（2）</p>	※PWR 固有の解析

泊発電所 3号炉 有効性評価 比較表

付録3 重大事故等対策の有効性評価に係るシビアアクシデント解析コードについて（添付1 高圧溶融物放出／格納容器雰囲気直接加熱の防止について）

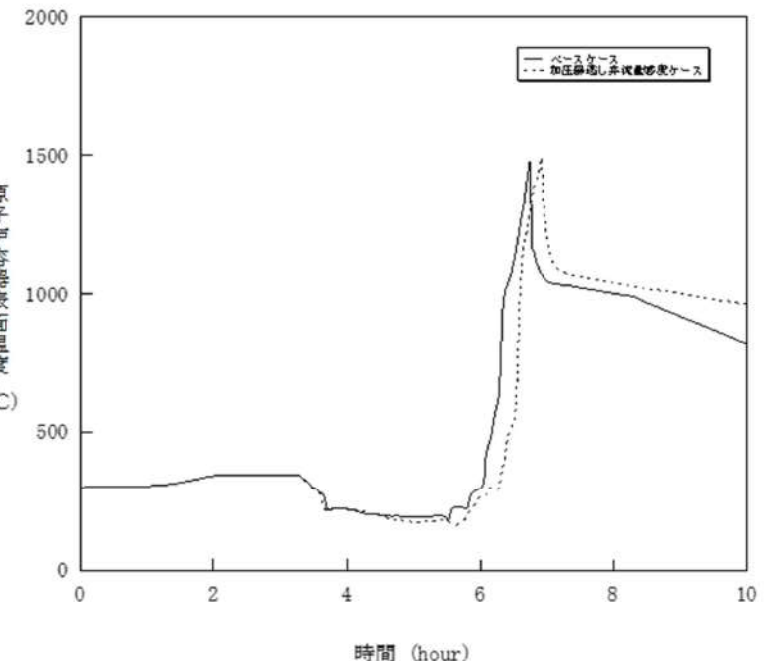
女川原子力発電所2号炉	泊発電所3号炉	相違理由
		※PWR 固有の解析

図4-1-3 加圧器逃がし弁の質量流量感度解析（3）

赤字：設備、運用又は体制の相違（設計方針の相違）  
 青字：記載箇所又は記載内容の相違（記載方針の相違）  
 緑字：記載表現、設備名称の相違（実質的な相違なし）

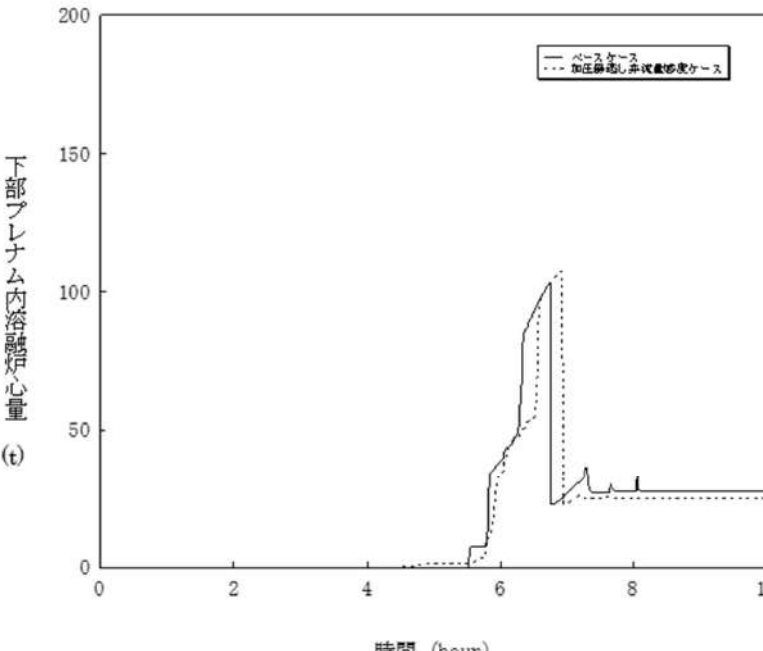
泊発電所 3号炉 有効性評価 比較表

付録3 重大事故等対策の有効性評価に係るシビアアクシデント解析コードについて（添付1 高圧溶融物放出／格納容器雰囲気直接加熱の防止について）

女川原子力発電所2号炉	泊発電所3号炉	相違理由
	 <p>図 4-1-4 加圧器逃がし弁の質量流量感度解析（4）</p>	※PWR 固有の解析

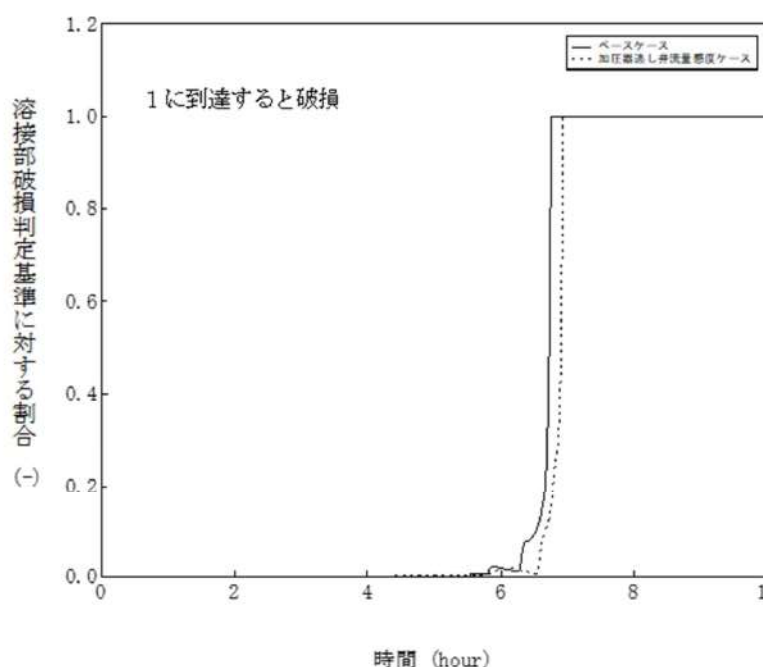
泊発電所 3号炉 有効性評価 比較表

付録3 重大事故等対策の有効性評価に係るシビアアクシデント解析コードについて（添付1 高圧溶融物放出／格納容器雰囲気直接加熱の防止について）

女川原子力発電所2号炉	泊発電所3号炉	相違理由
	 <p>図 4-1-5 加圧器逃がし弁の質量流量感度解析（5）</p>	※PWR 固有の解析

泊発電所 3号炉 有効性評価 比較表

付録3 重大事故等対策の有効性評価に係るシビアアクシデント解析コードについて（添付1 高圧溶融物放出／格納容器雰囲気直接加熱の防止について）

女川原子力発電所2号炉	泊発電所 3号炉	相違理由
	 <p>図 4-1-6 加圧器逃がし弁の質量流量感度解析（6）</p>	※PWR 固有の解析

赤字：設備、運用又は体制の相違（設計方針の相違）  
 青字：記載箇所又は記載内容の相違（記載方針の相違）  
 緑字：記載表現、設備名称の相違（実質的な相違なし）

泊発電所 3号炉 有効性評価 比較表

付録3 重大事故等対策の有効性評価に係るシビアアクシデント解析コードについて（添付1 高圧溶融物放出／格納容器雰囲気直接加熱の防止について）

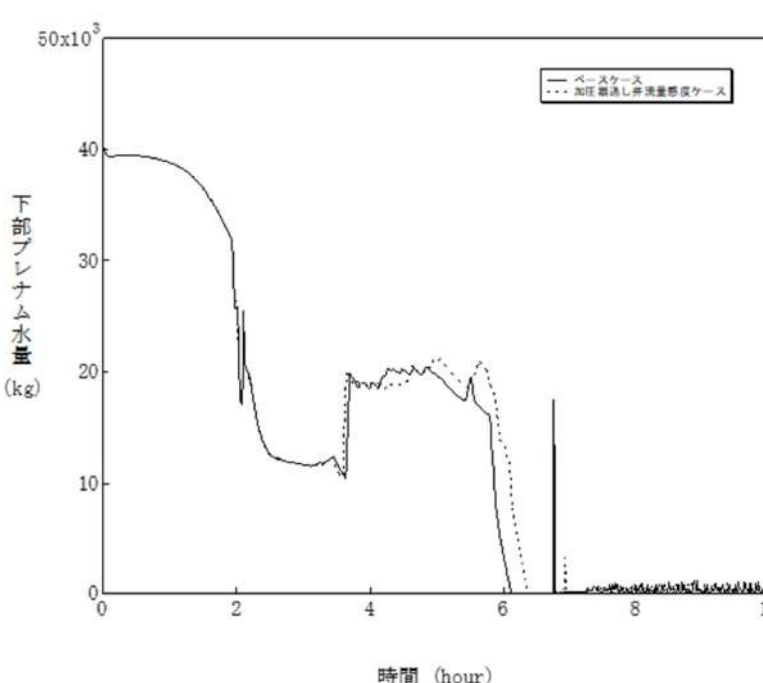
女川原子力発電所2号炉	泊発電所 3号炉	相違理由															
	<p>The graph plots the ratio of creep damage to the damage criterion (クリープ破損判定基準に対する割合) on the y-axis (0.0 to 1.2) against time in hours on the x-axis (0 to 10). A horizontal dashed line at 1.0 is labeled "1に到達すると破損" (Reaches 1, then breaks). The solid line (base case) remains at 0 until approximately 6.5 hours, then jumps to about 0.18 and stays there. The dashed line (pressure relief valve mass flow rate case) starts at 0, reaches 0.18 at 6.5 hours, and then drops sharply to about 0.05 and remains there.</p> <table border="1"> <caption>Data points estimated from Figure 4-1-7</caption> <thead> <tr> <th>時間 (hour)</th> <th>ベースケース (%)</th> <th>加圧器逃し弁質量流量ケース (%)</th> </tr> </thead> <tbody> <tr><td>0</td><td>0.0</td><td>0.0</td></tr> <tr><td>6.5</td><td>0.0</td><td>0.18</td></tr> <tr><td>7.0</td><td>0.18</td><td>0.05</td></tr> <tr><td>10.0</td><td>0.18</td><td>0.05</td></tr> </tbody> </table>	時間 (hour)	ベースケース (%)	加圧器逃し弁質量流量ケース (%)	0	0.0	0.0	6.5	0.0	0.18	7.0	0.18	0.05	10.0	0.18	0.05	※PWR 固有の解析
時間 (hour)	ベースケース (%)	加圧器逃し弁質量流量ケース (%)															
0	0.0	0.0															
6.5	0.0	0.18															
7.0	0.18	0.05															
10.0	0.18	0.05															

図 4-1-7 加圧器逃がし弁の質量流量感度解析 (7)

赤字：設備、運用又は体制の相違（設計方針の相違）  
 青字：記載箇所又は記載内容の相違（記載方針の相違）  
 緑字：記載表現、設備名称の相違（実質的な相違なし）

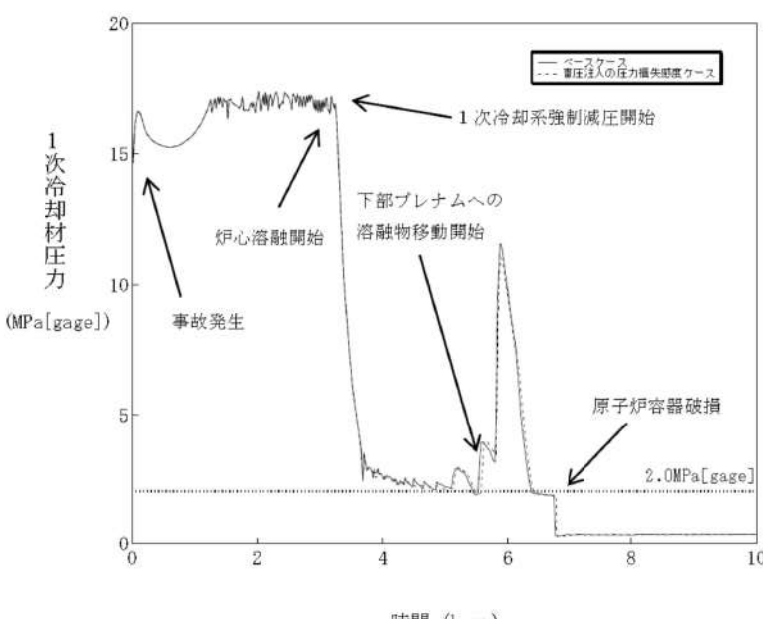
泊発電所 3号炉 有効性評価 比較表

付録3 重大事故等対策の有効性評価に係るシビアアクシデント解析コードについて（添付1 高圧溶融物放出／格納容器雰囲気直接加熱の防止について）

女川原子力発電所2号炉	泊発電所3号炉	相違理由
	 <p>図 4-1-8 加圧器逃がし弁の質量流量感度解析（8）</p>	※PWR 固有の解析

泊発電所 3号炉 有効性評価 比較表

付録3 重大事故等対策の有効性評価に係るシビアアクシデント解析コードについて（添付1 高圧溶融物放出／格納容器雰囲気直接加熱の防止について）

女川原子力発電所2号炉	泊発電所3号炉	相違理由
	 <p>図 4-2-1 蓄圧注入の流動抵抗感度解析（1）</p>	※PWR 固有の解析

泊発電所 3号炉 有効性評価 比較表

付録3 重大事故等対策の有効性評価に係るシビアアクシデント解析コードについて（添付1 高圧溶融物放出／格納容器雰囲気直接加熱の防止について）

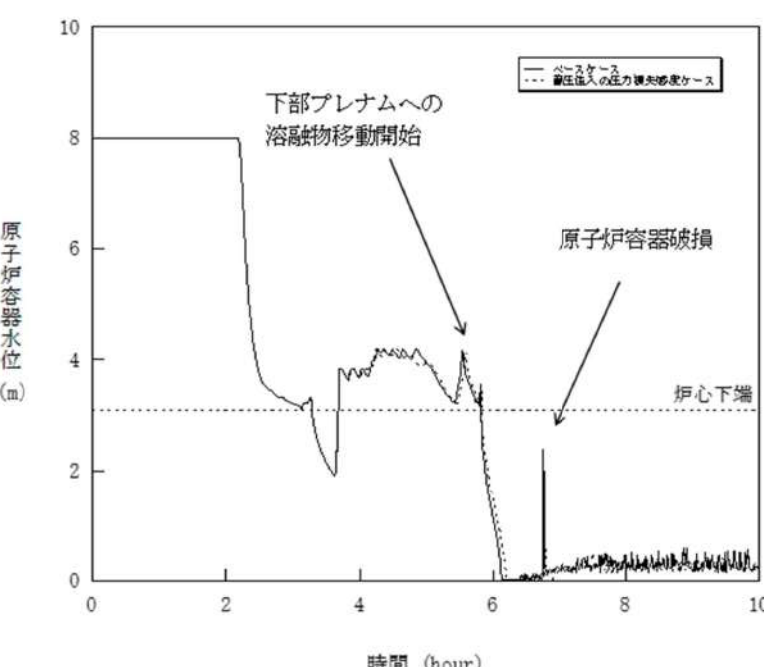
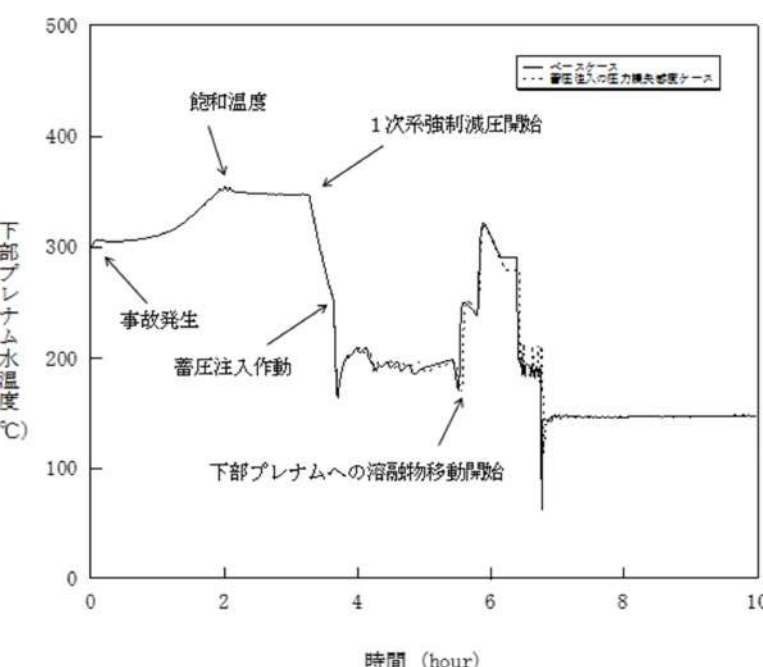
女川原子力発電所2号炉	泊発電所 3号炉	相違理由
	 <p>下部プレナムへの 溶融物移動開始</p> <p>原子炉容器破損</p> <p>炉心下端</p> <p>時間 (hour)</p> <p>原子炉容器水位 (m)</p>	※PWR 固有の解 析

図 4-2-2 蓄圧注入の流動抵抗感度解析（2）

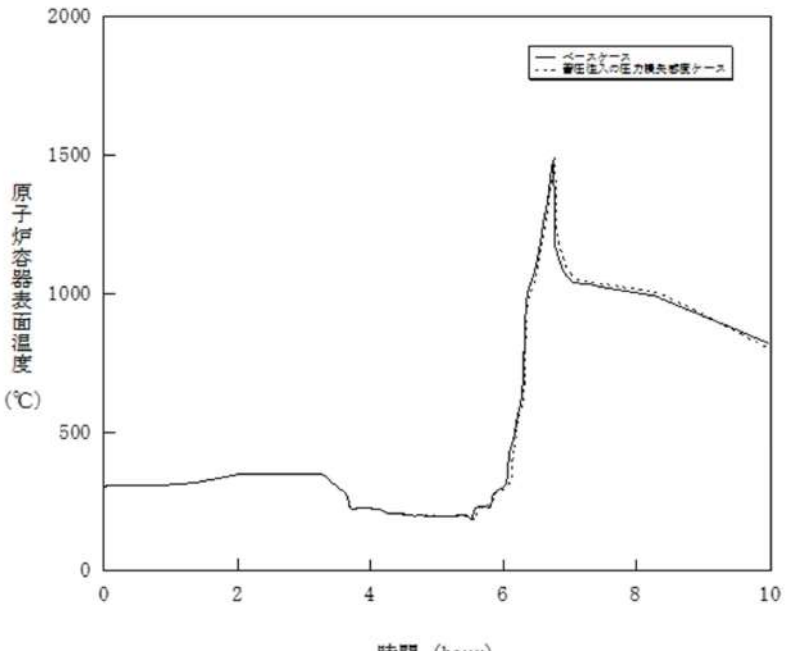
泊発電所 3号炉 有効性評価 比較表

付録3 重大事故等対策の有効性評価に係るシビアアクシデント解析コードについて（添付1 高圧溶融物放出／格納容器雰囲気直接加熱の防止について）

女川原子力発電所2号炉	泊発電所 3号炉	相違理由
	 <p>図 4-2-3 蓄圧注入の流動抵抗感度解析（3）</p>	※PWR 固有の解析

泊発電所 3号炉 有効性評価 比較表

付録3 重大事故等対策の有効性評価に係るシビアアクシデント解析コードについて（添付1 高圧溶融物放出／格納容器雰囲気直接加熱の防止について）

女川原子力発電所2号炉	泊発電所3号炉	相違理由
	 <p>図 4-2-4 蓄圧注入の流動抵抗感度解析（4）</p>	※PWR 固有の解析

赤字：設備、運用又は体制の相違（設計方針の相違）  
 青字：記載箇所又は記載内容の相違（記載方針の相違）  
 緑字：記載表現、設備名称の相違（実質的な相違なし）

泊発電所 3号炉 有効性評価 比較表

付録3 重大事故等対策の有効性評価に係るシビアアクシデント解析コードについて（添付1 高圧溶融物放出／格納容器雰囲気直接加熱の防止について）

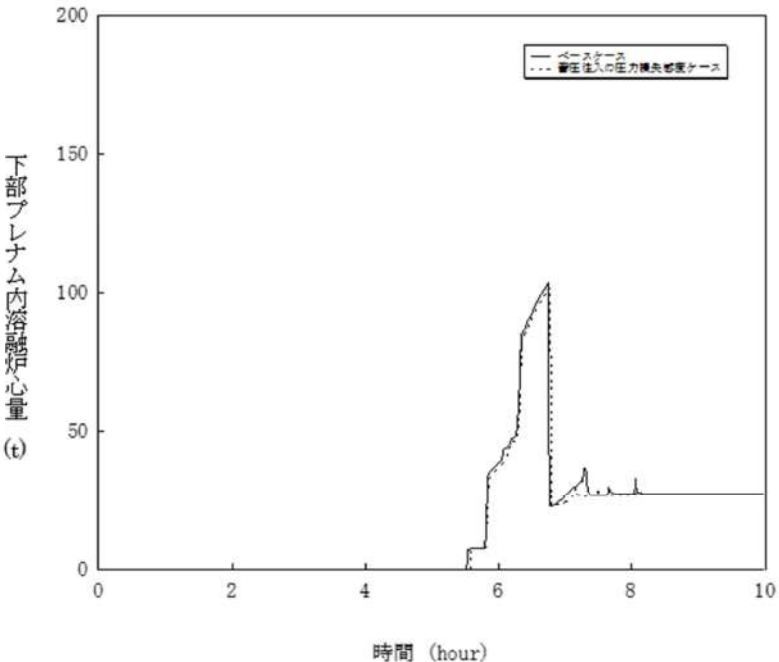
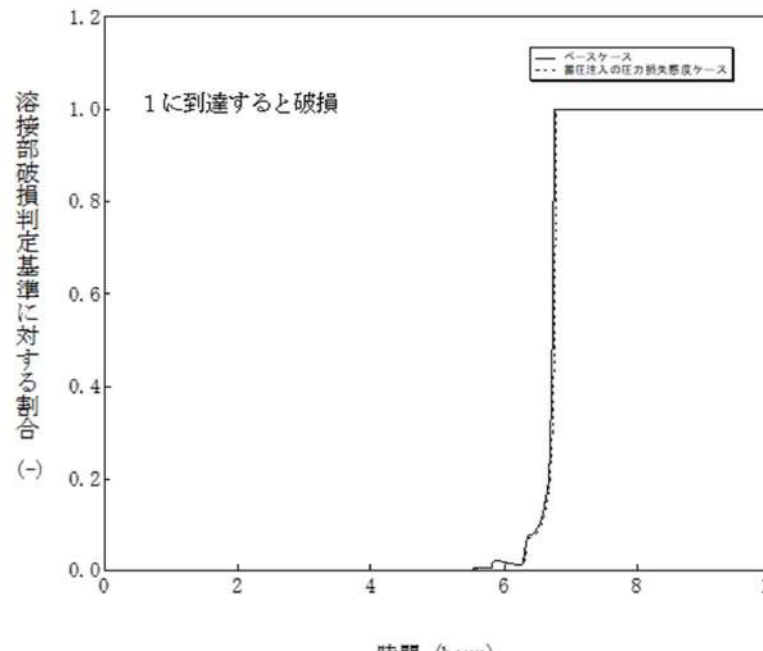
女川原子力発電所2号炉	泊発電所3号炉	相違理由
		※PWR 固有の解析

図 4-2-5 蓄圧注入の流動抵抗感度解析（5）

赤字：設備、運用又は体制の相違（設計方針の相違）  
 青字：記載箇所又は記載内容の相違（記載方針の相違）  
 緑字：記載表現、設備名称の相違（実質的な相違なし）

泊発電所 3号炉 有効性評価 比較表

付録3 重大事故等対策の有効性評価に係るシビアアクシデント解析コードについて（添付1 高圧溶融物放出／格納容器雰囲気直接加熱の防止について）

女川原子力発電所2号炉	泊発電所 3号炉	相違理由
	 <p>図 4-2-6 蓄圧注入の流動抵抗感度解析（6）</p>	※PWR 固有の解析

泊発電所 3号炉 有効性評価 比較表

付録3 重大事故等対策の有効性評価に係るシビアアクシデント解析コードについて（添付1 高圧溶融物放出／格納容器雰囲気直接加熱の防止について）

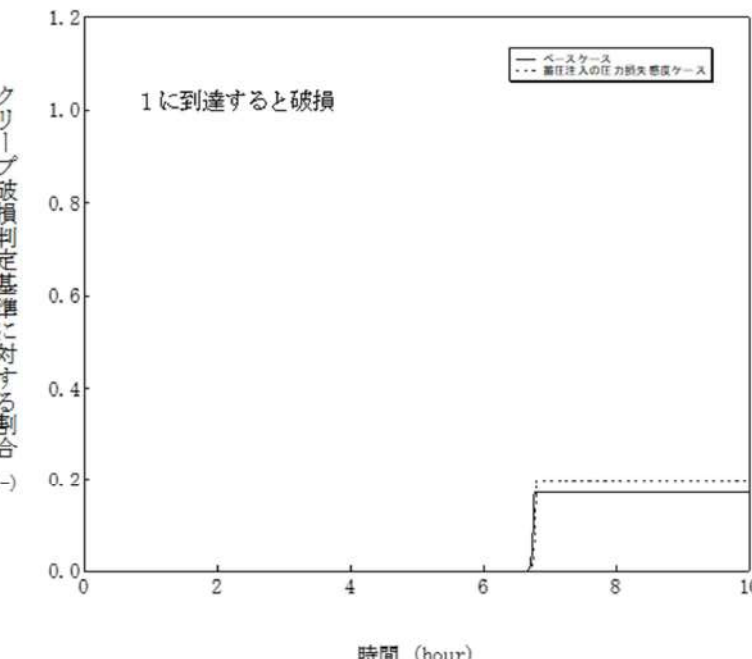
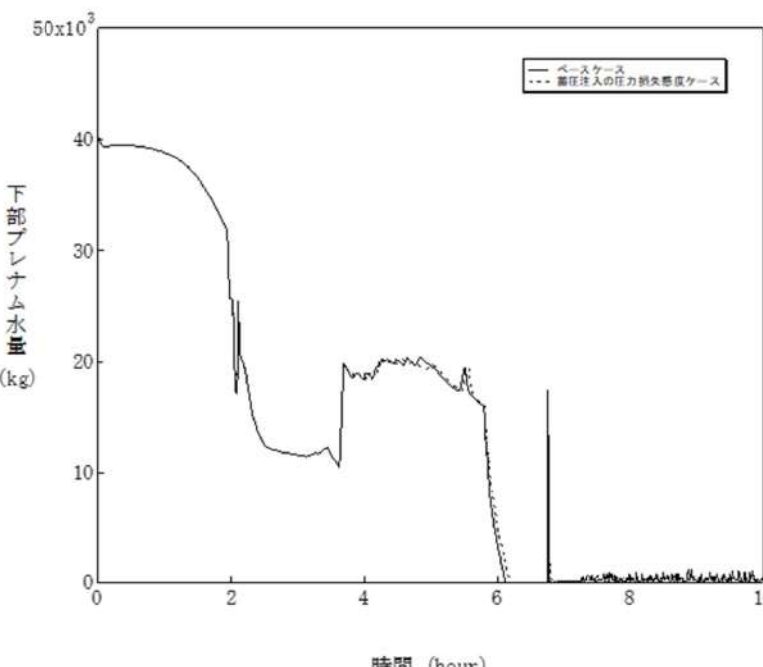
女川原子力発電所2号炉	泊発電所3号炉	相違理由
	 <p>The graph plots the 'クリープ破損判定基準に対する割合 (%)' (Creep rupture ratio relative to the judgment standard) on the y-axis (0.0 to 1.2) against '時間 (hour)' (Time in hours) on the x-axis (0 to 10). Two curves are shown: a solid line for 'ベースケース' (Base case) and a dashed line for '蓄圧注入の圧力損失感度ケース' (Pressure loss sensitivity case). The base case curve remains near zero until approximately 6.5 hours, then rises sharply to about 0.2 at 7 hours, and remains constant. The pressure loss sensitivity case curve starts rising earlier, around 5.5 hours, reaching a peak of about 1.1 at 6.5 hours and then dropping back towards zero.</p> <p>1に到達すると破損</p> <p>— ベースケース - - - 蓄圧注入の圧力損失感度ケース</p> <p>クリープ破損判定基準に対する割合 (%)</p> <p>時間 (hour)</p>	※PWR 固有の解析

図 4-2-7 蓄圧注入の流動抵抗感度解析（7）

泊発電所 3号炉 有効性評価 比較表

付録3 重大事故等対策の有効性評価に係るシビアアクシデント解析コードについて（添付1 高圧溶融物放出／格納容器雰囲気直接加熱の防止について）

女川原子力発電所2号炉	泊発電所3号炉	相違理由
	 <p>図 4-2-8 蓄圧注入の流動抵抗感度解析（8）</p>	※PWR 固有の解析

泊発電所 3号炉 有効性評価 比較表

付録3 重大事故等対策の有効性評価に係るシビアアクシデント解析コードについて（添付1 高圧溶融物放出／格納容器雰囲気直接加熱の防止について）

女川原子力発電所2号炉	泊発電所3号炉	相違理由
<p>図 4-2-1 溶融ジェット径の感度解析（1）</p>	<p>図 4-3-1 溶融ジェット径感度解析（1）</p>	

泊発電所 3号炉 有効性評価 比較表

付録3 重大事故等対策の有効性評価に係るシビアアクシデント解析コードについて（添付1 高圧溶融物放出／格納容器雰囲気直接加熱の防止について）

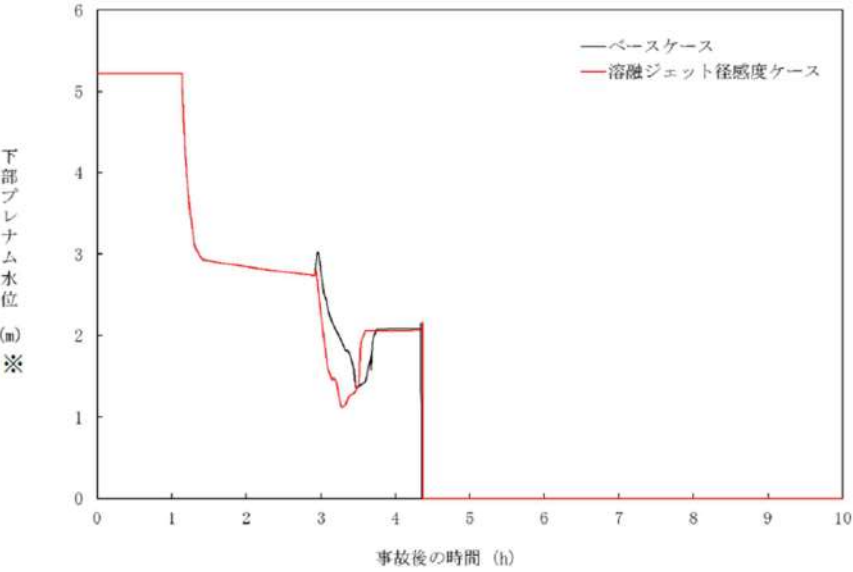
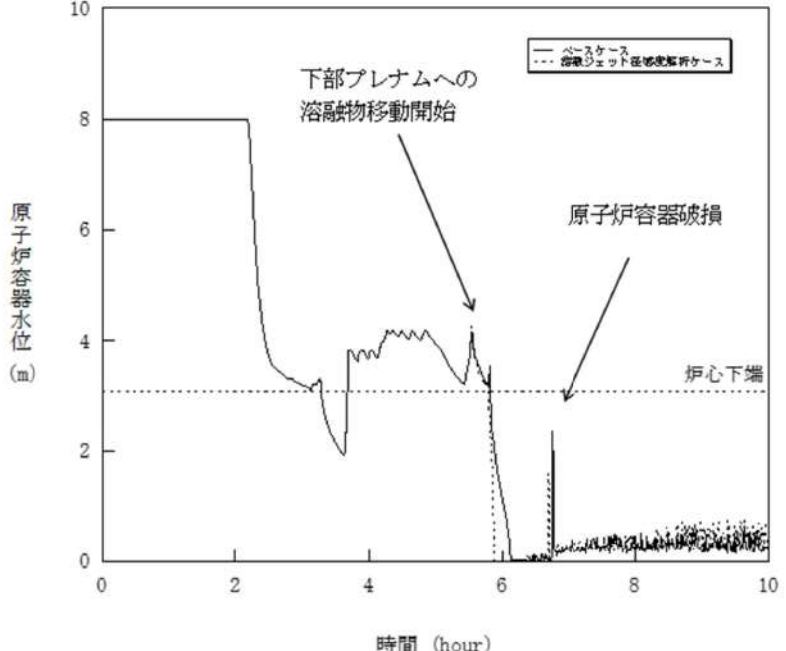
女川原子力発電所2号炉	泊発電所3号炉	相違理由
 <p>下部プレナム水位 (m) ※</p> <p>事故後の時間 (h)</p> <p>—ベースケース —溶融ジェット径感度ケース</p>	 <p>原子炉容器水位 (m)</p> <p>時間 (hour)</p> <p>—ベースケース ---溶融ジェット径感度解析ケース</p> <p>下部プレナムへの溶融物移動開始 原子炉容器破損 炉心下端</p>	

図4-2-2 溶融ジェット径の感度解析（2）

※リロケーション後は、下部プレナム水位に溶融デブリ高さを含む。

図4-3-2 溶融ジェット径感度解析（2）

赤字：設備、運用又は体制の相違（設計方針の相違）  
 青字：記載箇所又は記載内容の相違（記載方針の相違）  
 緑字：記載表現、設備名称の相違（実質的な相違なし）

泊発電所 3号炉 有効性評価 比較表

付録3 重大事故等対策の有効性評価に係るシビアアクシデント解析コードについて（添付1 高圧溶融物放出／格納容器雰囲気直接加熱の防止について）

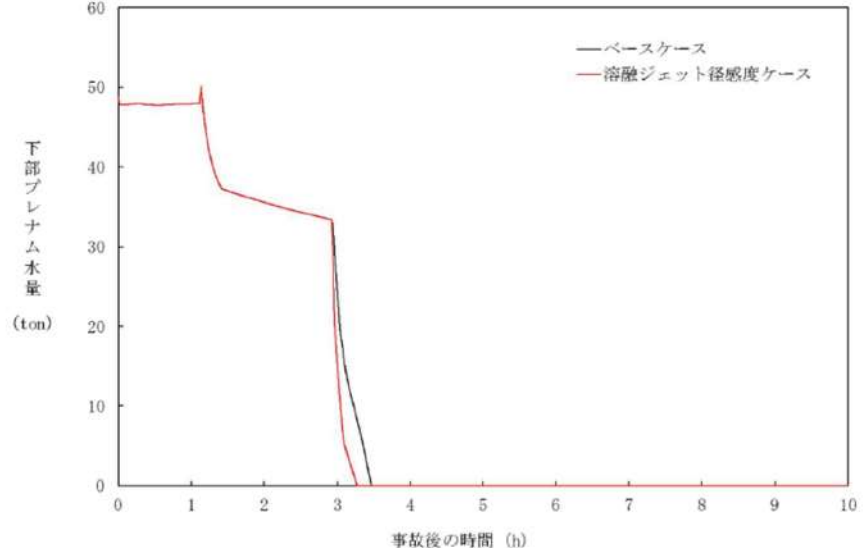
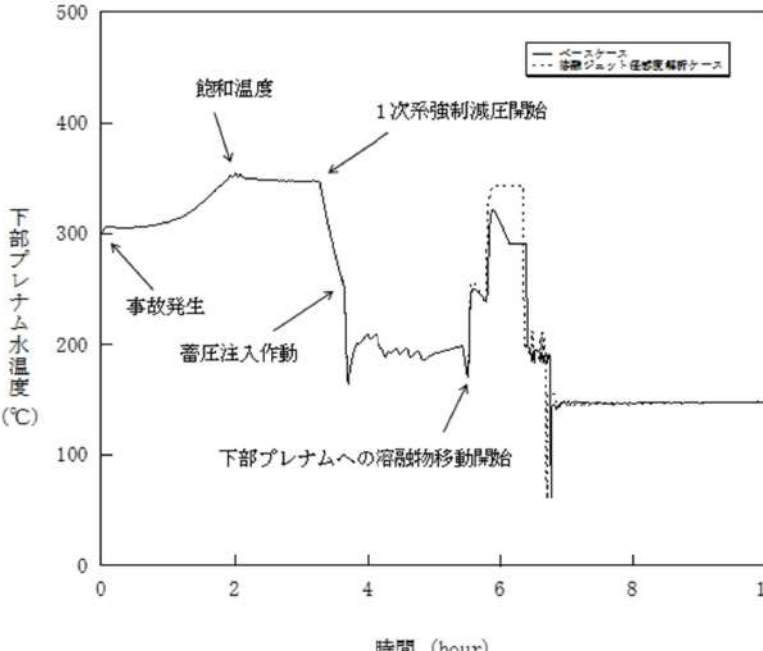
女川原子力発電所2号炉	泊発電所3号炉	相違理由
 <p>下部プレナム水量 (ton)</p> <p>事故後の時間 (h)</p> <p>—ベースケース —溶融ジェット径感度ケース</p>	 <p>下部プレナム水温度 (°C)</p> <p>時間 (hour)</p> <p>—ベースケース ... 溶融ジェット径感度解析ケース</p>	

図4-2-3 溶融ジェット径の感度解析（3）

図4-3-3 溶融ジェット径感度解析（3）

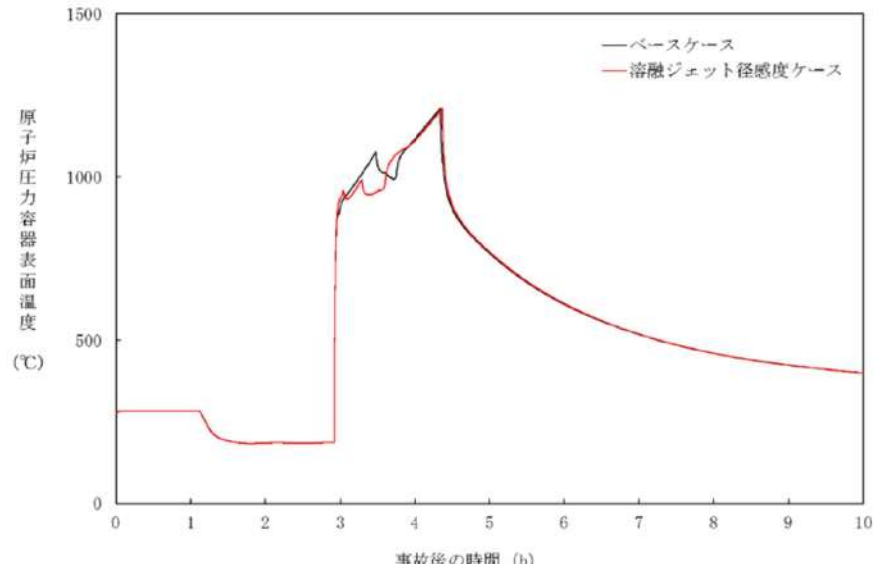
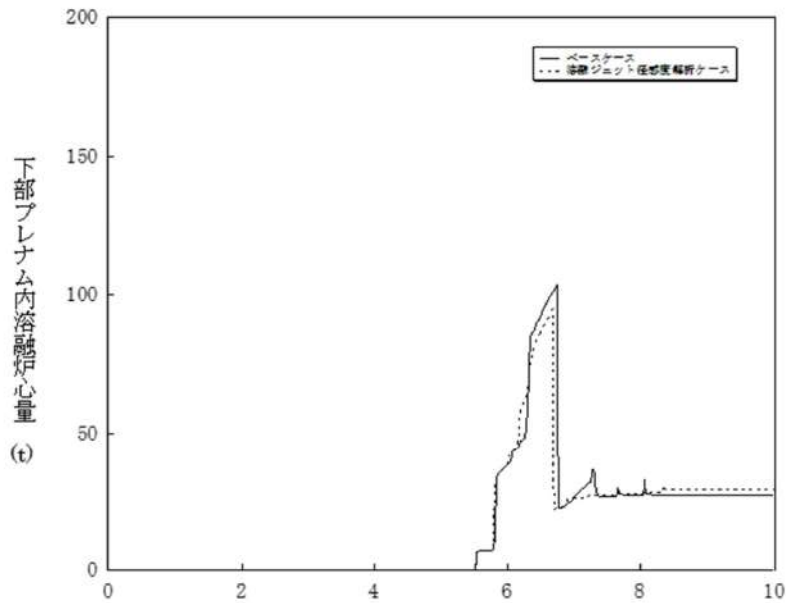
泊発電所 3号炉 有効性評価 比較表

付録3 重大事故等対策の有効性評価に係るシビアアクシデント解析コードについて（添付1 高圧溶融物放出／格納容器雰囲気直接加熱の防止について）

女川原子力発電所2号炉	泊発電所3号炉	相違理由
 図 4-2-4 溶融ジェット径の感度解析（4）	 図 4-3-4 溶融ジェット径感度解析（4）	

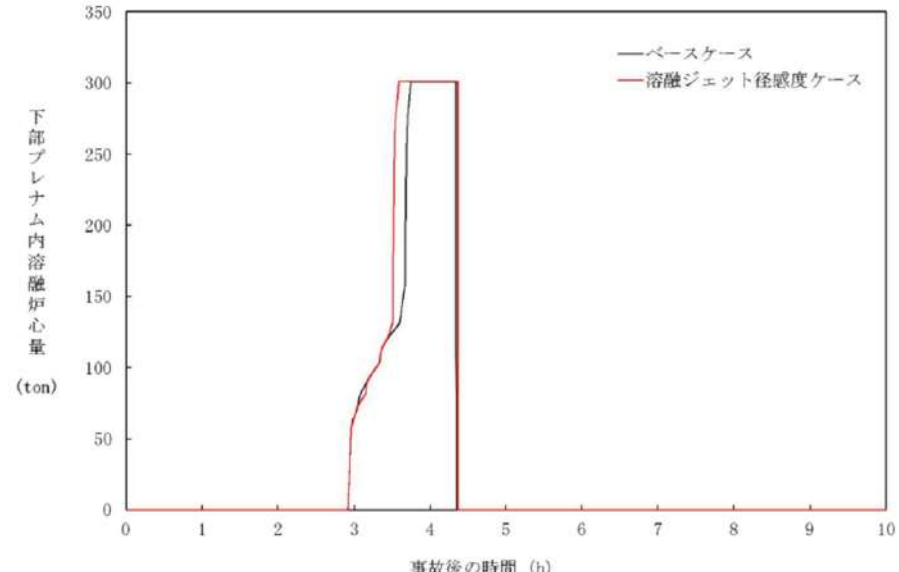
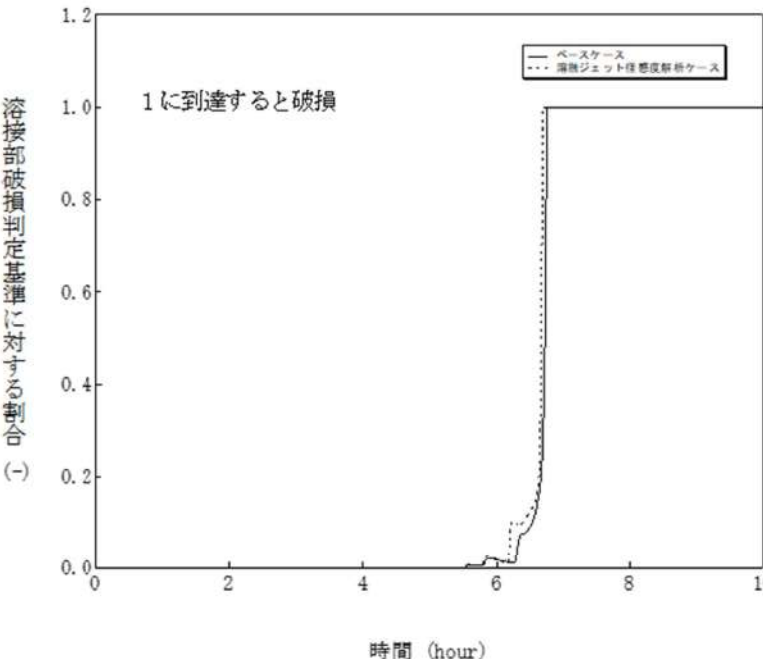
泊発電所 3号炉 有効性評価 比較表

付録3 重大事故等対策の有効性評価に係るシビアアクシデント解析コードについて（添付1 高圧溶融物放出／格納容器雰囲気直接加熱の防止について）

女川原子力発電所2号炉	泊発電所3号炉	相違理由
 <p>図 4-2-5 溶融ジェット径の感度解析（5）</p>	 <p>図 4-3-5 溶融ジェット径感度解析（5）</p>	

泊発電所 3号炉 有効性評価 比較表

付録3 重大事故等対策の有効性評価に係るシビアアクシデント解析コードについて（添付1 高圧溶融物放出／格納容器雰囲気直接加熱の防止について）

女川原子力発電所2号炉	泊発電所3号炉	相違理由
 <p>図 4-2-6 溶融ジェット径の感度解析（6）</p>	 <p>図 4-3-6 溶融ジェット径感度解析（6）</p>	

泊発電所 3号炉 有効性評価 比較表

付録3 重大事故等対策の有効性評価に係るシビアアクシデント解析コードについて（添付1 高圧溶融物放出／格納容器雰囲気直接加熱の防止について）

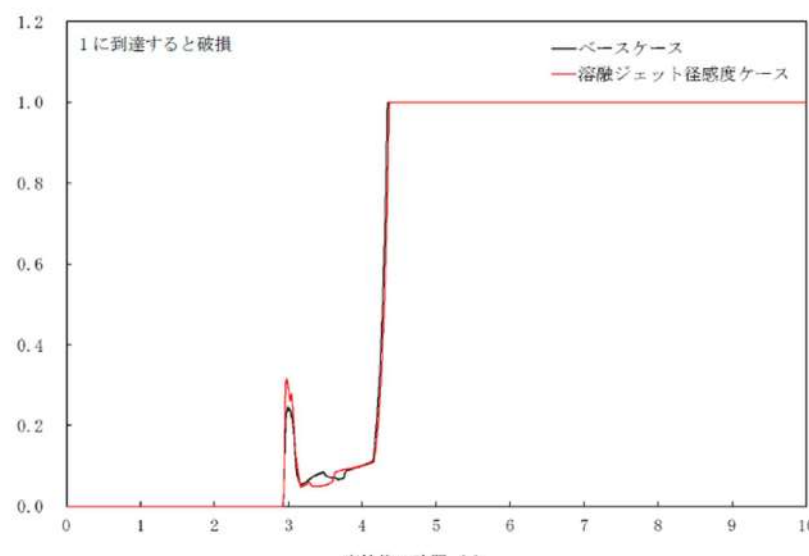
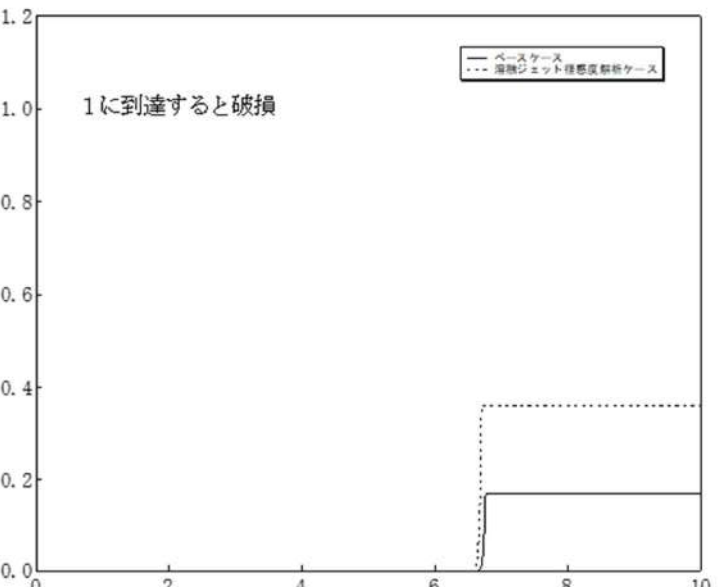
女川原子力発電所2号炉	泊発電所3号炉	相違理由
 <p>1に到達すると破損</p> <p>—ベースケース —溶融ジェット径感度ケース</p> <p>溶接部破損判定基準に対する割合 (-)</p> <p>事故後の時間 (h)</p>	 <p>1に到達すると破損</p> <p>—ベースケース ---溶融ジェット径感度解析ケース</p> <p>クリープ破損判定基準に対する割合 (-)</p> <p>時間 (hour)</p>	

図4-2-7 溶融ジェット径の感度解析（7）

図4-3-7 溶融ジェット径感度解析（7）

付録3 重大事故等対策の有効性評価に係るシビアアクシデント解析コードについて（添付1 高圧溶融物放出／格納容器雰囲気直接加熱の防止について）

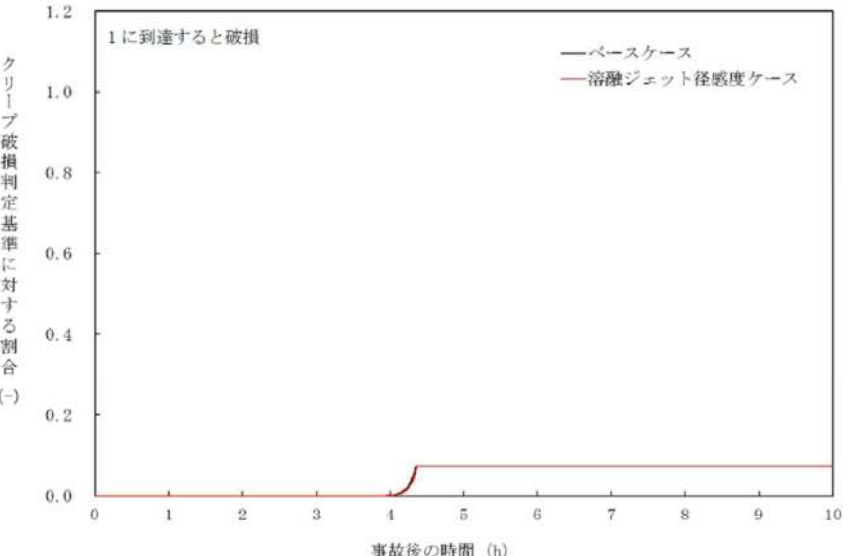
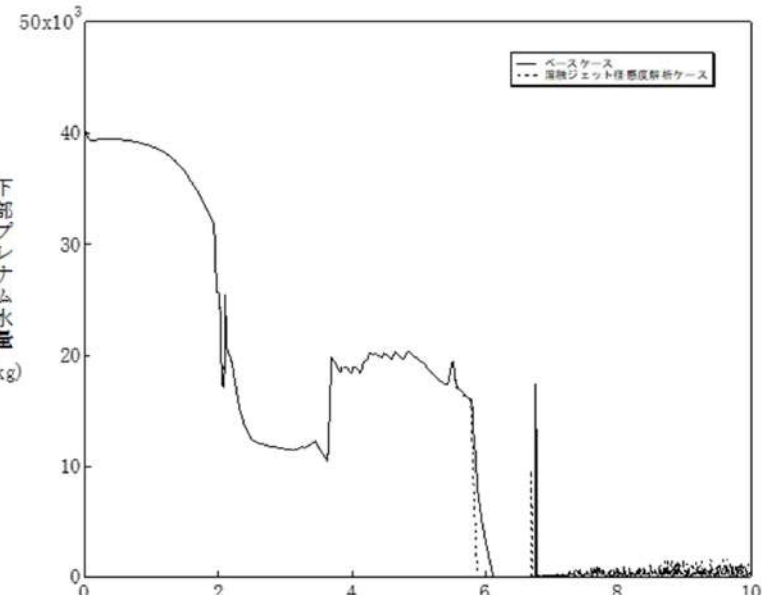
女川原子力発電所2号炉	泊発電所3号炉	相違理由
 <p>Figure 4-2-8: A line graph showing the ratio ofクリープ破損判定基準に対する割合 (-) versus time after the accident (h). The y-axis ranges from 0.0 to 1.2. The x-axis ranges from 0 to 10 hours. Two cases are shown: 'ベースケース' (black line) and '溶融ジェット径感度ケース' (red line). The red line remains at 0.0 until approximately 4 hours, then rises sharply to about 0.1 at 4.5 hours and stays constant. A note '1に到達すると破損' is present.</p>	 <p>Figure 4-3-8: A line graph showing the amount of lower plenum water (kg) versus time (hour). The y-axis ranges from 0 to 50x10<sup>3</sup> kg. The x-axis ranges from 0 to 10 hours. Two cases are shown: 'ベースケース' (solid black line) and '溶融ジェット径感度解析ケース' (dashed black line). Both curves start at ~40x10<sup>3</sup> kg, drop to ~10x10<sup>3</sup> kg by 3 hours, rise to ~20x10<sup>3</sup> kg by 4 hours, drop again, and then show oscillations between 10x10<sup>3</sup> and 20x10<sup>3</sup> kg until 10 hours. A vertical line is drawn at 6 hours.</p>	

図4-2-8 溶融ジェット径の感度解析（8）

図4-3-8 溶融ジェット径感度解析（8）

泊発電所 3号炉 有効性評価 比較表

付録3 重大事故等対策の有効性評価に係るシビアアクシデント解析コードについて（添付1 高圧溶融物放出／格納容器雰囲気直接加熱の防止について）

女川原子力発電所2号炉	泊発電所3号炉	相違理由

図4-3-1 エントレインメント係数の感度解析（1）

図4-4-1 エントレインメント係数感度解析（1）

泊発電所 3号炉 有効性評価 比較表

付録3 重大事故等対策の有効性評価に係るシビアアクシデント解析コードについて（添付1 高圧溶融物放出／格納容器雰囲気直接加熱の防止について）

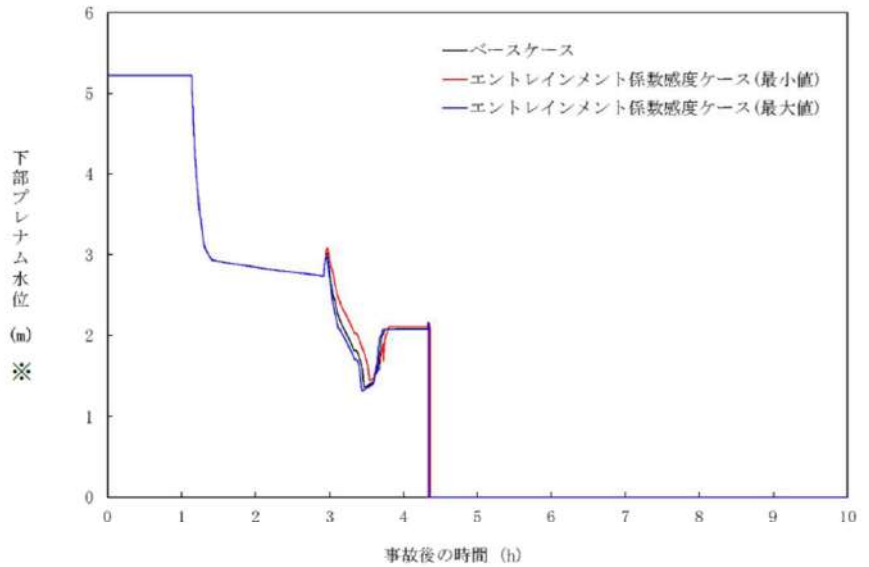
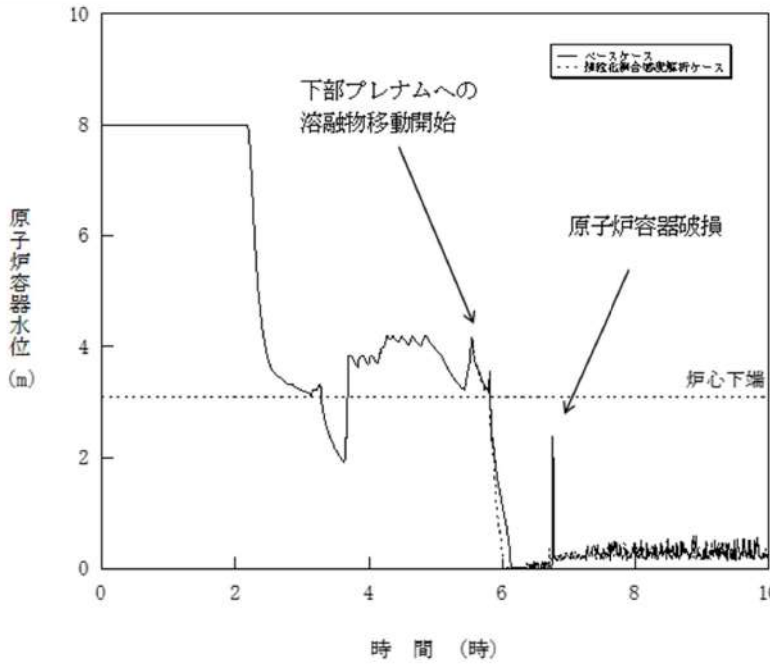
女川原子力発電所2号炉	泊発電所3号炉	相違理由
 <p>下部プレナム水位 (m) ※</p> <p>—ベースケース —エント雷インメント係数感度ケース(最小値) —エント雷インメント係数感度ケース(最大値)</p> <p>事故後の時間 (h)</p>	 <p>原子炉容器水位 (m)</p> <p>時 間 (時)</p> <p>—ベースケース --- 感度化合合解析ケース</p> <p>下部プレナムへの 溶融物移動開始</p> <p>原子炉容器破損</p> <p>炉心下端</p>	

図 4-3-2 エント雷インメント係数の感度解析（2）

※リロケーション後は、下部プレナム水位に溶融デブリ高さを含む。

図 4-4-2 エント雷インメント係数感度解析（2）

泊発電所 3号炉 有効性評価 比較表

付録3 重大事故等対策の有効性評価に係るシビアアクシデント解析コードについて（添付1 高圧溶融物放出／格納容器雰囲気直接加熱の防止について）

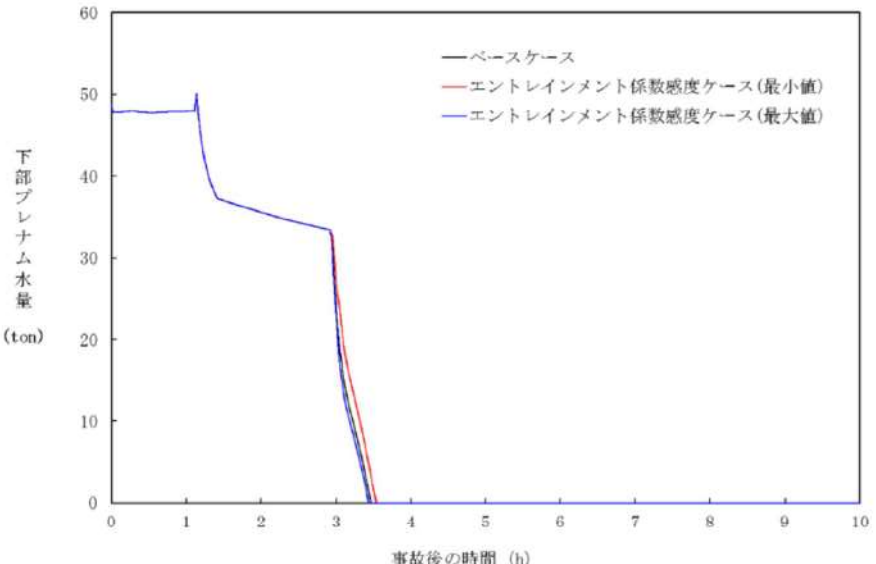
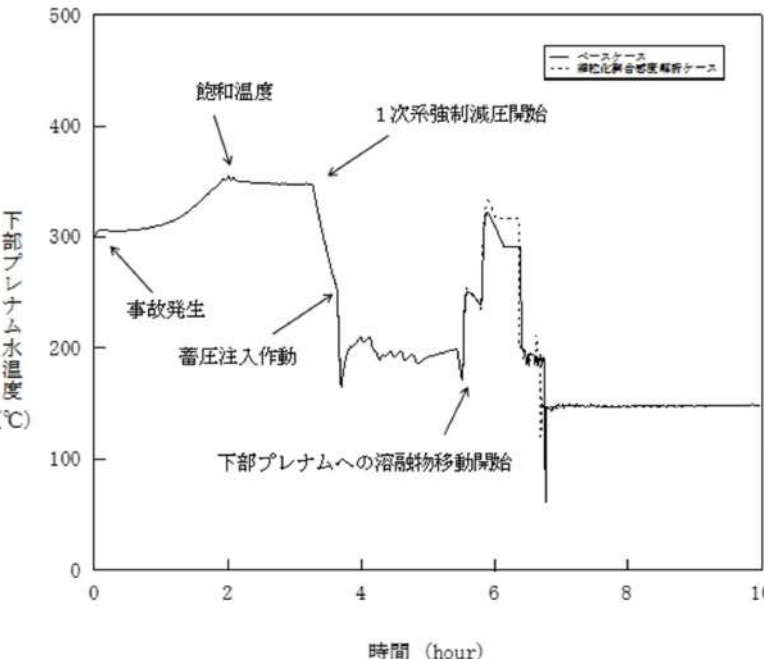
女川原子力発電所2号炉	泊発電所3号炉	相違理由
 <p>下部プレナム水量 (ton)</p> <p>—ベースケース —エントレインメント係数感度ケース(最小値) —エントレインメント係数感度ケース(最大値)</p> <p>事故後の時間 (h)</p>	 <p>下部プレナム水温度 (°C)</p> <p>—ベースケース - - - デイオナイゼーションレート変更解析ケース</p> <p>事故発生</p> <p>蓄圧注入作動</p> <p>1次系強制減圧開始</p> <p>飽和温度</p> <p>時間 (hour)</p>	

図 4-3-3 エント雷インメント係数の感度解析（3）

図 4-4-3 エント雷インメント係数感度解析（3）

泊発電所 3号炉 有効性評価 比較表

付録3 重大事故等対策の有効性評価に係るシビアアクシデント解析コードについて（添付1 高圧溶融物放出／格納容器雰囲気直接加熱の防止について）

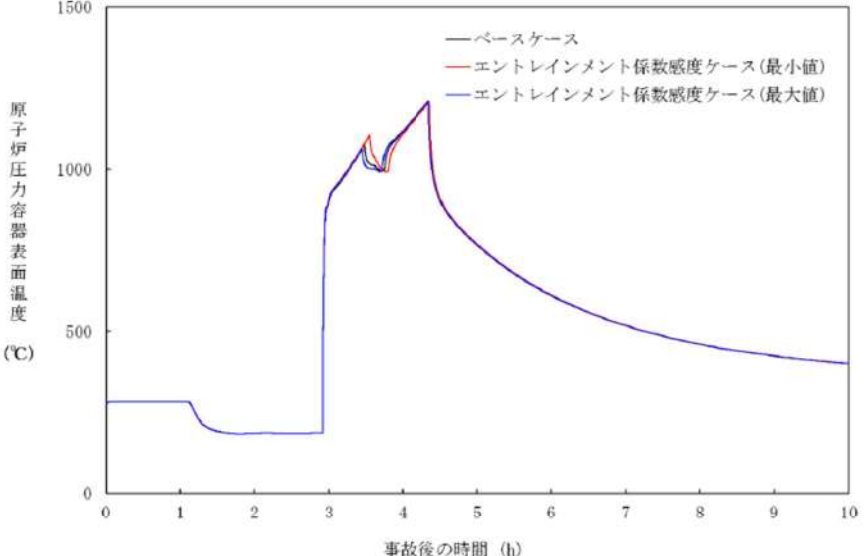
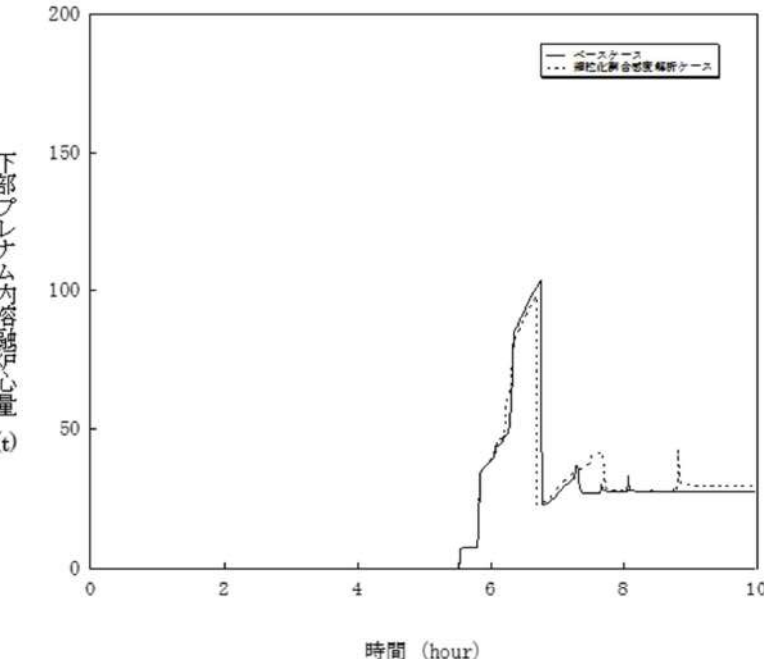
女川原子力発電所2号炉	泊発電所3号炉	相違理由

図4-3-4 エントレインメント係数の感度解析（4）

図4-4-4 エントレインメント係数感度解析（4）

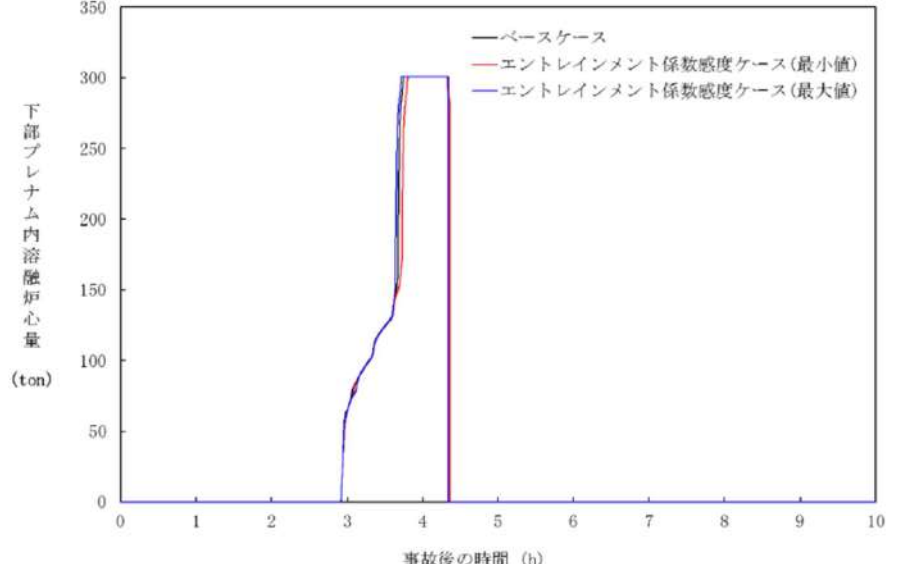
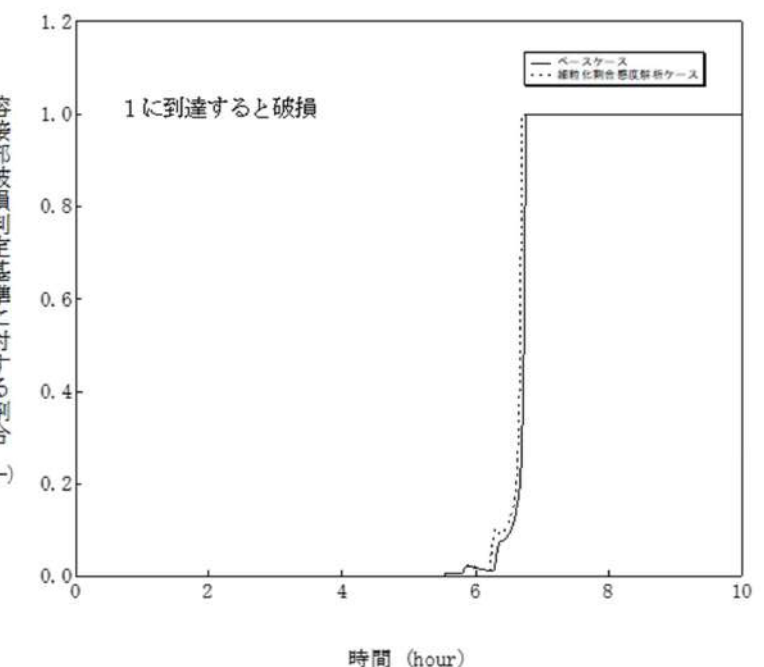
泊発電所 3号炉 有効性評価 比較表

付録3 重大事故等対策の有効性評価に係るシビアアクシデント解析コードについて（添付1 高圧溶融物放出／格納容器雰囲気直接加熱の防止について）

女川原子力発電所2号炉	泊発電所3号炉	相違理由
 <p>原子炉圧力容器表面温度 (°C)</p> <p>—ベースケース —エントレインメント係数感度ケース(最小値) —エントレインメント係数感度ケース(最大値)</p> <p>事故後の時間 (h)</p> <p>図 4-3-5 エントレインメント係数の感度解析 (5)</p>	 <p>下部プレナム内溶融物質量 (t)</p> <p>—ベースケース ... 濃縮化廃棄物噴射ケース</p> <p>時間 (hour)</p> <p>図 4-4-5 エントレインメント係数感度解析 (5)</p>	

泊発電所 3号炉 有効性評価 比較表

付録3 重大事故等対策の有効性評価に係るシビアアクシデント解析コードについて（添付1 高圧溶融物放出／格納容器雰囲気直接加熱の防止について）

女川原子力発電所2号炉	泊発電所3号炉	相違理由
 <p>図 4-3-6 エントレインメント係数の感度解析（6）</p>	 <p>図 4-4-6 エントレインメント係数感度解析（6）</p>	

泊発電所 3号炉 有効性評価 比較表

付録3 重大事故等対策の有効性評価に係るシビアアクシデント解析コードについて（添付1 高圧溶融物放出／格納容器雰囲気直接加熱の防止について）

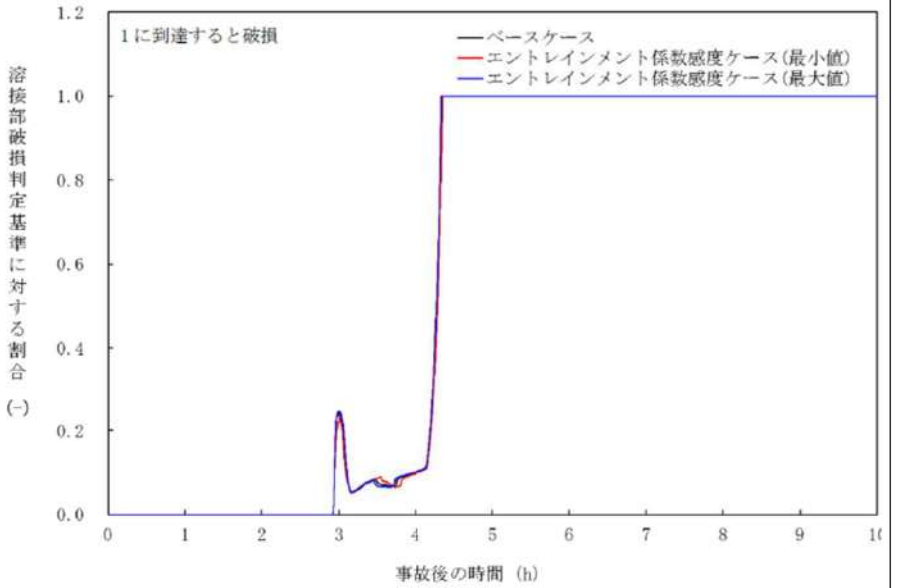
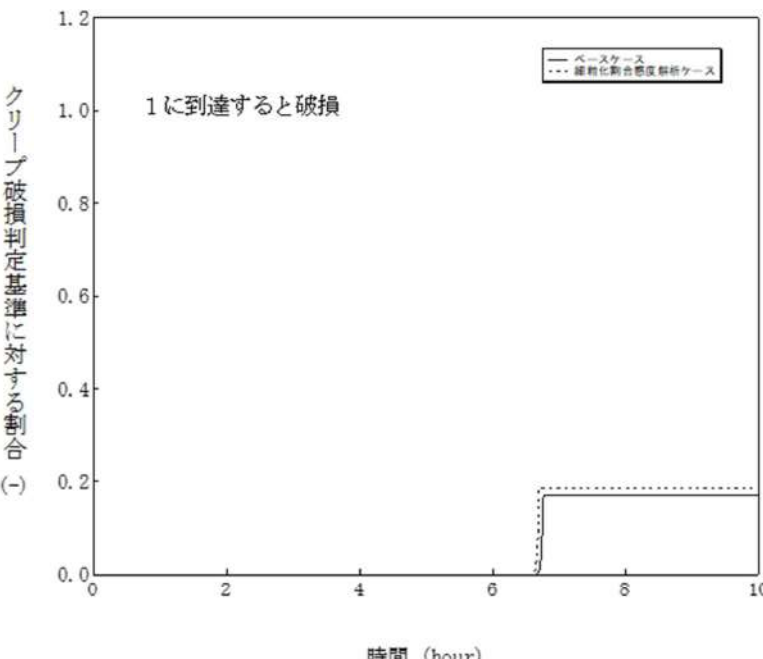
女川原子力発電所2号炉	泊発電所3号炉	相違理由
 <p>1に到達すると破損</p> <p>—ベースケース —エントレインメント係数感度ケース(最小値) —エントレインメント係数感度ケース(最大値)</p>	 <p>1に到達すると破損</p> <p>—ベースケース ---感熱化割合感度解析ケース</p>	

図 4-3-7 エントレインメント係数の感度解析（7）

図 4-4-7 エントレインメント係数感度解析（7）

付録3 重大事故等対策の有効性評価に係るシビアアクシデント解析コードについて（添付1 高圧溶融物放出／格納容器雰囲気直接加熱の防止について）

女川原子力発電所2号炉	泊発電所3号炉	相違理由
<p>1に到達すると破損</p> <p>—ベースケース —エントレインメント係数感度ケース(最小値) —エントレインメント係数感度ケース(最大値)</p> <p>クリーク破損判定基準に対する割合 (-)</p> <p>事故後の時間 (h)</p>	<p>下部ブレナム水量 (kg)</p> <p>—ベースケース ---経時化割合感度解析ケース</p> <p>時間 (hour)</p>	

図 4-3-8 エントレインメント係数の感度解析（8）

図 4-4-8 エントレインメント係数感度解析（8）

赤字：設備、運用又は体制の相違（設計方針の相違）  
 青字：記載箇所又は記載内容の相違（記載方針の相違）  
 緑字：記載表現、設備名称の相違（実質的な相違なし）

泊発電所 3号炉 有効性評価 比較表

付録3 重大事故等対策の有効性評価に係るシビアアクシデント解析コードについて（添付1 高圧溶融物放出／格納容器雰囲気直接加熱の防止について）

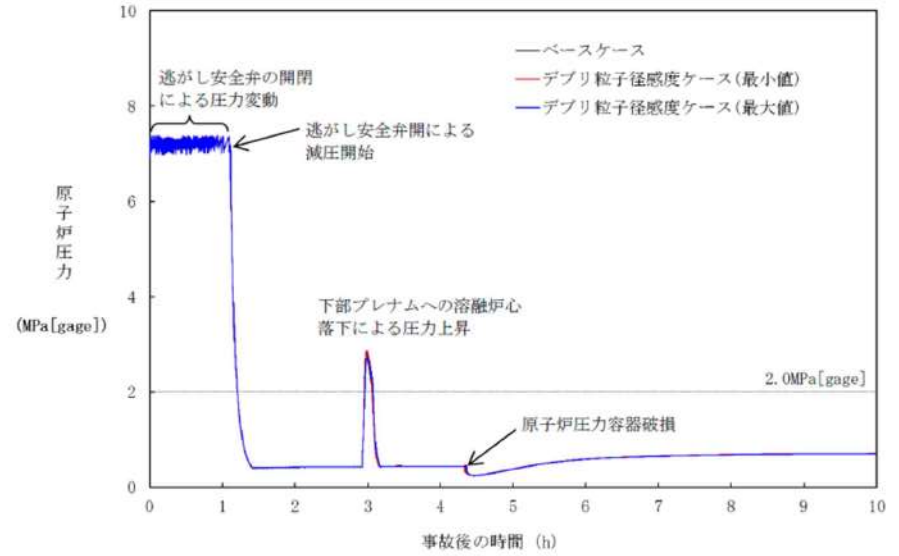
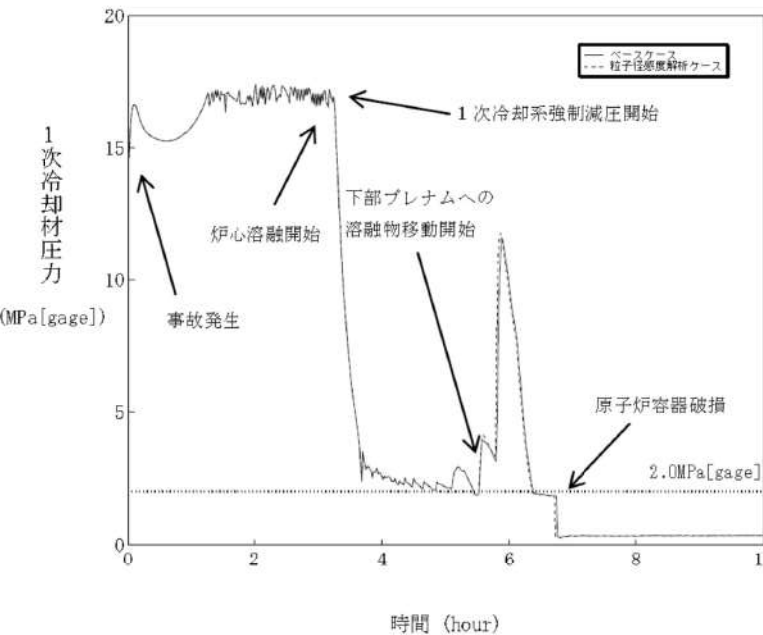
女川原子力発電所2号炉	泊発電所3号炉	相違理由
 <p>原子炉圧力 (MPa [gage])</p> <p>事故後の時間 (h)</p> <p>—ベースケース —デブリ粒子径感度ケース(最小値) —デブリ粒子径感度ケース(最大値)</p>	 <p>1次冷却材圧力 (MPa [gage])</p> <p>時間 (hour)</p> <p>—ベースケース —デブリ粒子径感度解析ケース</p>	

図4-4-1 デブリ粒子径の感度解析（1）

図4-5-1 デブリ粒子の径感度解析（1）

泊発電所 3号炉 有効性評価 比較表

付録3 重大事故等対策の有効性評価に係るシビアアクシデント解析コードについて（添付1 高圧溶融物放出／格納容器雰囲気直接加熱の防止について）

女川原子力発電所2号炉	泊発電所3号炉	相違理由
<p>下部プレナム水位 (m) ※</p> <p>事故後の時間 (h)</p> <p>—ベースケース —デブリ粒子径感度ケース(最小値) —デブリ粒子径感度ケース(最大値)</p>	<p>原子炉容器水位 (m)</p> <p>時間 (hour)</p> <p>—ベースケース ---粒子径感度解析ケース</p> <p>下部プレナムへの溶融物移動開始 原子炉容器破損 炉心下端</p>	

図4-4-2 デブリ粒子径の感度解析（2）

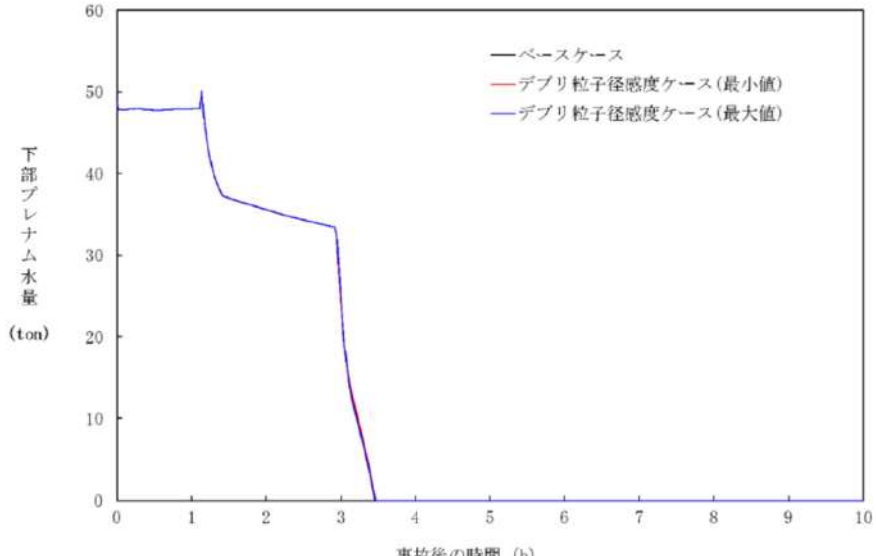
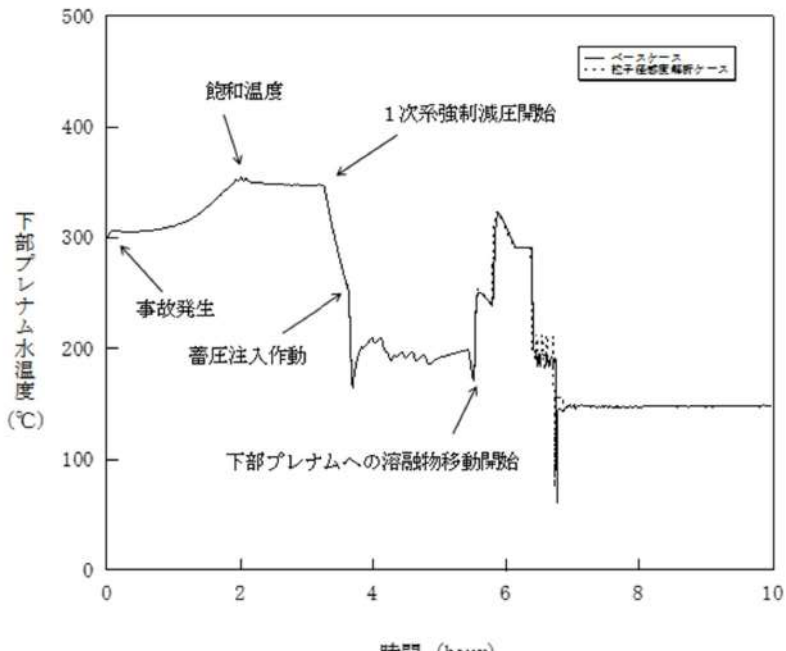
※リロケーション後は、下部プレナム水位に溶融デブリ高さを含む。

図4-5-2 デブリ粒子の径感度解析（2）

赤字：設備、運用又は体制の相違（設計方針の相違）  
 青字：記載箇所又は記載内容の相違（記載方針の相違）  
 緑字：記載表現、設備名称の相違（実質的な相違なし）

泊発電所 3号炉 有効性評価 比較表

付録3 重大事故等対策の有効性評価に係るシビアアクシデント解析コードについて（添付1 高圧溶融物放出／格納容器雰囲気直接加熱の防止について）

女川原子力発電所2号炉	泊発電所3号炉	相違理由
 <p>図 4-4-3 デブリ粒子径の感度解析（3）</p>	 <p>図 4-5-3 デブリ粒子の径感度解析（3）</p>	

泊発電所 3号炉 有効性評価 比較表

付録3 重大事故等対策の有効性評価に係るシビアアクシデント解析コードについて（添付1 高圧溶融物放出／格納容器雰囲気直接加熱の防止について）

女川原子力発電所2号炉	泊発電所3号炉	相違理由
<p>下部ブレナム水温度 (°C)</p> <p>事故後の時間 (h)</p> <p>—ベースケース —デブリ粒子径感度ケース(最小値) —デブリ粒子径感度ケース(最大値)</p> <p>下部ブレナムへの溶融炉心落下による温度上昇</p>	<p>原子炉容器表面温度 (°C)</p> <p>時間 (hour)</p> <p>—ベースケース ... 粒子径感度解析ケース</p>	

図 4-4-4 デブリ粒子径の感度解析（4）

図 4-5-4 デブリ粒子の感度解析（4）

赤字：設備、運用又は体制の相違（設計方針の相違）  
 青字：記載箇所又は記載内容の相違（記載方針の相違）  
 緑字：記載表現、設備名称の相違（実質的な相違なし）

泊発電所 3号炉 有効性評価 比較表

付録3 重大事故等対策の有効性評価に係るシビアアクシデント解析コードについて（添付1 高圧溶融物放出／格納容器雰囲気直接加熱の防止について）

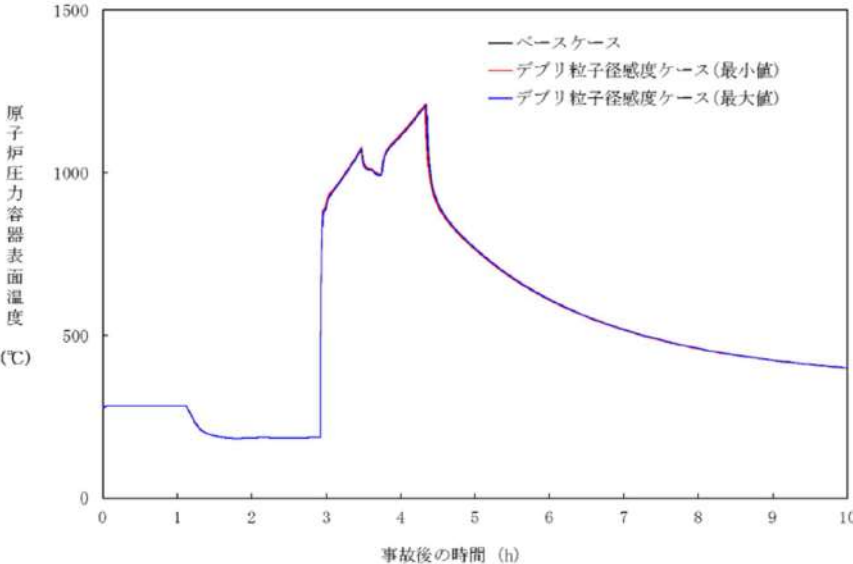
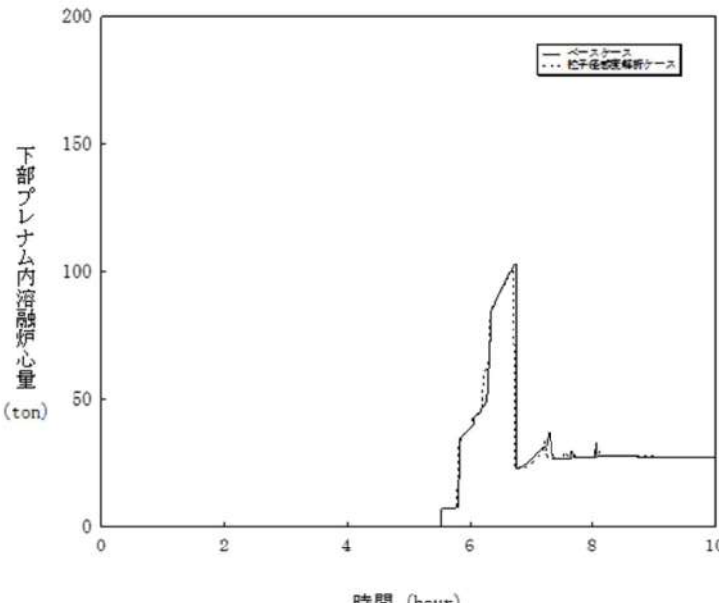
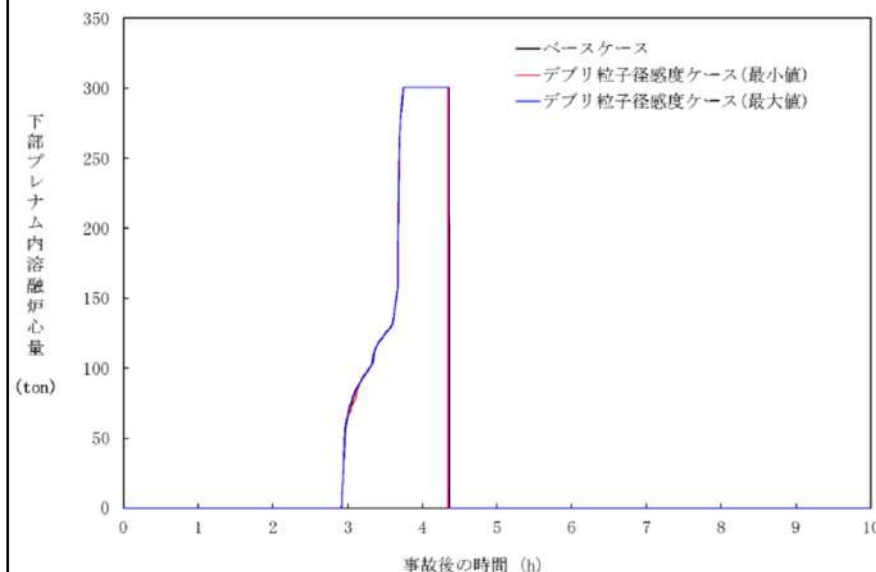
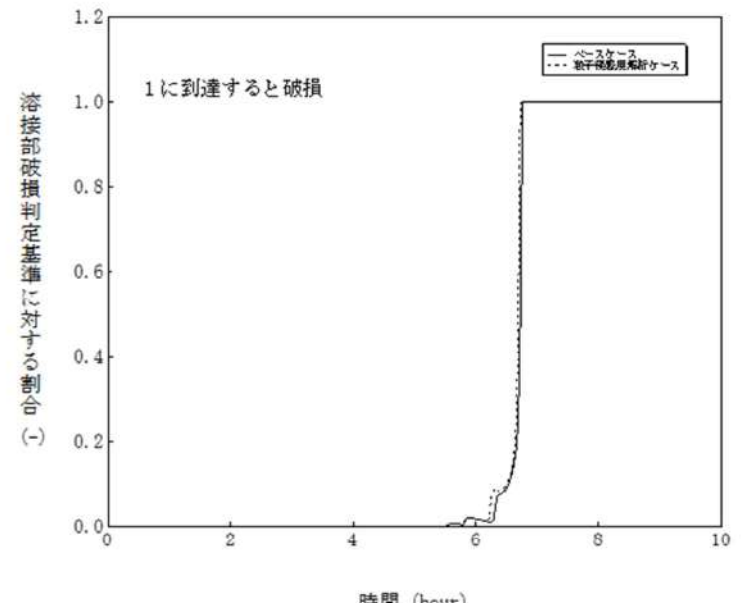
女川原子力発電所2号炉	泊発電所3号炉	相違理由
 <p>原子炉圧力容器表面温度 (°C)</p> <p>事故後の時間 (h)</p> <p>—ベースケース —デブリ粒子径感度ケース(最小値) —デブリ粒子径感度ケース(最大値)</p>	 <p>下部プレナム内溶融物質量 (ton)</p> <p>時間 (hour)</p> <p>—ベースケース ... デブリ粒子径感度ケース</p>	

図 4-4-5 デブリ粒子径の感度解析 (5)

図 4-5-5 デブリ粒子の径感度解析 (5)

泊発電所 3号炉 有効性評価 比較表

付録3 重大事故等対策の有効性評価に係るシビアアクシデント解析コードについて（添付1 高圧溶融物放出／格納容器雰囲気直接加熱の防止について）

女川原子力発電所2号炉	泊発電所3号炉	相違理由
 <p>図 4-4-6 デブリ粒子径の感度解析（6）</p>	 <p>図 4-5-6 デブリ粒子の径感度解析（6）</p>	

泊発電所 3号炉 有効性評価 比較表

付録3 重大事故等対策の有効性評価に係るシビアアクシデント解析コードについて（添付1 高圧溶融物放出／格納容器雰囲気直接加熱の防止について）

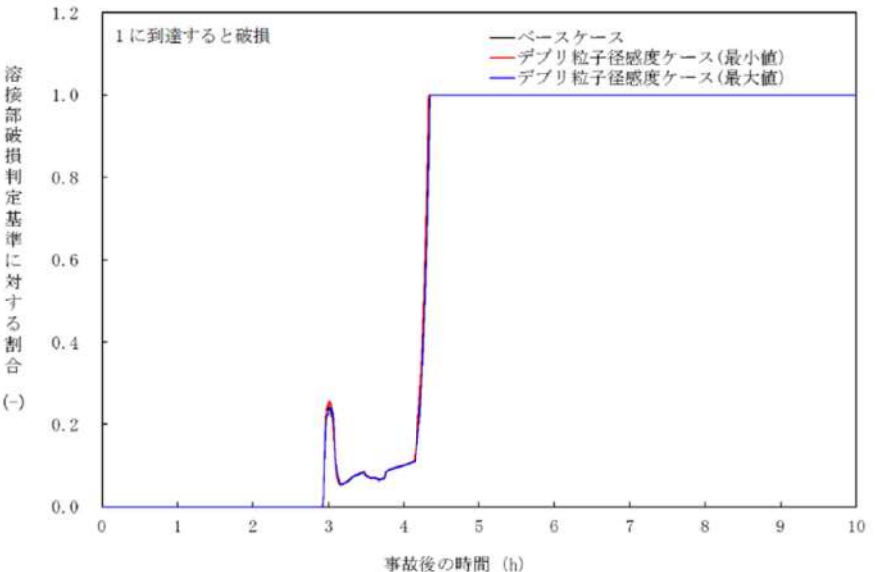
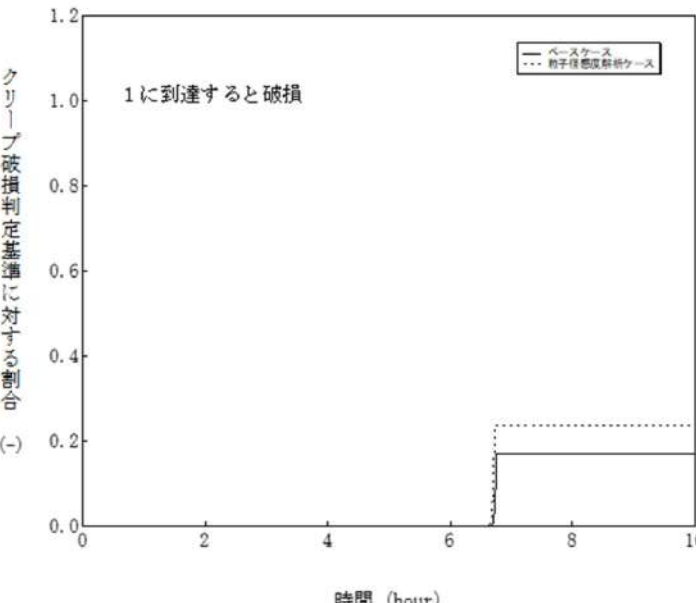
女川原子力発電所2号炉	泊発電所3号炉	相違理由
 <p>溶接部破損判定基準に対する割合 (%)</p> <p>事故後の時間 (h)</p> <p>1に到達すると破損</p> <p>—ベースケース —デブリ粒子径感度ケース(最小値) —デブリ粒子径感度ケース(最大値)</p>	 <p>クリープ破損判定基準に対する割合 (%)</p> <p>時間 (hour)</p> <p>1に到達すると破損</p> <p>—ベースケース ...粒子径感度解析ケース</p>	

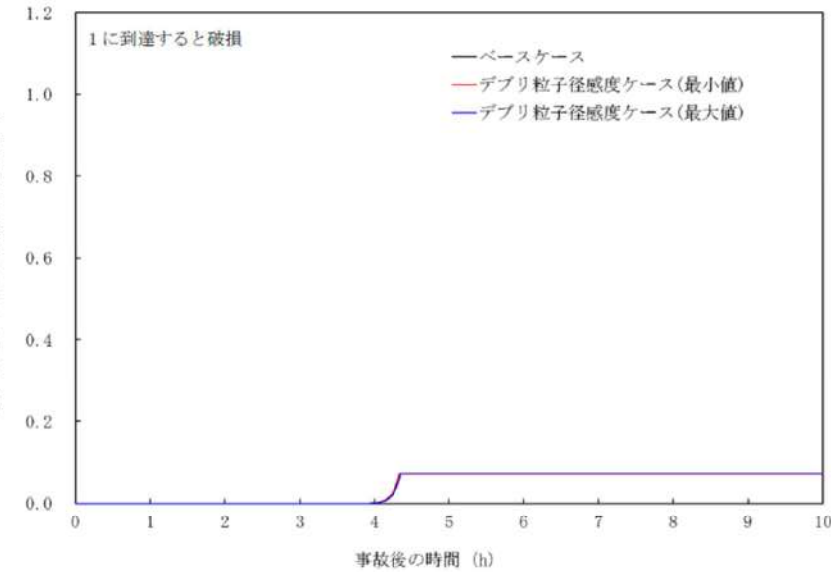
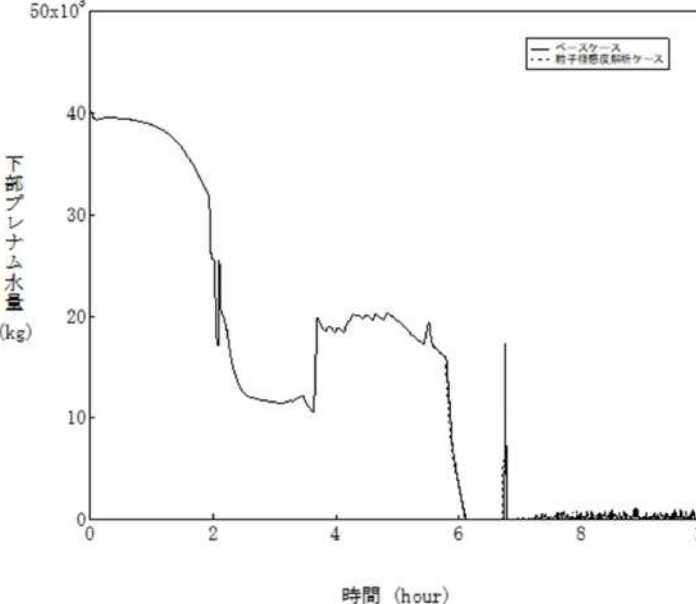
図 4-4-7 デブリ粒子径の感度解析 (7)

図 4-5-7 デブリ粒子の径感度解析 (7)

赤字：設備、運用又は体制の相違（設計方針の相違）  
 青字：記載箇所又は記載内容の相違（記載方針の相違）  
 緑字：記載表現、設備名称の相違（実質的な相違なし）

泊発電所 3号炉 有効性評価 比較表

付録3 重大事故等対策の有効性評価に係るシビアアクシデント解析コードについて（添付1 高圧溶融物放出／格納容器雰囲気直接加熱の防止について）

女川原子力発電所2号炉	泊発電所3号炉	相違理由
 <b>図 4-4-8 デブリ粒子径の感度解析 (8)</b>	 <b>図 4-5-8 デブリ粒子の径感度解析 (8)</b>	

泊発電所 3号炉 有効性評価 比較表

付録3 重大事故等対策の有効性評価に係るシビアアクシデント解析コードについて（添付1 高圧溶融物放出／格納容器雰囲気直接加熱の防止について）

女川原子力発電所2号炉	泊発電所3号炉	相違理由

図4-5-1 ジルコニウムー水反応速度の感度解析（1）

図4-6-1 ジルコニウムー水反応速度の係数感度解析（1）

泊発電所 3号炉 有効性評価 比較表

付録3 重大事故等対策の有効性評価に係るシビアアクシデント解析コードについて（添付1 高圧溶融物放出／格納容器雰囲気直接加熱の防止について）

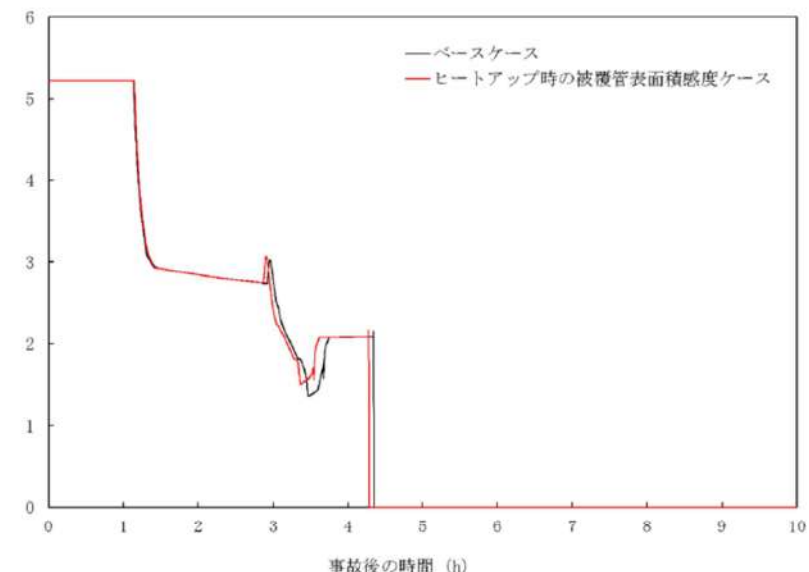
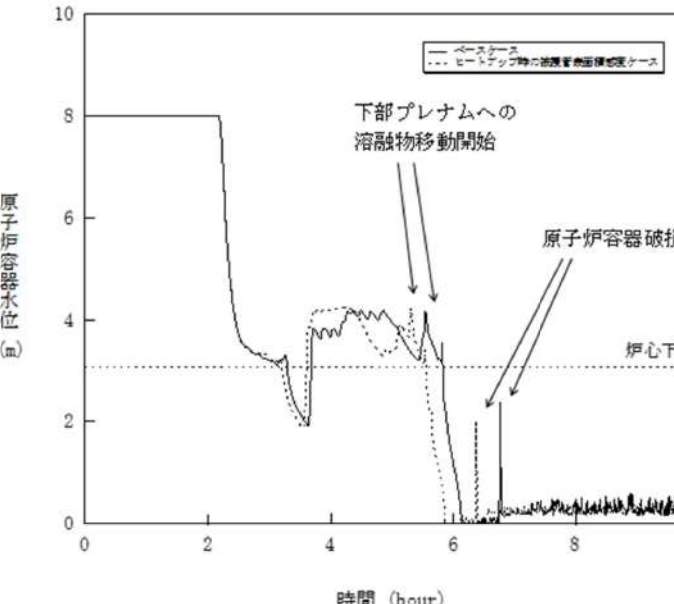
女川原子力発電所2号炉	泊発電所3号炉	相違理由
 <p>下部プレナム水位 (m) ※</p> <p>事故後の時間 (h)</p> <p>—ベースケース —ヒートアップ時の被覆管表面積感度ケース</p>	 <p>原子炉容器水位 (m)</p> <p>時間 (hour)</p> <p>—ベースケース --- ヒートアップ時の被覆管表面積感度ケース ... ヒートアップ時の被覆管表面積感度ケース</p> <p>下部プレナムへの溶融物移動開始</p> <p>原子炉容器破損</p> <p>炉心下端</p>	

図 4-5-2 ジルコニウムー水反応速度の感度解析（2）

※リロケーション後は、下部プレナム水位に溶融デブリ高さを含む。

図 4-6-2 ジルコニウムー水反応速度の係数感度解析（2）

泊発電所 3号炉 有効性評価 比較表

付録3 重大事故等対策の有効性評価に係るシビアアクシデント解析コードについて（添付1 高圧溶融物放出／格納容器雰囲気直接加熱の防止について）

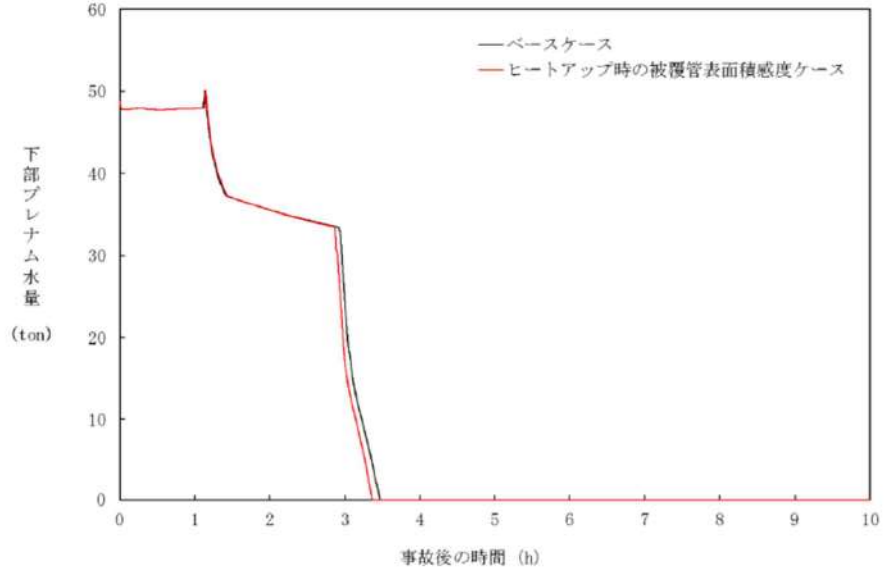
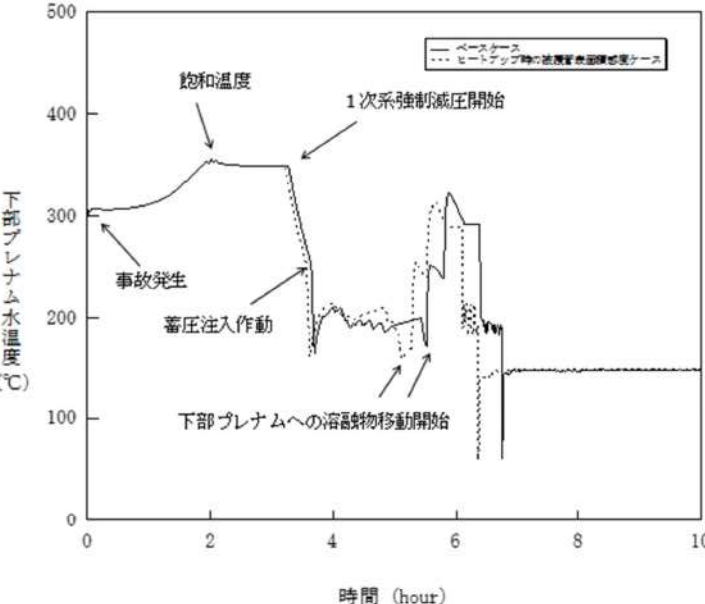
女川原子力発電所2号炉	泊発電所3号炉	相違理由
 <p>下部プレナム水量 (ton)</p> <p>事故後の時間 (h)</p> <p>—ベースケース —ヒートアップ時の被覆管表面積感度ケース</p>	 <p>下部プレナム水温度 (°C)</p> <p>時間 (hour)</p> <p>—ベースケース —ヒートアップ時の被覆管表面積感度ケース ... 蓄圧注入作動</p>	

図 4-5-3 ジルコニウム-水反応速度の感度解析（3）

図 4-6-3 ジルコニウム-水反応速度の係数感度解析（3）

赤字：設備、運用又は体制の相違（設計方針の相違）  
 青字：記載箇所又は記載内容の相違（記載方針の相違）  
 緑字：記載表現、設備名称の相違（実質的な相違なし）

泊発電所 3号炉 有効性評価 比較表

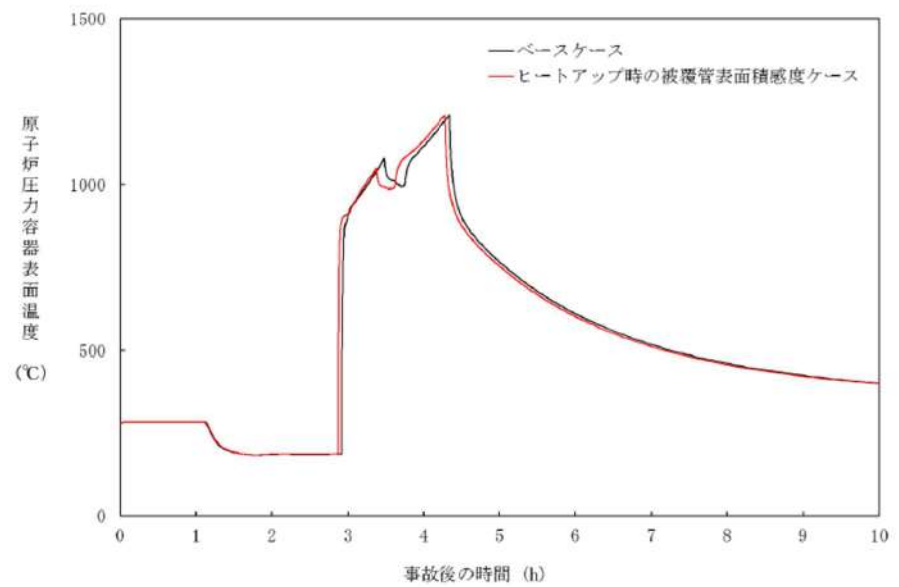
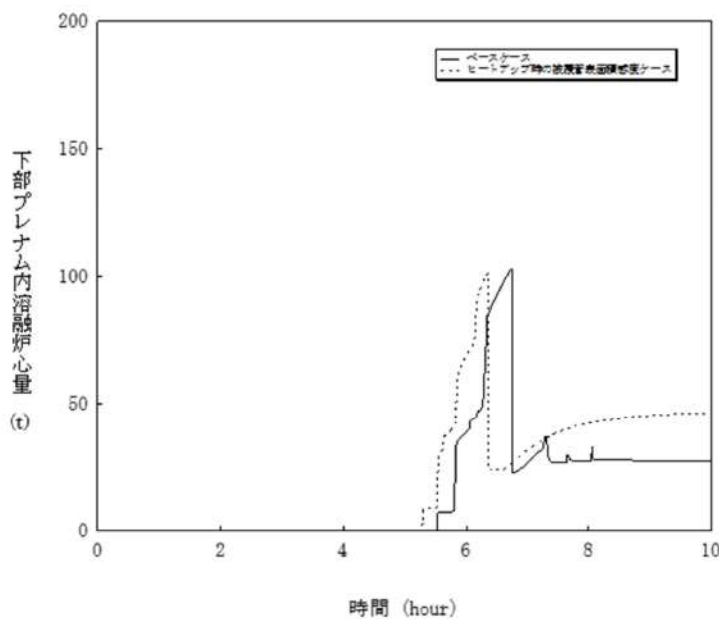
付録3 重大事故等対策の有効性評価に係るシビアアクシデント解析コードについて（添付1 高圧溶融物放出／格納容器雰囲気直接加熱の防止について）

女川原子力発電所2号炉	泊発電所3号炉	相違理由
<p>図 4-5-4 ジルコニウム-水反応速度の感度解析（4）</p>	<p>図 4-6-4 ジルコニウム-水反応速度の係数感度解析（4）</p>	

赤字：設備、運用又は体制の相違（設計方針の相違）  
 青字：記載箇所又は記載内容の相違（記載方針の相違）  
 緑字：記載表現、設備名称の相違（実質的な相違なし）

泊発電所 3号炉 有効性評価 比較表

付録3 重大事故等対策の有効性評価に係るシビアアクシデント解析コードについて（添付1 高圧溶融物放出／格納容器雰囲気直接加熱の防止について）

女川原子力発電所2号炉	泊発電所3号炉	相違理由
 <p>図 4-5-5 ジルコニウム-水反応速度の感度解析（5）</p>	 <p>図 4-6-5 ジルコニウム-水反応速度の係数感度解析（5）</p>	

泊発電所 3号炉 有効性評価 比較表

付録3 重大事故等対策の有効性評価に係るシビアアクシデント解析コードについて（添付1 高圧溶融物放出／格納容器雰囲気直接加熱の防止について）

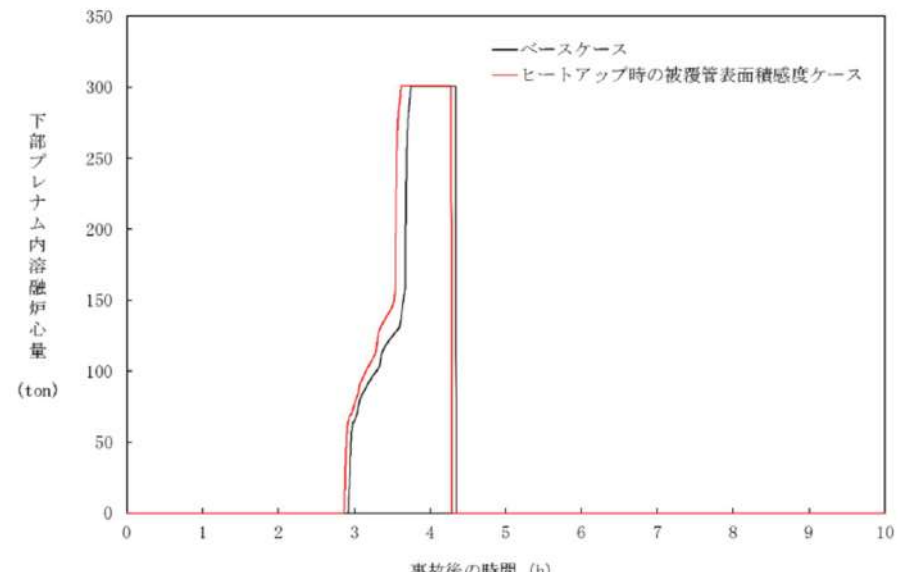
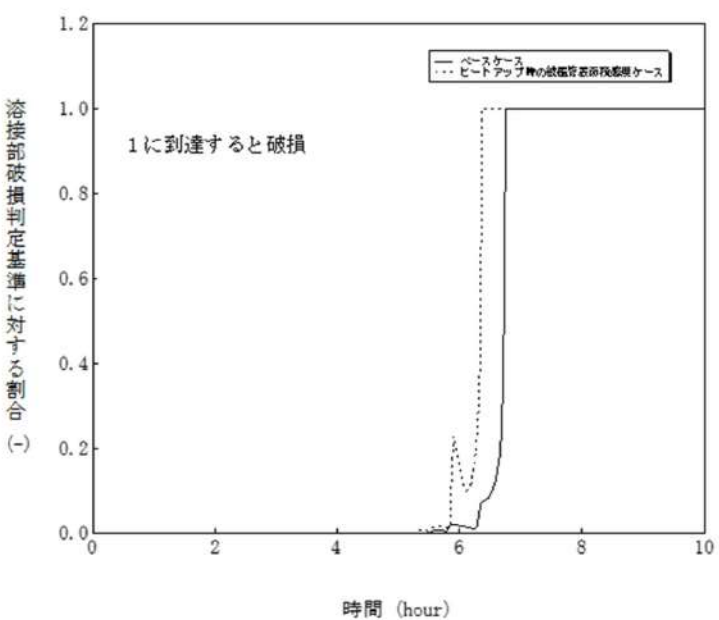
女川原子力発電所2号炉	泊発電所3号炉	相違理由
 <p>下部プレナム内溶融物心量 (ton)</p> <p>事故後の時間 (h)</p> <p>—ベースケース —ヒートアップ時の被覆管表面積感度ケース</p>	 <p>溶接部破損判定基準に対する割合 (%)</p> <p>時間 (hour)</p> <p>—ベースケース ... ヒートアップ時の被覆管表面積感度ケース</p> <p>1に到達すると破損</p>	

図 4-5-6 ジルコニウム-水反応速度の感度解析（6）

図 4-6-6 ジルコニウム-水反応速度の係数感度解析（6）

泊発電所 3号炉 有効性評価 比較表

付録3 重大事故等対策の有効性評価に係るシビアアクシデント解析コードについて（添付1 高圧溶融物放出／格納容器雰囲気直接加熱の防止について）

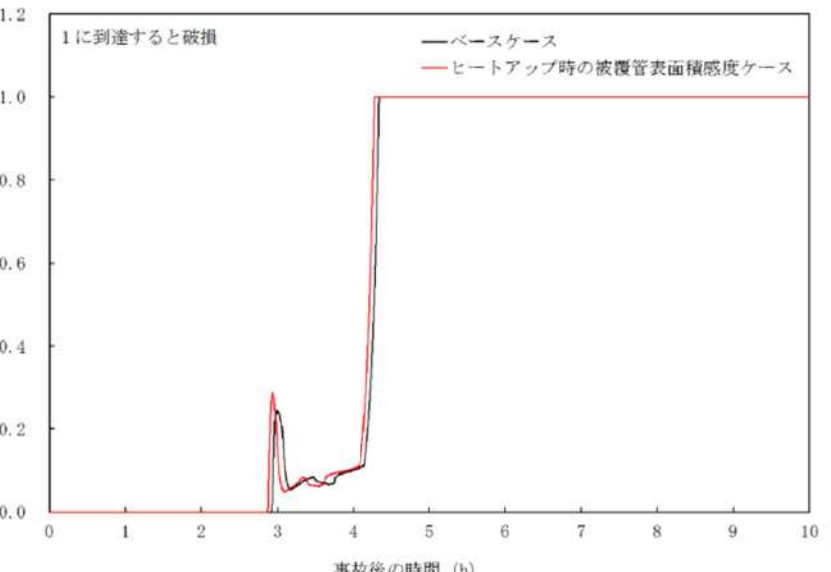
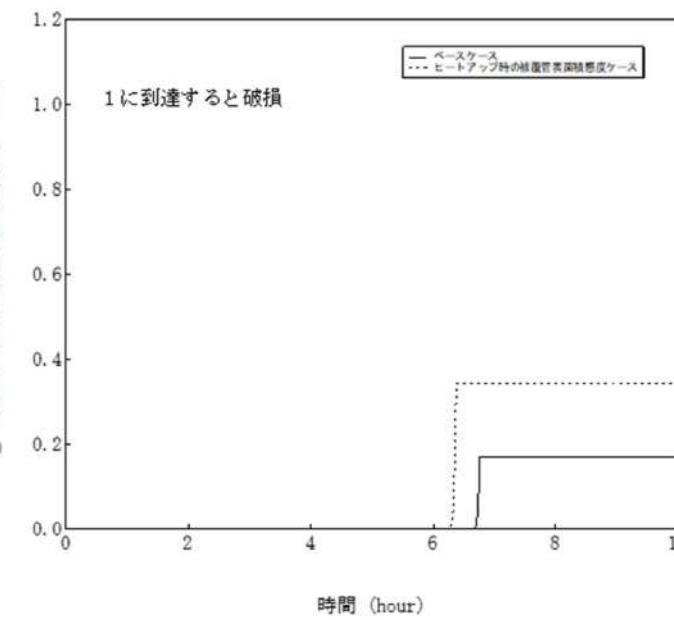
女川原子力発電所2号炉	泊発電所3号炉	相違理由
 <p>1に到達すると破損 —ベースケース —ヒートアップ時の被覆管表面積感度ケース</p> <p>溶接部破損判定基準に対する割合 (-)</p> <p>事故後の時間 (h)</p>	 <p>1に到達すると破損 —ベースケース —ヒートアップ時の被覆管表面積感度ケース</p> <p>クリープ破損判定基準に対する割合 (-)</p> <p>時間 (hour)</p>	

図 4-5-7 ジルコニウム-水反応速度の感度解析（7）

図 4-6-7 ジルコニウム-水反応速度の係数感度解析（7）

泊発電所 3号炉 有効性評価 比較表

付録3 重大事故等対策の有効性評価に係るシビアアクシデント解析コードについて（添付1 高圧溶融物放出／格納容器雰囲気直接加熱の防止について）

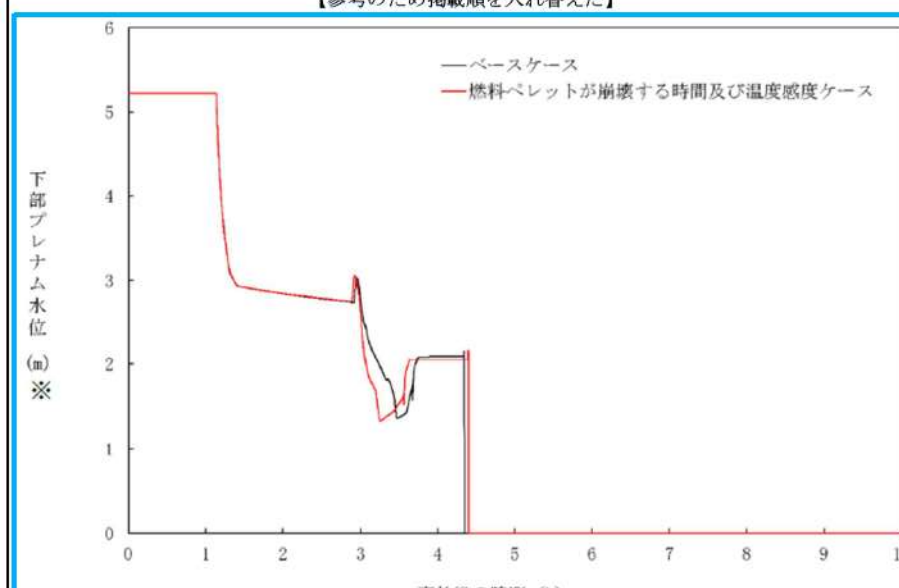
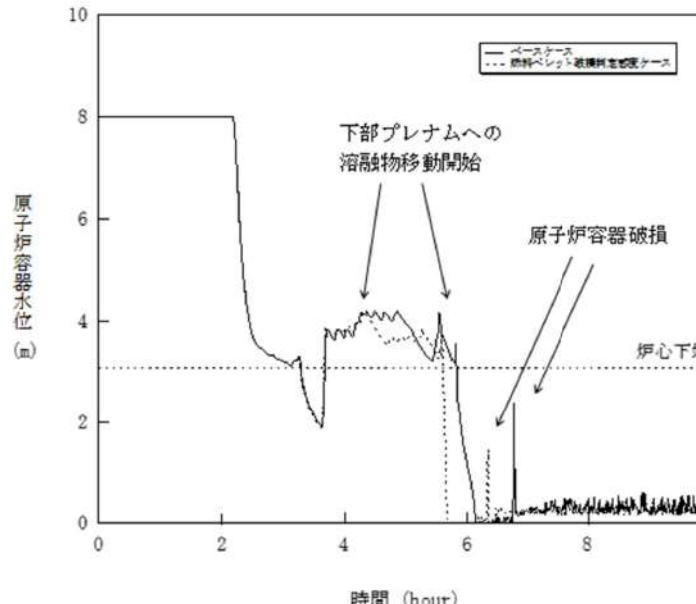
女川原子力発電所2号炉	泊発電所3号炉	相違理由
 図 4-5-8 ジルコニウム水反応速度の感度解析（8）	 図 4-6-8 ジルコニウム水反応速度の係数感度解析（8）	

泊発電所 3号炉 有効性評価 比較表

付録3 重大事故等対策の有効性評価に係るシビアアクシデント解析コードについて（添付1 高圧溶融物放出／格納容器雰囲気直接加熱の防止について）

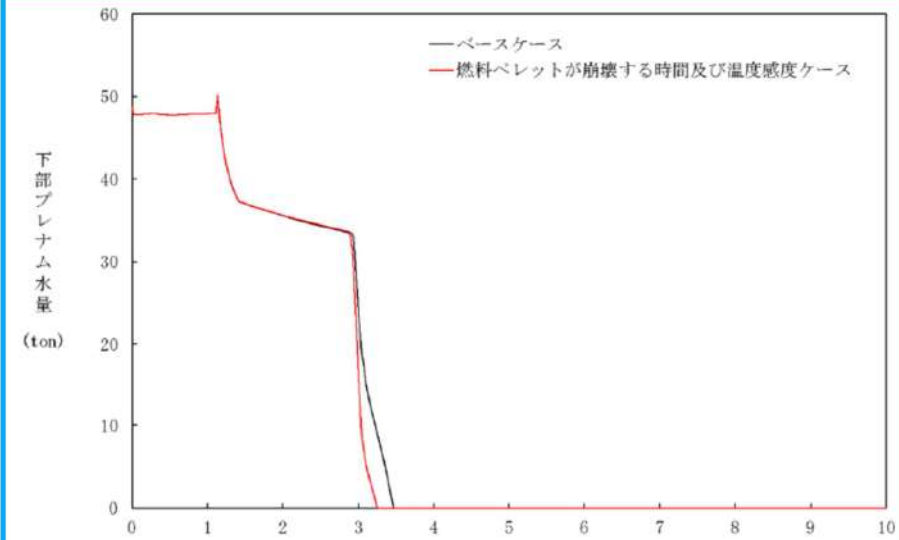
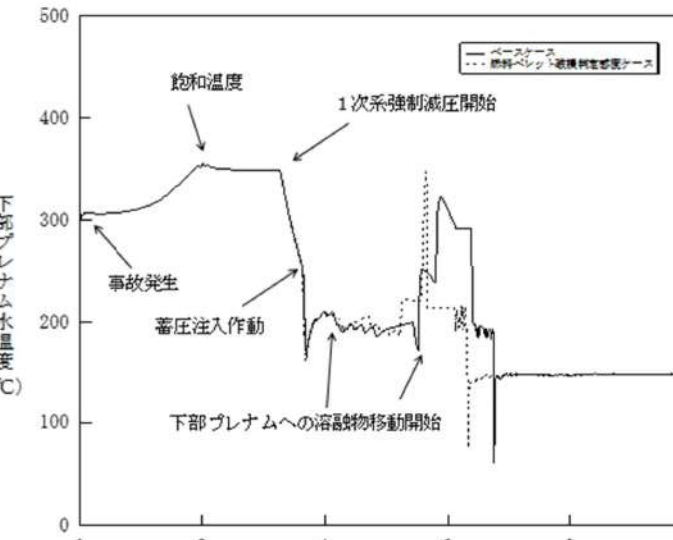
女川原子力発電所2号炉	泊発電所3号炉	相違理由
<p>【参考のため掲載順を入れ替えた】</p> <p>図 4-1-1 燃料ペレットが崩壊する時間及び温度の感度解析（1）</p>	<p>図 4-7-1 燃料ペレット破損判定感度解析（1）</p>	

付録3 重大事故等対策の有効性評価に係るシビアアクシデント解析コードについて（添付1 高圧溶融物放出／格納容器雰囲気直接加熱の防止について）

女川原子力発電所2号炉	泊発電所3号炉	相違理由
<p>【参考のため掲載順を入れ替えた】</p>  <p>図 4-1-2 燃料ペレットが崩壊する時間及び温度の感度解析（2）      ※リロケーション後は、下部プレナム水位に溶融デブリ高さを含む。</p>	 <p>図 4-7-2 燃料ペレット破損判定感度解析（2）</p>	

泊発電所 3号炉 有効性評価 比較表

付録3 重大事故等対策の有効性評価に係るシビアアクシデント解析コードについて（添付1 高圧溶融物放出／格納容器雰囲気直接加熱の防止について）

女川原子力発電所2号炉	泊発電所3号炉	相違理由
<p>【参考のため掲載順を入れ替えた】</p>  <p>下部プレナム水量 (ton)</p> <p>事故後の時間 (h)</p> <p>—ベースケース —燃料ペレットが崩壊する時間及び温度感度ケース</p> <p>図 4-1-3 燃料ペレットが崩壊する時間及び温度の感度解析（3）</p>	 <p>下部プレナム水温度 (°C)</p> <p>時間 (hour)</p> <p>—ベースケース ...燃料ペレット破損判定感度ケース</p> <p>図 4-7-3 燃料ペレット破損判定感度解析（3）</p>	

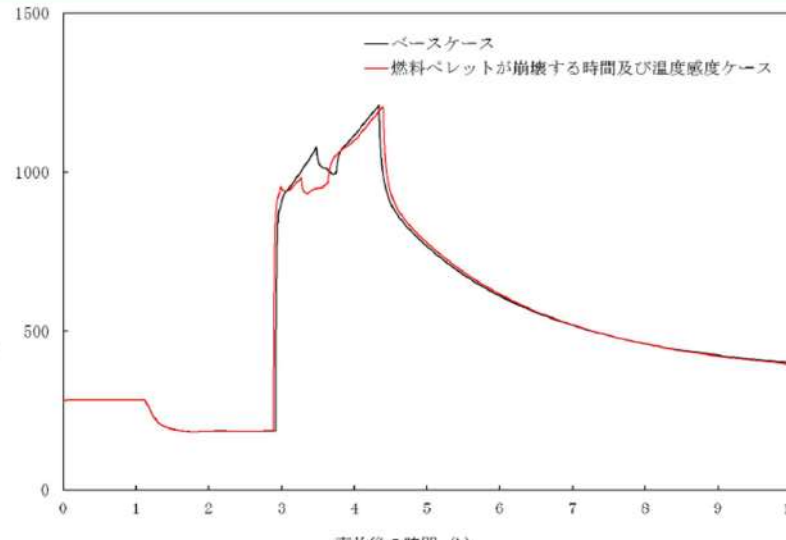
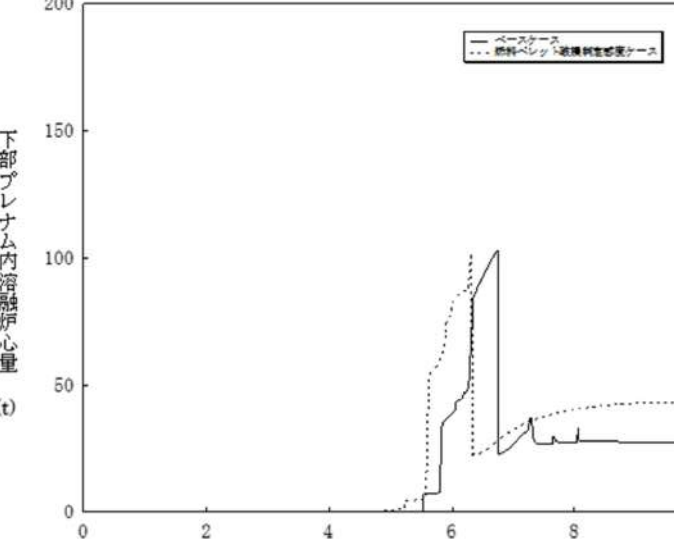
泊発電所 3号炉 有効性評価 比較表

付録3 重大事故等対策の有効性評価に係るシビアアクシデント解析コードについて（添付1 高圧溶融物放出／格納容器雰囲気直接加熱の防止について）

女川原子力発電所2号炉	泊発電所3号炉	相違理由
<p>【参考のため掲載順を入れ替えた】</p> <p>図 4-1-4 燃料ペレットが崩壊する時間及び温度の感度解析（4）</p>	<p>図 4-7-4 燃料ペレット破損判定感度解析（4）</p>	

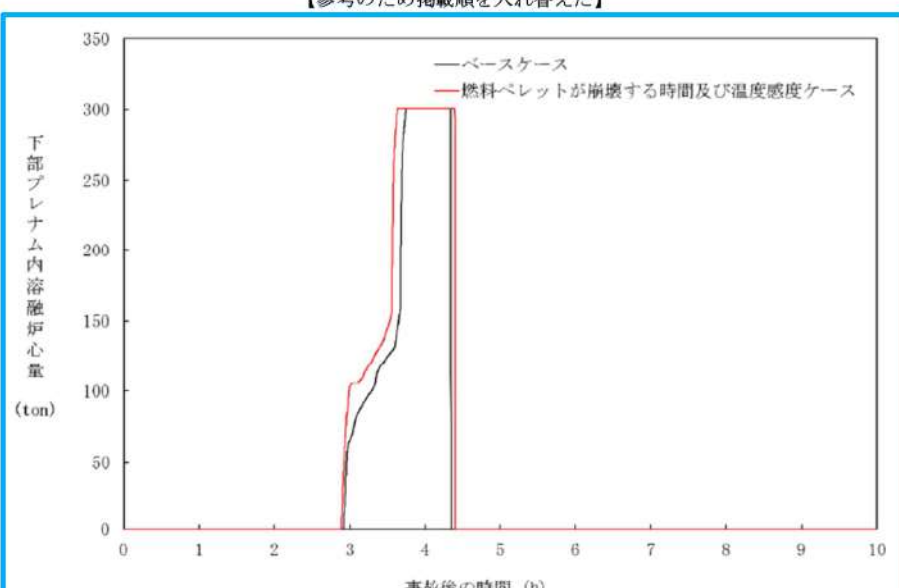
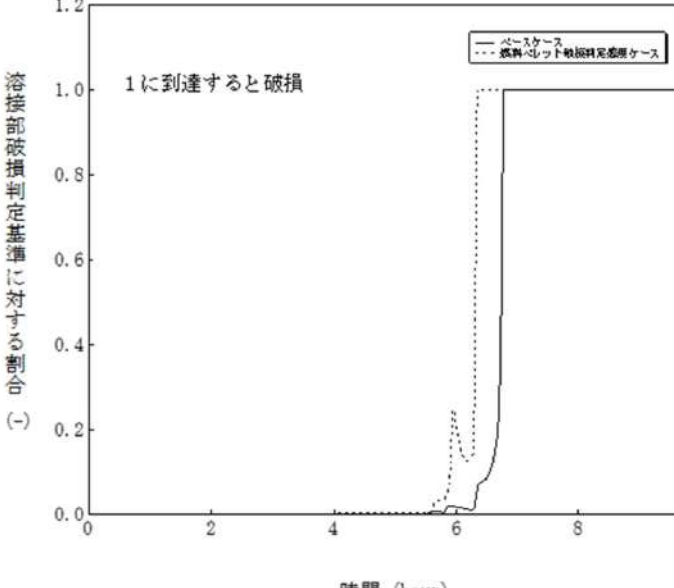
泊発電所 3号炉 有効性評価 比較表

付録3 重大事故等対策の有効性評価に係るシビアアクシデント解析コードについて（添付1 高圧溶融物放出／格納容器雰囲気直接加熱の防止について）

女川原子力発電所2号炉	泊発電所3号炉	相違理由
<p>【参考のため掲載順を入れ替えた】</p>  <p>図 4-1-5 燃料ペレットが崩壊する時間及び温度の感度解析（5）</p>	 <p>図 4-7-5 燃料ペレット破損判定感度解析（5）</p>	

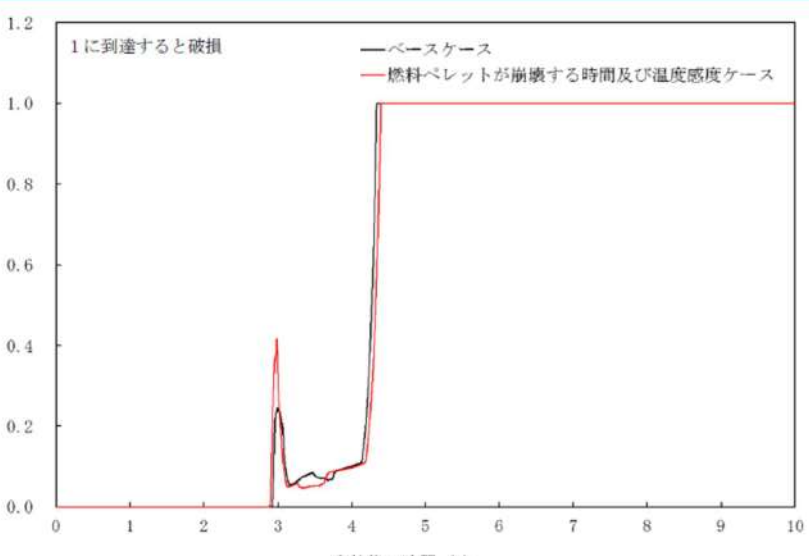
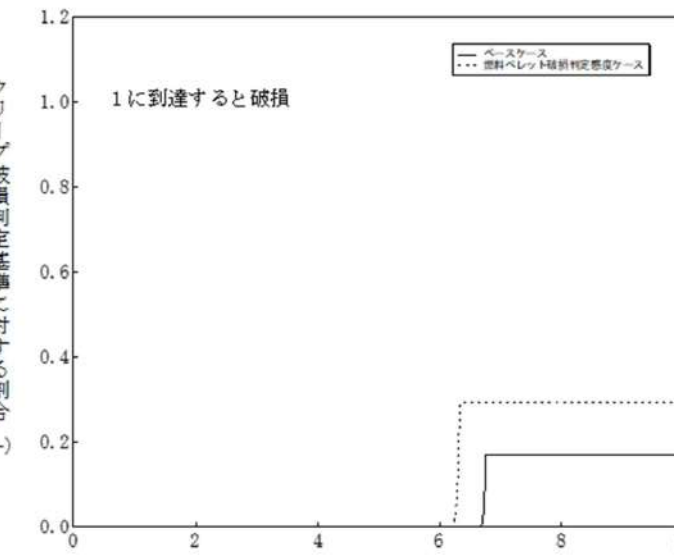
泊発電所 3号炉 有効性評価 比較表

付録3 重大事故等対策の有効性評価に係るシビアアクシデント解析コードについて（添付1 高圧溶融物放出／格納容器雰囲気直接加熱の防止について）

女川原子力発電所2号炉	泊発電所3号炉	相違理由
<p>【参考のため掲載順を入れ替えた】</p>  <p>図 4-1-6 燃料ペレットが崩壊する時間及び温度の感度解析（6）</p>	 <p>図 4-7-6 燃料ペレット破損判定感度解析（6）</p>	

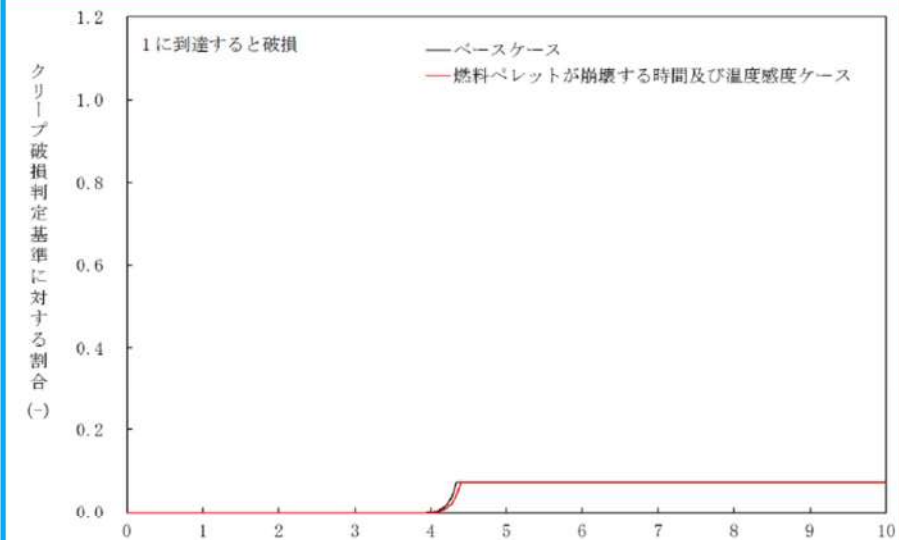
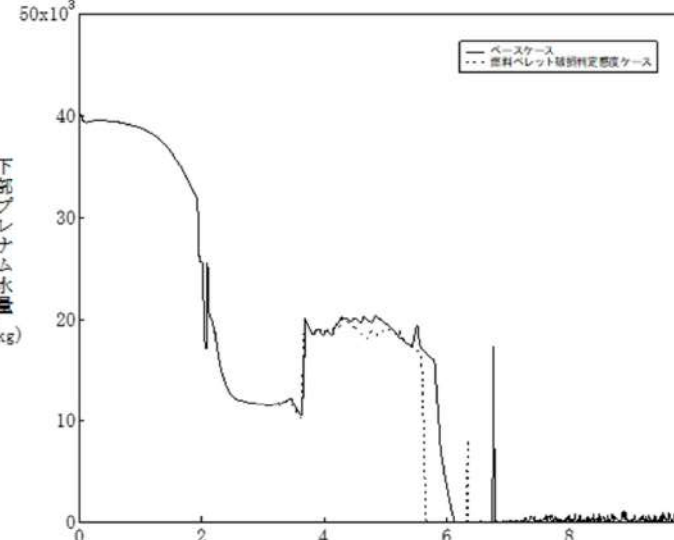
泊発電所 3号炉 有効性評価 比較表

付録3 重大事故等対策の有効性評価に係るシビアアクシデント解析コードについて（添付1 高圧溶融物放出／格納容器雰囲気直接加熱の防止について）

女川原子力発電所2号炉	泊発電所3号炉	相違理由
<p>【参考のため掲載順を入れ替えた】</p>  <p>1に到達すると破損</p> <p>—ベースケース —燃料ペレットが崩壊する時間及び温度感度ケース</p> <p>溶接部破損判定基準に対する割合 (-)</p> <p>事故後の時間 (h)</p> <p>図 4-1-7 燃料ペレットが崩壊する時間及び温度の感度解析 (7)</p>	 <p>1に到達すると破損</p> <p>—ベースケース ---燃料ペレット破損判定感度ケース</p> <p>クリープ破損判定基準に対する割合 (-)</p> <p>時間 (hour)</p> <p>図 4-7-7 燃料ペレット破損判定感度解析 (7)</p>	

泊発電所 3号炉 有効性評価 比較表

付録3 重大事故等対策の有効性評価に係るシビアアクシデント解析コードについて（添付1 高圧溶融物放出／格納容器雰囲気直接加熱の防止について）

女川原子力発電所2号炉	泊発電所3号炉	相違理由
<p>【参考のため掲載順を入れ替えた】</p>  <p>1に到達すると破損 —ベースケース —燃料ペレットが崩壊する時間及び温度感度ケース</p> <p>クリープ破損判定基準に対する割合 (-)</p> <p>事故後の時間 (h)</p> <p>図 4-1-8 燃料ペレットが崩壊する時間及び温度の感度解析 (8)</p>	 <p>—ベースケース ...燃料ペレット破損判定感度ケース</p> <p>下部プレナム水量 (kg)</p> <p>時間 (hour)</p> <p>図 4-7-8 燃料ペレット破損判定感度解析 (8)</p>	

泊発電所 3号炉 有効性評価 比較表

付録3 重大事故等対策の有効性評価に係るシビアアクシデント解析コードについて（添付1 高圧溶融物放出／格納容器雰囲気直接加熱の防止について）

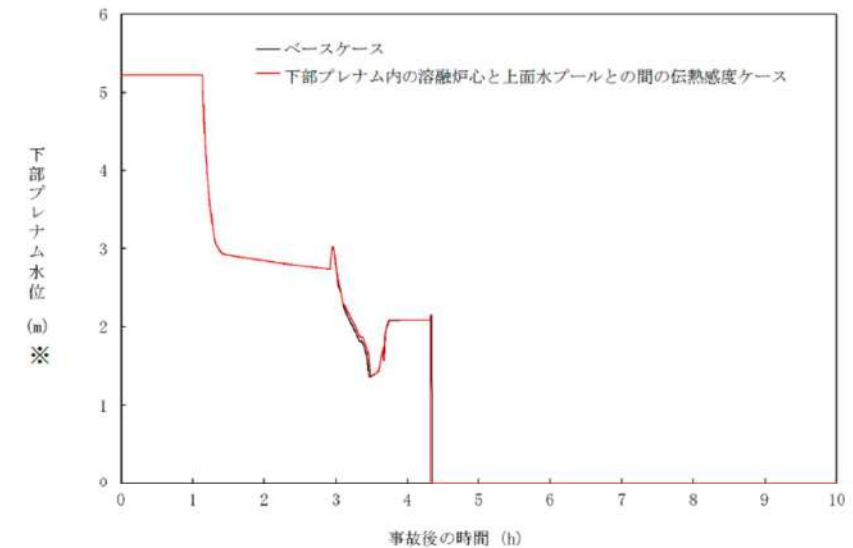
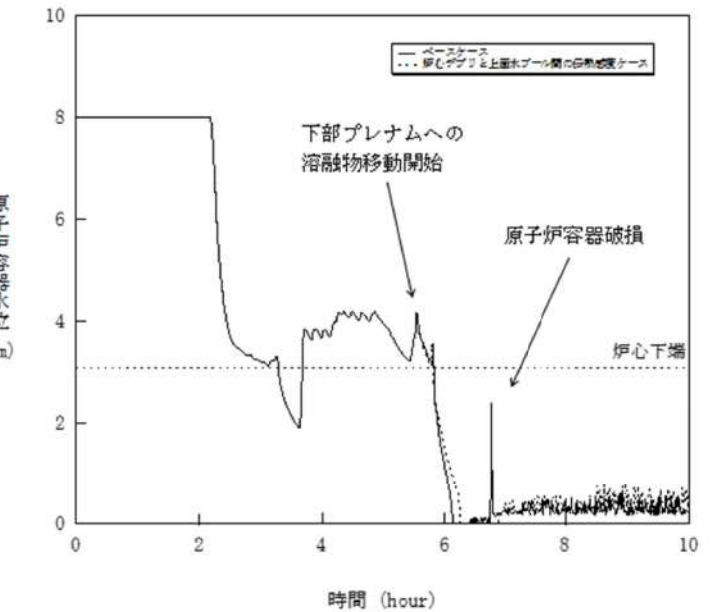
女川原子力発電所2号炉	泊発電所3号炉	相違理由

図 4-6-1 下部プレナム内の溶融炉心と上面水プールとの間の伝熱の感度解析（1）

図 4-8-1 溶融炉心と上面水プール間の伝熱感度解析（1）

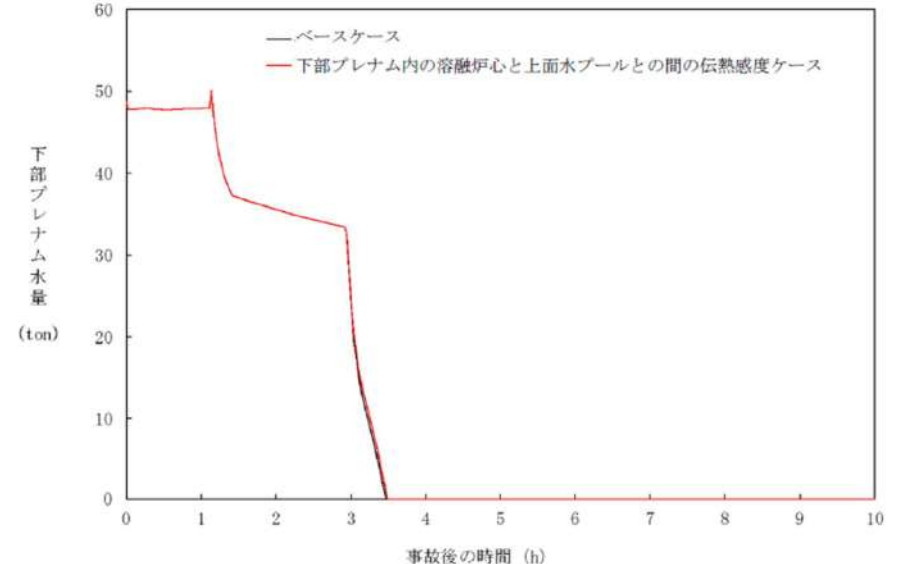
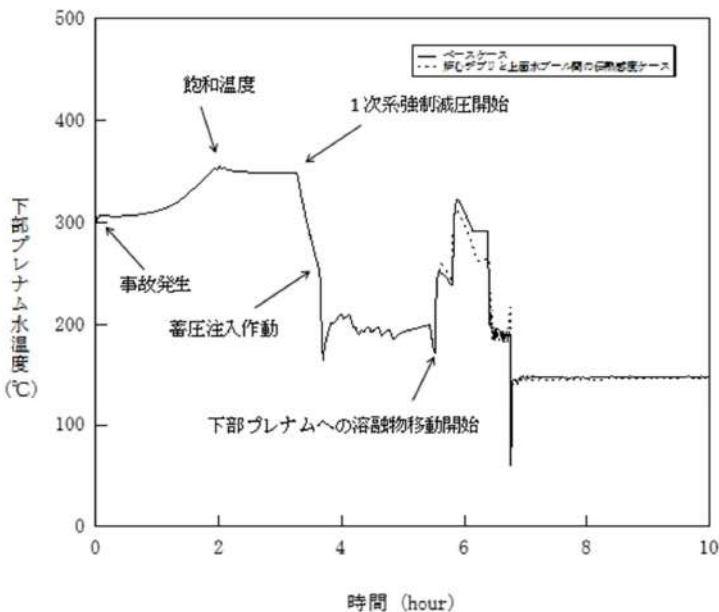
泊発電所 3号炉 有効性評価 比較表

付録3 重大事故等対策の有効性評価に係るシビアアクシデント解析コードについて（添付1 高圧溶融物放出／格納容器雰囲気直接加熱の防止について）

女川原子力発電所2号炉	泊発電所3号炉	相違理由
 <b>図 4-6-2 下部プレナム内の溶融炉心と上面水プールとの間の伝熱の感度解析（2）</b> ※リロケーション後は、下部プレナム水位に溶融デブリ高さを含む。	 <b>図 4-8-2 溶融炉心と上面水プール間の伝熱感度解析（2）</b>	

泊発電所 3号炉 有効性評価 比較表

付録3 重大事故等対策の有効性評価に係るシビアアクシデント解析コードについて（添付1 高圧溶融物放出／格納容器雰囲気直接加熱の防止について）

女川原子力発電所2号炉	泊発電所3号炉	相違理由
 <b>図 4-6-3 下部プレナム内の溶融炉心と上面水プールとの間の伝熱の感度解析（3）</b>	 <b>図 4-8-3 溶融炉心と上面水プール間の伝熱感度解析（3）</b>	

泊発電所 3号炉 有効性評価 比較表

付録3 重大事故等対策の有効性評価に係るシビアアクシデント解析コードについて（添付1 高圧溶融物放出／格納容器雰囲気直接加熱の防止について）

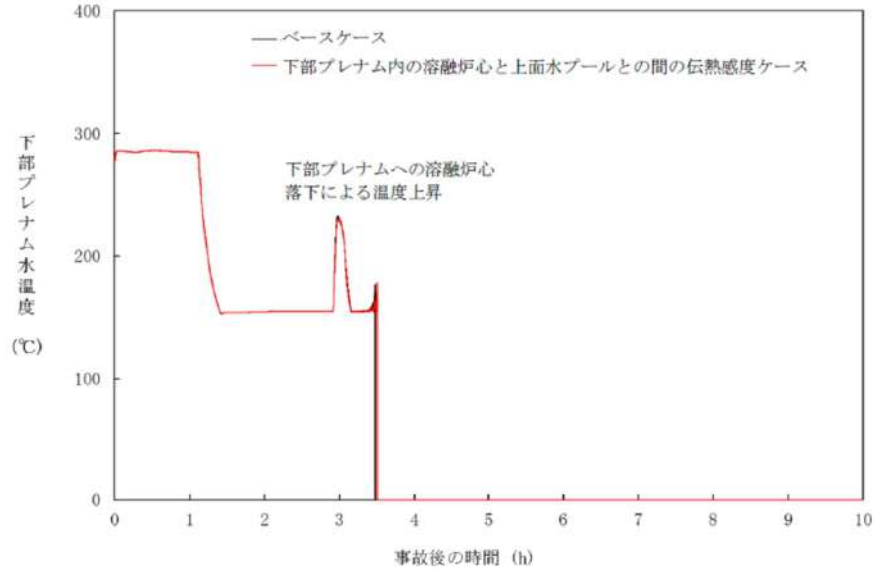
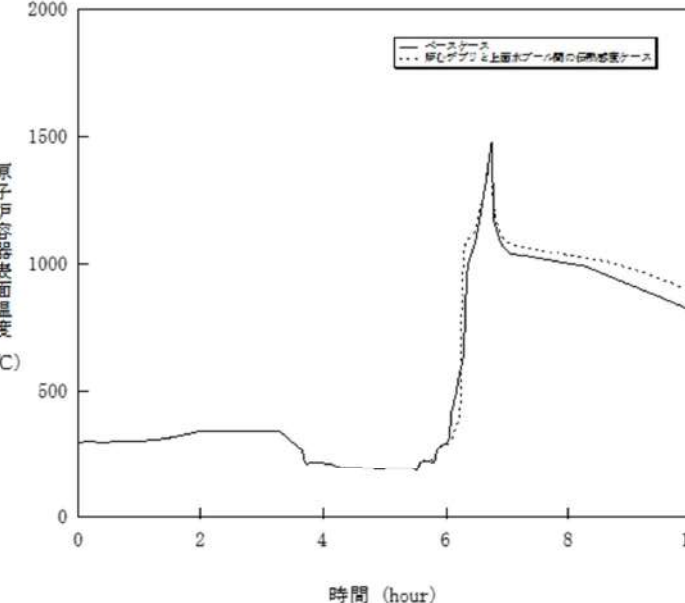
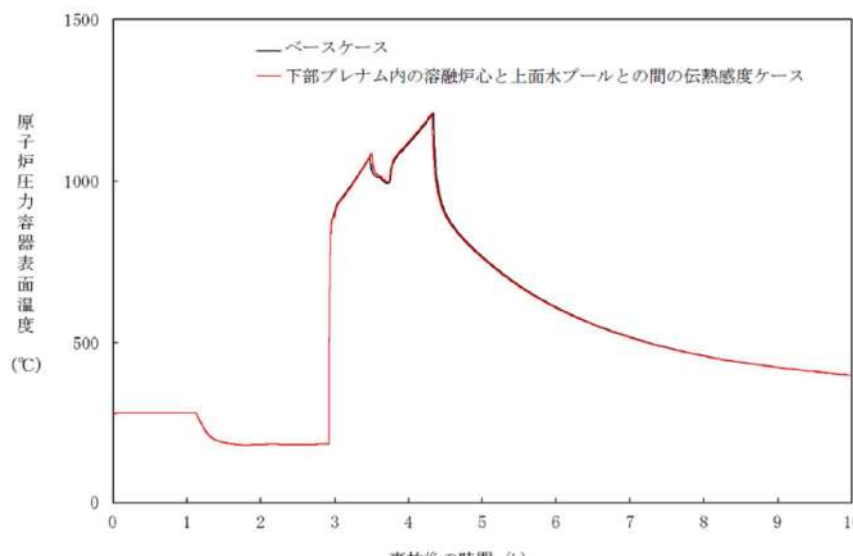
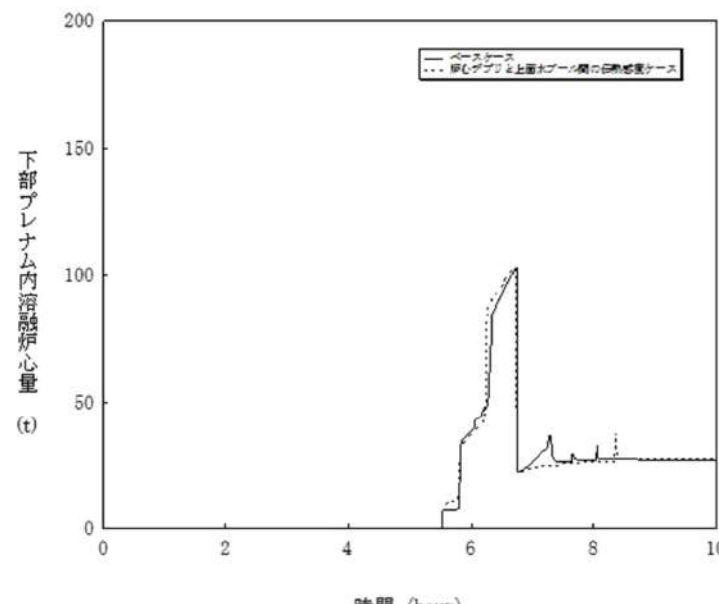
女川原子力発電所2号炉	泊発電所3号炉	相違理由
 <p>下部プレナムへの溶融炉心落下による温度上昇</p>		

図 4-6-4 下部プレナム内の溶融炉心と上面水プールとの間の伝熱の感度解析（4）

図 4-8-4 溶融炉心と上面水プール間の伝熱感度解析（4）

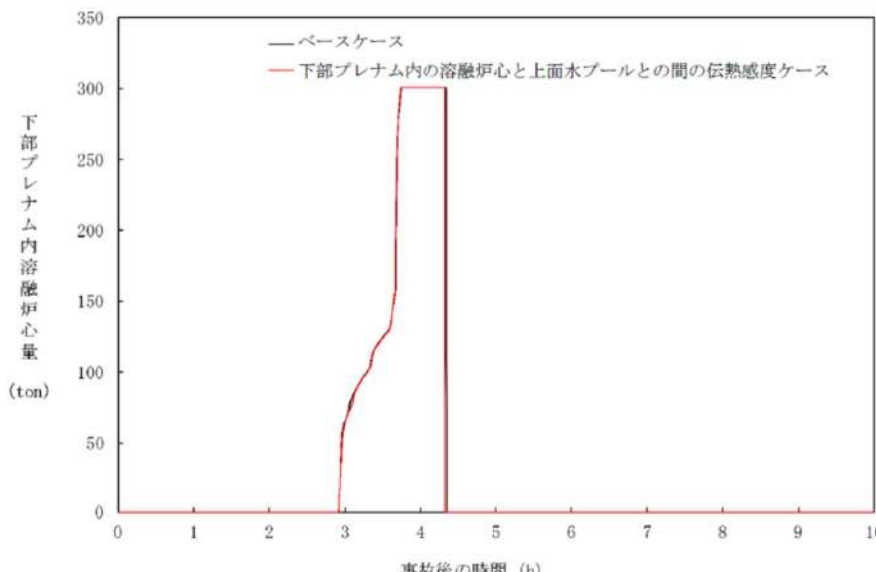
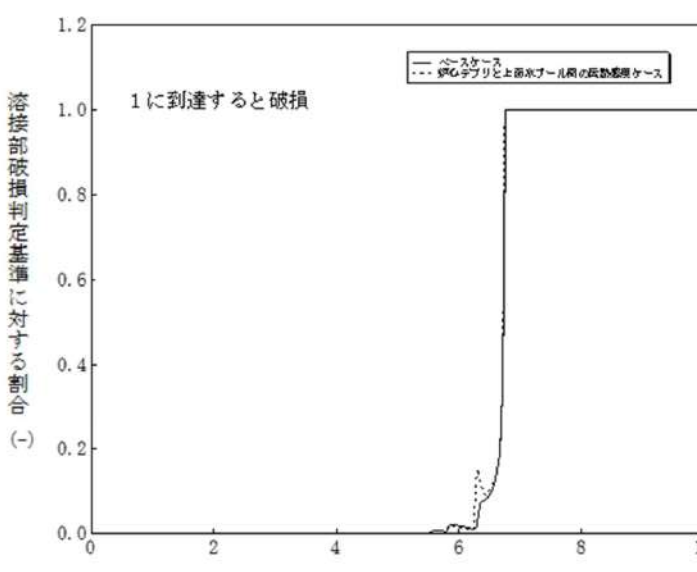
泊発電所 3号炉 有効性評価 比較表

付録3 重大事故等対策の有効性評価に係るシビアアクシデント解析コードについて（添付1 高圧溶融物放出／格納容器雰囲気直接加熱の防止について）

女川原子力発電所2号炉	泊発電所3号炉	相違理由
 <b>図 4-6-5 下部プレナム内の溶融炉心と上面水プールとの間の伝熱の感度解析（5）</b>	 <b>図 4-8-5 溶融炉心と上面水プール間の伝熱感度解析（5）</b>	

泊発電所 3号炉 有効性評価 比較表

付録3 重大事故等対策の有効性評価に係るシビアアクシデント解析コードについて（添付1 高圧溶融物放出／格納容器雰囲気直接加熱の防止について）

女川原子力発電所2号炉	泊発電所3号炉	相違理由
 <b>図 4-6-6 下部プレナム内の溶融炉心と上面水プールとの間の伝熱の感度解析（6）</b>	 <b>図 4-8-6 溶融炉心と上面水プール間の伝熱感度解析（6）</b>	

付録3 重大事故等対策の有効性評価に係るシビアアクシデント解析コードについて（添付1 高圧溶融物放出／格納容器雰囲気直接加熱の防止について）

女川原子力発電所2号炉	泊発電所3号炉	相違理由
<p>溶接部破損判定基準に対する割合 (-)</p> <p>—ベースケース —下部プレナム内の溶融炉心と上面水プールとの間の伝熱感度ケース</p> <p>1に到達すると破損</p> <p>事故後の時間 (h)</p>	<p>クリープ破損判定基準に対する割合 (-)</p> <p>—ベースケース —炉心ドリリと上面水プール壁の伝熱感度ケース</p> <p>1に到達すると破損</p> <p>時間 (hour)</p>	

図 4-6-7 下部プレナム内の溶融炉心と上面水プールとの間の伝熱の感度解析（7）

図 4-8-7 溶融炉心と上面水プール間の伝熱感度解析（7）

泊発電所 3号炉 有効性評価 比較表

付録3 重大事故等対策の有効性評価に係るシビアアクシデント解析コードについて（添付1 高圧溶融物放出／格納容器雰囲気直接加熱の防止について）

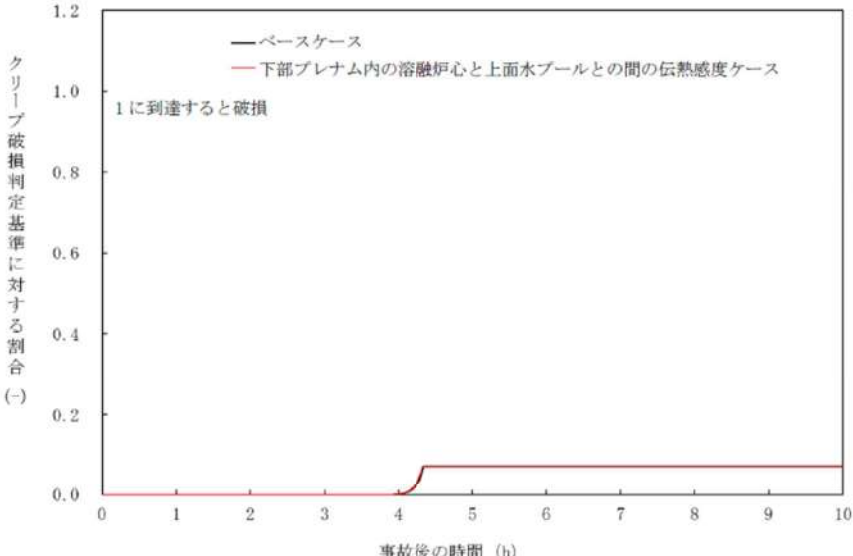
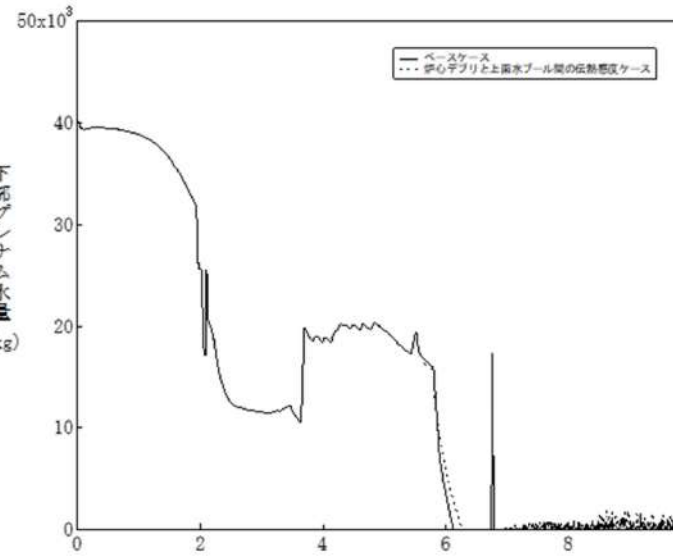
女川原子力発電所2号炉	泊発電所3号炉	相違理由
 <p>クリープ破損判定基準に対する割合 (-)</p> <p>—ベースケース —下部プレナム内の溶融炉心と上面水プールとの間の伝熱感度ケース</p> <p>1に到達すると破損</p> <p>事故後の時間 (h)</p>	 <p>下部プレナム水量 (kg)</p> <p>—ベースケース ...炉心デブリと上面水プール間の伝熱感度ケース</p> <p>時間 (hour)</p>	

図 4-6-8 下部プレナム内の溶融炉心と上面水プールとの間の伝熱の感度解析（8）

図 4-8-8 溶融炉心と上面水プール間の伝熱感度解析（8）

泊発電所 3号炉 有効性評価 比較表

付録3 重大事故等対策の有効性評価に係るシビアアクシデント解析コードについて（添付1 高圧溶融物放出／格納容器雰囲気直接加熱の防止について）

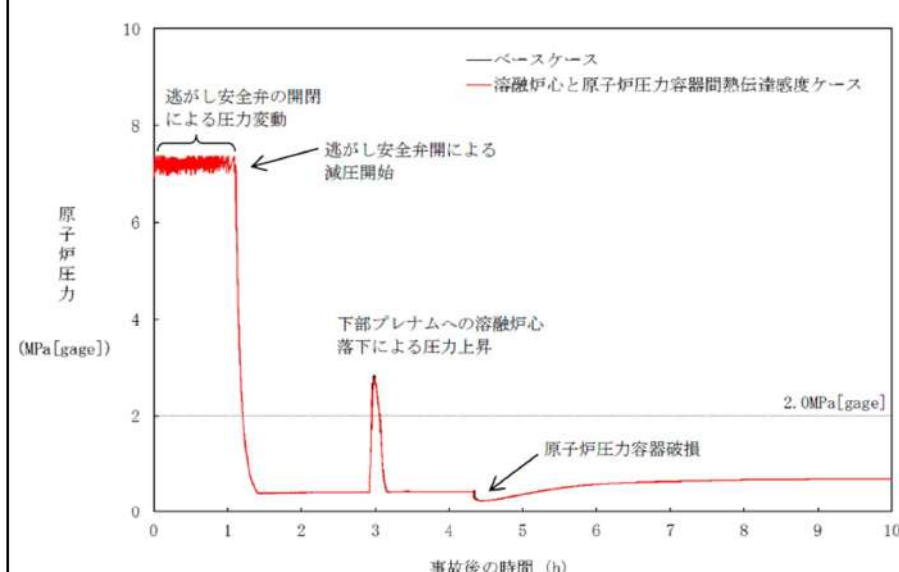
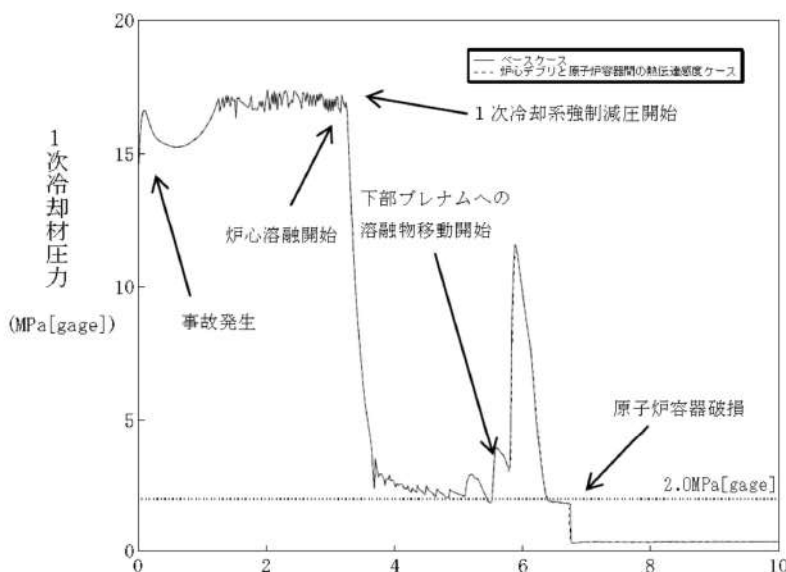
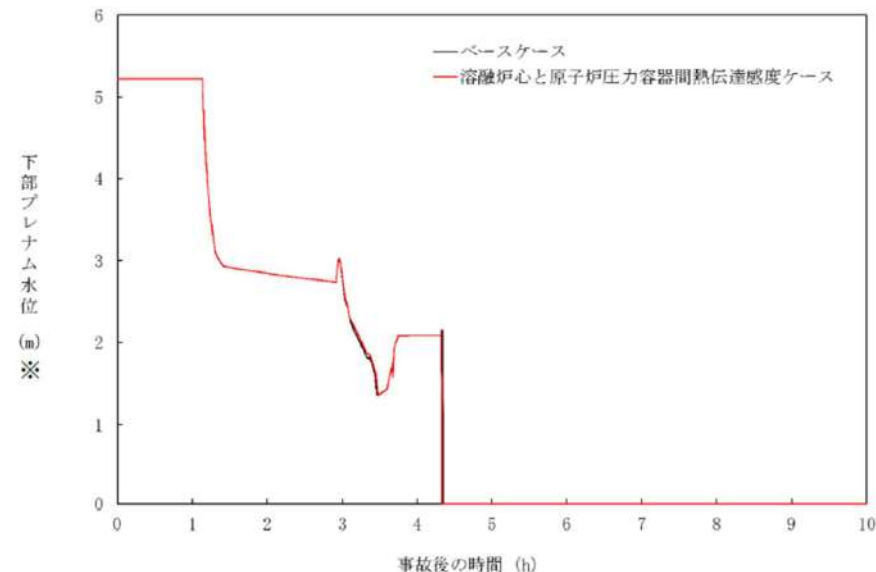
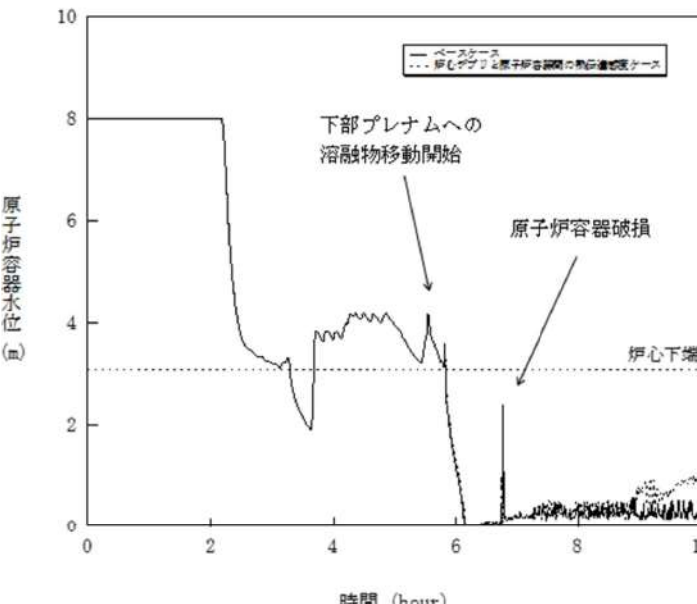
女川原子力発電所2号炉	泊発電所3号炉	相違理由
 <p>Figure 4-7-1: Sensitivity analysis of heat transfer between the molten core and the reactor pressure vessel. The graph plots reactor pressure (MPa [gage]) against time after the accident (hours). The base case (black line) shows a rapid pressure drop from ~8 MPa to near zero by 1 hour, followed by a small peak at 3 hours and a gradual rise. The sensitivity case (red line) shows a similar initial drop but remains significantly higher than the base case, peaking around 8 MPa at 3 hours.</p>	 <p>Figure 4-9-1: Sensitivity analysis of heat transfer between the molten core and the reactor pressure vessel. The graph plots primary cooling system pressure (MPa [gage]) against time (hours). The base case (black line) shows a sharp drop in pressure starting at ~3.5 hours, followed by a series of spikes and drops. The sensitivity case (red line) shows a similar initial drop but remains significantly higher than the base case, peaking around 15 MPa at 3.5 hours.</p>	

図 4-7-1 溶融炉心と原子炉圧力容器間熱伝達の感度解析（1）

図 4-9-1 溶融炉心と原子炉容器間の熱伝達感度解析（1）

泊発電所 3号炉 有効性評価 比較表

付録3 重大事故等対策の有効性評価に係るシビアアクシデント解析コードについて（添付1 高圧溶融物放出／格納容器雰囲気直接加熱の防止について）

女川原子力発電所2号炉	泊発電所3号炉	相違理由
 <p>図 4-7-2 溶融炉心と原子炉圧力容器間熱伝達の感度解析（2）      ※リロケーション後は、下部プレナム水位に溶融デブリ高さを含む。</p>	 <p>図 4-9-2 溶融炉心と原子炉容器間の熱伝達感度解析（2）</p>	

泊発電所 3号炉 有効性評価 比較表

付録3 重大事故等対策の有効性評価に係るシビアアクシデント解析コードについて（添付1 高圧溶融物放出／格納容器雰囲気直接加熱の防止について）

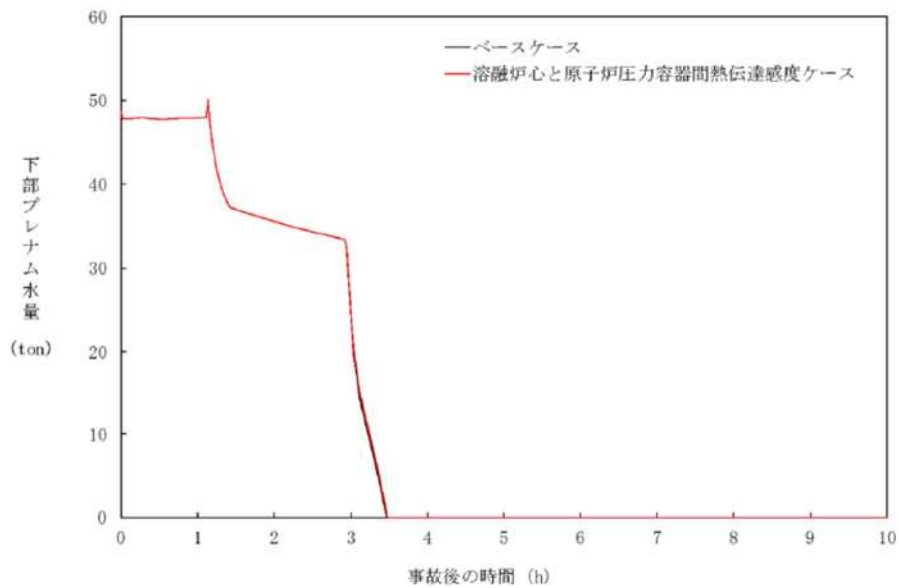
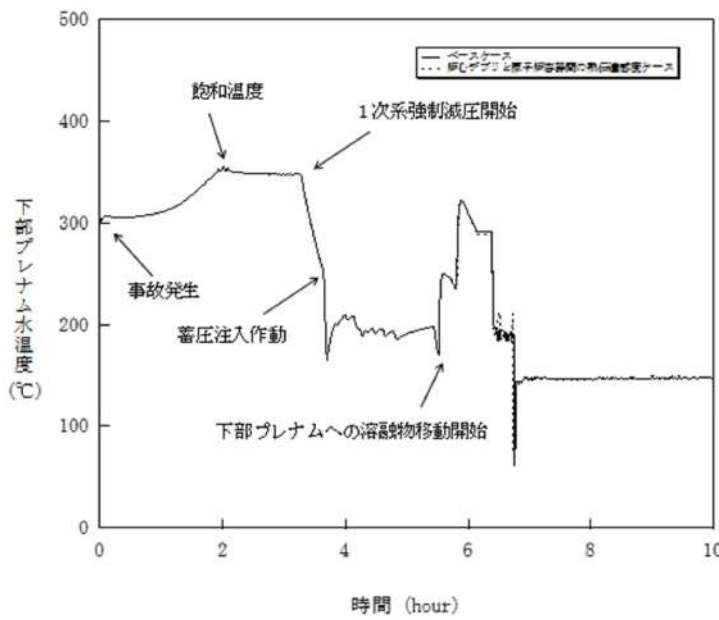
女川原子力発電所2号炉	泊発電所3号炉	相違理由
 <p>下部プレナム水量 (ton)</p> <p>事故後の時間 (h)</p> <p>—ベースケース —溶融炉心と原子炉圧力容器間熱伝達感度ケース</p>	 <p>下部プレナム水温度 (°C)</p> <p>時間 (hour)</p> <p>—ベースケース —... 壁面熱伝導率を異なる場合の感度ケース</p> <p>飽和温度 1次系強制減圧開始 蓄圧注入作動 下部プレナムへの溶融物移動開始 事故発生</p>	

図 4-7-3 溶融炉心と原子炉圧力容器間熱伝達の感度解析（3）

図 4-9-3 溶融炉心と原子炉容器間の熱伝達感度解析（3）

泊発電所 3号炉 有効性評価 比較表

付録3 重大事故等対策の有効性評価に係るシビアアクシデント解析コードについて（添付1 高圧溶融物放出／格納容器雰囲気直接加熱の防止について）

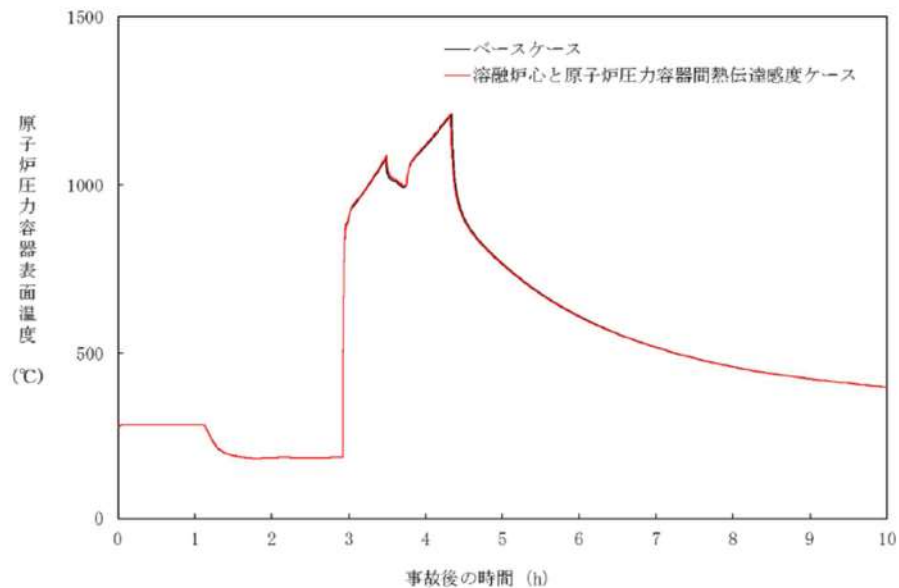
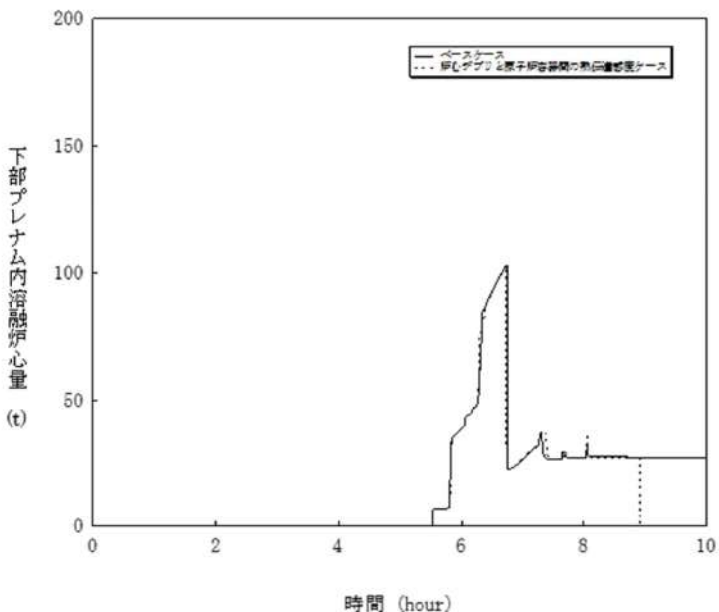
女川原子力発電所2号炉	泊発電所3号炉	相違理由

図 4-7-4 溶融炉心と原子炉圧力容器間熱伝達の感度解析（4）

図 4-9-4 溶融炉心と原子炉容器間の熱伝達感度解析（4）

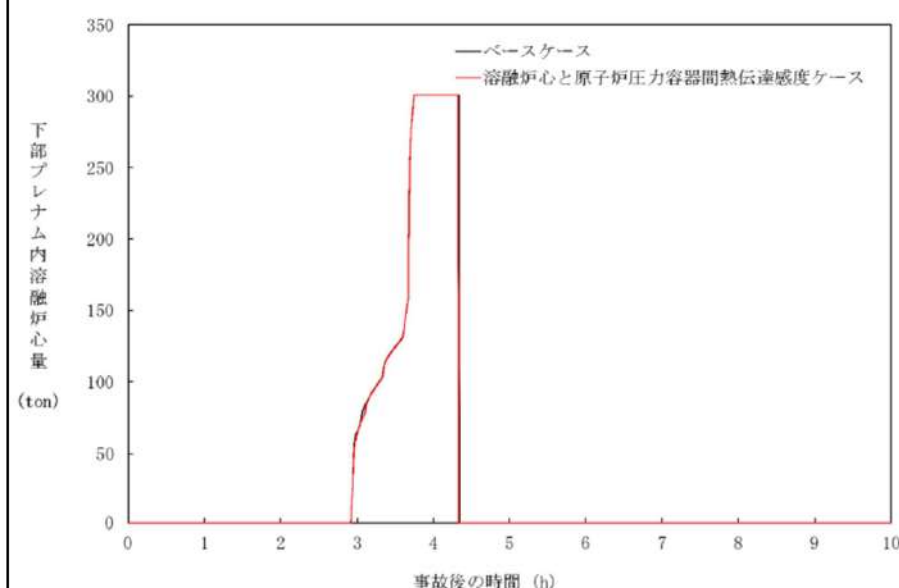
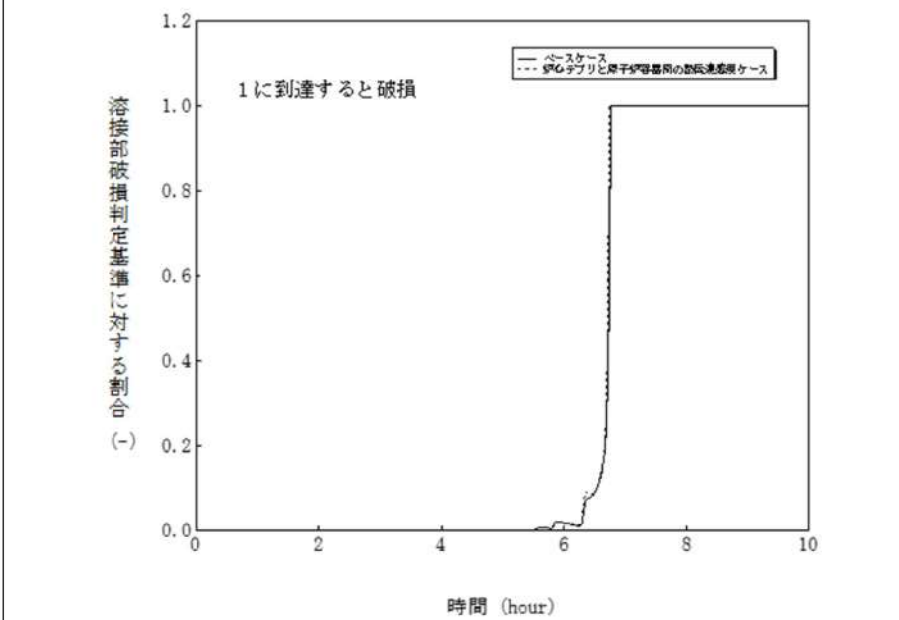
泊発電所 3号炉 有効性評価 比較表

付録3 重大事故等対策の有効性評価に係るシビアアクシデント解析コードについて（添付1 高圧溶融物放出／格納容器雰囲気直接加熱の防止について）

女川原子力発電所2号炉	泊発電所3号炉	相違理由
 <p>図 4-7-5 溶融炉心と原子炉圧力容器間熱伝達の感度解析（5）</p>	 <p>図 4-9-5 溶融炉心と原子炉容器間の熱伝達感度解析（5）</p>	

泊発電所 3号炉 有効性評価 比較表

付録3 重大事故等対策の有効性評価に係るシビアアクシデント解析コードについて（添付1 高圧溶融物放出／格納容器雰囲気直接加熱の防止について）

女川原子力発電所2号炉	泊発電所3号炉	相違理由
 <p>図 4-7-6 溶融炉心と原子炉圧力容器間熱伝達の感度解析（6）</p>	 <p>図 4-9-6 溶融炉心と原子炉容器間の熱伝達感度解析（6）</p>	

泊発電所 3号炉 有効性評価 比較表

付録3 重大事故等対策の有効性評価に係るシビアアクシデント解析コードについて（添付1 高圧溶融物放出／格納容器雰囲気直接加熱の防止について）

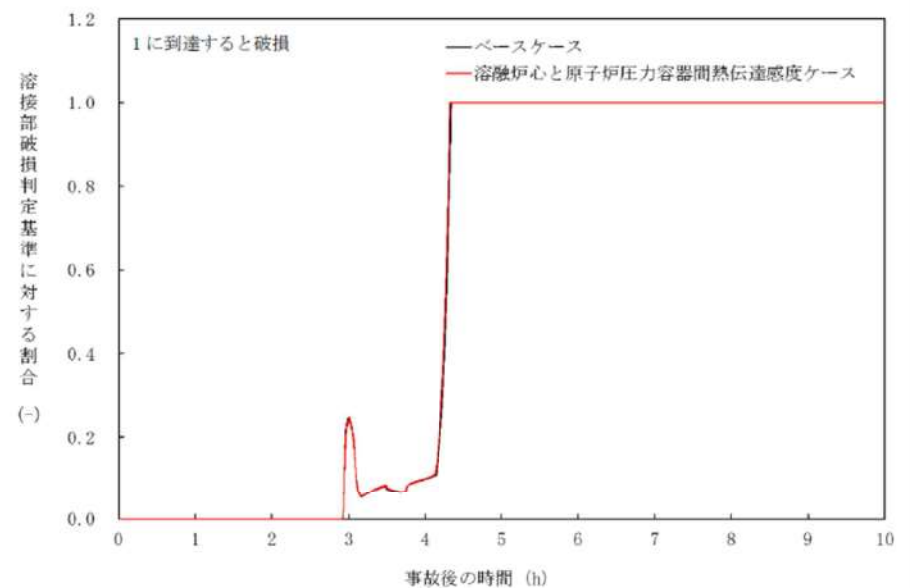
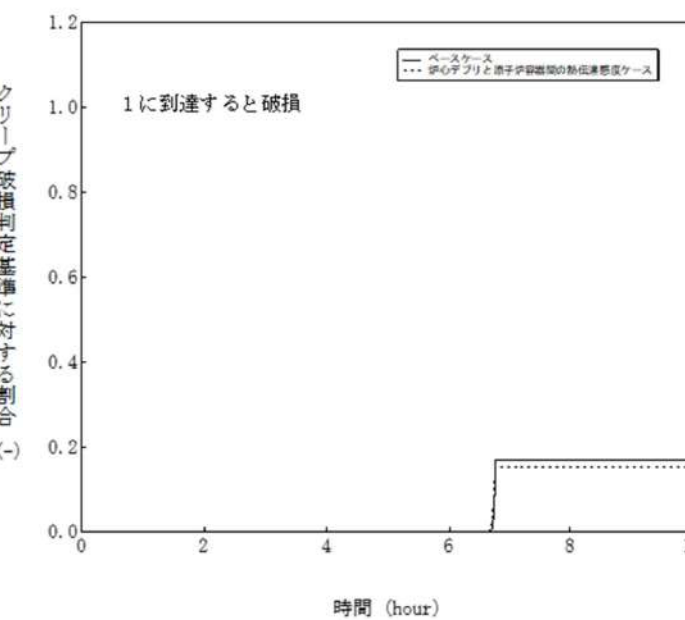
女川原子力発電所2号炉	泊発電所3号炉	相違理由
 <p>溶接部破損判定基準に対する割合 (-)</p> <p>事故後の時間 (h)</p> <p>—ベースケース —溶融炉心と原子炉圧力容器間熱伝達感度ケース</p> <p>1に到達すると破損</p>	 <p>クリープ破損判定基準に対する割合 (-)</p> <p>時間 (hour)</p> <p>—ベースケース ...炉心ドリフと原子炉容器間の熱伝達感度ケース</p> <p>1に到達すると破損</p>	

図 4-7-7 溶融炉心と原子炉圧力容器間熱伝達の感度解析（7）

図 4-9-7 溶融炉心と原子炉容器間の熱伝達感度解析（7）

泊発電所 3号炉 有効性評価 比較表

付録3 重大事故等対策の有効性評価に係るシビアアクシデント解析コードについて（添付1 高圧溶融物放出／格納容器雰囲気直接加熱の防止について）

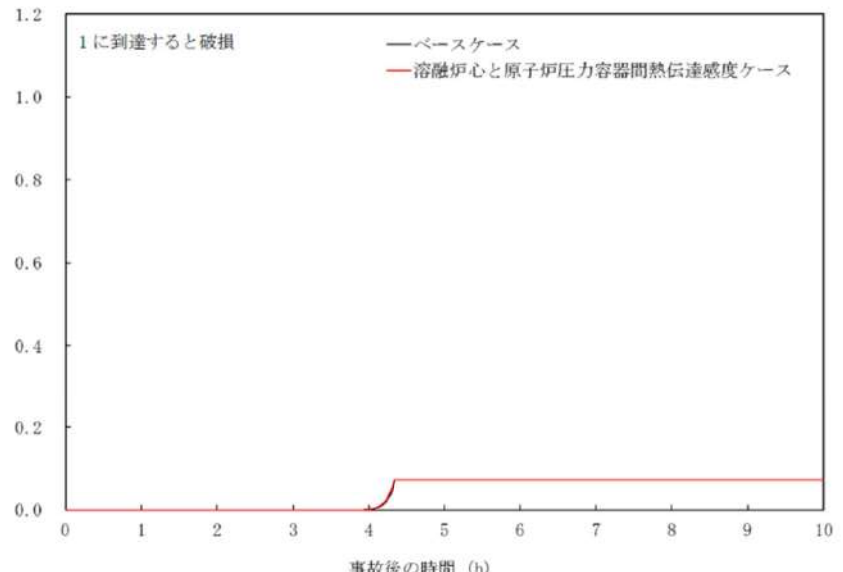
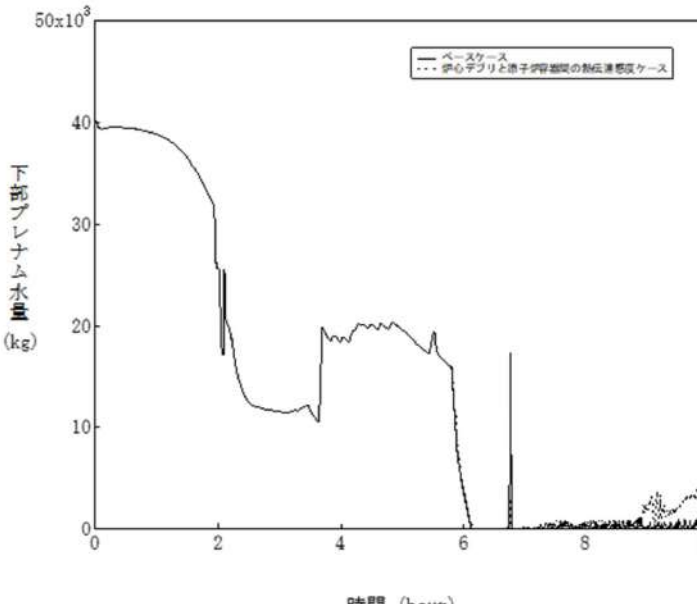
女川原子力発電所2号炉	泊発電所3号炉	相違理由
 <p>1に到達すると破損 —ベースケース —溶融炉心と原子炉圧力容器間熱伝達感度ケース</p> <p>クリープ破損判定基準に対する割合 (%)</p> <p>事故後の時間 (h)</p>	 <p>—ベースケース ...炉心テフリと原子炉容器間の熱伝達感度ケース</p> <p>下部プレナム水量 (kg)</p> <p>時間 (hour)</p>	

図 4-7-8 溶融炉心と原子炉圧力容器間熱伝達の感度解析（8）

図 4-9-8 溶融炉心と原子炉容器間の熱伝達感度解析（8）

泊発電所 3号炉 有効性評価 比較表

付録3 重大事故等対策の有効性評価に係るシビアアクシデント解析コードについて（添付1 高圧溶融物放出／格納容器雰囲気直接加熱の防止について）

女川原子力発電所2号炉	泊発電所3号炉	相違理由

図 4-8-1 溶接部破損時の最大ひずみの感度解析（1）

図 4-10-1 溶接部破損時の最大歪み感度解析（1）

付録3 重大事故等対策の有効性評価に係るシビアアクシデント解析コードについて（添付1 高圧溶融物放出／格納容器雰囲気直接加熱の防止について）

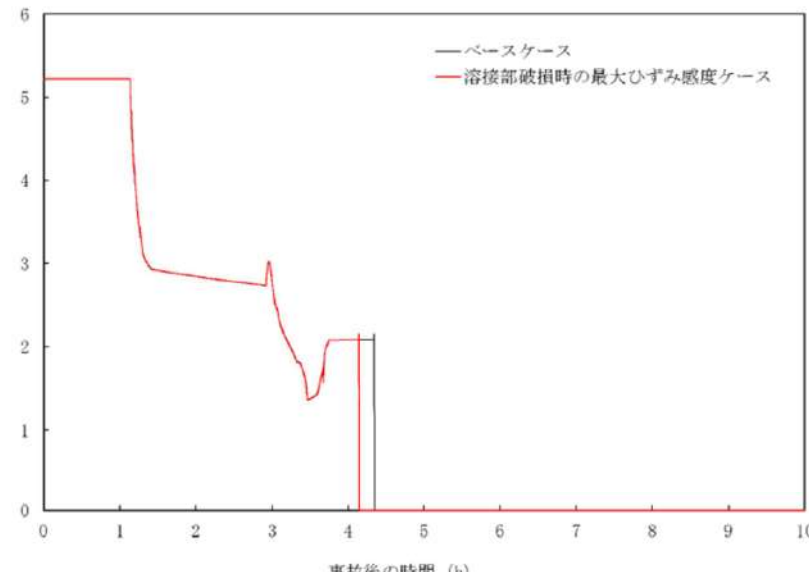
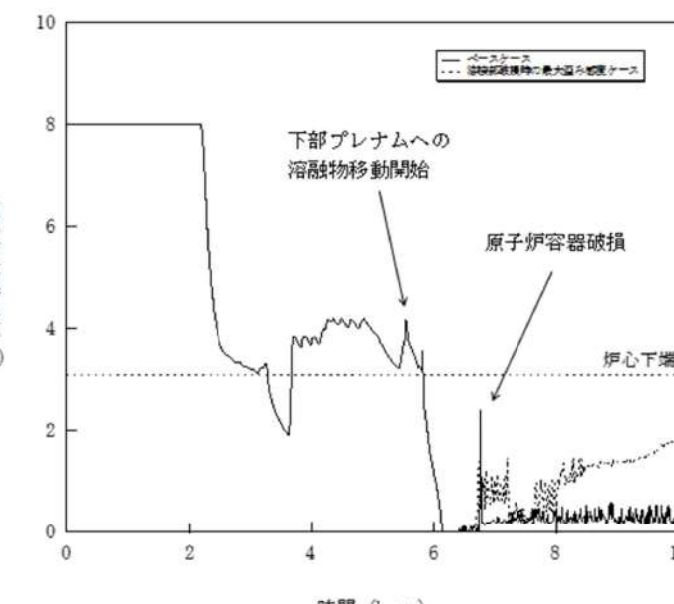
女川原子力発電所2号炉	泊発電所3号炉	相違理由
 <p>下部プレナム水位 (m) ※</p> <p>事故後の時間 (h)</p> <p>—ベースケース —溶接部破損時の最大ひずみ感度ケース</p>	 <p>原子炉容器水位 (m)</p> <p>時間 (hour)</p> <p>—ベースケース ---溶接部破損時の最大ひずみ感度ケース</p> <p>下部プレナムへの溶融物移動開始</p> <p>原子炉容器破損</p> <p>炉心下端</p>	

図 4-8-2 溶接部破損時の最大ひずみの感度解析（2）

※リロケーション後は、下部プレナム水位に溶融デブリ高さを含む。

図 4-10-2 溶接部破損時の最大歪み感度解析（2）

泊発電所 3号炉 有効性評価 比較表

付録3 重大事故等対策の有効性評価に係るシビアアクシデント解析コードについて（添付1 高圧溶融物放出／格納容器雰囲気直接加熱の防止について）

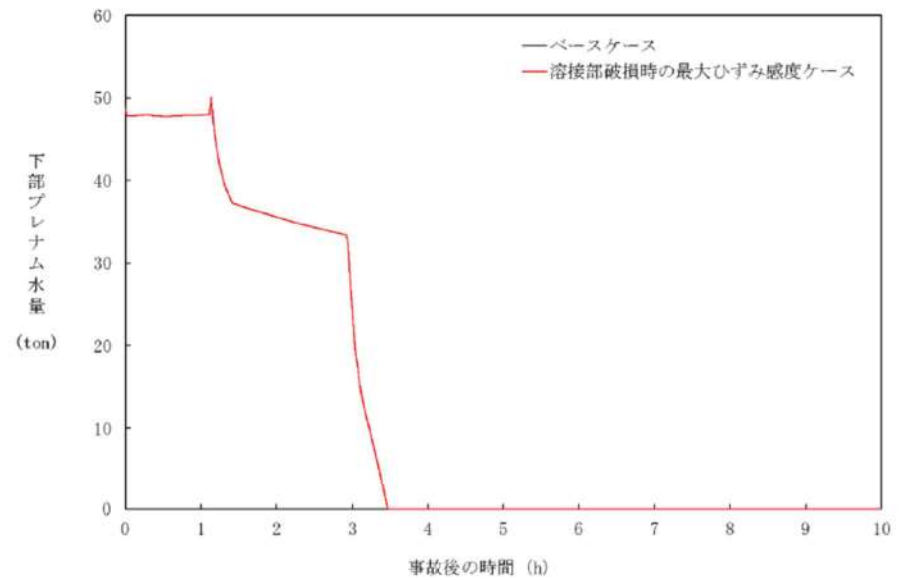
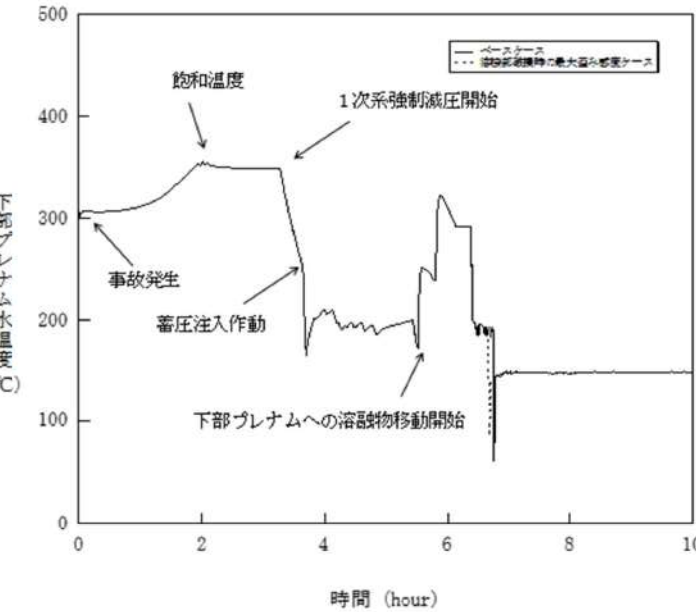
女川原子力発電所2号炉	泊発電所3号炉	相違理由
 <p>下部プレナム水量 (ton)</p> <p>事故後の時間 (h)</p> <p>—ベースケース —溶接部破損時の最大ひずみ感度ケース</p>	 <p>下部プレナム水温度 (°C)</p> <p>時間 (hour)</p> <p>—ベースケース —溶接部破損時の最大ひずみ感度ケース</p> <p>飽和温度 1次系強制減圧開始 事故発生 蓄圧注入作動 下部プレナムへの溶融物移動開始</p>	

図 4-8-3 溶接部破損時の最大ひずみの感度解析（3）

図 4-10-3 溶接部破損時の最大ひずみ感度解析（3）

泊発電所 3号炉 有効性評価 比較表

付録3 重大事故等対策の有効性評価に係るシビアアクシデント解析コードについて（添付1 高圧溶融物放出／格納容器雰囲気直接加熱の防止について）

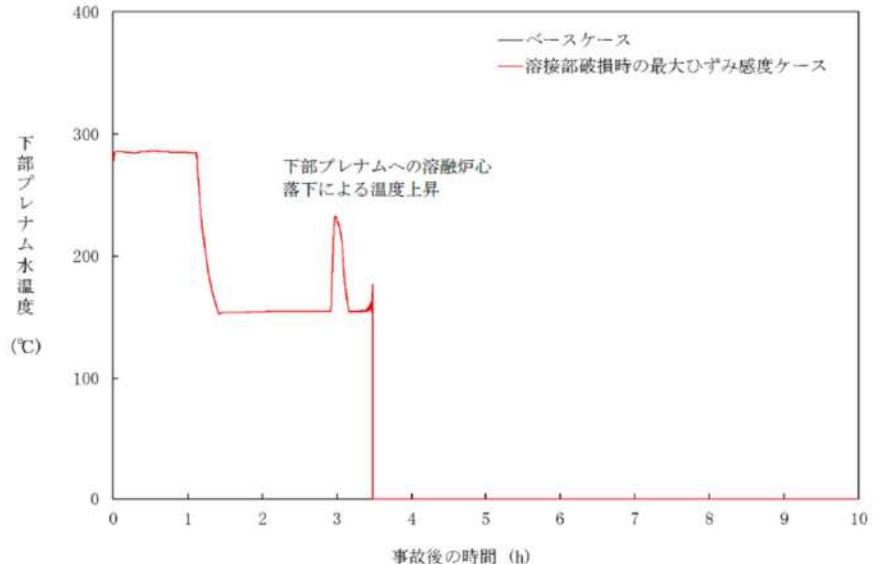
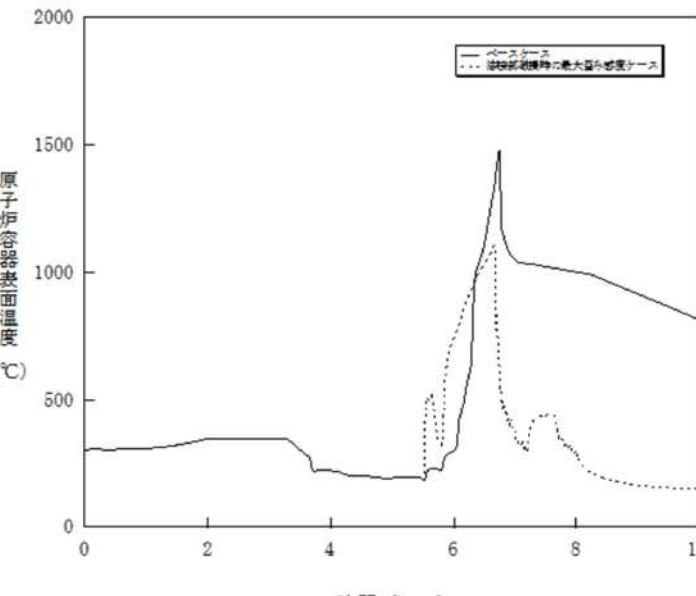
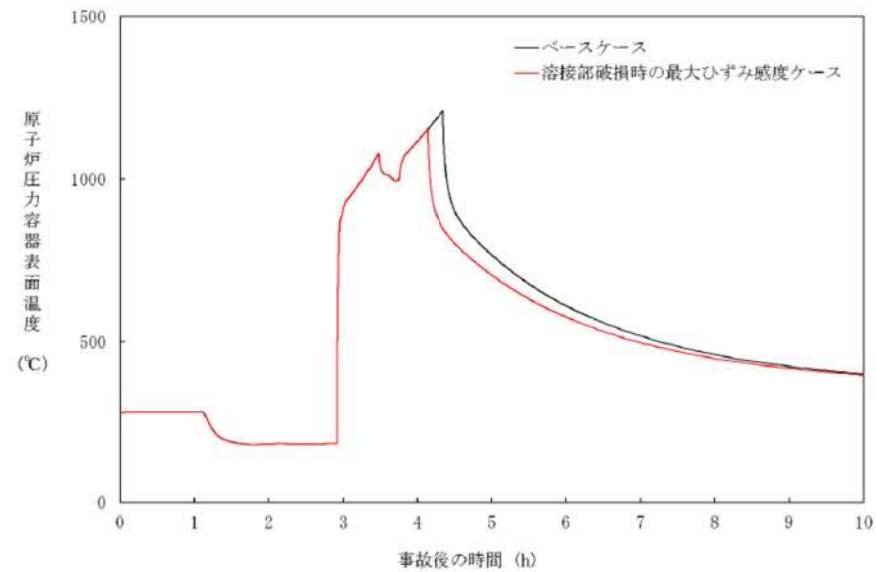
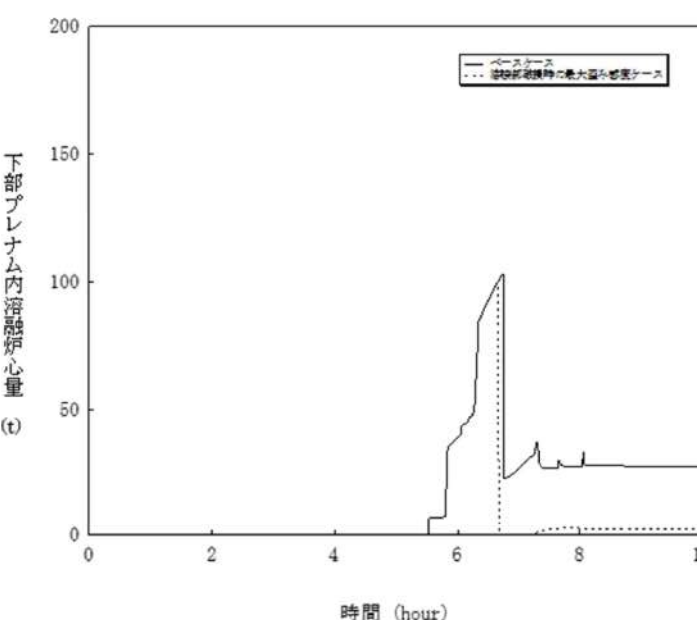
女川原子力発電所2号炉	泊発電所3号炉	相違理由
 <p>下部プレナム水温度 (°C)</p> <p>—ベースケース —溶接部破損時の最大ひずみ感度ケース</p> <p>事故後の時間 (h)</p> <p>下部プレナムへの溶融炉心落下による温度上昇</p>	 <p>原子炉容器表面温度 (°C)</p> <p>—ベースケース ...溶接部破損時の最大歪み感度ケース</p> <p>時間 (hour)</p>	

図 4-8-4 溶接部破損時の最大ひずみの感度解析（4）

図 4-10-4 溶接部破損時の最大歪み感度解析（4）

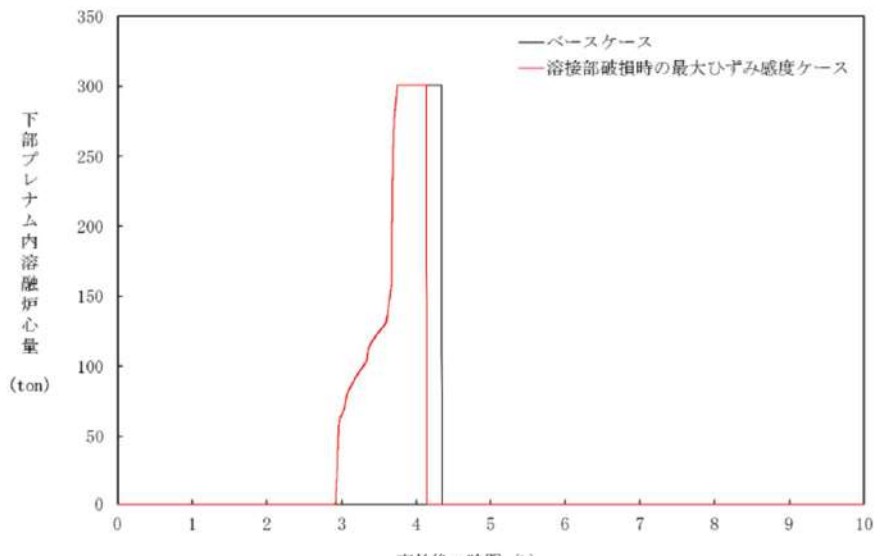
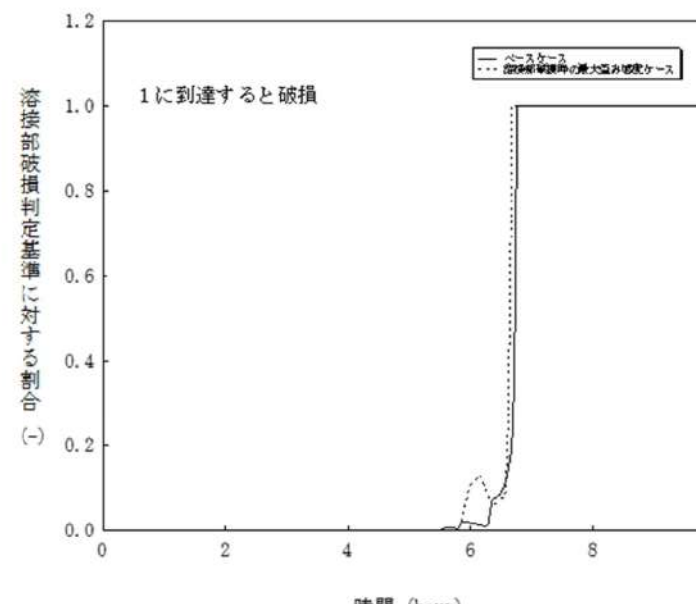
泊発電所 3号炉 有効性評価 比較表

付録3 重大事故等対策の有効性評価に係るシビアアクシデント解析コードについて（添付1 高圧溶融物放出／格納容器雰囲気直接加熱の防止について）

女川原子力発電所2号炉	泊発電所3号炉	相違理由
 <p>図 4-8-5 溶接部破損時の最大ひずみの感度解析（5）</p>	 <p>図 4-10-5 溶接部破損時の最大歪み感度解析（5）</p>	

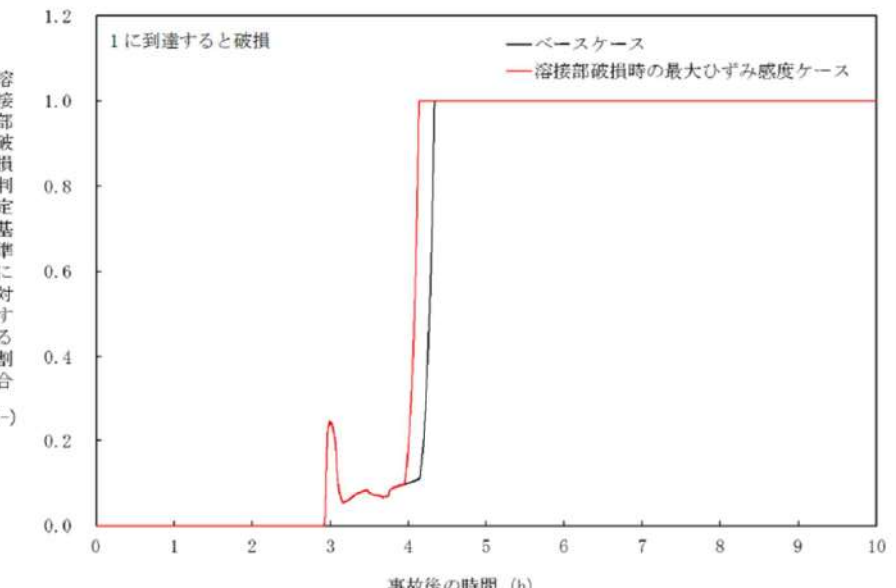
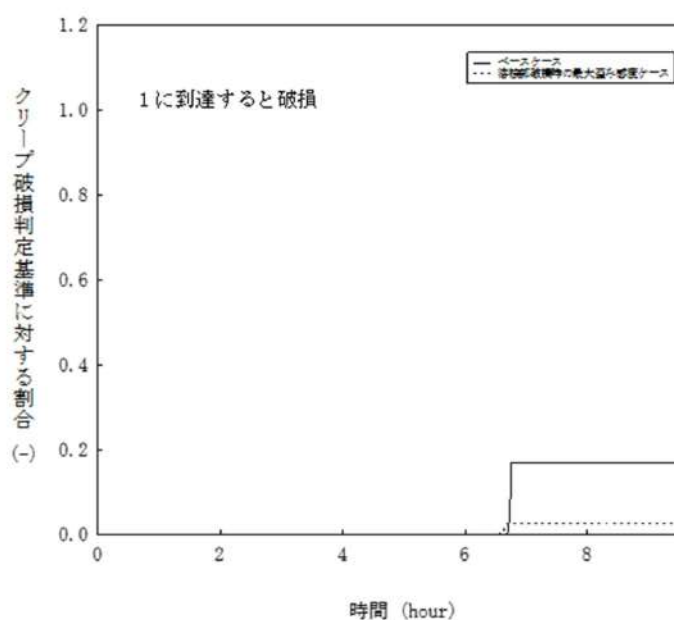
泊発電所 3号炉 有効性評価 比較表

付録3 重大事故等対策の有効性評価に係るシビアアクシデント解析コードについて（添付1 高圧溶融物放出／格納容器雰囲気直接加熱の防止について）

女川原子力発電所2号炉	泊発電所3号炉	相違理由
 <p>図 4-8-6 溶接部破損時の最大ひずみの感度解析（6）</p>	 <p>図 4-10-6 溶接部破損時の最大歪み感度解析（6）</p>	

泊発電所 3号炉 有効性評価 比較表

付録3 重大事故等対策の有効性評価に係るシビアアクシデント解析コードについて（添付1 高圧溶融物放出／格納容器雰囲気直接加熱の防止について）

女川原子力発電所2号炉	泊発電所3号炉	相違理由
 <p>図 4-8-7 溶接部破損時の最大ひずみの感度解析（7）</p>	 <p>図 4-10-7 溶接部破損時の最大歪み感度解析（7）</p>	

泊発電所 3号炉 有効性評価 比較表

付録3 重大事故等対策の有効性評価に係るシビアアクシデント解析コードについて（添付1 高圧溶融物放出／格納容器雰囲気直接加熱の防止について）

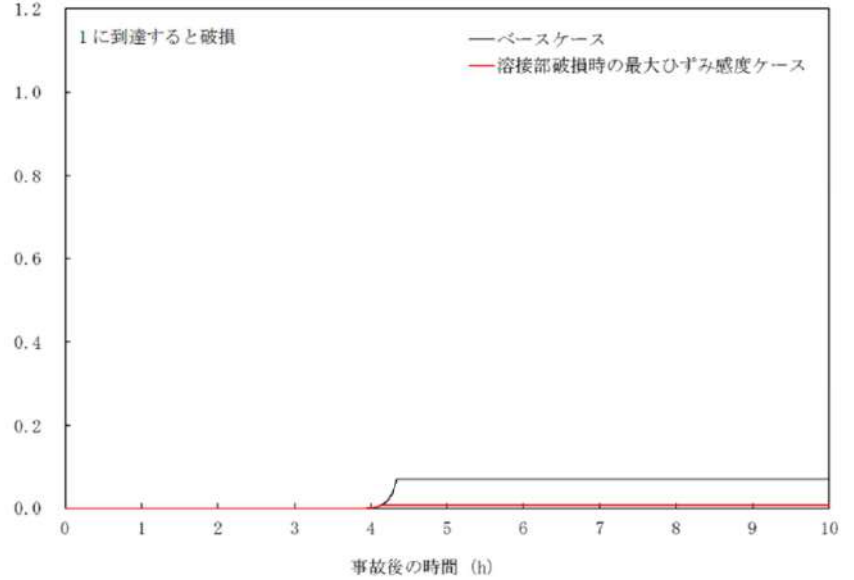
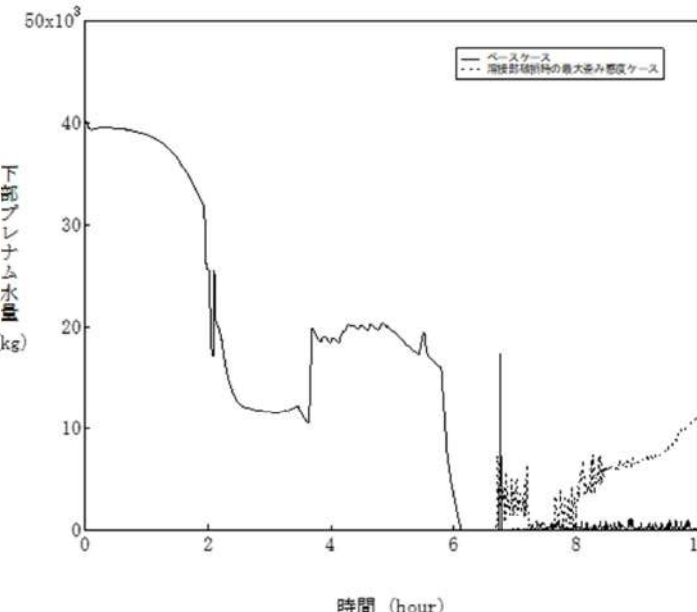
女川原子力発電所2号炉	泊発電所3号炉	相違理由
 <p>クリープ破損判定基準に対する割合 (%)</p> <p>1に到達すると破損</p> <p>—ベースケース —溶接部破損時の最大ひずみ感度ケース</p> <p>事故後の時間 (h)</p>	 <p>下部ブレナム水量 (kg)</p> <p>—ベースケース ...溶接部破損時の最大ひずみ感度ケース</p> <p>時間 (hour)</p>	

図 4-8-8 溶接部破損時の最大ひずみの感度解析 (8)

図 4-10-8 溶接部破損時の最大歪み感度解析 (8)

付録3 重大事故等対策の有効性評価に係るシビアアクシデント解析コードについて（添付1 高圧溶融物放出／格納容器雰囲気直接加熱の防止について）

女川原子力発電所2号炉	泊発電所3号炉	相違理由																																												
<p>女川原子力発電所2号炉</p> <table border="1"> <thead> <tr> <th>パラメータ</th> <th>ベースケース</th> <th>下部プレナムへの溶融物移動開始</th> <th>原子炉圧力容器破損</th> </tr> </thead> <tbody> <tr><td>(1) 溶融落下流量 (燃料ペレットが崩壊する時間及び温度)</td><td>◆</td><td>×</td><td>■</td></tr> <tr><td>(2) 溶融ジェット径</td><td>◆</td><td>×</td><td>■</td></tr> <tr><td>(3) エント雷インメント係数</td><td>◆</td><td>×</td><td>■</td></tr> <tr><td>(4) デブリ粒子径</td><td>◆</td><td>×</td><td>■</td></tr> <tr><td>(5) ジルコニウム-水反応速度の係数</td><td>◆</td><td>×</td><td>■</td></tr> <tr><td>(6) 伊心崩壊半時 (燃料ペレットが崩壊する時間及び温度)</td><td>◆</td><td>×</td><td>■</td></tr> <tr><td>(7) 下部プレナム内の溶融炉心と上面水プールとの間の伝熱</td><td>◆</td><td>×</td><td>■</td></tr> <tr><td>(8) 溶融炉心と原子炉圧力容器間の熱伝達</td><td>◆</td><td>×</td><td>■</td></tr> <tr><td>(9) 溶接部破損時の最大ひずみ</td><td>◆</td><td>×</td><td>■</td></tr> <tr><td>(10) 全パラメータ組み合わせの感度解析</td><td>◆</td><td>×</td><td>■</td></tr> </tbody> </table> <p>事故後の時間 (h)</p>	パラメータ	ベースケース	下部プレナムへの溶融物移動開始	原子炉圧力容器破損	(1) 溶融落下流量 (燃料ペレットが崩壊する時間及び温度)	◆	×	■	(2) 溶融ジェット径	◆	×	■	(3) エント雷インメント係数	◆	×	■	(4) デブリ粒子径	◆	×	■	(5) ジルコニウム-水反応速度の係数	◆	×	■	(6) 伊心崩壊半時 (燃料ペレットが崩壊する時間及び温度)	◆	×	■	(7) 下部プレナム内の溶融炉心と上面水プールとの間の伝熱	◆	×	■	(8) 溶融炉心と原子炉圧力容器間の熱伝達	◆	×	■	(9) 溶接部破損時の最大ひずみ	◆	×	■	(10) 全パラメータ組み合わせの感度解析	◆	×	■	<p>泊発電所3号炉</p> <p>1次冷却材圧力 (MPa [gage])</p> <p>時間 (hour)</p> <p>事故発生</p> <p>1次冷却系強制減圧開始</p> <p>炉心溶融開始</p> <p>下部プレナムへの溶融物移動開始</p> <p>原子炉容器破損</p> <p>2.0 MPa [gage]</p> <p>◆原子炉圧力容器減圧開始 ×下部プレナム外 ■原子炉圧力容器破損</p>	
パラメータ	ベースケース	下部プレナムへの溶融物移動開始	原子炉圧力容器破損																																											
(1) 溶融落下流量 (燃料ペレットが崩壊する時間及び温度)	◆	×	■																																											
(2) 溶融ジェット径	◆	×	■																																											
(3) エント雷インメント係数	◆	×	■																																											
(4) デブリ粒子径	◆	×	■																																											
(5) ジルコニウム-水反応速度の係数	◆	×	■																																											
(6) 伊心崩壊半時 (燃料ペレットが崩壊する時間及び温度)	◆	×	■																																											
(7) 下部プレナム内の溶融炉心と上面水プールとの間の伝熱	◆	×	■																																											
(8) 溶融炉心と原子炉圧力容器間の熱伝達	◆	×	■																																											
(9) 溶接部破損時の最大ひずみ	◆	×	■																																											
(10) 全パラメータ組み合わせの感度解析	◆	×	■																																											

図4-9-1 感度解析における原子炉圧力容器破損等の整理

図4-11-1 感度解析パラメータの組合せ（1）

泊発電所 3号炉 有効性評価 比較表

付録3 重大事故等対策の有効性評価に係るシビアアクシデント解析コードについて（添付1 高圧溶融物放出／格納容器雰囲気直接加熱の防止について）

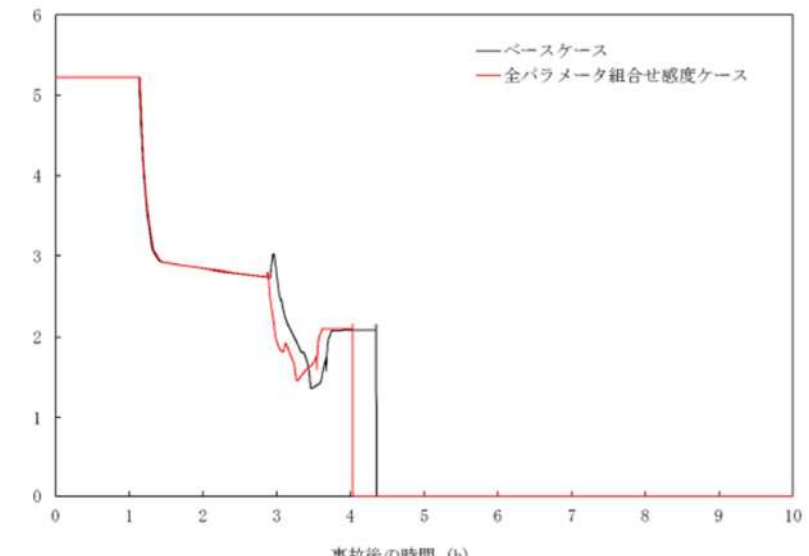
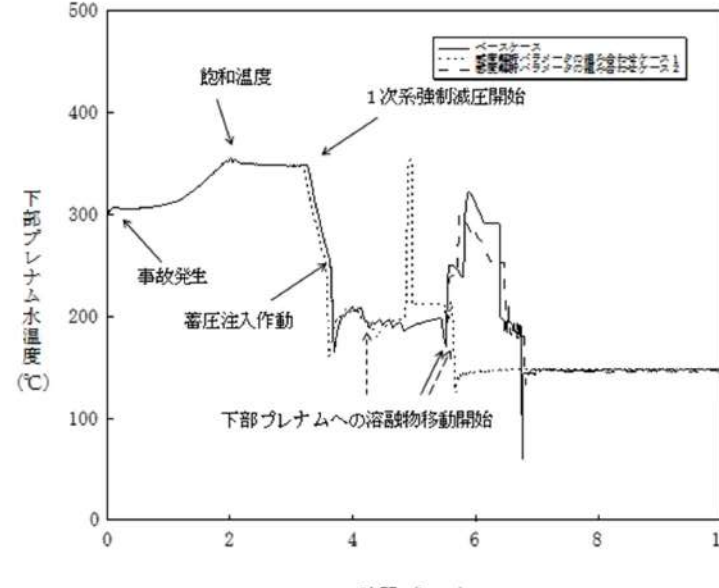
女川原子力発電所2号炉	泊発電所3号炉	相違理由

図 4-9-2 全パラメータ組み合わせの感度解析（1）

図 4-11-2 感度解析パラメータの組合せ（2）

泊発電所 3号炉 有効性評価 比較表

付録3 重大事故等対策の有効性評価に係るシビアアクシデント解析コードについて（添付1 高圧溶融物放出／格納容器雰囲気直接加熱の防止について）

女川原子力発電所2号炉	泊発電所3号炉	相違理由
 <p>図 4-9-3 全パラメータ組み合わせの感度解析（2）      ※リロケーション後は、下部プレナム水位に溶融デブリ高さを含む。</p>	 <p>図 4-11-3 感度解析パラメータの組合せ（3）</p>	

泊発電所 3号炉 有効性評価 比較表

付録3 重大事故等対策の有効性評価に係るシビアアクシデント解析コードについて（添付1 高圧溶融物放出／格納容器雰囲気直接加熱の防止について）

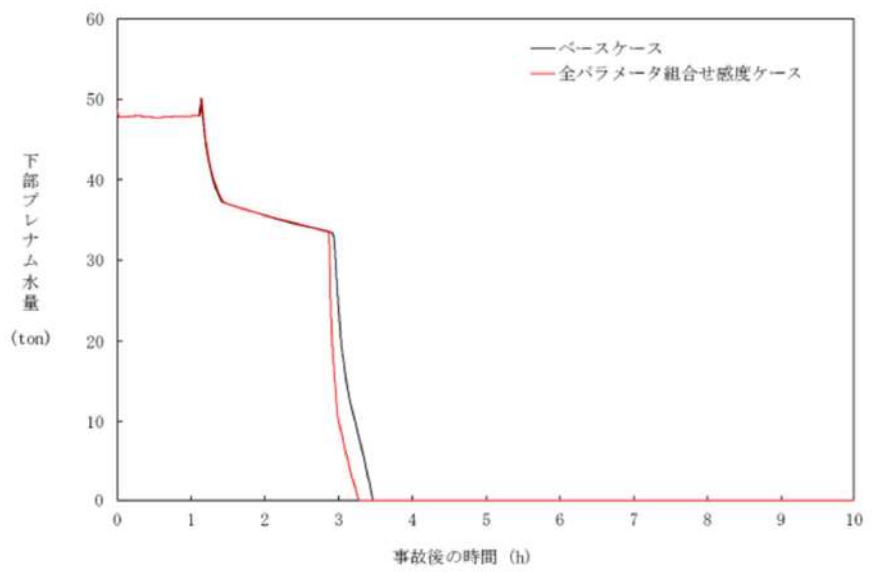
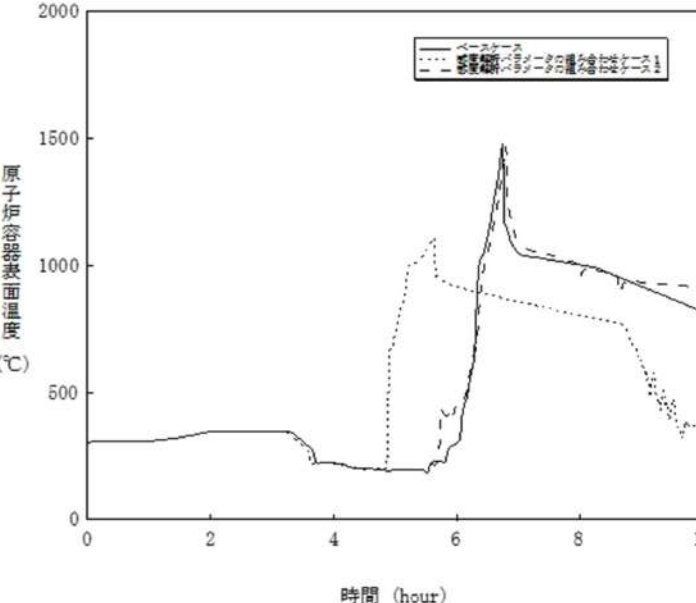
女川原子力発電所2号炉	泊発電所3号炉	相違理由
 <p>下部ブレナム水量 (ton)</p> <p>事故後の時間 (h)</p> <p>—ベースケース —全パラメータ組合せ感度ケース</p>	 <p>原子炉容器壁面温度 (°C)</p> <p>時間 (hour)</p> <p>—ベースケース ···感度解析パラメータ組合せ感度ケース - - -感度解析パラメータ組合せ感度ケース1</p>	

図 4-9-4 全パラメータ組み合わせの感度解析（3）

図 4-11-4 感度解析パラメータの組合せ（4）

赤字：設備、運用又は体制の相違（設計方針の相違）  
 青字：記載箇所又は記載内容の相違（記載方針の相違）  
 緑字：記載表現、設備名称の相違（実質的な相違なし）

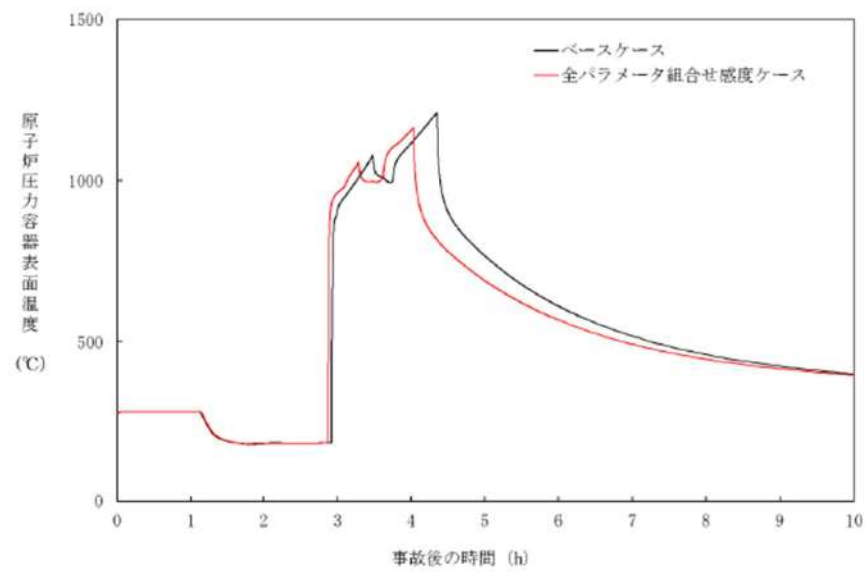
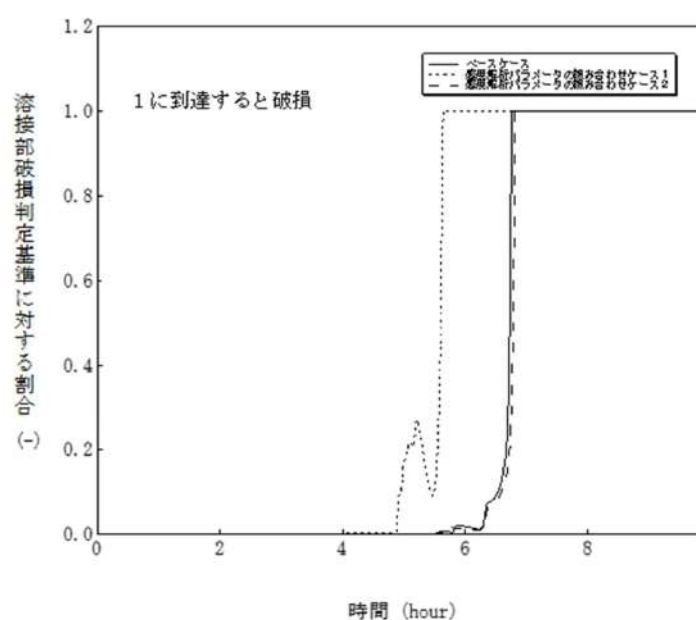
泊発電所 3号炉 有効性評価 比較表

付録3 重大事故等対策の有効性評価に係るシビアアクシデント解析コードについて（添付1 高圧溶融物放出／格納容器雰囲気直接加熱の防止について）

女川原子力発電所2号炉	泊発電所3号炉	相違理由
<p>図 4-9-5 全パラメータ組み合わせの感度解析（4）</p>	<p>図 4-11-5 感度解析パラメータの組合せ（5）</p>	

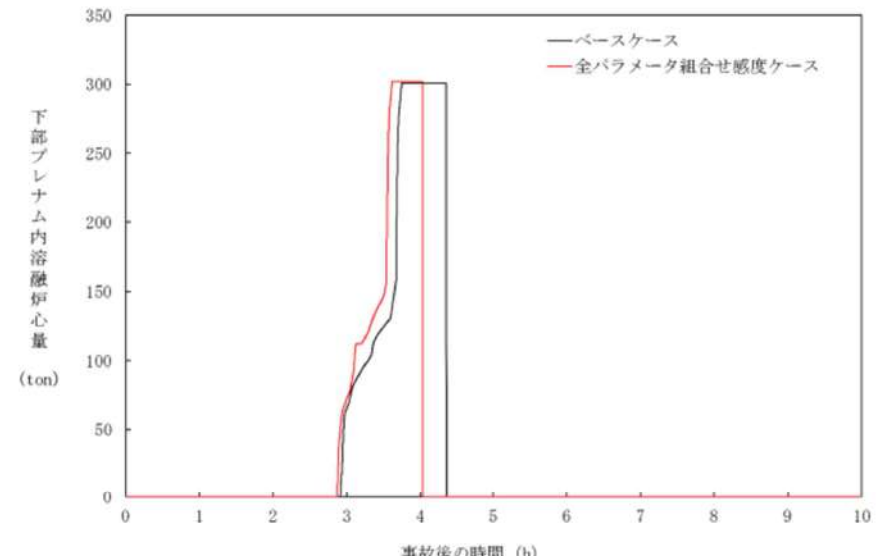
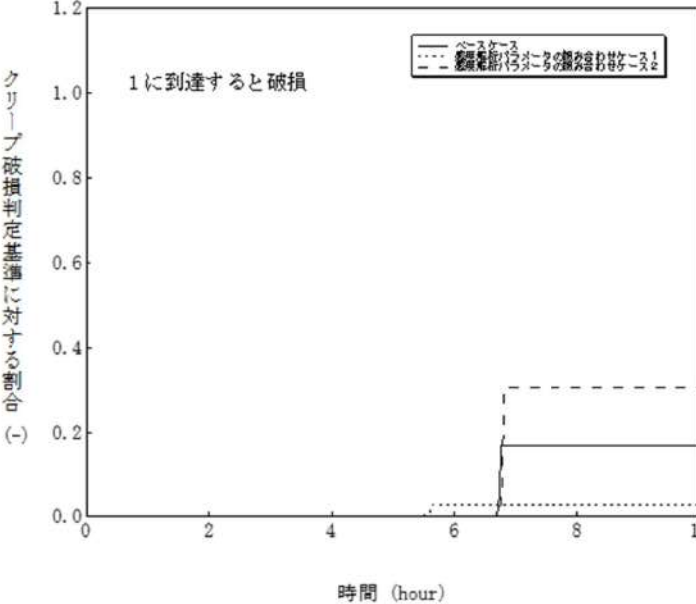
泊発電所 3号炉 有効性評価 比較表

付録3 重大事故等対策の有効性評価に係るシビアアクシデント解析コードについて（添付1 高圧溶融物放出／格納容器雰囲気直接加熱の防止について）

女川原子力発電所 2号炉	泊発電所 3号炉	相違理由
 <p>図 4-9-6 全パラメータ組み合わせの感度解析（5）</p>	 <p>図 4-11-6 感度解析パラメータの組合せ（6）</p>	

泊発電所 3号炉 有効性評価 比較表

付録3 重大事故等対策の有効性評価に係るシビアアクシデント解析コードについて（添付1 高圧溶融物放出／格納容器雰囲気直接加熱の防止について）

女川原子力発電所2号炉	泊発電所3号炉	相違理由
 <p>図 4-9-7 全パラメータ組み合わせの感度解析（6）</p>	 <p>図 4-11-7 感度解析パラメータの組合せ（7）</p>	

泊発電所 3号炉 有効性評価 比較表

付録3 重大事故等対策の有効性評価に係るシビアアクシデント解析コードについて（添付1 高圧溶融物放出／格納容器雰囲気直接加熱の防止について）

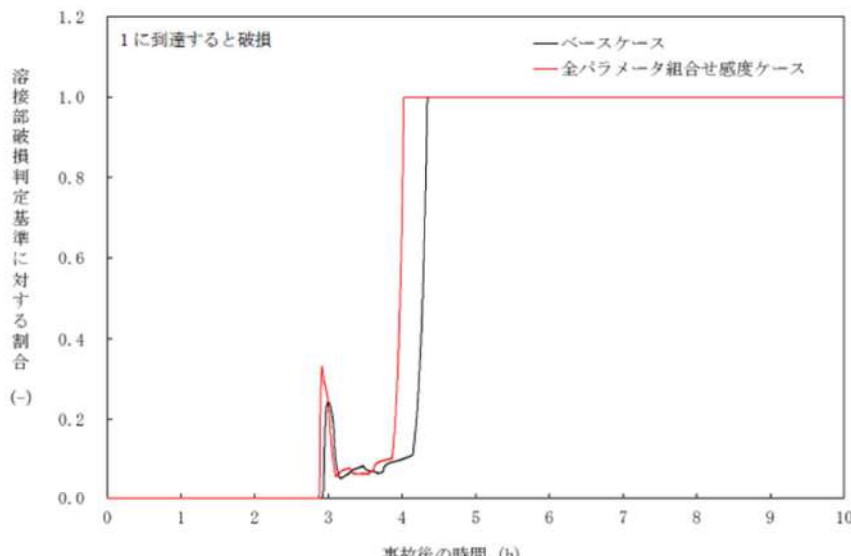
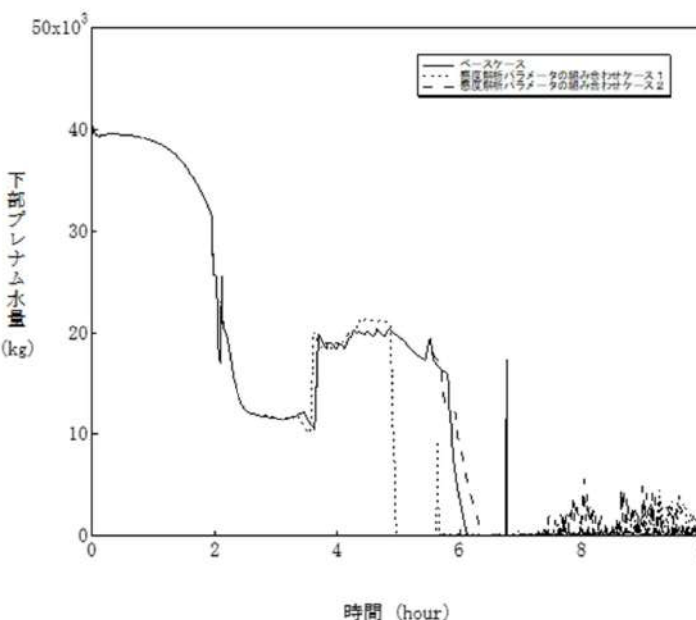
女川原子力発電所 2号炉	泊発電所 3号炉	相違理由
 <p>溶接部破損判定基準に対する割合 (-)</p> <p>事故後の時間 (h)</p> <p>1に到達すると破損</p> <p>—ベースケース —全パラメータ組合せ感度ケース</p>	 <p>下部ブレナム水量 (kg)</p> <p>時間 (hour)</p> <p>—ベースケース ···感度解析パラメータの組み合わせケース1 —感度解析パラメータの組み合わせケース2</p>	

図 4-9-8 全パラメータ組み合わせの感度解析（7）

図 4-11-8 感度解析パラメータの組合せ（8）

泊発電所 3号炉 有効性評価 比較表

付録3 重大事故等対策の有効性評価に係るシビアアクシデント解析コードについて（添付1 高圧溶融物放出／格納容器雰囲気直接加熱の防止について）

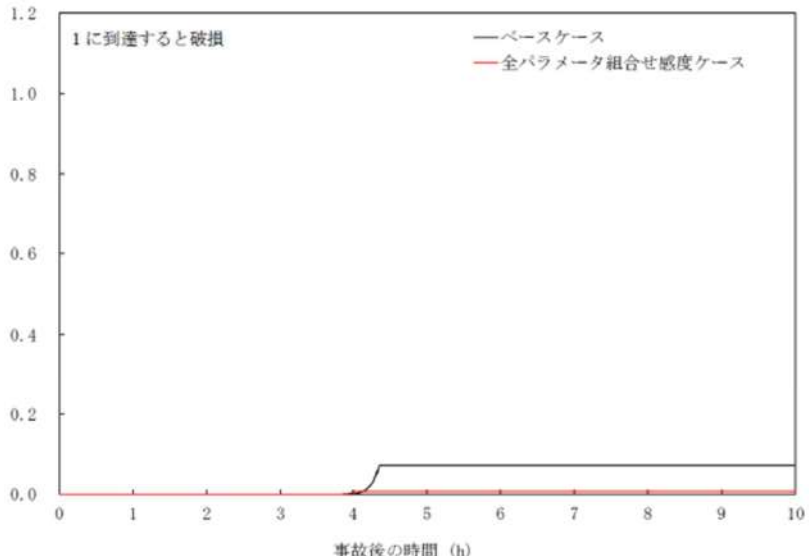
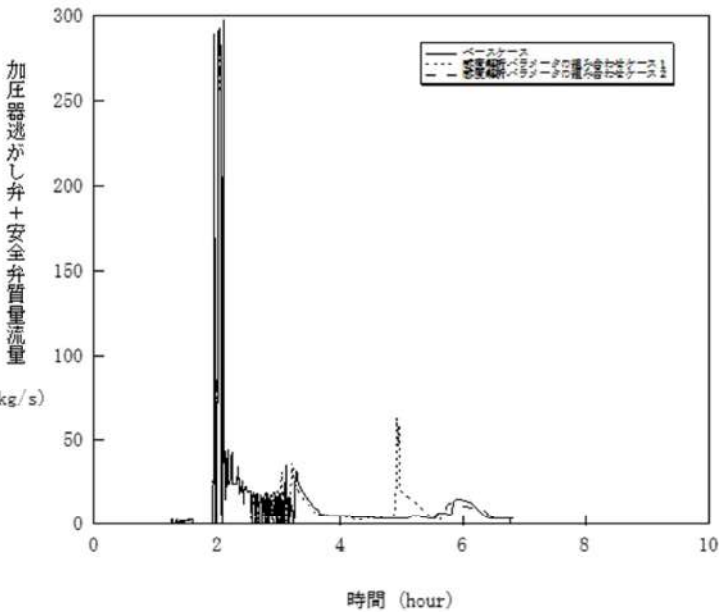
女川原子力発電所2号炉	泊発電所3号炉	相違理由
 <p>1に到達すると破損</p> <p>—ベースケース —全パラメータ組合せ感度ケース</p> <p>クリープ破損判定基準に対する割合 (%)</p> <p>事故後の時間 (h)</p>	 <p>—ベースケース —感度解析パラメータ組合せ —感度解析パラメータ組合せ(9)</p> <p>加圧器逃がし弁+安全弁質量流量 (kg/s)</p> <p>時間 (hour)</p>	

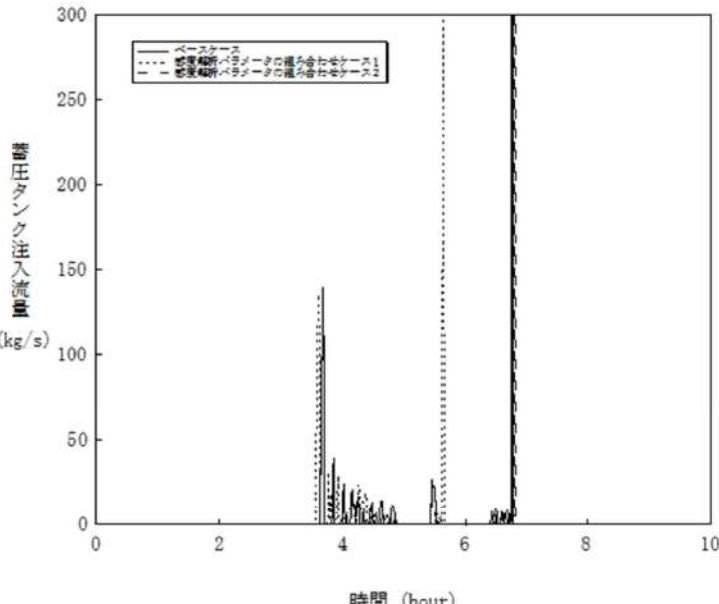
図 4-9-9 全パラメータ組み合わせの感度解析（8）

図 4-11-9 感度解析パラメータの組合せ（9）

赤字：設備、運用又は体制の相違（設計方針の相違）  
 青字：記載箇所又は記載内容の相違（記載方針の相違）  
 緑字：記載表現、設備名称の相違（実質的な相違なし）

泊発電所 3号炉 有効性評価 比較表

付録3 重大事故等対策の有効性評価に係るシビアアクシデント解析コードについて（添付1 高圧溶融物放出／格納容器雰囲気直接加熱の防止について）

女川原子力発電所2号炉	泊発電所 3号炉	相違理由
	 <p>図 4-11-10 感度解析パラメータの組合せ（10）</p>	

泊発電所3号炉 有効性評価 比較表

付録3 重大事故等対策の有効性評価に係るシビアアクシデント解析コードについて（添付1 高圧溶融物放出／格納容器雰囲気直接加熱の防止について）

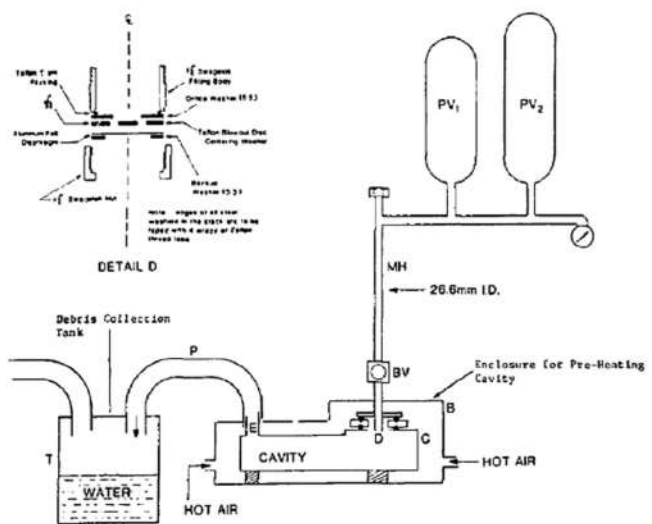
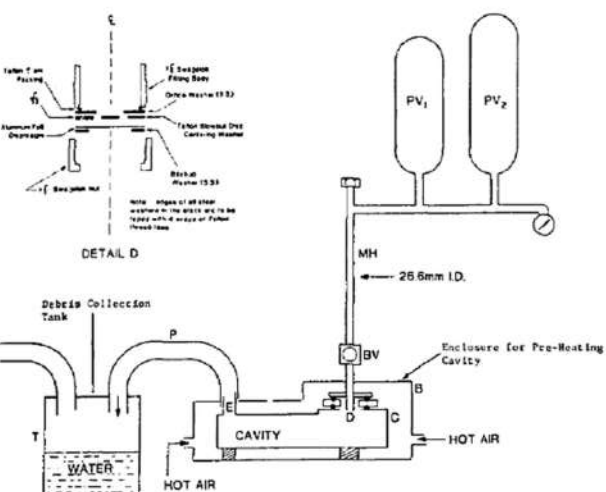
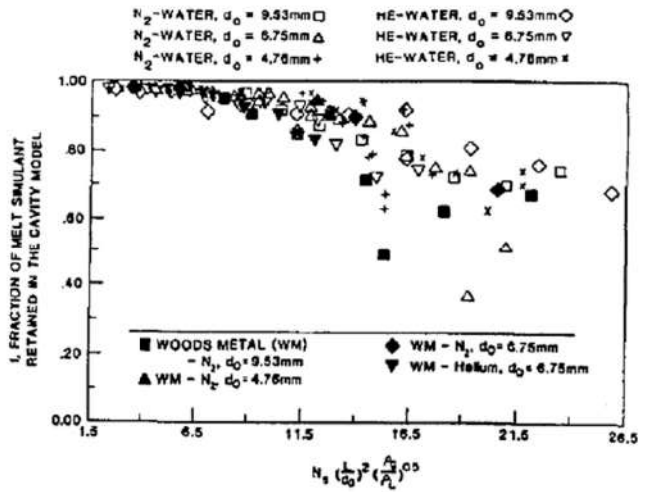
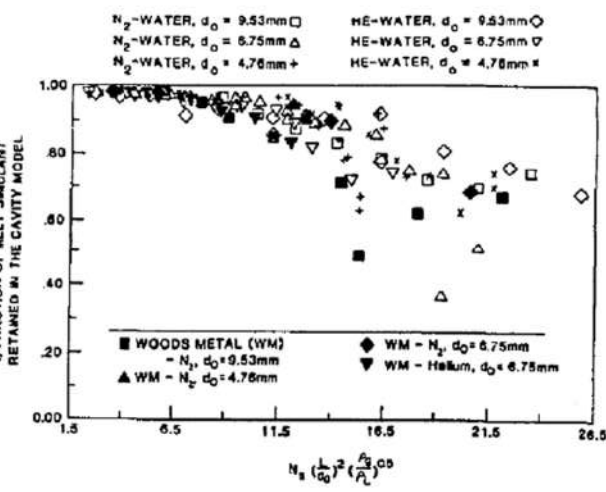
女川原子力発電所2号炉	泊発電所3号炉	相違理由
<p>5.まとめ</p> <p>HPME/DCH 防止に関する不確かさの要因として抽出した以下の項目について、感度解析を実施し、原子炉圧力容器破損時の原子炉圧力への感度を確認した。</p> <ul style="list-style-type: none"> <li>・燃料ペレットが崩壊する時間及び温度</li> <li>・溶融ジェット径</li> <li>・エントレインメント係数</li> <li>・デブリ粒子径</li> <li>・ジルコニウム-水反応速度の係数</li> <li>・下部ブレナム内の溶融炉心と上面水プールとの間の伝熱</li> <li>・溶融炉心と原子炉圧力容器間の熱伝達</li> <li>・溶接部破損時の最大ひずみ</li> </ul> <p>その結果、いずれの項目についても、圧力スパイクに対する感度は限定的であり、原子炉圧力容器の破損時期の観点でも、原子炉圧力減圧時からの時間余裕が十分大きい結果となった。これらのパラメータを組み合わせた感度解析ケースにおいても、原子炉圧力容器破損時の原子炉圧力は 2.0 MPa[gage]を十分下回っている。</p> <p>以上のことから、HPME/DCH の防止に関して、MAAP の解析モデルに関する不確かさは小さいと言える。</p>	<p>5.まとめ</p> <p>HPME/DCH 防止に関する不確かさの要因として抽出した、</p> <ul style="list-style-type: none"> <li>・加圧器逃がし弁の質量流量</li> <li>・蓄圧注入の圧力損失</li> <li>・溶融ジェット径</li> <li>・Ricou-Spalding のエントレインメント係数</li> <li>・デブリ粒子の径</li> <li>・ジルコニウム-水反応速度の係数</li> <li>・燃料ペレットが崩壊する時間及び温度</li> <li>・下部ブレナム内の溶融炉心と上面水プールとの間の限界熱流束</li> <li>・溶融炉心と原子炉容器間の熱伝達</li> <li>・溶接部破損時の最大歪み</li> </ul> <p>について、感度解析を行い、原子炉容器破損時の 1 次冷却材圧力への感度を確認した。</p> <p>その結果、溶融ジェット径、Ricou-Spalding のエントレインメント係数、燃料ペレットが崩壊する時間及び温度については圧力スパイクに対する感度は数 MPa あるものの、原子炉容器破損時点での 1 次冷却材圧力に対する感度は小さい。また、蓄圧注入の圧力損失、デブリ粒子径、下部ブレナム内の溶融炉心と上面水プールとの間の限界熱流束、溶融炉心と原子炉容器間の熱伝達、溶接部破損時の最大歪みについては圧力スパイクに対する感度が小さい。原子炉容器破損時期の観点では、ジルコニウム-水反応速度の係数、燃料ペレットが崩壊する時間及び温度において比較的大きな感度がある。ただし、いずれのケースにおいても、原子炉容器破損時の 1 次冷却材圧力は 2.0 MPa[gage]を下回っており、これらの不確かさの影響は小さいといえる。</p>	

泊発電所 3号炉 有効性評価 比較表

付録3 重大事故等対策の有効性評価に係るシビアアクシデント解析コードについて（添付1 高圧溶融物放出／格納容器雰囲気直接加熱の防止について）

女川原子力発電所2号炉	泊発電所3号炉	相違理由
<p style="text-align: center;">付録1 Surry型原子炉下部キャビティの1/42スケール実験</p> <p>BNLでは、Surry型原子炉下部キャビティの1/42スケールモデルを用いた模擬物質の分散放出実験<sup>[7]</sup>を実施し、原子炉下部キャビティ内に残存する物質の測定結果を整理して、実機において分散放出が生じない圧力を評価している。</p> <p>実験装置の概要を付図1-1に示す。模擬物質は弁の上のメタルホルダに保持され、弁を開放すると、模擬気体の圧力によって、模擬物質が原子炉下部キャビティに噴出する。その後、模擬気体のプローダウンによって模擬物質の一部が配管やタンクにエントレインされ、原子炉下部キャビティに残った模擬物質を測定する。</p> <p>模擬物質を用いた分散放出実験では、様々な初期圧力、様々な開口径に対して、原子炉下部キャビティ内に残存する模擬物質の割合を測定している。模擬物質としては水とウッド合金を使用し、模擬気体としては窒素とヘリウムを使用している。付図1-2に測定結果を示す。原子炉下部キャビティ内に残存する模擬物質の割合の測定結果(f)はKutateladze数に関係する無次元数(G)の関数として整理されており、<math>f \sim 1/(1+0.001G^2)</math>でよく近似できる。</p> <p>この関係式を用いて、分散放出が無視できる1次系圧力を評価することができる。具体的には、Kutateladze数に関係する無次元数が7以下の場合に溶融炉心の分散放出が無視できるとしている。このとき、原子炉下部キャビティに残存する模擬物質の割合は、すべてのデータについて0.9以上、平均値では約0.95である。実機条件(水蒸気温度500K、原子炉圧力容器破損口径0.4m)に対しては、溶融炉心の分散放出が無視できる1次系圧力は2.38MPaと評価される。</p>	<p style="text-align: center;">添付1-1 Surry型原子炉下部キャビティの1/42スケール実験</p> <p>BNLでは、Surry型原子炉下部キャビティの1/42スケールモデルを用いた模擬物質の分散放出実験<sup>[1]</sup>を実施し、原子炉下部キャビティ内に残存する物質の測定結果を整理して、実機において分散放出が生じない圧力を評価している。</p> <p>実験装置の概要を付図1-1に示す。模擬物質は弁の上のメタルホルダに保持され、弁を開放すると、模擬気体の圧力によって、模擬物質が原子炉下部キャビティに噴出する。その後、模擬気体のプローダウンによって模擬物質の一部が配管やタンクにエントレインされ、原子炉下部キャビティに残った模擬物質を測定する。</p> <p>模擬物質を用いた分散放出実験では、様々な初期圧力、様々な開口径に対して、原子炉下部キャビティ内に残存する模擬物質の割合を測定している。模擬物質としては水とウッド合金を使用し、模擬気体としては窒素とヘリウムを使用している。付図1-2に測定結果を示す。原子炉下部キャビティ内に残存する模擬物質の割合の測定結果(f)はKutateladze数に関係する無次元数(G)の関数として整理されており、<math>f \sim 1/(1+0.001G^2)</math>でよく近似できる。</p> <p>この関係式を用いて、分散放出が無視できる1次冷却材圧力を評価することができる。具体的には、Kutateladze数に関係する無次元数が7以下の場合に溶融炉心の分散放出が無視できるとしている。このとき、原子炉下部キャビティに残存する模擬物質の割合は、すべてのデータについて0.9以上、平均値では約0.95である。実機条件(水蒸気温度500K、原子炉圧力容器破損口径0.4m)に対しては、溶融炉心の分散放出が無視できる1次冷却材圧力は2.38MPaと評価される。</p> <p>[1] N. K. Tutu, et al., "Low Pressure Cutoff for Melt Dispersal from Reactor Cavities", Fourth Proceedings of Nuclear Thermal Hydraulics, ANS Meeting, October 30 - November 4, 1988.</p>	

付録3 重大事故等対策の有効性評価に係るシビアアクシデント解析コードについて（添付1 高圧溶融物放出／格納容器雰囲気直接加熱の防止について）

女川原子力発電所2号炉	泊発電所3号炉	相違理由
 <p>付図 1-1 Surry型原子炉下部キャビティの1/42スケール実験装置</p>	 <p>付図 1-1 Surry型原子炉下部キャビティの1/42スケール実験装置</p>	
 <p>付図 1-2 Kutateladze 数に関係する無次元数と原子炉下部キャビティに残存する模擬物質との関係</p>	 <p>付図 1-2 Kutateladze 数に関係する無次元数と原子炉下部キャビティに残存する模擬物質との関係</p>	

泊発電所3号炉 有効性評価 比較表

付録3 重大事故等対策の有効性評価に係るシビアアクシデント解析コードについて（添付1 高圧溶融物放出／格納容器雰囲気直接加熱の防止について）

女川原子力発電所2号炉	泊発電所3号炉	相違理由
	<p>添付1-2 1次冷却材圧力が2.0MPa[gage]近傍にて停滞する現象について</p> <p>1次冷却系強制減圧操作を実施すると、付図2-1に示すとおり、1次冷却材圧力は速やかに低下するが、蓄圧注入開始後、一旦2.0MPa[gage]近傍で維持される。この現象について説明する。</p> <p>(1)現象の考察</p> <p>蓄圧タンク圧力は蓄圧注入の進行とともに低下し、蓄圧タンク圧力と1次冷却材圧力が均衡した後は、1次冷却材圧力の低下分だけ蓄圧注入が入る。それにより蓄圧タンク圧力は低下するのに加え、蓄圧注入水により炉心水位が上昇し、炉心部で蒸気生成が起こり、1次冷却材圧力が上昇すると、蓄圧注入は停止する。この時の炉心部の概念図を付図2-2に示す。</p> <p>つまり、加圧器逃がし弁からの蒸気放出質量流量と蓄圧注入水の蒸発質量流量がバランスした状態が形成されるため、1次冷却材圧力が2.0MPa[gage]近傍で停滞することになる。この現象を数式で表すと以下のようになる。</p> <p>加圧器逃がし弁の臨界流量<math>W_{PORV}</math>は冠水炉心の崩壊熱により次式のように近似できる。</p> $W_{PORV} \approx \frac{Q_{decay}(L_{ctrl})}{h_{fg}}$ <p>ただし、</p> <ul style="list-style-type: none"> <li><math>W_{PORV}</math>：加圧器逃がし弁の臨界流量</li> <li><math>Q_{decay}(L_{ctrl})</math>：冠水炉心の崩壊熱</li> <li><math>L_{ctrl}</math>：冠水炉心の崩壊熱が<math>W_{PORV}</math>相当になる炉心水位</li> <li><math>h_{fg}</math>：水の蒸発潜熱</li> </ul> <p>この時、炉心水位<math>L</math>と<math>L_{ctrl}</math>の関係により、次のようなメカニズムで、蓄圧注入量<math>W_{ACUM}</math>が加圧器逃がし弁の臨界流と同等になるように制御される。</p> <pre> if L &gt; Lctrl   蒸発量がW<sub>PORV</sub>より大きくなり加圧 →蓄圧注入が停止 if L &lt; Lctrl   蒸発量がW<sub>PORV</sub>より小さくなり減圧 →蓄圧注入作動 </pre> <p>その結果、<math>L \approx L_{ctrl}</math> また <math>W_{PORV} \approx W_{ACUM}</math> となり、1次冷却材圧力が蓄圧タンク圧力とバランスして維持される、というメカニズムで制御される。</p>	※PWR 固有の現象